

Ծ.Ա. ԳՐԻԳՈՐՅԱՆ, Ա.Վ. ԽԱՆՉԱՏՐՅԱՆ,  
Հ.Ս. ՄԻՆԱՍՅԱՆ

# ԵՐԿՐՈՒԳՈՐԾՎԿԱՆ ՄԵԽԱՍԻԿԱՆ



Շ.Մ. ԳՐԻԳՈՐՅԱՆ, Ա. Ց. ԽԱՉԱՏՐՅԱՆ,  
Ռ. Ս. ՄԻՆԱՍՅԱՆ

Թույլատրված է ՀՀ Գյուղատնտեսության  
նախարարության կողմից

## ԵՐԿՐԱԳՈՐԾՎԿԱՆ ՄԵԽԱՆԻԿԱ

I մաս

(աեսություն և հաշվարկ)

ԵՐԵՎԱՆ  
1998

Դ.Հ.Կ 631.3(075.8)

### ԳՐԱԽՈՍՈՎՆԵՐ

ՀԳ ակադեմիայի գյուղանտեսության մեքենայացման  
ամբիոն (ամբիոնի վարիչ պրոֆ. Ս. Ե. Մարգարյան )

Շ.Մ. ԳՐԻԳՈՐՅԱՆ, Ա. Ց. ԽԱՉԱՏՐՅԱՆ,  
Ռ. Ս. ՄԻՆԱՅՅԱՆ

### ԵՐԿՐԱԳՈՐԾՎԱԿԱՆ ՄԵԽԱՆԻԿԱ

Ի մաս

(տեսություն և հաշվարկ)

Դասագլուրում շարադրված են գյուղատնտեսական մեքենաների և նրանց բանող օրգանների տեսության հիմունքները և տեխնոլոգիական գործընթացների հաշվարկը:

Դասագիրքը նախատեսված է գյուղատնտեսության մեքենայացման և մեքենաշինության ֆակուլտետի ուսանողների համար, ինչպես նաև գյուղատնտեսության ճարտարագիտա - տեխնիկական աշխատողների և գյուղմեքենաների գծով ՀԿՇ կոնսորտիումների և ասպիրանտների համար:

### ՆԵՐԱԾՈՒԹՅՈՒՆ

Գյուղատնտեսության հետագա զարգացման գործում Խոկայական դեր ունի արտադրական գործընթացների մեքենայացման նյութատեխնիկական բազայի վիճակն ու մակարդակը:

Տնտեսական դարաշրջանները տարբերվում են ոչ քե նրանով, թե ինչ է արտադրվում, այլ ինչպես է արտադրվում և աշխատանքի ինչ միջոցներով: Նյութա-տեխնիկական բազայի վիճակը հիմնականում բնուրագրվում է գյուղատնտեսության մեքենաշինության զարգացումով, էներգետիկ հզորությունների և էներգագինվածության աճով, տնտեսությունների ֆոնդագինվածությամբ և, վերջապես, նոր հողերի յուրացումով և ցանքատարածությունների ընդարձակումով:

Գյուղատնտեսական արտադրաւթյան ներկա վիճակի խար վերլուծությունը նպատակառողվում է դեպի գյուղատնտեսության խնտենավացումը, առավել ուշադրություն դարձնելով մելուրացման, քիմիացման և ամենակարևորը՝ համալիր մեքենայացման վրա: Գյուղատնտեսության խնտենավացումը գործնականում նշանակում է անցում արտադրաւթյան բարձրագույն համակարգի, արիեստական պարարտանյութերի լայն օգտագործման, մեքենաների բարելավման և աշխատանքի արտադրողականության և որակի բարձրացմանը:

Երկրագործությունը մարդկության հնագույն գրադարձն է, և դրա հետ կապված աշխատանքի գործիքներն ունեն բազմադարյան պատմություն: Գյուղատնտեսության մեքենայացման մասին գիտությունը ձևավորվել է ոչ վաղ ժամանակներից, և այն կապված է ակադեմիկոս Վասիլի Պրոխարի Գորյաչկինի (1868-1935) անվան հետ: Մյունչ այդ գյուղատնտեսական մեքենաների մասին գիտությունն ուներ գուտ նկարագրական բնույթ: Վ. Պ. Գորյաչկինի շնորհիվ այդ գիտությունը ձևավորվեց և «Երկրագործական մեխանիկա» անվանումով տրվեց մարդկության օգտագործմանը:

Ժամանակի ընթացքում երկրագործական մեխանիկան, ինչպես նաև ցանկացած այլ գիտություն, ենթարկվել է տարածատման և ինտեգրացման գործընթացների, առանձնացել են ինքնուրույն գիտա-

կան ստղություններ, և տեղ են գտել զիտական հետազոտությաւնների նոր մեթոդներ և ձևեր:

Գյուղատնտեսական արտադրության հիմնական միջոցը հողն է՝ բերքիությամբ օժտված երկրային կենսի մակերեսային շերտը։ Մարդու պատասխանատվությունը հաղի վիճակի, նրա ճիշտ օգտագործման համար չափագանց մեծ է։

Երկրագործը չի կարող փախել իր հողի տիպը, սակայն համապատասխան մեխանիկական ազդեցությամբ կարող է ներազուել հողի բերքիության վրա։

Հողի պահպանության և բերքիությունը բարձրացնելու համար անհրաժեշտ է, որ մասնագետը ճիշտ պատկերացում ունենա նրա ֆիզիկատեխնոլոգիական հատկությունների մասին, կիրառի մշակության ռացիոնալ համակարգ և համապատասխան տեխնիկական միջոցներ։ Վ. Պ. Գորյաչկինի խոսքերով ասած՝ ժամանակակից գիտությունը կենս բավարար տեղեկություններ չի տալիս հողի ֆիզիկական հատկությունների մասին, որը հսկայական նշանակություն ունի հողաճակման մեքենաների կառուցվածքների մշակության համար։ Այս կարգի հատկանիշներից են հողի մասնիկների մեծությունը, շփումը, խոնավությունը, ծակուտկենությունը, դեֆորմացիայի նկատմամբ դիմադրությունը և այլն։ Այդ մեծությունները, նշում է Վ. Պ. Գորյաչկինը, ինարկե ունեն օժանդակ նշանակություն, սակայն միասին վերցրած կազմում են այն հյուրը, որի վրա պետք է հիմնվի ապագա մեքենայի կառուցումը։

«Գյուղատնտեսական և մելիորատիվ մեքենաներ» առարկան սերտ կապի մեջ է այնպիսի մասնագիտությունների հետ, ինչպիսիք են. երկրագործությունը և բուսաբուծությունը, հողագիտությունը և մելիորացիան, տրակտորներ և մեքենատրակտորային պարկի շահագործումը։

Գյուղատնտոսական մեքենաների բանու օրգանները, փոխազդեցության մեջ մտնելով մշակվող զանգվածի հետ, իրականացնում են որոշակի տեխնոլոգիական գործընթացներ, որոնց հետևանքով կատարվում է այդ զանգվածի շերտի որակական փոփոխություն։ Ժամանակակից գյուղատնտեսական մեքենաների որոշ մասը տեխնոլոգիական գործընթացները իրականացնում է ոչ լիարժեք, ցածր արտադրողականությամբ և ոչ բավարար որակով։ Նման մեքենաների

կառուցվածքային կատարելագործման հիմնախնդիրը պետք է լուծեն աւրտարագիտական կարգերը։

Գյուղատնտեսական տեխնիկայի հետագա կատարելագործման պետք է նպատառության լինի։ Էներգախնայող, հողագուշացուման տեխնոլոգիաների և տեխնիկական միջոցների մշտակմանը. որոնք կապահովն աշխատածախումների խվատ կրածում և արյունավետության բարձրագում, համակցված մեքենաների ստեղծմանը, որոնք կիամատելեն մի քանի տեխնոլոգիական գործընթացների իրականացնումը ագրեգատի մեկ լինթացքի ժամանակ, ինչպես նաև ավտոմատացված մեքենաների և համակարգերի մշակմանը և նրանց ներդրմանը, լեռնային երկրագործության համալիր մեքենայացմանը։

Այսպիսով. «Գյուղատնտեսական մեքենաներ» առարկան ձևադրված է որպես տեխնիկական գիտություն, որը զարգանում է գյուղատնտեսական արտադրության պահանջներին համապատասխան, ուստիմնասիրում է գյուղատնտեսական միջավայրի և նյութերի, տեխնոլոգիական գործընթացների և օպերացիաների, մեքենաների ու մեխանիզմների, ագրեգատների մեխանիկան և մշակում գրողատնտեսության մեքենայացման և ավտոմատացման նարտարագիտական հաշվարկների մեթոդները։

Հեղինակները խոյս են հայտնում, որ ներկայացված դասագիրքը կնպաստի այդ խնդիրների լուծմանը։ Ըստու դիտությունները և առաջարկությունները կրնկունվեն շնորհակալությամբ։

## 1. Հողը որպես մշակության օբյեկտ

### 1.1 Հողի բնորոշ հատկանիշները

Դոյլի մշակումը, բնդիանոր դեպքում, մշամակում է նրա վրա գյուղանախական մեքենայի բանու մակերեսոյի ոժային ներգործություն: Այլ ժամանակ ի հայտ է գալիս մշակվող հողի կարեռագույն հատկանիշը՝ իր վրա ներազայտ ուժին դիմուլուրյուն ցացաքերելու բնդիանակարյուն: Պարզության համար անվանենք այն հողի աճտվյուն:

Հողի աճտվյունը փոփոխվում է ժամանակի ընթացքում կիմայական պայմանների, իոդի մշակման և բույսերի աճի ազդեցության տակ: Տվյալ հողատեսքի աճուրդյունը և դրա փոփոխությունը ժամանակի ընթացքում բնութագրվում են հետեւյալ հատկանիշներով:

**1.Մասնիկների քանակով ծավալի մեկ միավորում կամ ծակոտկեննության հակառակ մեծությամբ:**

Ծակոտկեննությունը հողի դատարկ ծավալի  $V_a$  հարաբերությունն է:

$$\text{Ընդհանուր ծավալին } V_a \text{ արտահայտած \%}-ներով - \frac{V_a}{V_0} \cdot 100\%:$$

Ընդհանված է նաև ծակոտկեննության գործակից  $\varepsilon$  մեծությունը. որը դատարկ ծավալի  $V_a$  հարաբերությունն է պինդ մասնիկների ծավալին  $V_T$

$$\varepsilon = \frac{V_a}{V_T} \quad (1.1)$$

Ծակոտկեննության գործակիցի 0.5< $\varepsilon$ <1.5 արժեքների դեպքում նոյն կոչվում է խտացված,  $\varepsilon>1.5$  արժեքի դեպքում՝ փոփոխ:

**2. Մասնիկների տարսծքային բաշխմամբ**

Այլ բաշխումը չափային տեսակետից համեմատելի է հողի կառուցվածքային բաշխման հետ և բնորոշվում է հողի խտությամբ:

**Խտությունը** բացարձակ չոր հողի գանգվածի ու հարաբերությունն է հետագույն նոյնի բնդիանոր ծավալին  $V_a$  առանց սնուցի նույնական հազմի խախտման:

$$\rho_n = \frac{m_c}{V_0} \quad (1.2)$$

Հոդի խտությունը կախված է մեխանիկական կազմից. Խոնարի բանկից և ծակոտկեննությունից: Վարելաշերտի խտությունը պահպանվում է 0.9 - 1.6 գ մ<sup>-3</sup> տակտամետրով: Հարած հոդի խտությունը կազմում է միջին 1.1գ/սմ<sup>3</sup>:  $\rho_n = 1.2\text{գ/սմ}^3$  արժեքի դեպքում հոդի պնդագված է,  $\rho_n = 1.3\text{գ/սմ}^3$  և ավելի արժեքի դեպքում՝ ոժեղ պնդացված: Վարելաշերտից մերքն  $\rho_n = 1.6 - 1.8 \text{ գ/սմ}^3$ :

**3. Խոնավորյամբ:** Ջրի քանակը զնահատվում է հոդի բացարձակ խոնավորյամբ  $W_a(\%)$ , որի որոշվում է ջրի գանգվածի  $m_{w-tc}$ -ում  $m_c$  և չոր հոդի գանգվածի  $m$  հարաբերությամբ:

$$W_a = m_c / m_c \cdot 100\% : \quad (1.3)$$

որտեղ՝  $m_c$  - հոդային նմուշի գանգվածն է:

Հոդի խոնավացման ասուհճանը զնահատվում է հարաբերական խոնավորյամբ՝  $W_0$

$$W_0 = W_a / W_n \cdot 100\%: \quad (1.4)$$

որտեղ՝  $W_n$ -հոդի դաշտային ջրատարությունն է, % ջրի այն քանակը, որը հոդը պահում է առատ ջրերուց և գրավիտացիոն ջրերի հեռացնելուց հետո:

Հոդի «հասուն» վիճակը համապատասխանում է  $W_n=40 - 70\%$  կամ  $W_n=15 - 30\%$  խոնավորյամբ՝ կախված հոդի տեսակից:

**4. Ջրի բաշխումը:** Ջրը հոդում կարող է լինել ազատ և կապակցված ձևերով: Կապակցված ջուրը հոդի մշակության ժամանակ նկատելի չէ, իսկ ազատ՝ զգալիորեն ազդում է հոդի տեխնոլոգիական հատկանիշների վրա:

Ազատ ջոր հոդում լինում է գրավիտացիոն և մազանորային տեսքով: Ենշպես հայտնի է զրավիտացիան ջրերը գտնվում են մեծ ծավալի դատարկություններում և ծանրության ոժի ագրեցուրյան տակ հոսում, հեռանում են: Մազանորային ջրերը տեղաշարժվում են մազանորներուվ ցտնկացած որդուրյամբ՝ առավել խոնավ շերտներից յեպի փորք խոնավորյան շերտերը:

**5. Կապը մասնիկների միջև:** Շնորհվում է հոդի համացվածք հոսութագործությամբ: Հոդի սյունդ գունդգվածը կարող է լինել առավել-

տուրային և ոչ ստրուկտուրային: Սարուկտուրային հողի գանգվածը բաժանված է առանձին ազրեգատների, ոչ ստրուկտուրային՝ կազմում է համատարած գանգված: Ըստ շափերի ստրուկտուրային ազրեգատները լինում են՝ կոշտային ստրուկտուրա՝ 10մմ ավելին շափերով, կնծիկային ստրուկտուրա՝ 10-3մմ շափերով, ազրեգատներ և հատիկավոր ստրուկտուրա՝ 3- 0.25մմ շափերով :

0.25մմ փաքը շափի ազրեգատները կոչվում են միկրոազրեգատներ կամ փոշի: Առավել արժեքավոր են 1- 3մմ ազրեգատները, որոնք առավել ջրակայուն են: Ցանկալի են նաև 3 - 10մմ ազրեգատները: Էռոգիայի տեսակետից առավել վտանգավոր են միկրոստրուկտուրային ազրեգատները և 0.5 - 0.1 մմ շափի ափազը: Եթե հողի վերին շերտում (0 - 5սմ) այն կազմում է 50%, ապա բուսածածկութիւնը բացակայության դեպքում անխուսափելի է քանու էռոգիան:

Ստրուկտուրային ազրեգատների ագրեցությունը և նորի մշակության որակի վրա շափազանց մեծ է: Այս դեպքում ցածր է նաև դեֆորմատորի քարշային դիմայությունը:

Հողի պինդ գանգվածը բնորբագրվում է տեսակարար գանգվածով - այն բացարձակ չոր, պինդ գանգվածի ու հարաբերությունն է իր ծավալին  $V_T$

$$\gamma = \frac{m_c}{V_T} \quad (1.5)$$

Կավի տեսակարար գանգվածը  $2.7\text{q}/\text{մ}^3$  է, ավագինը՝  $2.65$ , և տերմուսինը՝  $1.4$ , ճմապակզողային հողինը՝  $2.4 - 2.6$  և տորֆահողինը՝  $1.4 - 1.7 \text{ q}/\text{մ}^3$ :

Հողի ստրուկտուրան բնորբագրվում է ստրուկտուրայի գործակով  $K$

$$K = \frac{m_1}{m_2} \quad (1.6)$$

որտեղ՝  $m_1$ - համապատասխանորեն  $0.25 - 7\text{մմ}$  շափի ազրեգատների գանգվածն է,  $m_2$ - և մաքուր մասի գանգվածը :

Փխրեցման լնումնակությունը 50մմ փաքը շափի կնծիկների գանգվածի հարաբերությունն է հողի բնոլիանուր գանգվածին: Եթե փոշու պարունակությունը մոտ է  $30\%$ , ապա այլ հողերի

նպատակահարմաքը չէ մշակել: Իդեալական կոչվում է հողի այն մշակությունը . եթե սերմերի թաղման խորության վրա ազրեգատները կազմում են  $0.25 - 7\text{մմ}$ , յուկ այդ շերտից ներքն ծավալային գանգվածը հոսքասար է  $1.1 \pm 0.1 \text{q}/\text{մ}^3$ , կախված հողի տեսակից և մշակվող կուրտուրայից:

### 1.2 Հողի կոշտությունը բնորբագրող շափանիշների փոփոխությունը ժամանակի ընթացքում

Հողի ֆիզիկական և տեխնոլոգիական հատկությունները, կապված արտաքին պայմաններից, փոփոխվում են շափազանց յայն սահմաններում: Բնական է, որ հնարավոր չէ և պրակտիկապես ոչ նպատակահարմաք հաշվի առնել այն բոլոր ագրակների փոփոխական բնույթը, լրանց տարածման սահմանները, որոնք էապես ազդում են հողում առաջացող գործընթացների վրա նրա դեֆորմացավայրի բնրացքում:

Ուստի, բերես նպատակահարմաք է հողամշակման մեքենաների պարամետրերի իմմնավորումը կատարել հողի վիճակի այն սահմանների համար, որը կանխույզում է տեխնոլոգիական գործընթացների բարձր որակ:

Հնարավոր գործընթացները նկարագրելուց հետևում է, որ տվյալ հողատեսքը չունի որոշակի կոշտություն:

Հողի կոշտությունը կարող է փոփոխվել ժամանակի ընթացքում՝ կախված այս կամ այն երևոյթներից: Առաջին մոտեցմամբ տարբերում են փիրուն հող, հողը սկզբնական խտացման վիճակում և հողը սկզբնական խտացման վիճակում փոփոխական խոնավությամբ:

### 1.3. Հողի ամրության որոշումը

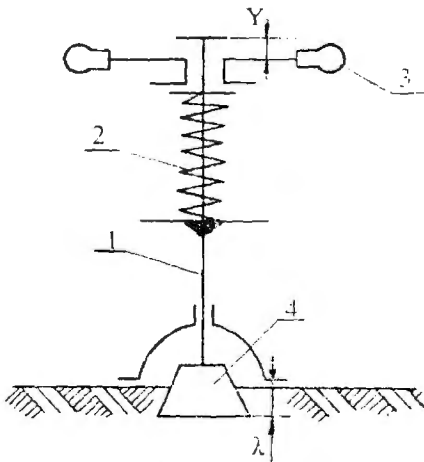
Հողի ամրությունը որոշելու նպատակով օգտագործվում են աարեր շափից գործիքներ՝ հարվածային սկզբունքով, ստատիկ բնոնգածությամբ, դեֆորմատութիւն ստիպուլական տելաշարժով: Վերջինս անհամեմատ լայն կիրառություն է ստացել գյուղատնտեսության մեջ:

Համաձայն ԳՕՍ 70.2.15-73՝ տղարման դիմարտրյան ցուցանիշ

է բնորնված «հողի միջին ամրարյութիր», իսկ համապատասխան չափիշ գործիքը անվանված է ամրաշափ:

Ամրաշափը աշխատում է հետևյալ կերպ:

Ուժ գործադրելով բռնակների (3) վրա, այս գուգանակի (2) և ձաղի (1) միջոցով հաղորդվում է դրոշմին (4), որի ստոգման է հողի մեջ

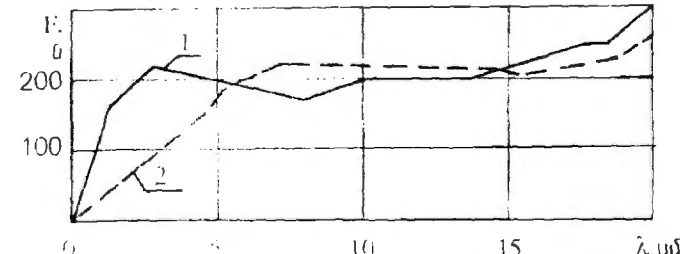


Նկ. 1.1 Ամրաշափի սխեման

Այդ տժը,  $F$  մեծարյամբ հավասար է հողի լիմանարյան տժին և չափում է գուգանակի սեղմածության մեծությամբ, իսկ հողի գծային դեֆորմացիան և դրոշմի հողի մեջ ստոգման չափով:

Պետական ստանդարտով բնորնված են հետևյալ դրոշմները՝ կոնսանտրուցիա 1.0 տժ՝ մուկներով և գուգաքի  $\gamma=22^{\circ}30'$  անկյունով պինդ հողերի համար և 2ամ՝ հիմքով  $\gamma=30'$  անկյունով փլատոն հողերի համար. Գ. Ե. Շեղմուզինի եղանակով ուսումնական դաշտային դաշտային դրոշով գուգանակին դրոշման պահանջանակագիրը կազմված է պատճենական դրոշմով և պատճենական դրոշման պահանջանակագիրով (Ակ. 1.2).

Ամրաշափը սարքափորպահ է, գրամցող սարքով, որը գրի է առնուային տվյալները (Ակ. 1.2).

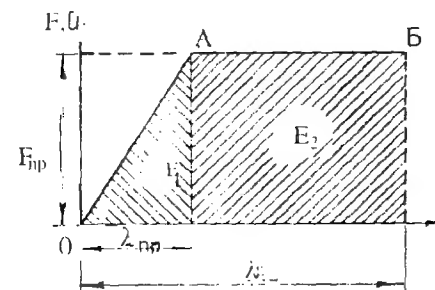


Ակ. 1.2 Ամրաշափի դիսպահն

1 - գուգանակի դրոշմով, 2 - կոնսանտրուցիա դրոշմով

Խմանարով գուգանակի կրչտարյան գործակիցը՝ «Կ» սրացմուն է Բ կա տժը: Հետագուստքայինները պարզել են, որ համասար հատվածքով սակայն առջեր ձեր դրոշմներով հողի սեղմանական դիմադրյանները տարբերվում են միայն ակզենտական մասով. 5 - 6 սա ստոգման հետո Բ տժերը համբկնում են:

Հողի ամրարյամբ դիագրամի տվյալների վերլուծության նպատակով այն ներկայացնենք երկու փուլով (Ակ. 1.3):



Ակ. 1.3. Տրորման դիմադրյան և գծային դեֆորմացիայի կախվածությունը:

Սռացին փուլի բնրացրում (ՕԱ տեղամաս) սկսից հողի առաձգական ապա պատճենի խտացման հետևանքով, Բ տժը աճում է մոտակիրակես ստիգմազ:

Երկրույտ փուլի բնրացրում Բ տժը, կախված դեֆորմացիայից չի աճում: Այս դիմումուն հողի ամրարյութիր հասկաւար է:

$$P = \frac{F}{S} = \frac{\hbar k}{S}, \text{ Г/м}^2 \quad (1.7)$$

որտեղ  $P$ - ամրության դիագրամի միջին օլլինատն է. (սև).  $S$ - լրացմի մակերեսը ( $\text{м}^2$ ).  $k$ -զսպանակի կոչությունը ( $\text{Г/м}$ ):

Իրականում լարման  $P$  և դեֆորմացիայի խորության λ մեջ կապը ոչ թե գծային է.  $P=q\lambda$ , այլ կորագիծ:

Ըստ Մ.Դ. Ենտուշնեի այդ կապն ունի հետևյալ տեսքը  $P=q_0 \lambda^\mu$

$$\text{Ըստ Ս.Ս.Սամակյանի: } P = q_0 \left( \frac{\lambda}{D} \right)^\mu$$

$$\text{Ըստ Վ.Վ. Կացիզինի: } P = P_0 \text{th} \frac{q}{P_0} \lambda.$$

Որտեղ  $q_0$  և  $\mu$ -գործակիցներ են՝ կախված հողի վիճակից և հատկություններից ( $q_0$ ,  $\mu/\text{м}^{2,\mu}$ ).  $D$ -դյուշի տրամագիծ  $(P_0)$ -հողի տանող բնդրնակությունը,  $\text{м}/\text{м}^2$ ,  $q$ - հողի ծավալային տրորման գործակիցը  $\text{м}/\text{м}^3$ :

Նշված բանաձևերից առավել ճիշտ է Վ.Վ. Կացիզինի բանաձերը. որը ցանքի նախապատրաստված հողի համար ունի հետևյալ տեսքը՝  $P=9\lambda$  (0.12 λ):

Հողի դեֆորմացիայի ֆիզիկական իմաստը առավել արտահայտում է ծավալային տրորման գործակիցը՝

$$q = \frac{F}{S\lambda}, \text{ Г/м}^3 \quad (1.8)$$

և ցույց է տալիս քանի ն ուժ է պահանջվում հետագա յուրաքանչյուր լամ՝ ծավալի հողի տրորերու համար: Թարմ վարված հողում  $q=1-26/\text{м}^3$ , խոզանում, ցերում, մարգագետնում՝  $5 - 10\text{м}/\text{м}^3$ . գրունտային ճանապարհում  $50-90\text{м}/\text{м}^3$ :

Հետագույն թյուների ժամանակ չափագանց կարևոր է տրորման դիմայլության  $P_{np}$  սահմանի կամ հողի տանող բնդրնակության սահմանի որոշումը:

$$P_{np} = \frac{F_{np}}{S}, \text{ Г/м}^2 \quad (1.9)$$

Հաճախ դեֆորմացիայի գնահատման ժամանակ անհրաժեշտ է լինում որոշել ծախսված էներգիայի չափը: Առաջին և երկրորդ փուլերում տրորման վրա ծախսված էներգիաները համապատասխանորեն որոշվում են հետևյալ քանածներով՝

$$E_1 = F_{np} \frac{\lambda_{np}}{2} \quad (1.10)$$

$$E_2 = F_{np} (\lambda_B - \lambda_{np})$$

կատարելով սրոշակի տեղադրումներ կստանանք՝

$$E_1 = qS \frac{\lambda_{np}^2}{2} \quad (1.11)$$

Դիագրամի (նկ.1.2) տվյալների և (1.11) արտահայտության վերլուծությունները ցույց են տալիս, որ հողի վրա տեսակարար վիճակություններ չպետք է հասնի իր սահմանային արժեքին ( $F_{np}$ ), իականակ դեպքում հողը կազմու «հստել» - դեֆորմացիան կաճի ժամանակից կախված, իսկ էներգիան, կախված դեֆորմացիայից, կաճի կրկնակի չափով:

Հողի ամրաթյան մասին լրիվ պատկերացում կազմելու հաճար ցանկալի է կառուցել  $F=f(\lambda)$  ֆունկցիայի միջինացված դիագրամը, այդ նպատակով առաջնային կորերից նախապես յուրաքանչյուր խորության (2սմ) համար որաշվում են միջին արժեքներ:

Նշենք նաև, որ կորելյացիոն կապ գոյություն ունի միայն վարի գործընթացի և լաղի ամրության  $P$ -ի միջև:

#### 1.4 Հողի տեխնոլոգիական հատկանիշները

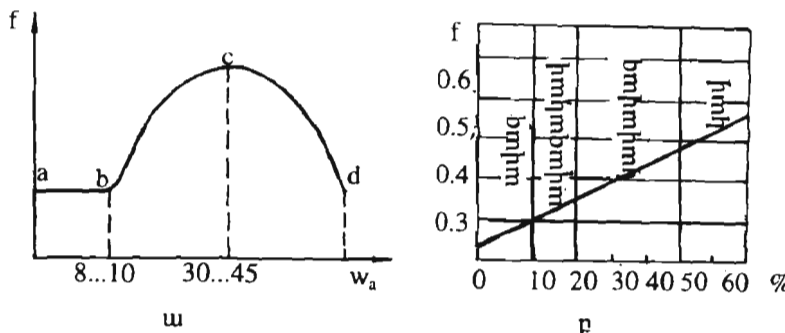
Հողի տեխնոլոգիական հատկանիշներ են կոչվում այն հատկանիշները, որոնք ի հայտ են գալիս հողի մեխանիկական մշակության գործընթացի լնիքացրում և ուղղակի կամ անուղղակի ազդեցություն ունեն հողի ամրության վրա:

Դիմադրությունը տարբեր տիպի դեֆորմացիաների նկատմամբ: Սլինյում էներգետիկ ծախսերով տեխնոլոգիական գործընթացի

բարձր որակ ապահովելու համար անհրաժեշտ է իմանալ և ամրության սահմանները տարբեր տեսակի լարումների ժամանակ։ Յափոք այս ստորև ամբարձությամբ տվյալները դեռ բավարար չեն ոչ միայն առանձին գոտիների, այլև հողատիպերի համար։ Ներկայումս գրականության մեջ հայտնի են որոշ հողատիպերի ամրության սահմանումներ, դրանցից են կավավագային և ամրության գաման ժամանակավոր լարումը՝ 5 - 6 կՊա սահքինը՝ 10 - 12 կՊա սեղմնանը՝ 65 - 108 կՊա

Բերված տվյալները ցույց են տալիս, որ ևսուի մեխանիկական մշակության ժամանակ անհրաժեշտ է ձգուել գաման դեֆորմացիայի։ Նշենք, որ ևսուի դիմադրությունը տարբեր տիպի դեֆորմացիաների ժամանակ փոքրանում է խոնավության մեծացման հետ (որոշակի սահմաններում) և ստրուկտորայի լավացման դեպքում։ Սահքի և գաման դիմադրությունները զգալիորեն կախված են հողային գանգվածում բուսական, արմատային համակարգի առկայությունից։

**Ֆրիկցիոն հատկանիշները:** Ծփումը ի հայտ է գալիս երկու մարմինների՝ մեկը մյուսի նկատմամբ սահքից։



Նկ. 1.4. Հողի և պողպատի միջև շփման գործակցի կախվածությունը։ ա- բացարձակ խոնավությունից  $W_a$ , բ-հողում «ֆրիկական կավի» (0.01մմ փոքր ֆրակցիայի) պարունակությունից։

Շփման գործակիցը հաստատուն չէ և փոփոխվում է՝ կախված և վիճակից և հատկանիշներից (նկ. 1.4.ա, բ)։ Հաշվարկների համար լընդունվում է «հասուն» հողի և պողպատի միջև շփման գործակցի  $f=0.5$  մեծությունը։

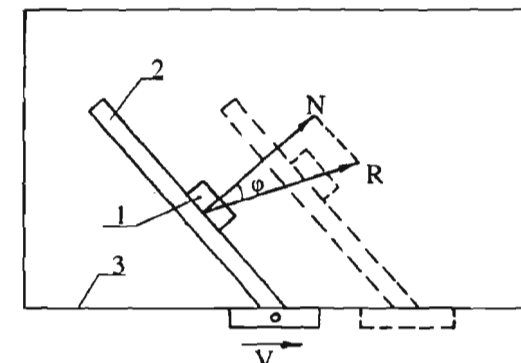
Շփման գործակիցների արժեքները տարբեր և սովորական համար բերվում են աղյուսակում։

Հողի տիպը	$f=tg\phi$	$\phi$
Ավագային և ավագակավային (վիլսոն)	0.25 - 0.35	$14^{\circ} - 19^{\circ}30'$
Ավագային և ավագակավային (կապակցված)	0.5 - 0.7	$26^{\circ}30' - 35^{\circ}$
Թերթ և միջին կավավագային	0.35 - 0.5	$19^{\circ}30' - 26^{\circ}30'$
Ծանր կավավագային և կավ	0.4 - 0.9	$22^{\circ} - 42^{\circ}$

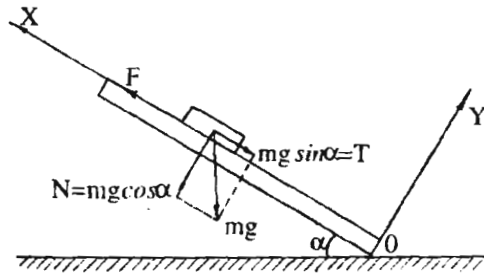
Այսակում  $f$ -ի մինիմում արժեքները, բացառությամբ կապակցված ավագային և ավագակավային հողերի, համապատասխանում են ցածր, իսկ մաքսիմումը՝ բարձր խոնավությանը։ Ավագային հողերի մոտ հակառակ օրինաչափությունն է։

Խոնավության մեծացման հետ շփման գործակցի աճը բացարձակ է ևսուի և մետաղի միջև մոլեկուլյար ձգութականության ուժեղությամբ առաջացումով։

Գոյություն ունի երկու տեսակի սահքի շփում՝ շարժման և դադարի։ Դադարի շփման գործակիցը որոշվում է թերթ և արդարության և Վ. Ա. Ժելիգովսկու սպասքով։ Վ. Ա. Ժելիգովսկու սպասքի աշխատանքի սկզբունքը կայանում է նրանում, որ ընդունվում է նյուրի շարժումը հակագրման ուղղությամբ՝ նորմալից  $N$  շեղված շփման անկյան գործակությունը ([նկ. 1.5](#))։



Նկ. 1.5. Շփման գործակցի Ժելիգովսկու մեթոդով որոշման սխեմա  
1-հողային նմուշը, 2-շփող մակերևույթը, 3-գծագրական տուխտակ



Նկ.1.6. Թեր հարթության միջոցով դադարի շփման գործակցի որոշման սխեմա

Թեր հարթության վրա դադարի շփման գործակցի որոշումը հիմնված է շփող մակերևութիւնի դրվագի անկյան  $\alpha$  և շփման անկյան գ կապի վրա (Նկ.1.6.)

Դիտարկելով նյութի անկայուն հավասարակշռության դիրքը թեր հարթության վրա, կարող ենք գրել՝

$$F=T \quad (1.12)$$

$$fmg \cos \alpha = mg \sin \alpha \quad (1.13)$$

Հաշվի առնելով  $f=\text{tg}\phi$  և տեղադրելով, (1.12), կստանանք՝

$$\alpha=\phi \quad (1.14)$$

Այսինքն, պրոցես նյութի անկայուն հավասարակշռության դիրքը, շափելով  $\alpha$  անկյունը՝ կստանանք նաև շփման անկյունը  $\alpha=\phi$  արտահայտությունից:

Շարժման շփման գործակցի որոշման նպատակով կազմվում է նյութի շարժման հավասարությունը  $OX$  հարթության վրա՝

$$m \ddot{x} = mg \sin \alpha - fmg \cos \alpha \quad (1.15)$$

Հաշվի առնելով, որ  $\ddot{x} = \frac{2S}{t^2}$ , կստանանք

$$f_2 = \text{tg}\alpha - \frac{2S}{gt^2 \cos \alpha} \quad (1.16)$$

Տեղակայելով թեր հարթությունը  $\alpha>>\phi$  անկյան տակ, հաշվում է ժամանակում  $t$  նյութի անցած  $S$  ճանապարհը և (1.16) որոշվում շփման գործակցը  $f_2=\text{tg}\phi_2$

Հողի կպչունությունը նոյնի մասնիկներից մակերևութիւն կպչելու լրացնակությունն է: Այն արտահայտվում է երկակի տեսքով՝ բանող նակերևույթի վրայով կողի ասելիքի դիմավրաբյան և նոյն մակերևույթին կպած հոյնի պոկման ուժադրությամբ: Հոյնի սահրի դիմավրաբյունը կպչելուց սրոշվում է հետևյալ բանաձևով՝

$$T_{\text{որ}}=P_0 S + PNS \quad (1.17)$$

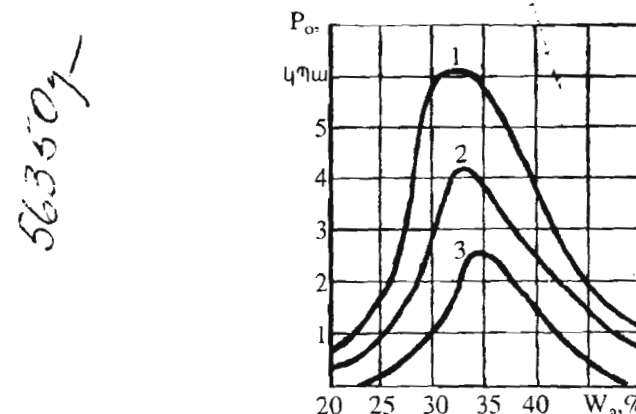
որտեղ՝  $P_0$  - նորմալ ճնշման բացակայության պայմաններում տեսակարար կպչունության շոշափող ուժերի գործակցն է,  $\Phi$ ,

$P$  - նորմալ ճնշումից առաջացած տեսակարար կպչունության շոշափող ուժերի գործակցը,  $\text{մ}^2$ ,

$S$  - հպման տեսանելի մակերեսը,  $\text{մ}^2$ ,

$N$  - նորմալ ճնշման ուժը,  $\text{N}$ :

Ոչ ստուկտորային նոյների մոտ կպչունությունը ի հայտ է գալիս  $W_0=40-50\%$ , ստուկտորային հոլերում՝  $W_0=60-70\%$  հարաբերական խոնավության դեպքում:



Նկ.1.7 Կպչունության տեսակարար ուժի  $P_0$  կախվածությունը հոյնի բացարձակ խոնավությունից  $W_a$ : 1-պողպատ, 2-կավրոն, 3-փառորոպլաստ:

Հերված (1.17) արտահայտության վերաբերյալ ցոյց է տալիս, որ ի տարրերության շփման ոժի՝  $F = fN$  կազմությունը կախված է մակրեսի չափից և ի հայտ է գալիս նույնիսկ նորմալ ճնշման բացակայության դեպքում:

Կազմության տեսակարար ոժի կախվածությունը հողի խոնափորյունից պատկերված է նկ. 1.7., որի ցոյց է տալիս, որ խոնափորյան մեծացման հետ կազմությունը աճում, ապա՝ փոքրանում է:

Ընդհանուր առմամբ բանով օրգանները ցեխություն են, եթե շփման և կազմության տեսակար ուժերի գումարը մեծ է հողի սահիք ամրության սահմանից:

#### **Պլաստիկություն և առաձգականություն, մածուցիկություն և փխրունություն:**

Հողի պլաստիկությունը՝ որ արտաքին քննվածության տակ ձեռափոխման և քեռվածությունը հասնելուց հետո այն պահպանելու հատկանիշն է: Պլաստիկությունը կախված 1. հողի մեխանիկական կազմից, խոնափորյունից և քննությունից է պլաստիկության քիով՝

$$W_n = W_m \cdot W_p, \quad (1.18)$$

որտեղ՝  $W_n$ -պլաստիկության վերին սահմանն է (այն խոնափորյունը, որի ժամանակ քերելու ցացումից զանգվածը հոտառ է),

$W_p$  - պլաստիկության ներքնի սահմանն է (այն խոնափորյունը, որի ժամանակ 3մմ տրումագծով գրտնակած ծալր սկսում է փշրվել):

Ավագակավային հողերի պլաստիկության քիով՝  $W_n = 1 - 7$  լ. կավագագայինը՝ 7 - 17, կավիճը՝ 17-ից բարձր: Առաձգականությունը հակադրվում է պլաստիկությանը: Առաձգականությունը հողի ձեփ վերականգնման հատկանիշը է արտաքին քեռվ հանելուց հետո: Հողի առաձգական դեֆորմացիայի հարաբերական մեծությունը տասանում է 30 - 80% սահմաններում:

Մածուցիկությունը՝ հողի դանդաղ ձեռափոխությունն է՝ կախված քերից և ժամանակից: Որքան տեսական է քեռվ ազդեցությունը, այնքան մեծ է հողի դեֆորմացիան: Հողի մածուցիկությունը կախված է պինումանից և դեպքում օդի և ջրի փոխադարձ տեղաշարժից:

Փխրունությունը հակադրվում է մածուցիկությանը: Փխրուն հողերում բացակայում է պլաստիկ դեֆորմացիան: Միայն առանձին դեպքերում հողը կարող է օժտված լինել մեկ հատկանիշով, ոնդանուր առմամբ այն առաձգական, մածուցիկ և պլաստիկ նյութ է:

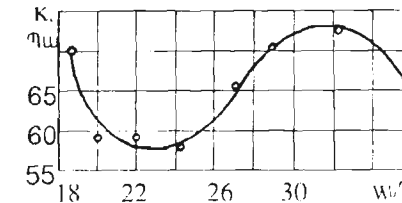
**Հողի տեսակարար դիմադրությունը:** Բայ մշակության դժվարության հայերի լայակագման ցուցանիշը է վարի ժամանակ տեսակարար դիմադրությունը

$$K = \frac{P}{nab} \quad (1.19)$$

որտեղ՝  $P$ -գործանի քարշային դիմադրությունն է, ն.

ա. բ-առի չափերը սմ,

ո-իրանների քիով:



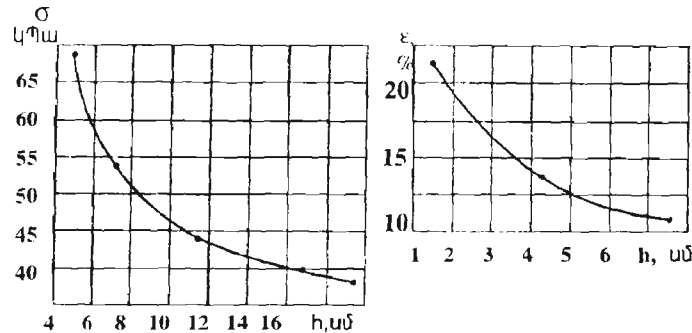
Նկ. 1.8. Թթվականագային հողի տեսակարար դիմադրության  $K$  կախվածությունը բացարձակ խոնափորյունից  $W_n$ :

Հողի տեսակարար դիմադրությունը կախված է խոնափորյունից, մեխանիկական կազմից, ճիպումածությունից և այլն. և փոփոխականը է 0.2-1.3 կգուժ/սմ<sup>2</sup> սահմաններում: Տեսակարար դիմադրության փոփոխությունը, կախված հողի խոնափորյունից ներկայացված է նկ. 1.8:

#### **Ճիմուվածությունը և նրա ազեցուքյունը հողի տեխնոլոգիկական հատկանիշների վրա**

Խաճ և խոպան, մարգագետնային, տոլդիային, բազմամյա խոտերից ազատված լաշտերի հողերը գործված են բոյսերի խիտ արմատային ցանցով: Հզոր արմատները գտնվում են 6 - 18սմ և ավելի խորության վրա: Այսպիսով, վարելաշերար բաղկացած է երկու տեխնոլոգիական հատկանիշներով տարբեր հողերից: Վերին շերտն ունի առաձգական, իսկ ներքեւնը պլաստիկ հատկանիշներ: Միաժամանակ անհրաժեշտ է նշել, որ հողի վերին՝ արմատային համակարգով հարուստ շերտը, ըստ խորության տնի փոփոխական հատկանիշները: (նկ. 1.9.)

Այսպես օրինակ, ճիմուտ հողի ծգման ամրարյան սահմանը՝ կախված նմուշի հողաշերտի խորությունից է, փոփոխվում է հիպերտոլային օրենքով: Մոտավորապես նույն կարգով փոփոխվում է հարաբերական երկարացման ε աստիճանը: Այսինքն, որքան մեծանում է հողի շերտի խորությունը, այնքան փոքրանում է հողի առածգականությունը:



Նկ.1.9 Կապակցված ճիմուտ հողի նմուշի խորության ազդեցությունը

ծգման ամրության սահմանի Ը դրան համապատասխանող

հարաբերական երկարացման ε վրա:

ճիմի կապակցվածությունը որոշվում է բատ ծգման փորձարկման ճանապարհով, այն հավասար է կտրման ուժի և նմուշի լնդլայնական հատվածքի մակերեսի հարաբերությանը:

Վարելակողերի ճիմուտության աստիճանը նույնպես որոշվում է փորձնական ճանապարհով՝ վերցվում է առի խորությանը համապատասխան նմուշը և դրանից առանձնացվում առողջետնյա արմատային համակարգը, լվացվում, չորացվում և կշռվում: Արմատային զանգվածի հարաբերությունը նմուշին տալիս է ճիմուտության աստիճանը,  $\eta^2/\eta^3$ : Համաձայն փորձնական տվյալների խամ հողի ճիմուտության աստիճանը կազմում է 18 - 39, խոպան հողինը՝ մինչև 24, երկու տարի օգտագործված բազմամյա հողից ազատված դաշտի լողին՝ 4.5 - 8  $\eta^2/\eta^3$ .

**Մաշային հատկանիշները** Իիմնականում կախված են հողի մեխանիկական կազմից: Հաստատված է, որ մեկ հեկտար վարից հետո խոփի մաշը կավային և կավագագային հողերում կազմում է 2 - 30 գ,

ավագային և ավագակավային հողերում՝ 30 - 100գ, մեծ քարքարությամբ ավագային հողերում՝ 100 - 450գ: Այսպիսով, մաշային հատկանիշի կրիտերիյան հողում ֆիզիկական ավազի առկայությունն է: Առավել մաշային հատկությամբ ևս օժտված 0.01 - 0.25 մմ շափի ավագային հատիկները :

## 2. Հողի մեխանիկական մշակության տեխնոլոգիական հիմունքները

Հողագործը չի կարող փոփսել իրեն պատկանող տարրածքների հողատեսքերը, բայց հնարավորաբերյան ունի որոշակի ձևով վերահսկել ժամանակի ընթացքում կատարվող հողատեսքի փոփոխությունները, հատկապես նրա աճրությունը: Դա կատարվում է հողի մեխանիկական մշակության ձևով, որի հիմնական նպատակն է մշակաբուսերի համար ստեղծել աճի ու զարգացման առավել նպաստավոր պայմաններ՝ միաժամանակ բարձրացնելով բերրիությունը:

Հողի մեխանիկական մշակությունը կատարվում է տարբեր տեխնոլոգիական գործընթացներով՝ վար, կուլտիվացիա, ցաքանում, գլանվակում, խոր փլարեցում և այլն, որոնք իրենց հերթին բաղկացած են տեխնոլոգիական մի քանի փոլերից: Անկախ դրանց քանակից և ծնից հողի մեխանիկական մշակության իրականացման համար անհրաժեշտ է ունենալ երեք էլեմենտներ՝ էներգիա (արակտոր), քանող օրգան (գրաբամ, կուլտիվատոր և այլն) և մշակության օբյեկտ (հող): Այս երեք էլեմենտների միաժամանակ փոխազդեցությունը հանգեցնում է հողի հատկանիշների և վիճակի փոփոխությանը: Մարդու պարտականությունն և այդ փոփոխությունը տանել բույսերի համար աճի ու զարգացման առավել արյունավետ պայմանների ստեղծման ուղղությամբ:

Տարբերում են հողի մշակության հիմնական և լրացուցիչ համակարգեր: Հիմնական համակարգն իր հերթին երկու տեսակ է՝ քնավոր և անքն մշակության, լրացուցիչ՝ նախացանքային և եղանակային:

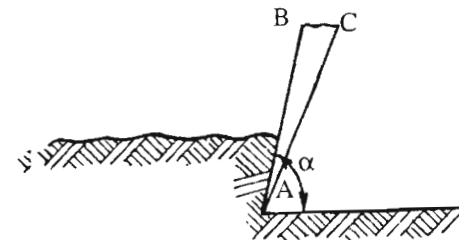
Հողի մշակության համակարգին համապատասխան ընտրվում են նաև հողամշակման մեթոնները:

### 2.1 Սեպը որպես հողամշակման գործիքների հիմք և նրա փոխազդեցությունը հողի հետ

Հողի մեխանիկական մշակության սրակը կախված է ինչպես մշակության միջավայրի տեխնոլոգիական հատկանիշներից, այնպես էլ քանող օրգանի երկրաչափական ձևից:

Ակադեմիկոս Վ.Պ. Գորյաչկինը գոյց է տվել, որ սեպը ամենապարզ (կուլտիվատորային բարիկ) և ամենաբարդ (գրաբամի բարի օրգանների հիմքն է, այդ պատճառով պարզագույն դեպքում հողամշակման օրգանների սեպի ազդեցությունը հսկի վրա մոտավոր նույնացվում է:

Ըստ երկրաչափական ձևի սեպերը լինում են հարթ և կորագիծ (բարիկ, խոփ, թև) մյուս կուլմից տարբերում են ուղիղ և շեղ միանիստ, երկնիստ և եռանիստ սեպեր: Միննույն սեպը, կախված շարժման ուղղությունից, կարող է լինել ուղիղ և շեղադիլի: Սեպերի տեսակները (բառ նիստերի թվի) բնորոշվում են հողի հետ անմիջականորեն փոխազդեցության մեջ մտնող նիստերի թվով:

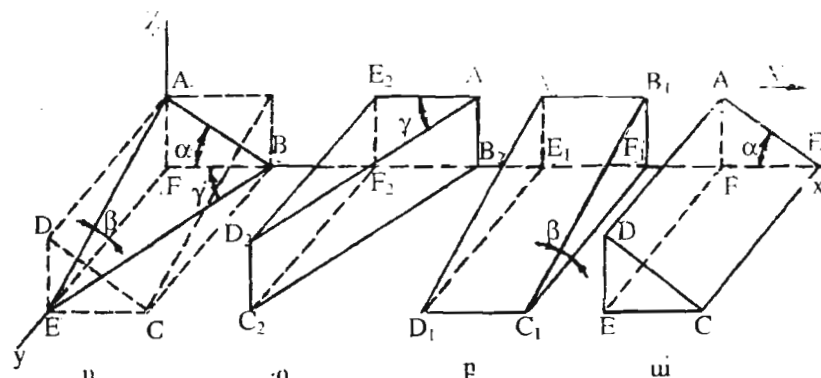


Նկ.2.1 Հարթ միանիստ սեպ

Իրականում չկան միանիստ սեպեր (նկ.2.1) քանի որ սրոշ ժամանակ աշխատելուց հետո մաշվում է քիչը և այն դառնում է երկնիստ, որոնցից մեկը քանող է, մյուսը՝ հենարան (նկ.2.2):Երրորդ՝ ետին նիստը, կանգնակ է, և չի մասնակցում տեխնոլոգիական գործընթացի կատարմանը:

Տարածության մեջ միննույն երկնիստ սեպը տեղադրելով տարբեր ձևով (նկ.2.2) կարելի է ստանալ հարթ սեպի երեք տարբերակներ: Առաջին սեպը կուլմով հողը բարձրանում է՝  $\alpha$  անկյան տակ և փլարեցնում. այդ պատճառով  $\alpha$  կոչվում է փլարեցման անկյուն: Երկրորդ սեպը իր վրա վերցնելով առը շրջում է՝  $\beta$  (շրջման) անկյան տակ: Երրորդ սեպը ցանկան տակ կատարում է առի կողը երան:

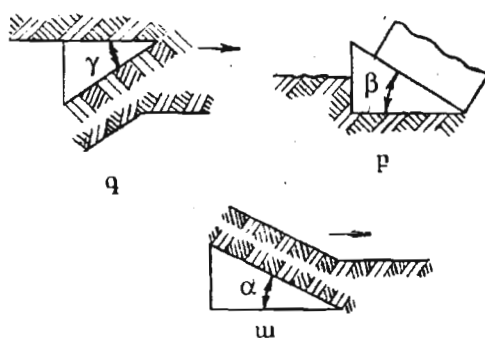
Կառավարության հորիզոնական հարթության մեջ կատարում է այն դեպքը, ինչ որ  $\alpha$ -ն՝ ուղղաձիգ հարթության մեջ:



Նկ.2.2. Հարթ սեպերի տարրատեսակներ՝

ա-պարզ, փիրուզման ռ անկյունով. բ-պարզ, շրջման Յ անկյունով.  
գ-պարզ, կողը հրման γ անկյունով և դ-շեղ եռանիստ սեպ. α, β, γ  
անկյուններով:

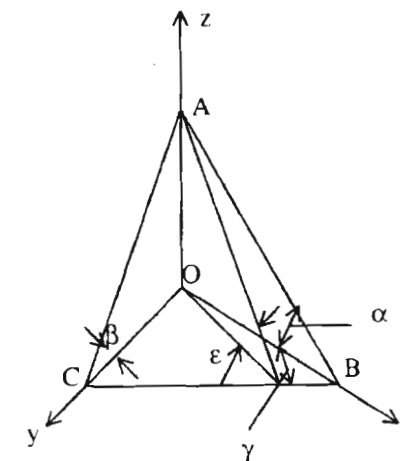
Այդ երկու անկյունների աջակցում են առլ քայլայման գործընթացին տարրեր հարթություններում (Նկ.2.3): Կատարելով երեք սեպերի համատերում միևնույն կորոդինատային առանցքների վրա՝ կարելի է ստանալ մեկ եռանիստ սեպ (Նկ.2.2դ), որն ունի երեք  $\alpha$ ,  $\beta$ ,  $\gamma$  անկյուններ և որոնց առկայությամբ մեկ սեպի կատարվում են այն բոլոր գործընթացները, ինչ որ երեք պարզ սեպերով:



Նկ.2.3. Ելեմենտար սեպերի առի վրա ազդման բնույթը՝

ա- $\alpha$  անկյունով (տեսք աջից), բ- $\beta$  անկյունով (տեսք ետևից) և  
գ- $\gamma$  անկյունով (տեսք վերևից):

Այժմ. երև լինելու պես պատճենացնելով երկրաշափության օրենքներով. կու զիջու պատճենացնելով որպես անվերջ թվով լինելու պատճենացնելով գծերի գումարը դժվար չէ երկնատ սեպից ստանալ փխարեցնող քարիկ. եռանիստ սեպից՝ թևի մակերևույթ:



Նկ.2.4. Սեպի  $\alpha$ ,  $\beta$ ,  $\gamma$  անկյունների միջև կատի որոշման սխեմա

Դժվար չէ կրակել, որ եռանիստ սեպի երեք անկյուններից կարենի է լինելու միայն երկուսը, երրորդն անպայման պաշտում է երկուսի արժեքներով (Նկ.2.4):

Այսպես. Նկ.2.4.-ից կարող ենք գրել՝

$$OA = OB \cdot \tan \alpha = OC \cdot \tan \beta$$

$$\text{կամ } OA = OB \cdot \tan \alpha = OB \cdot \tan \gamma \cdot \tan \beta$$

$$\text{և } \tan \alpha = \tan \beta \cdot \tan \gamma \quad (2.1)$$

Նույն ձևով կարենի է ստանալ, որ

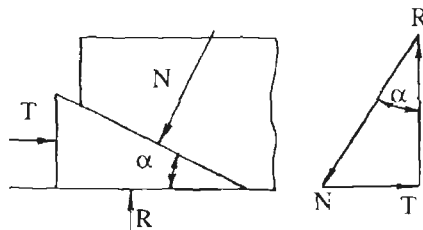
$$\tan \alpha = \tan \epsilon \cdot \sin \gamma$$

$$\text{և } \tan \beta = \tan \epsilon \cdot \cos \gamma \quad (2.2)$$

Սեպի դրական հատկանիշներից մեկն է այն է. որ փարք շային ուժով առաջանում են մեծ նորմալ լարումներ (Նկ.2.5)

$$N = \frac{T}{\sin \alpha}$$

Այդ լարումներն ըստ հողան հողը դեֆորմացիայի են ննրարկում բատ ծգման և սակրի, որի դեպքում անհրաժեշտ ճիզր մոտ 10 անգամ փոքր է, քան սեղման դեֆորմացիայի համար:



Նկ.2.5. Առի և սեպի միջև փոխազդեցության ուսումնասիրման սխեմա:

Խելացի օգտագործելով այդ լարումները՝ զգալյորեն մեծացվում և վիրեցման աշխատանքի օ.գ.գ.:

**Սեպի փիրեցման անկյան α ազդեցությունը հողի և նետ փոխազդեցության զորվածքացում հակայական է (նկ.2.6):** Կախված այդ անկյան մեծությունից՝ իրականանում է աշխատանքի ռեժիմներից որևէ մեկը հողի հարաբերական շարժման ապահովումով կամ առանց դրան:

Դիտարկելով նկ.2.6, կարող ենք գրել, որ ու մասնիկի անկյայուն հավասարակշռության դիրքում  $N$  նորմալ ուժի շոշափող բաղադրիչը հավասար է շվման ուժին՝

$$N_t = F \quad (2.3)$$

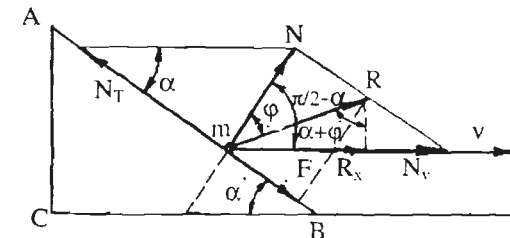
$$\text{բանի որ՝ } N_t = N \operatorname{tg}(90^\circ - \alpha) \quad (2.4)$$

$$\text{և } F = N \operatorname{tg} \phi \quad (2.5)$$

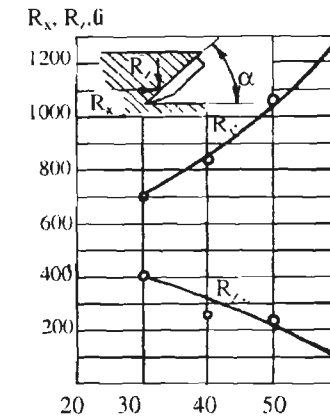
$$\text{ապա՝ } \alpha < 90^\circ - \phi \quad (2.6)$$

Հարեւի է ասել, որ (2.6) պայմանով կապահովվի հողի սակրի բանու մակերևույթի վրայով: Այս խնդիրն ամբողջությամբ վերաբեր-

փում է նաև խոփի կտրադ եզրին և մնացած կազմոյ գծերին, որոնց դիրքը պետք է բավարարի  $\gamma < 90^\circ - \phi$  պայմանին:



Նկ.2.6 Սեպի վրա ազդող ուժերը հողի ու մասնիկի հետ փոխազդեցության ժամանակ



Նկ.2.7. Սեպի դիմադրության  $R_s$  և  $R$ , բաղադրիչների փոփոխությունը՝ կախված փիրեցման անկյունից  $\alpha$  (հողը կավազագին, խոնավությունը 24%, մշակության խորությունը 16սմ, ընդգրկման լայնությունը 50մմ):

Փիրեցման  $\alpha$  անկյունը հակայական ազդեցություն ունի նաև սեպի քարշային դիմադրության վրա (նկ.2.7):

Մեծացնելով  $\alpha$  անկյունը՝ ինտենսիվորեն աճում է դիմադրության նրագունական բաղադրիչը՝  $R_s$  և պակաս ինտենսիվ փոքրանում է ուղղաձիգ բաղադրիչը  $R_c$ :

Բերված տվյալներից երևում է, որ սեպի համար աշխատանք և փոքր էներգետիկական ծախսեր կապահովվի փոքր լրիվածքի ռանդաւանդաւում:

Անդրադառնայով նկ. 2.6-ին՝ դժվար չէ որոշել, որ տեսականորեն սեպի բարշային դիմայլությունը՝

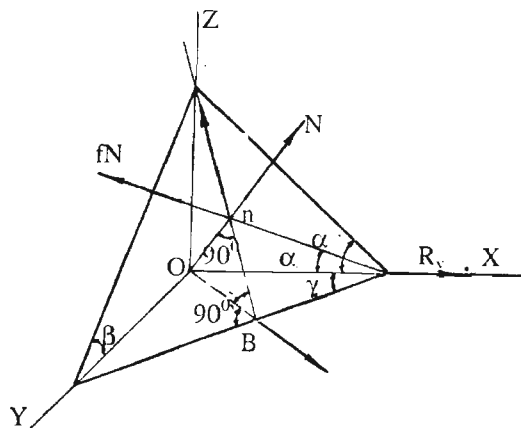
$$R_x = N \frac{\sin(\alpha + \varphi)}{\cos \varphi}, \quad R_z = N \frac{\cos(\alpha + \varphi)}{\cos \varphi} \quad \text{միանգամայն}$$

համապատասխանում է փորձնական տվյալներին (նկ.2.7):

Որոշակի հետաքրքրություն է ներկայացնում ուղիղ և շեղատիր սեպերի բարշային դիմայլությունների համեմատական գնահատականը (նկ.2.8). Նկ.2.8-ից շեղատիր սեպի համար կարող ենք գրել՝

$$R_\gamma = N \frac{\sin(\alpha' + \varphi)}{\cos \varphi}, \quad \text{իսկ ուղիղ սեպի համար փիստեցման անկյունով՝}$$

նույնությունը՝



Նկ.2.8. Ուղիղ և շեղատիր սեպերի ուժային վերլուծության պիտօն

$$R_\varepsilon = N \frac{\sin(\varepsilon + \varphi)}{\cos \varphi}$$

Նկ.2.8-ի համաձայն կարող ենք գրել՝

$$\sin \alpha' = \frac{\tan \varepsilon}{\tan \varphi}, \quad \text{մյուս կողմից } \sin \varepsilon = \tan \alpha / \tan \varphi$$

Քանի որ  $\tan \varphi = \text{OB}/\text{OA}$  ( $\tan \varphi = \text{ON}/\text{OA}$ ), կնշանակի՝  $\sin \varepsilon > \sin \alpha'$

$$R_\varepsilon > R_{\alpha'}$$

Այսպիսով, ուղիղ սեպի բարշային դիմապատրիունը ավելի մեծ է շեղատիր սեպից: Սրանով ապացուցեց շեղատիր սեպի ևս մի կարևոր հատկանիշ:

**Հոյի դեֆորմացիան սեպով:** Հոյի դեֆորմացիայի բնույթը սեպի փոխագրեցության ժամանակ շափականց տարատեսակ է և կախված է առիջ վիճակից և հատկանիշներից: Սեպի ազդեցության տակ քայլ կապակցված պլաստիկ հողը, որն էական դիմապատրիուն չի կարող ցույց տալ ծովանքը, դեֆորմացիայի է ենթարկվում երկու փուլով՝ պարբերաբար հողի խտացումք, որը գանգվածում առաջ է բերում շոշափող լարումներ և երկրարդ փուլը, երբ շոշափող լարումները գերազանցում են սահը ժամանակավոր լարմանը, հողը ճաքում է, և հենվելով սահը ներքեւ հարթարքյան վրա, շարժվում է  $V_s$  բացարձակ արագությամբ:

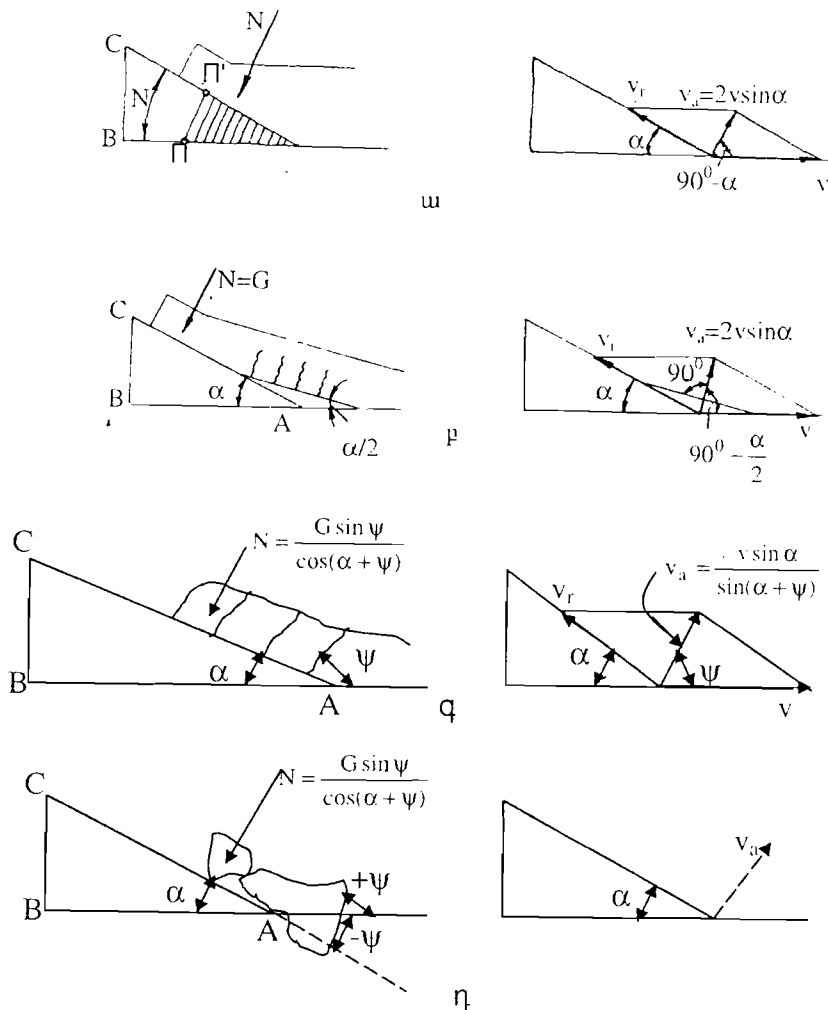
Աշխատանքի ժամանակ սեպը տեղաշարժվելով ո կետուց  $A$ , ո Աշակուվ, հողի ո մասնիկը տեղաշարժվում է դեպի ո՛ դիրքը: Այս դեպքում, եթե գոյություն ունի հողի մասնիկի սահը, ապա շփման ուժի ազդեցության տակ ո՛ տեղաշարժք նորմալից շեղված կլինի գ շփման անկյան տակ, հակառակ դեպքում տեղաշարժք կլինի նորմալի  $N$  ուղղությամբ (նկ.2.9 ա):

Շարտնակերպ սեպի տեղաշարժը՝առը սկսում է ծովել (նկ.2.9.թ): Եթե առ ճիմուտ է, շարտնակում է ծովան դեֆորմացիան: Ստորև կտուրային հողերի մոտ ծովան դեֆորմացիայի հետևանքով առաջանալու ճաքեր, հորիզոնի նկատմամբ պահպան տակ (նկ.2.9.զ) և պոկված հողակտուրը շարժվում է  $V_s$  արագությամբ այլ օրինակությամբ:

Գերչոր հողերի սեպի ազդեցության տակ մոնուլտուց պոկվում են կոշտերի ծեռվ (նկ.2.9.ղ), որի հետևանքով ակոսի հատակը ստացվում է փորված: Ճիմուտ հողը ճաքեր չի տալիս, առ ստացվում է անընդհատ ժապավենի տեսքով:

Ժամանակակից մի շարք գիտական աշխատանքներում և լասագրերում լրացնվում է, որ սեպի ազդեցության տակ ճաքերն

առաջանում են այն հարթություննում, որտեղ հակագդան լուծերը  $\bar{R} = \bar{N} + \bar{F}$  ստանում են ամենամեծ արժեքը: Մինչեւ նյութերի դիմայությունից հայտնի է, որ ճաքերն առաջանում են այնտեղ, որտեղ շոշափող լարումներն ամենամեծն են և գերազանցում են սահքի ժամանակավոր լարումներին:

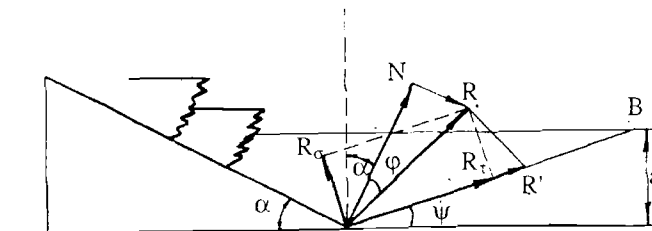


Նկ.2.9. Սեպի բանող գործընթացի փուկեր՝  
ա- խտացում, բ- ծռում, գ- ճաքում, դ- սոլիում:

Որպեսզի համոզվենք այդ երկու դրայքների էական տարրերության մեջ, տեսականորեն ուսումնասիրենք այդ հարցերը:

Խնդիրի առաջին տարրերակում որոշենք այն հարթության տրդությունը, որտեղ հակագդամբ՝  $R$ , ստանում է մաքսիմում արժեք (նկ.2.10):

Ըստիանուր դեպքում սեպի վրա ազդում են նորմալ  $N$  ուժը և շփման  $F$  ուժը, որոնք տալիս են  $\bar{R} = \bar{N} + \bar{F}$  համագործ:



Նկ.2.10. Սեպի շարժման հարթության մեջ ճաքի ուղղության որոշման սխեմա:

Շնորհնենք, որ ճաքն իրոք առաջանում է  $R$ -ից մեծ  $R'$  հակագդման տրդությամբ կորիգումի նկատմամաբ ψ անկյան տակ: Համաձայն նկ.2.10-ի կարող ենք գրել, որ  $R' = R / \sin(\alpha + \varphi + \psi)$ : Այս արտահայտության մասնակի ածանցյալն ըստ ψ անկյան հավասարեցնելով գրոյի, կտանանք:

$$\psi = 90 - (\alpha + \varphi) \quad (2.7)$$

Ստացված բանաձևից պարզվում է, որ ճաքի տրդությունը  $R'$  համրնենում է  $R$ -ի հետ նորմալից շելքած Փ անկյան տակ:

Այժմ բնդունենք, որ ճաքն առաջանում է  $AB$  հարթության մեջ, որտեղ շոշափող լարումները ստանում են ամենամեծ արժեքները: Սեպը շարժվելով առաջ՝ սկզբում խտացնում է իոլը, ապա առաջացնում ճաք  $AB$  հարթությամբ: Ճաքի մակերեսը կլինի  $AB$ -ի,

$$AB = \frac{a}{\sin \psi}, \text{ ուստի } AB \cdot b = \frac{a \cdot b}{\sin \psi} : \text{ Համագոր R ուժը, բալանտերով}$$

Եթեմ բաղադրիչների  $A_3$  հարթությանը զուգահեռ  $R_t$  և նորմալի տվյալը  $R_\sigma$ , կստանանք՝

$$\left. \begin{aligned} R_\tau &= R \sin(\alpha + \varphi + \psi) \\ R_\sigma &= R \cos(\alpha + \varphi + \psi) \end{aligned} \right\} \quad (2.8)$$

Ըոշափող տեսնությունը կազմակերպությունների համար համապատասխանաբար կստանանք:

$$\left. \begin{aligned} \tau &= R \sin(\alpha + \varphi + \psi) \frac{\sin \psi}{a \cdot b} \\ \sigma &= R \cos(\alpha + \varphi + \psi) \frac{\sin \psi}{a \cdot b} \end{aligned} \right\} \quad (2.9)$$

Սահիբի հարթության ուղղությամբ կունենանք մի ուժ՝  $S$ , որը հավասար կլինի շոշափող  $R_t$  և նորմալ սիմլի  $R_\sigma$  առաջացած շփման՝  $R_\sigma$  սիմերի գումարին ( $t^2$ -իովի ներդրյան շփման գումակյան):

$$S = R \left[ \sin(\alpha + \varphi + \psi) + \tan \varphi \cos(\alpha + \varphi + \psi) \right]$$

Ուրեմն AB հարթության մեջ առաջացած շոյափոյ

յարումները հավասար են  $\frac{S \sin \psi}{a+b}$  կամ

$$\frac{S \sin \psi}{a \cdot b} = \frac{R [\sin(\alpha + \varphi + \psi) + \tan \varphi \cos(\alpha + \varphi + \psi)] \sin \psi}{a \cdot b}$$

Ամենամեծ շոշափողը լայտումների ուղղությունը գտնելու համար ածանցենք վերջին արտահատությունը լստ ψ-ի և հավասարեցնենք գործի.

$$\frac{\partial}{\partial \psi} \left( \frac{S \sin \psi}{a \cdot b} \right) = \sin(\alpha + \varphi + \varphi' + 2\psi) = 0, \text{ mithilf}$$

$$\alpha + \varphi + \varphi' + 2\psi = 180^\circ, \text{ always}$$

$$\psi = 90 - \frac{\alpha + \varphi + \varphi'}{2} \quad (2.10)$$

Փորձնական տվյալների վերլուծությունը ցույց է տվել, որ  $\alpha < 90^\circ$ -ի  
արժեքի դեպքում ճարի տորությունը համապատասխանում է  $(2.10)$   
արտահայտությանը,  $\psi = 90^\circ - (\alpha + \varphi)$  արտահայտությունը ճիշտ է միայն  
մեկ մասնավոր դեպքում. Եթե  $90^\circ - (\alpha + \varphi) = 90^\circ - \frac{\alpha + \varphi + \varphi'}{2}$ ,

որտեղից օչ-գութիւնը կամ ու գութիւնը մասնաւությունների անդամանությունը կամ անդամանությունը կամ անդամանությունը:

Ինչպես արդեն նշվեց (2.10) բանաձևը ճիշտ է, եթե  $\alpha < 90\text{-}\phi$  և  
տեղի ունի առի հարաբերական տեղաշարժ: Իրականում մի շարք  
բանու օրգանների աշխատանքի ժամանակ (վիրեցմուն թարիկներ)  
 $\alpha > 90\text{-}\phi$ : Այս դեպքում (սեպի) մակերևոյթի վրա առաջանում են  
լույսին խտացումներ և հոյի դեֆորմացիան առաջանում է այդ  
խտացման անմիջական ազդեցության տակ, որի վրա ծածքի անկյունը  
 $\alpha = 90\text{-}\phi$ : (2.10) արտահայտքան մեջ վոխարինելով  $\phi = \varphi'$  և  $\alpha = 90\text{-}\phi$ .  
կստանանք՝

$$\Psi = 45^0 - \frac{\Phi}{2} \quad (2.11)$$

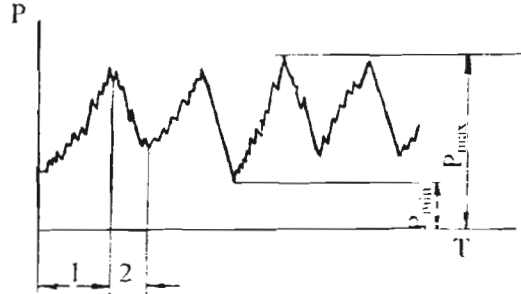
Սեպի շարժման ուղղակայց հարթուրյան մեջ կողային ճաքերի միմյանց հետ կազմած անկրունի բնորունքում է հավասար խողի ներքին շիման անկանո՞ք:

Հողի դիմադրության փոփոխության բնույթ

Հայլի ֆիզիկական և տեխնոլոգիական ցուցանիշներից կախված դիմայության փոփոխությունը կարող է լինել ցիկլային և ոչ ցիկլային։ Հոգի դիմայրաբյան փոփոխությունը ոչ ցիկլային բնույթը քննությ է կապսկզբած ճիմու և լողերին, որոնց վարի ժամանակ առը ստացվում է համապատասխան ժապավենով։

Սեպի աշխատանքի ժամանակ դեֆորմացիայի առաջին փուլում ոչ կապակցված հողերում կատարվում է հողային զանգվածի խտացում. իսկ չոր կապակցված հողերում՝ ծովան դեֆորմացիա: Երկու դեպքում էլ աստիճանաբար սեպի շարժման հետ սկսում է աճեց վիճակուրունք՝ նվազագույնից լեզու առավելագույնը (Ան.Հ.11):

Առաջացած լարումների, գերազանցելով Խոդի ժամանակավոր լարումներին (սահիքի կամ ծովան). Խոդում առաջացնում են ճաքեր, Խոդի քայլայփոթ է և այդ պահից բնկնում է դիմադրությունը՝ առավելագույնից մինչև որոշակի նվազագույնը. Այլ երկու փուլերը միասին վերգրած կազմում են մեկ ամրալցւկան ցիկլ. Դիմադրության տառանումների աճպիտուր և հաճախականությունը կախված են սևովի արագությունից. ճշակության խորությունից և միջավայրի ֆիզիկո-տեխնորեգիստրացիան ետքություններից: Ցիկլային տառանումների հետ առաջացած դիմադրության միկրոտառանումները պայմանավորված են Խոդի ոչ համաստու վիճակով՝ քարերի, դաշտարկարյունների և այլ գործունների առկայությամբ:



Նկ.2.11 Սեպի դիմադրության փոփոխության ցիկլային բնույթը

1. Առաջին փուլ (Խոդի խառնում, ծռում)
2. Երկրորդ փուլ (ճաքում, պոկում):

### Սեպի դիմադրությունը կախված առի զանգվածից և իներցիայի ուժից

Սեպի BC բանու մակերևույթի վրա աշխատանքի ժամանակ ազդում են հետևյալ ուժերը՝  $R_1$  - հանդիպակաց- շղեֆորմացված զանգվածի հակագույնը,  $J$  -առի իներցիայի ուժով պայմանավորված դիմամիկական ճնշումը,  $G$  - առի ծանրության ուժը,  $R$ - նորմալ  $N$  և շվաման  $F$  ուժերի համագորբը: Համաձայն նկ.2.12 կայտ ենք զլել

$$\left. \begin{aligned} R_1 &= -J \sin \frac{\alpha}{2} + R \sin(\alpha + \varphi) \\ J \cos \frac{\alpha}{2} + G - R \cos(\alpha + \varphi) &= 0 \end{aligned} \right\} \quad (2.12)$$

Երկրորդ հավասարումից սրաշելով  $R$ -ը՝ կստանանք.

$$R = \frac{G}{\cos(\alpha + \varphi)} + \frac{J \cos \frac{\alpha}{2}}{\cos(\alpha + \varphi)} \quad (2.13)$$

Հաշվի առնելով  $R$  արժեքը՝ առաջին հավասարումից կստանանք.

$$R_1 = G \tg(\alpha + \varphi) + J \left[ \cos \frac{\alpha}{2} \tg(\alpha + \varphi) - \sin \frac{\alpha}{2} \right] \quad (2.14)$$

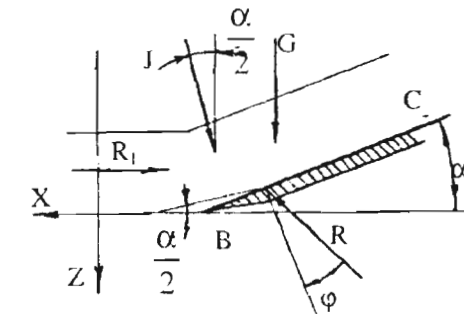
Ոյուշինը հակագույն բաղադրիչները

$$\left. \begin{aligned} R_x &= G \tg(\alpha + \varphi) + J \cos \frac{\alpha}{2} \tg(\alpha + \varphi) \\ R_z &= G + J \cos \frac{\alpha}{2} \end{aligned} \right\} \quad (2.15)$$

Խոտացված արտահայտությունների մեջ անհայտ են  $G$  և  $J$  մեծությունների, որոշենք դրանք:

Նշանակենք առի չափերը. հաստություն՝  $a$ , լայնություն՝  $b$  և երկարություն՝  $c$ . Խոդի տեսակարար գանգվածը՝  $\gamma$ , ուստի

$$G = ab^2 / \gamma g \quad (2.16)$$



Նկ.2.12 Առի վրա ազդող ուժերի սխեման:

Հայտնի է, որ իներցիայի ուժը  $J = -jm$ .

որտեղ՝  $j$  - առին հագույնած միջին արագացումն է,

մ - առի գանգվածը: Որոշենք այդ մեծաքյունների ուստի չ:

$$j = \frac{V_a}{t} \cdot \text{որտեղ} \cdot V_a\text{-առի շարժման բացարձակ ալիքագործունեութեան է:}$$

$$\text{համաձայն նկ. 2.9ը այն կիրար է } V_a = 2V \sin \frac{\alpha}{2}, t = \frac{\ell}{V_r}, \text{ իսկ } V_r = V$$

$$\text{այդ պատճառով } J = 2ab\gamma V^2 \sin \frac{\alpha}{2}$$

Հաշվի առնելով  $J$  և  $G$  տժերի արժեքները՝ կստանանք սեպի քարշային դիմադրության արժեքը՝

$$R_x = a \cdot b \cdot \ell \cdot \gamma \cdot g \cdot \operatorname{tg}(\alpha + \varphi) + ab\gamma V^2 \sin \alpha \operatorname{tg}(\alpha + \varphi) \quad (2.17)$$

Վերջին հավասարման մեջ առաջին անդամը սեպի դիմադրությունն է առի ծանրության ուժից. Երկրորդ անդամը՝ իներցիայի ուժից

$$\left. \begin{aligned} R_{xG} &= ab\gamma g \operatorname{tg}(\alpha + \varphi) \\ R_{xJ} &= ab\gamma V^2 \sin \alpha \operatorname{tg}(\alpha + \varphi) \end{aligned} \right\} \quad (2.18)$$

Հավասարությունների վերածությունը ցույց է տալիս, որ սեպի դիմադրությունը առի ծանրության ուժից կախված է դիվածքի  $\alpha$  անկյան և շփման  $\varphi$  անկյան մեծություններից. Իսկ իներցիայի ուժը կախված է նաև արագության քառակուտաց:

$R$ , իակազման ամենամեծ արժեքը՝  $R_{\max} = ab \sigma_{\max}$ , հաշվի առնելով  $G$ ,  $J$  արժեքները և (2.14) արտահայտությունը կարող ենք որոշել իսկ սեղման ժամանակավոր լարումը՝

$$\sigma_{\max} = \gamma \left\{ \lg \operatorname{tg}(\alpha + \varphi) + 2V^2 \sin \frac{\alpha}{2} \left[ \cos \frac{\alpha}{2} \operatorname{tg}(\alpha + \varphi) - \sin \frac{\alpha}{2} \right] \right\} \quad (2.19)$$

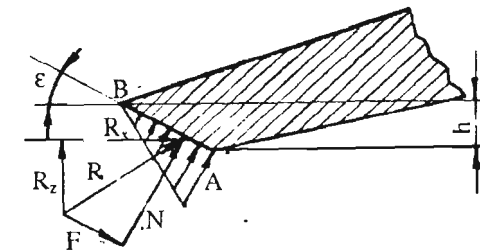
Վերջին արտահայտության անհրաժեշտությունը սեպի պարամետրերի որոշման խնդրում չափազանց մեծ է:  $\sigma_{\max}$ -ի աջ մասից փոքր արժեքի դեպքում դադարում է իսկ տեղափոխությունը սեպի վրայով և կոտակվում է: Այդ արտահայտությունը թույյ է տալիս  $\ell$ ,  $V$ ,

α պարամետրերի լնտրությամբ վերացնելու հողի կոտակման երևույթը:

### Մաշված եզրով սեպի հողի տրորման

#### Դիմադրությունը

Հողամշակման մեքենաների բանվորական օրգանները՝ խոփլ, դանակի, բարիկները ուղղ ժամանակ աշխատանքից հետո քանում են (նկ. 2.13) և այդ մասով կատալում են ակոսի հատակի տրորման:



Նկ. 2.13 Սեպի մաշված AB եզրի վրա հողի ճնշման որոշման սխեմա

AB մաշված եզրը հողը տրորում է հաստությամբ  $h = AB \sin \varphi$ : Ընդունենք, որի  $\Delta AB$  մաշվել է ուղիղ գծով, այդ դեպքում նորմալ լարումների էպուրը կունենա եռանկյան ձև, որի ամենամեծ արժեքը՝  $R_{\max}$ , որտեղ  $\varphi = \text{կողմանական ծանրության գործակիցն}$  է:

$$\text{Մյուս } \text{կողմից } N = \frac{AB \bar{b} p}{2} = \frac{q_0 h^2 b}{2 \sin \varphi}, \text{ որտեղ } b-\text{սեպի}$$

լայնությունն է: Հակազմանը՝  $R$ , որի հորիզոնական բաղադրիչը իրենից ներկայացնում է սեպի քարշային դիմադրության ավելացումը, որոշվում է հետևյալ արտահայտությամբ՝

$$R = \frac{N}{\cos \varphi} = \frac{q_0 h^2 b}{2 \sin \varphi \cos \varphi} \quad (2.20)$$

Այսպիսով՝

$$R_x = 0.5 q_0 h^2 b (\operatorname{tg} \varphi \operatorname{ctg} \varphi + 1) \quad (2.21)$$

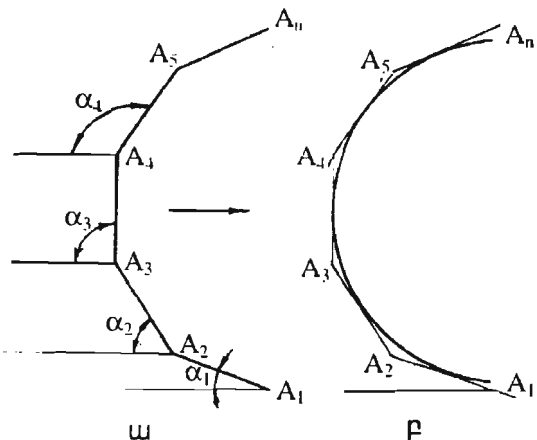
Հակագրման ուղղաձիգ բաղադրիչը՝  $R_z$  ծգում է բանու օրգանը դուրս հանել հովից:

$$R_z = 0.5\eta_0 h^2 b(\operatorname{ctg}\epsilon - \operatorname{tg}\phi) \quad (2.22)$$

Վերջին բանաձերի վերլուծությունից պարզվում է, որ սեպի քարշային դիմայլությունը և սեպի խողի դուրս կրող տժը մեծանում են մաշված եզրի բարձրության քառակուսուն համեմատական:

## 2.2 Հարթ սեպի մակերևույթի վերափոխումը կորագիծ մակերևույթի

Հարթ սեպերում երկնիստ, թե եռանիստ  $\alpha$ ,  $\beta$ ,  $\gamma$  անկյունները մակերևույթի ցանկացած կետում մնում են հաստատուն, որի հետևանքով առի դեֆորմացիան տեղի է ունենում մակերևույթի վրա բարձրանալու սկզբնական փուլում, դրանից հետո առն անարգել սահում է դեպի վեր՝ առանց ենթարկվելու լրացրցից դեֆորմացիայի: Առլ առավել ինտանսիվ փխրեցներու նպատակով անկրաժեշտ է  $\alpha$ , սկզբնական անկյունով սեպի վրա դնել մի այլ սեպ՝  $\alpha_2 > \alpha_1$  անկյունով, ապա մի այլ սեպ՝  $\alpha_3 > \alpha_2$  անկյունով և այսպես շարունակ ընտրելով ամենավերին սեպը  $\alpha_n > \alpha_{n-1}$  անկյունով (նկ. 2.14):



Նկ. 2.14 Հարթ սեպի զարգացումը կորագիծ մակերևույթի

Այսպիսով, սկզբնական՝  $\alpha_1$  սեպի փխրեցման անկյունը, անրնդիատ փոփոխվելով, ստացվում է մի բազմանկյուն մակերևույթ: Բնական է, որ առի անրնդիատ դեֆորմացիայի նպատակով բազմանկյունը պետք է լուրջել հարթ կորագիծ մակերևույթով:

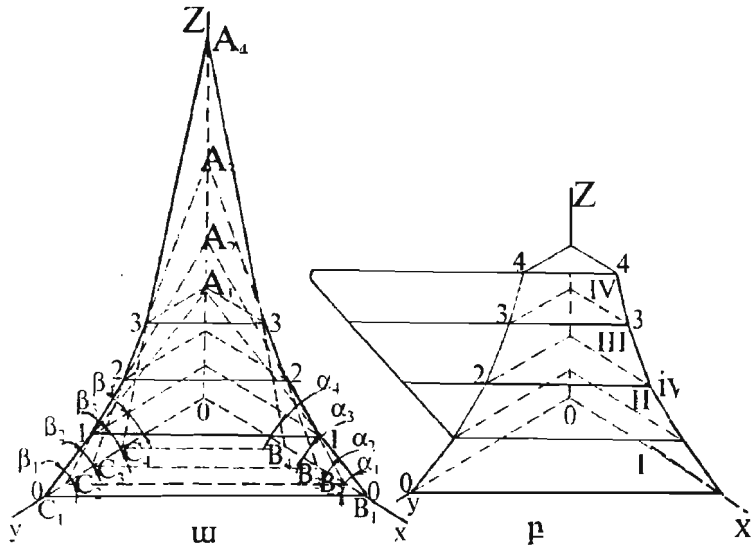
Եռեզր սեպի վերակառուցումը տարածական կոր մակերևույթի հնարյակոր է  $\alpha, \beta, \gamma$  անկյունների անրնդիատ փոփոխումով: Սակայն, կախված լույնի ֆլյակական և տեխնոլոգիական հատկանիշներից՝ այդ անկյունները փոփոխվում են տարբեր օրինաչափություններով: Առևաստակ առավելացնես փոփոխվում են փխրեցման  $\alpha$  և շրջման  $\beta$  անկյունները: Օրինակ, ավագային լույների համար բավական է կատարել առի փխրեցում և մասնիկների խառնում: Այդ պայմանները բավարարելու համար բավական է օգտագործել առավել աճող արմեքով փխրեցնող ռանկյունով սեպեր (նկ. 2.15 ա):  $A_1B_1C_1$  հարթ եռեզր սեպը ( $\alpha_1$ ) հատելով  $A_2B_2C_2$  բանող նիստով՝  $\alpha_2 > \alpha_1$  անկյունով, ապա վերջինս  $A_3B_3C_3$  սեպով ( $\alpha_3 > \alpha_2$ ) և վերջապես՝  $A_4B_4C_4$  նիստով, որի  $\alpha_4 > \alpha_3$ , կստանանք մի բեկյալ մակերևույթ՝ բարձրացած չորս նիստերից:

Այդ մակերևույթը վերևուից սահմանափակելով 4-4 գծով և երկարացներով նիստերի հատման գծերը 1-1 . . . 4-4, կստանանք գործանի բեկյալ բանող մակերևույթը (նկ. 2.15):

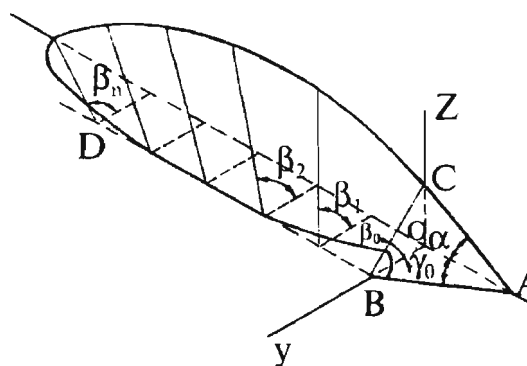
Անվերջ մեծացնելով հատող նիստերի բանակը՝ դժվար չէ համոզվել, որ կստանանք հարթ կորագիծ գլանած մակերևույթ, որի  $\gamma = \text{const}$ :

Կապակցված լույնի մշակությունը պրակտիկեն անհնար է լիրականացնել հարթ սեպով: Այդ այլպի լույները միմիայն շրջփում են, իսկ փխրեցումը կատարվում է այլ լույամշակման մեքենաներով:

Ծիմուտ առի կտրման և շրջման համար անկրաժեշտ է տնենալ ինտենսիվ աճով  $\beta$  անկյունով սեպ: Այդ պայմաններում առի կտրտվելուց խոսափելու համար անկրաժեշտ է  $\alpha$  անկյունը փոփոխել առավել փոքր աճով:



Նկ.2.15 Եռեզր սեպի զարգացումը գլանային բանող մակերևույթի



Նկ. 2.16 Եռեզր սեպի զարգացումը պտուտակային բանող մակերևույթի

Ըլջման  $\beta$  անկյան նման կարգի փոփոխությունը կատարվում է սեպի  $BC$  եզրի  $BD$  ուղղի վրա աստիճանաբար սահեցնելով և պտտերով (նկ.2.16): Այս եղանակով ստացվում է բնի պտուտակային մակերևույթ (գելիկոյին):

Այսպիսով հայր եռեզր սեպի  $\alpha$ ,  $\beta$ ,  $\gamma$  անկյուններին տալով այս կամ այն փոփոխման օրինաչափությունը կարելի է ստանալ տարբեր ձեր մակերևույթներ՝ գլանային ( $\alpha$ ), գլանակերպ ( $\alpha, \gamma$ ) և պտուտակային ( $\beta$ ):

### 3. Խոփ - թեային իրաններ

Խոփ-թեային իրանները գութանի գլխավոր բանող օրգաններն են և նախաւեսված են խոլի հիմնական մշակության՝ վարի համար: Գյուղատնտեսական արտադրության մեջ առավել կիրառություն են ստացել վարի հետևյալ տեսակները՝ վար առանց նախագործանիկի, կուլտուրական, անկունահանով, առի լրիվ շրջումով, անքն (վիստեցում), խոլ խորացումով, կտրվածքով լիրաններով, յարտսային և այլն: Կախված տվյալ գոտու խողակիմայական պայմաններից օգտագործվում են այս կամ այն կառուցվածքի լիրաններով համալրված գործարությունների: Քարքարոտ, էռոգիայի ենթակա և բփուտային խողերի մշակության համար օգտագործվում են հասուկ նշանակության խողամշակնան մեքենաներ:

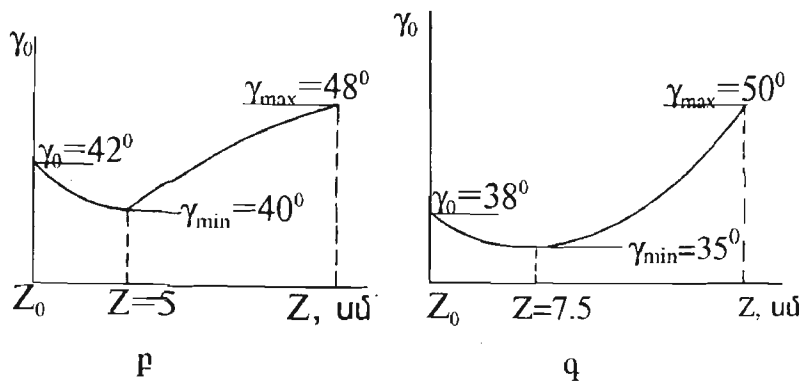
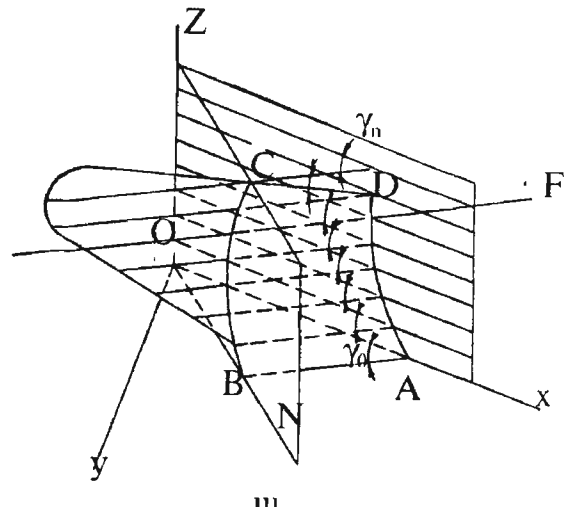
Լարի տեսակից կախված՝ օգտագործվում են հետևյալ տեսակի լիրաններ՝ գլանային, կուլտուրական, կլսապտուտակային, պտուտակային, անյան, կտրվածքով թևով, շարժական դրամ. նախագործանիկ. բուկից:

Իրամի հիմնական օրգաններն են խոփի, որն առի կտրում է տակից, մասնակի փիստեցնում և տալիս թերթ. Վերջինս կատարում է առի շրջում և փիստեցում, դաշտային տախտակի՝ ծառայում է լիրանին կայունացնելու տարր համար, կանգնակն իր վրա է հավաքած լիրանի մնացած մասերի:

#### 3.1 Թրամի խոփ-թե մակերևույթի կառուցման ընդհանուր սկզբունքները

Խոփ-թե մակերևույթի կառուցման խնդիրներն ընդհանուր առմամբ կարելի են լուծել երկու եղանակով. նախ՝ առաջարկելով խոլի դեֆորմացիայի ձեր, ոյտշել թերթ մակերևույթը և մյուսը՝ առաջարկելով մակերևույթը, ոյտշել դեֆորմացիայի ձեր: Դեռևս նշված երկու եղանակներից և ոչ մեկը վերջնական լուծում չի ստացել, այդ պատճառով խոփ - թե մակերևույթը լնայիլում է արդեն եղած լիրանների մակերևույթներից՝ այն ենթակերպ տեսական վերպատճերյան և հետագա եքսպերիմենտալ ստոգման: Հայտնի մակերևույթների

Վերլուծությունը թույլ է տալիս ենթադրել՝ իրանի մակերևույրը պետք է լինի զծային և փոփող: Դրանք հեշտ են պատրաստվում և քիչ ցեխություն:



Նկ. 3.1 Գլանակերպ բանող մակերևույր  
ա-կազմափորման սխեմա,  
բ-գլանկյան փոփոխման օրինաչափություններն ըստ բարձրության (կոլ-  
տուրական և կիսապտուտակային թերի համար)

Կատարելով երկարատև ինտակատություններ՝ Ա.Պ. Գորյաչկինը նշում է. որ մակերևույրները ստորաբաժանվում են երեք խճի՝ պտուտակային, գլանային և միջանկյալ: Քանի որ գլանայինը հազվադեպ է օգտագործվում և զանակերպի նաև ավելի լեռքը է, տատի դլատարկենք գլանակերպ և պտուտակային թերի (նկ. 3.1):

Գլանապելաց թերի լինում են երեք տիպի՝

գլանային  $\Delta\gamma=0$  ( $\Delta\gamma=\gamma_{\max}-\gamma_0$ )

կոլտուրական  $\Delta\gamma=2-7^{\circ}$

կիսապտուտակային  $\Delta\gamma=7-15^{\circ}$

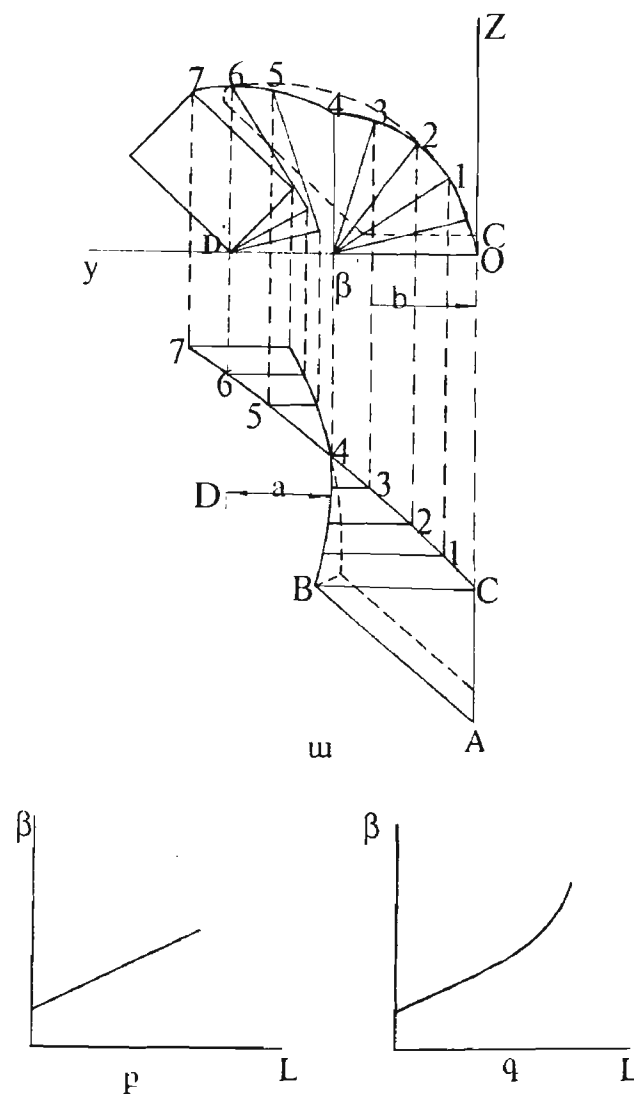
Գլանային թերին առ լավ փիսրեցնում են, սակայն վատ շրջում, կոլտուրակամի՝ համեմատաբար լավ շրջում են, վատ փիսրեցնում և կիսապտուտակային թերի լավ շրջում են առ լավ, վատ փիսրեցնում:

Գլանակերպ թերի կառուցվում են տարրեր և լանակներով. որոնցից յայն տարրածում է գտել պյուֆ. Ն.Վ. Շյոչինի մերությ., լատ որի այդ մակերևույթը ստացվում է (նկ. 3.1ա)՝ առլի կազմով գիծը EF շարժելով ուղղակի կրի BC վրայով՝ միաժամանակ փոփոխելով կազմով գծի և ակոսի պատի միջև կազմած  $\gamma$  անկյունը լատ բարձրության ( $Z$ ):

Ուղղակի կորը վերցվում է N հալբության մեջ, որն ուղղահայաց է խոփի կտրու եզրին: Կազմով գծի փոփոխման օրինաչափությունները տարբեր թերի համար գրաֆիկորեն տրված են նկ. 3.1բ գ-ում:

Թե՛ կոլտուրական և թե՛ կիսապտուտակային թերի մոտ սկզբուն փոքրանում է  $\gamma$  անկյունը  $\gamma_0$ -ից  $\gamma_{\max}$ , առ հանգիստ վերցներու համար: Այնուհետև այդ անկյունները աճում են կոլտուրակամի մոտ ուղղակի կորով, կիսապտուտակայինին մոտ՝ գոգափոր կորով: Այդ անկյունների փոփոխման օրինաչափություններով է կանխարշվում թերի տեխնոլոգիական հատկանիշները՝ փիսրեցման, շրջման: Պոտուտակային թերին լստ ուղղակի կորի երկրաչափական ձևի լինում են երեք տիպի՝ ուղղակի, գոգափոր և ուղղաձիգ ուղղություններով: Ուղղակի այս կամ այն երկրաչափական ձևի լնտարթյունը կախված է երկու ագրակներից՝ բանող օրգանի ցեխուտման հավանականության փոքրացման և առ դեպքորմագիայի վրա ծախսվող էներգիայի փոքրացման տեսակետից: Հաստատված է, որ թերի ցեխուտումը

Նկատվում է այնտեղ, որտեղ առ քիչ չի նստամ մակերևոյրի վրա, և այդ մասի ճնշումը անհամեմատ փոքր է:



Նկ. 3.2 Պտուտակային բանող մակերևոյթ ա- կազմավորման սխեմա, բ և գ - առ քիչ ճնշում անկան թիվ վիդուման օրինաչափությունները թիվ երկարությունից կախված պտուտակի հաստատուն (p) և փոքրացող (q) քայլերից

Առաջադրված պահանջներին բավարարում է գոգավոր ուղղորդ կարք, որը խովի մակերևություն արդեն դեֆորմացված առ զրկում է ամբողջությամբ: Հաստատված է նաև, որ որքան թևը երկար է, այնքան մեծ է ուղղորդ կորի շառավիղը:

**Պտուտակային բանող մակերևոյթն իրականում բաղկացած է յիրար շարունակություն կազմող երկու մակերևոյթներից՝ կրծքի և թևի: Կրծքի մակերևոյթը կառուցված է BC կազմող գիծը միաժամանակ պտտելով և BB' ուղղությունում վրա սահեցներիվ: Ուղղություն BB' ուղղագիծ է և գտնվում է ակոսի հաստակին՝ գուգահեռ ակոսապատճին և հեռացված վերջինից առ ի այնության և շափով: Ընդ որում, կազմող BC գիծը գտնվում է ZΟΥ հարթության մեջ (Ակ. 3.2ա): Դժվար չէ կրահել, որ կրծքի ծևը կախված է կազմող գծի ծևից և նրա պտտական ու համընթաց շարժման արագությունների հարաբերություններից:**

Խովի և կրծքի ազդեցությամբ առ պտտվում և  $90^\circ$ : Առ ի հետագա պտույտը կատարվում է առաջինից (BB') առ ի հաստության շափով հեռացած DD' ուղղությունում: Վերջին հանգամանքով է բացատրվում թևի ծևի վրա նաև առ ի այնության ազդեցությունը:

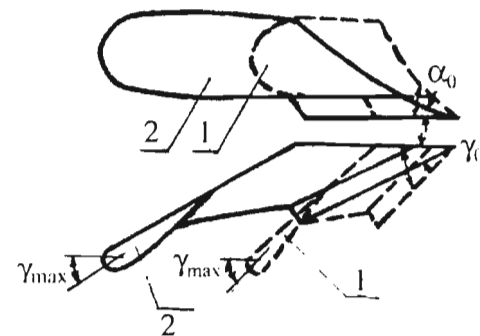
Հետազոտություններից պարզվել է, որ եթե առ ի պտտույտն ըստ թևի երկարության կատարվում է հաստատուն արագությամբ, այսինքն երբ պտուտակի քայլը հաստատուն է (Ակ. 3.2բ), ճնշումը թևի վրա փոփոխական է, կրծքի վրա մեծ, քանի թևի վրա, քանի որ կրծքի վրա առ պառկած է, իսկ թևի վրա գտնվում է անկայուն հավասարակշռության դիրքում: Վերջին հանգամանքով է բացատրվում թևի ցեխուտումը:

Այդ երևոյթից խուսափելու համար փոքրացվում է պտուտակային գծի քայլը թևի վրա (3.2գ), որի հետևանքով մեծանում է պտտման անկյունային արագությունը հետևաբար իներցիայի ուժը, ուղի և առ սեղմում է թևին, մեծացնում ճնշումը, փոքրացնում ցեխուտման հավանականությունը:

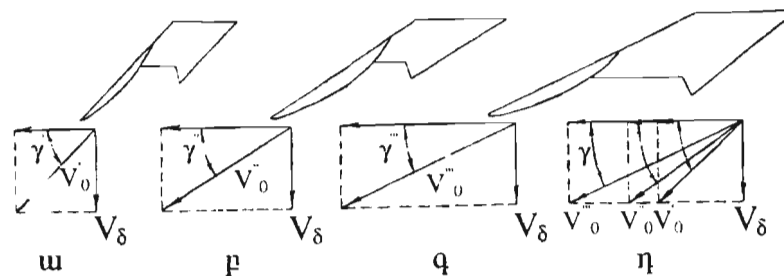
### Արագաշարժ բանող մակերևոյթների առանձնահատկությունները

Վարի արագության մեծացումը 4 - 7 կմ/ժամ սահմաններում հանգեցրեց որակական ցուցանիշների լավացմանը. քացավ կոշտերի քանակը, առավել լավ ծածկվեցին մոլախոտերը: Քարշային

դիմադրյան 10% մեծացումը փակվեց բնրատվարյան բարձրացմամբ: Արագորյան հետազո մեծացումը մինչև 10կմ/ժամ հանգեցրեց վարի որակական ցողանիշների վատացմանը՝ առը շրջում է անկանոն և շարտվում հետո: Այդ խնդիրի լուծման համար անհրաժեշտ էր ապահովել առի անփոփոխ արագություն և նորմալ շրջում անկախ գործանի արագորյան մեծացումից: Այդ նպատակով փոքրացվեցին  $\gamma_{\max}, \gamma_0$  և  $\alpha_0$  անկյունները: Փխրեցման  $\alpha$  անկյան փոքրացումը լավագույն առի բարձրացումը թեր վրա, իսկ  $\gamma$  անկյան փոքրացումը հանգեցրեց առի շարժման ինտենսիվորյան փոքրացմանը:



Նկ.3.3. Գորանի իրանների գլանակերպ բանող մակերևույթները. 1-սովորական արագությամբ վարի, 2- արագ վարի :

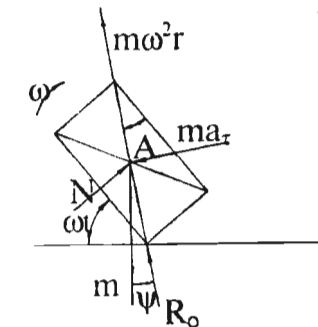


Նկ.3.4 Սովորական գլանակերպ բանող մակերևույթների գորգացումը արագաշարժի. ա- սովորական, բ- մեծացված արագորյան, գ- արագ վարի իրան, դ-արագորյան բաղադրիչների փափխությունը կախված թեր ճիշից

Արագաշարժ թերի մոտ բնդունվեց  $\gamma_0 = 26-38^\circ$ ,  $\gamma_{\max} = 30-40^\circ$ ,  $\alpha_0 = 25^\circ$ ,  $\gamma_0 - \gamma_{\min} = 7^\circ$  ստանդարտի  $\gamma_{\max} = 42^\circ$ ,  $\gamma_0 = 48^\circ$  և  $50^\circ$ ,  $\alpha = 30^\circ$ ,  $\gamma_0 - \gamma_{\min} = 1-3^\circ$  մեծությունների փոխարևեն (նկ.3.3):

Վերուծելով  $\gamma$  անկյան մեծության ազդեցությունը առի կողք շարտման արագորյան  $V_d$  վրա, համաձայն նկ. 3.4-ի, կարող ենք գրել  $V_d = V_{0\sin \gamma}$ , որտեղ  $V_0$  իրանի շարժման արագությունն է: Այդ բանաձևից երեսում է, որ արագորյան մեծացման հետ պետք է փոքրացնել  $\gamma$  անկյան մեծությունը: Այս ելանակով նախագծված թերի ավելի երկար են ստացվում, որի նպատակահարմար չէ:

Պատուտակային թերիով իրանները համեմատաբար քիչ են արձանքում արագորյան մեծացմանը, քան մյուս տիպերը, եթե վարի գործիքացում առի բարդության շի կտրվում հատակից և կողք շարժվում: Վերցնենք  $a \times b \times \Delta \ell$  չափի առ և դիտարկենք առաջալիված պույնանը (նկ. 3.5).



Նկ. 3.5 Ծրջման գործընթացում առի վրա ազդող ուժերը:

Առի գետնից անջատվելու առավել վատ պայմանը կլինի, եթե  $\psi = 0$ ,  $N=0$ , այդ դեպքում  $m\omega^2 r > mg$ , որտեղից

$$\omega < \sqrt{\frac{g}{r}} \quad (3.1)$$

որտեղ՝  $m$ -առի զանգվածն է,  $\omega$ -պտտման անկյունային արագությունը,  $r$ -առի ծանրության կենտրոնից մինչև պտտման կենտրոնի

հեռափորբյունն է. պ- կենտրոնախայս և ծանյաթյան ուժերի միջև կազմած անկյունը:

L երկարությամբ և V արագությամբ շարժվող իրանի վրա առ կգտնվի  $t=L/V$  ժամանակ և կպտտվի  $\beta=\omega$  անկյունով: Վերջին արտահայտությունների համատել լածումից կստանանք՝

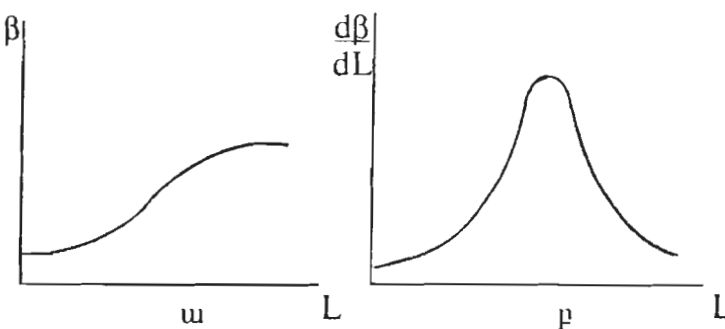
$$\omega = \frac{\beta v}{L} \quad (3.2)$$

Հավասարումների (3.1, 3.2) համատեղ լուծումից կստանանք՝

$$V < \left( \frac{L}{\beta_{\max}} \right) \sqrt{\frac{g}{r}} \quad (3.3)$$

որտեղ՝  $L/\beta$  - պտուտակի քայլի բնուրագիրն է:

Հավասարման (3.3) լուծումը որոշակի պտուտակային թևերի պարամետրերի համար հանգեցնում է այն եղանակացորդյան, որ պտուտակային լիրաննելով կարելի է կատարել վար' արագության  $9.6-13$  կմ/ժամ սահմաննելում: Առի կապակցվածության լրական արժեքները հաշվի առներուց ստացվում է  $V > 13$  կմ/ժամ: Առի կայլը շարտումը այս լիրանով սահմանափակվում է  $\gamma \rightarrow \infty$  պայմանով: Նշված երկու պայմանները հաշվի են առնվում իրանի նախազծսան ժամանակ՝ առի պտույտի օրինաչափության առաջադրումով  $\beta=f(L)$ :



Նկ. 3.6 Առի շարժման  $\beta$  անկյան փոփոխման օրինաչափությունները:  
ա- շրջման անկյան, բ- շրջման արագության

Այս կրոլի ածանցյալից ստացված արագության կորի վերլուծությունը ցույց է տալիս հետևյալը:

Այս թևի վրա անցնելու սկզբնական շրջանում ունի ցածր արագություն, որն անկրամեջտ է տեխնոլոգիական գործընթացի հանգիստ և փոքր դիմադրության իրականացման համար, այնուհետև պտուման արագությունը մեծանում է, որն անկրամեջտ է թևի երկարության փոքրացման համար: Հետագայում այդ արագությունը բնկնում է, որն իր հերթին անկրամեջտ 1. առի շարժույթ կանխելու համար:

### 3.2 Վարի տեխնոլոգիական գործընթացի տեսական հիմունքները

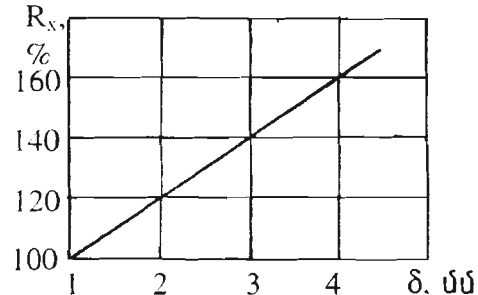
Վարի տեխնոլոգիական գործընթացը ընդգրկում է երեք օպերացիաներ՝ առի կտրում, շրջում և փլարեցում: Դիտարկենք այդ օպերացիաներից յորպահանջուրի տեսական հիմունքները:

**Առի կտրումը:** Հողի մշակության մեջենանելում օգտագործում են երկու տեսակ կտրում՝ սեպով և սայրով: Սեպով հողի կտրման ժամանակ որոշիչ նշանակություն ունի բանու նիստը. Խսկ սայրը կատարում է լրացուցիչ դեր: Սայրով կտրման ժամանակ գլխավոր դերը պատկանում է սայրին, երեսակները կատարում են լրացուցիչ դեր: Սակայն կտրման այդ երկու գործընթացների միջև չկան խստ սահմաններ և մեկը կարող է տրանսֆորմացվել մյուս տեսակին՝ կախված բանով օրգանի պարամետրերից և մշակվող միջավայրի հատկանիշներից: Այն հանգամանքը, որ իրոք տեղի է ունենում կտրում սայրով, և այն ունի էական նշանակություն, ամենից առաջ գորանի հներգետիկայում, վկայում է  $R_s=f(\delta)$  (նկ.3.7). որևէու է  $R_s$ -գորանի քարշային դիմադրությունն է.

Ծ-խոփի սայրի հաստությունը: Ինչպես ցույց 1. տալիս գրաֆիկի վերլուծությունը, բացած սայրն իրավ զգալի մեծացնում է գորանի քարշային դիմադրությունը:

Սայրով կտրման գոլուծներացը համեմատաբար մաքուր ձևով նկատվում է ուանակների. կուտխվատությալին թաթիկների աշխատանքի

ժամանակ: Այդ հարցի տեսական իլունքները կրիտարկենք համապատասխան գործունեություն:



Նկ.3.7 Խոփի սայրի հատության ազդեցուրյունը գործանի բարշային դիմադրության վրա

**Առի շրջում:** Այս խնդիրը լիտարկելիս ընդունվում է, որ առը չի ծևափոխվում, պահպանում է իր սկզբնական քառանկյունի ձևը՝ առ հատվածքով: Այդ դեպքում  $\Delta ABCD$  հատվածքով առը թևի ազդեցության տակ սկզբու պատվում է  $A$  կետի շորջը, ստանում ուղղաձիգ դիրք, այնուհետև պատվում է  $D_1$ , կետի շորջը մինչև, որ հենվի նախորդ շրջված առի վրա (նկ. 3.8):

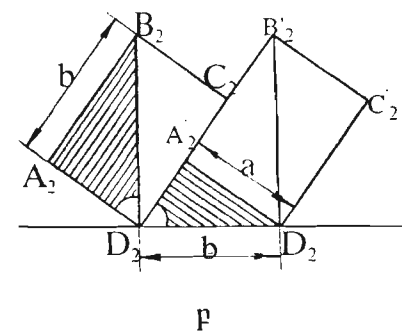
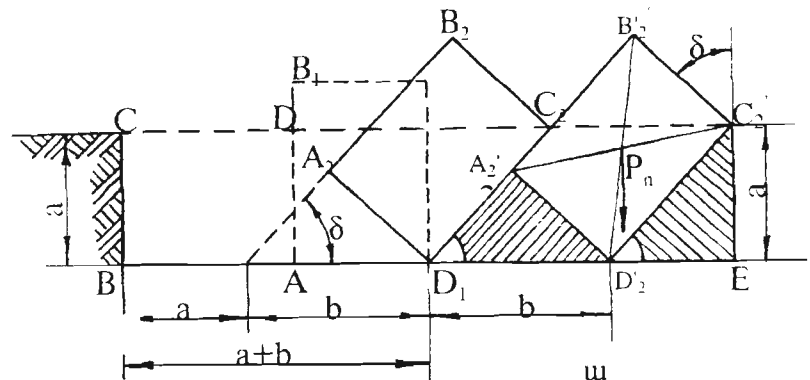
Համաձայն նկ.3.8-ի դժվար չէ նկատել,  $D_1$ ,  $D_2$ ,  $D_2'$  կետերի միջև հեռավորությունը հավասար է առի լայնությանը՝  $b$ : Դժվար չէ նաև ապացուել, որ շրջված առը կայուն կպառկի, եթե նրա ծանրության ոժը  $P_n$  անցնի հենման կետից  $D_2$  աջ: Թե ինչ անկյան տակ պետք է շրջել առը և ինչ հալարեալուն պետք է ունենան նրա և սա շափերը: Կարելի է որոշել, եթե լիտարկենք առը անկյայուն հավասարակշռության դիրքը, որի դեպքում ծանրության ուժը անցնում է քառանկյան անկունազնու և հատվում է գետնին հպման  $D_2$  և  $D_2'$  կետերում:  $A_2B_2D_2$  և  $D_2A_2'D_2'$  եռաբնկյունների նմանությունից կարելի է

$$\text{գրել } \frac{B_2D_2}{D_2D_2'} = \frac{A_2B_2}{A_2D_2} \quad \text{կամ } \frac{\sqrt{a^2 + b^2}}{b} = \frac{b}{a} \quad \text{նշանակերպ } \frac{b}{a} = k.$$

Կստանանք  $k^4 - k^2 - 1 = 0$ : Այս երկրառականի հավասարման լուծությունը  $k = 1$

սահմանայինմեծորյունը ստացվում է  $k_{np} \geq 1.27$ : Այդ պայմանից կարելի է որոշել տվյալ լնդրկման լայնությանով վարի ժամանակ առինաստորյան ամենամեծ (բույլատրելի) չափ:

$$\frac{b}{a_{\max}} = 1.27 \cdot a_{\max} = 0.8b:$$



Նկ.3.8 Գործանի իրանով առի շրջման սխեման.

ա-կայուն դիրք,  $p$ - տնկայում դիրք:

Քանի որ  $\sin \delta = \frac{a}{b} = \frac{1}{k}$ , ապա առը շրջման անկյան ստանային

արժեքը կլինի մոտ 52°: Գլանակերպ թերի համար երաշխավորվում է լնդրունել  $k = 1.3-1.8$ , պատուակային թևի համար՝  $k > 1.75$ : Առի լրիվ

շրջումը ( $180^\circ$ )պատուակային թևով կարելի է իրականացնել. եթե  $k > 2.0 \cdot 2.3$ : Նախագործությունիկով վարի ժամանակ առի թեքման անկյունը ավելի է փոքրանում, այդ պատճառով թնդունքում է  $k = 1$ : Առանց նախագործանիկի վարի ժամանակ առի թափարար շրջումն իրականանում է  $k + 1.5$  արժեքի դեպքում. Փիստուն հովերի վարի ժամանակ թնդունքում է  $k + 1.3$ : Հաճախ անհրաժեշտ է լինում վարփած դաշտի մակերեսույրը ստանալ այնպէս, որ  $B_2C_2B_2'$  բեկյալը լինի ամենամեծ չափի: Այդ բանն արդիում է բոյսի, ջերմության և քամու ազդեցորդյան մեծացման նպատակով: Դիտարկենք այդ խնդիրը:

Համաձայն նկ.3.8-ի  $B_2C_2+C_2B_2 \rightarrow$ առ: Ունենք  $B_2C_2 = b\sin\delta$ ,  $C_2B_2 = b\cos\delta$ : Գումարերով վերջին երկու մեծությունները և որոշերով այդ գումարի ածանցյալը լստ  $\delta$ -ի, կատանանք այն անկյան արժեքը որի դեպքում վարի մակերեսույրը ստացվում է ամենամեծը:

$$\frac{\partial}{\partial \delta} [b(\cos\delta + \sin\delta)] = 0 \text{կամ } \cos\delta - \sin\delta = 0: \text{Այս պայմանը տեղի ունի,}$$

եթե  $\delta = 45^\circ$  կամ  $k = 1.4$ :  $k = 1.4$  պայմանով վարից հետո, եթե անհրաժեշտ է փոքրացնել դաշտի գուրգիացման մակերեսույրը, այն ցաքանքում է:

Լանջերի վարի ժամանակ առի շրջումը դեպի վեր կատարելու համար անհրաժեշտ է մեծացնել  $\frac{b}{a}$  հարաբերությունը մինչև  $k = 2$ : Կախված լանջի թեքության անկյունից  $\alpha$  առի անկայուն հավասարակության դիրքը վորխում է՝  $\delta = \delta_0 + \alpha$ , որտեղ՝  $\delta$ -առի կազմած անկյունն է հորիզոնի հետ,  $\delta_0$ -առի կազմած անկյունը՝ լանջի թեքության հետ (նկ.3.9):

Համաձայն նկ.3.9-ի՝

$$\angle DCB = 90^\circ + \alpha - (90^\circ - \delta_0) = \alpha + \delta_0 \quad (3.4)$$

ուստի՝

$$\tan(\alpha + \delta_0) = \frac{b}{a} = k \quad (3.5)$$

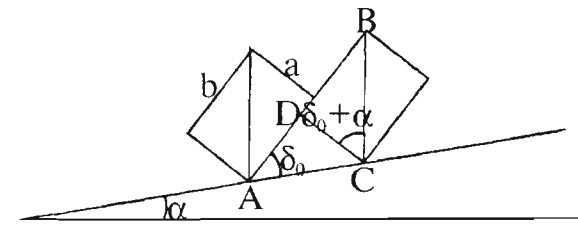
մյուս կողմից՝

$$\sin \delta_0 = \frac{a}{AC} = \frac{a}{b} = \frac{1}{k} \quad (3.6)$$

Լուծելով համատեղ (3.5) և (3.6) արտահայտությունները, կստանանք՝

$$\tan \alpha = -k^3 + \sqrt{k^6 + k^4 - k^2 - 1} \quad (3.7)$$

Ստացված արտահայտությունը անհրաժեշտ է օգտագործել լեռնային գուրգիան նախագծման համար: Այս դեպքում վերցվում է  $k$ -ի այն մեծությունը, որը համապատասխան է  $\alpha = \alpha_{\max}$  արժեքին:



Նկ.3.9. Այդ անկայուն հավասարակշռության դիրքը լանջում:

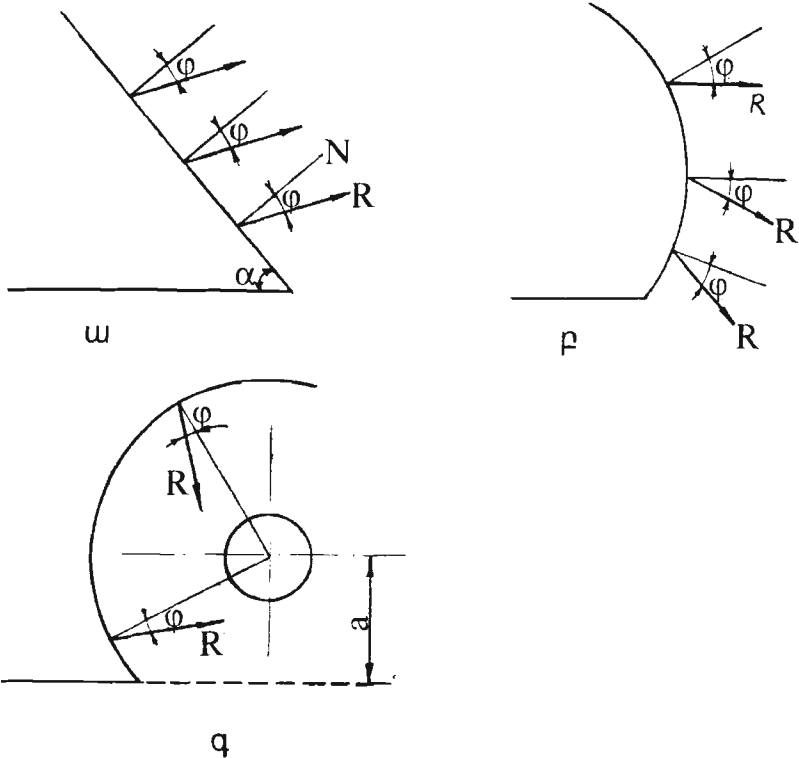
**Այս փիստեցումը** կախված է իրանի քանու մակերեսովը երկրաշափական ձևից: Այս վրա ազդու յուրաքանչյուր քանու օրգան ճնշում է գործադրում նորմալի ուղղութայամբ:

Եթե առլ սակաւ է մակերեսույրի վրայով, ապա ազդու ճնշման ուժը  $R$  նորմալից շեղվում է շփման անկյան չափում: Այդ քանը առանձնապես հատուկ է թելին: Տարեր տեսակի քանու մակերեսովները կարելի են դասակարգել երեք խմբի՝ հարթ, ուսուցիկ և գոգավոր: Հարթ քանու օրգանի աշխատանքի ժամանակ ուսակցիայի ուժերը՝  $R$ , ազդու են իրար զուգահեռ, չեն հաստիում մի կետում, և հայլ փիստեցման աստիճանը ստացվում է անբավարար:

Առավել վատ պայմաններ են ստեղծված ուսուցիկ մակերեսովը աշխատանքի ժամանակ (նկ. 3.10): Այստեղ էներգիասն ընդհանրապես ցլիում է, և օգտակար գործության գործակիցը ավելի է փոքրանում:

Աշխատանքի լավագույն արդյունք են տալիս գոգավոր մակերեսույրը թելերը, որտեղ ուսակցիայի ուժերը կենտրոնանում են առի մի մասում և այն ենթարկում խնտենալի փիստեցման:

Վարի ժամանակ փխրեցման առավելագույն որակ են ապահովում փոփոխական կրտսերյան շառավիլով թերթը: Ընդ որում, ցանկալի է, որ թերի կրծքի մասում այդ շառավիլը մեծ է, ապա գնալով փոքրանում է: Նման հատկանիշներով են օժտված գլանակերպ թերթը, որոնց ուղղությունը կորերն ունեն ելիոպսի կամ պարաբոլի տեսք:



Նկ.3.10 Տարբեր ձևի մակերեսույթների առի վրա ազդող ուժային բնութագիրը. ա- հարթ, բ- ուղղություն, գ- գոգավոր:

### 3.3. Խոփ - թև մակերեսույթի կառուցման տեսական հիմունքները

Իրանի մակերեսույթի նախագծման ժամանակ տեսականութեն ուժգույն են ուղղությունը կորի ելում հանդիսացող շրջանագծի շառավիլը ու երկարությունը: Թեև ուղղությունը կորն ընդունվում է պարաբոլի ձևի այն պատճառով, որ կորին տալով տարբեր գոգավորություն՝ հնարա-

փորաթյուն է ստեղծվում առ լավ ընդգրկելու և թեով բավարար շրջելու համար: Ուղղությունը կորի շառավիլը ընտրվում է  $R_{\min} < R < R_{\max}$  պայմանում: Ուղղությունը կորի կրտսերյան շառավիլի ամենամեծ այժմերն ընտրվում է այն առումով ու  $\frac{\pi}{2}$ , որ թերի ակոսային եզրը չքերի շրջված առլ (նկ.3.11 ա):  $R_{\max}$ -ուղղվում է հետևյալ բանաձևով՝

$$R_{\max} = \frac{b\sqrt{k^2 - 1}}{k^2(\cos \varepsilon - \cos \theta)} \quad (3.8)$$

որտեղ՝  $\theta$  անկյունը ուժգույն է հետևյալ արտահայտությամբ՝

$$\operatorname{tg} \theta = \frac{\sqrt{k^2 - 1}}{\cos \gamma_0} \quad (3.9)$$

ε- խոփի դրվածքի անկյունն է : Թույլատրելի  $R_{\min}$  շառավիլը ուժգույն է թերի վրա առի լիարժեք պառկելու տեսանկյունում: Այդ պայմանը բավարարվում է, եթե ուղիւղ  $\overline{BC} = \cup BC'$ :

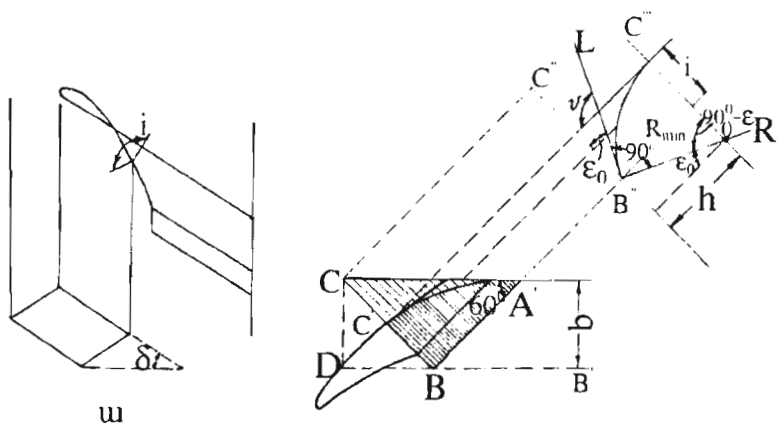
$BC$  ուղիւղը ստացվում է  $BC'$  աղեղը ուղղելուց: Զանի որ կորիգոնական հարթության վրա չի երևում  $BC'$  կորի տեսքը, ուստի այն ցույց տանք խոփի կտրությունին ուղղահայաց հարթության մեջ:

Խոփի կտրությունը եզրի շարտնակության վրա տանենք ակոսի հատակը ցույց տվող ուղիւղը  $B''C''$ , ապա ցույց տանք խոփի դրվածքի անկյունը  $\varepsilon_0 = C''B''L$ : Բնական է, որ թերի բարձրությունը՝

հ պետք է բավարարի  $h \geq \sqrt{a^2 + b^2}$  պայմանին:

Ընդունելով, որ  $B''L$  ուղիւղը հետազոտվող կորի շոշովուն է, կանգնեցնենք նրան ուղղահայաց  $B''K$  գիծը և սահմանափակենք հ հեռավորությամբ  $C'''O$  ուղիւղով, որը գուգահեռ է ակոսի հատակին: Այդ դեպքում  $BC$  ուղիւղի և  $B''C''$  կորերի հավասարության պայմանը կարող ենք գրել հետևյալ կերպ՝

$$BC = \frac{b}{\cos \gamma_0} = \cup B''C'' = R_{\min}(90 - \varepsilon_0), \text{ որտեղից՝}$$



Նկ. 3.11 Ուղղորդ կորի շառավիղի հիմնավորման սխեմա  
ա - ամենամեծ շառավիղի  $R_{\max}$ , բ - ամենափոքր շառավիղի  $R_{\min}$

$$R_{\min} = \frac{b}{\left(\frac{\pi}{2} - \varepsilon_0\right) \cos \gamma_0} \quad (3.10)$$

Նշենք, որ  $R_{\min}$ -ի (3.10) արտահայտությամբ ոլուշված մեծությունը համապատասխանում է միմչև  $k \leq 1.57$  արժեքը:  $k > 1.57$  արժեքի դեպքում չի պաշտպանվում  $R_{\min} < R < R_{\max}$  պայմանը:  $k > 1.57$  արժեքի դեպքում  $R_{\min}$  որոշվում է հետևյալ բանաձևով՝

$$R_{\min} = \frac{b\sqrt{k^2 - 1}}{k(\cos \varepsilon + \sin \Delta \varepsilon)} \quad (3.11)$$

որտեղ՝  $\Delta \varepsilon = 5 - 10^\circ$ -ամի բավարար շրջման համար անհրաժեշտ շրջանագծի մեծացված աղեղի լուսուցիչ անկյունն է:

Նշեք, որ որքան մոտ է  $R$ -ը  $R_{\min}$ -ին այնքան լավ է փիրեցվում առլ:

Կատարելով համապատասխան հաշվարկներ՝ ստանում ենք կուլտուրական տիպի թերթի համար  $1.35b \leq R \leq 1.75b$ , կիսապտուտակային տիպի թերթի համար  $1.1b \leq R \leq 1.55b$ :

### 3.4 Գութանի իրանի բանող մակերևույթի նախագծումը

Առլ խոփի կտրադ եզրավ խորությամբ կտրվում է և արիգունական ուղղությամբ, այնուհետև թեով շրջվում և փխրեցվում է:

Գութանի բանողական մակերևույթի տիպը պայմանավորված է  $\varepsilon$ ,  $\gamma_0$ ,  $\gamma_{\min}$ ,  $\gamma_{\max}$ ,  $\alpha$ ,  $\beta$  պարամետրերով և  $\gamma$  անկյունների փոփոխման օրինաչափությամբ: Այստեղ  $\varepsilon$ -ն խոփի ողվածքի անկյունն է (խոփի և ակոսի հատակի միջև կազմված անկյունը),  $\gamma_0$ -խոփի կտրող եզրի և ակոսապատճ միջև կազմված անկյունը,  $\gamma_{\min}$ -ակոսի հատակից 5-10 ամ բարձրության վրա գտնվող կազմող գծով (ծնիշով) և ակոսապատճ միջև կազմված անկյունը,

$\gamma_{\max}$ -թիւի ամենաբարձր կազմող գծի (ծնիշի) և ակոսապատճ միջև կազմված անկյունը,

$\alpha$  - փիլեցման անկյունը,

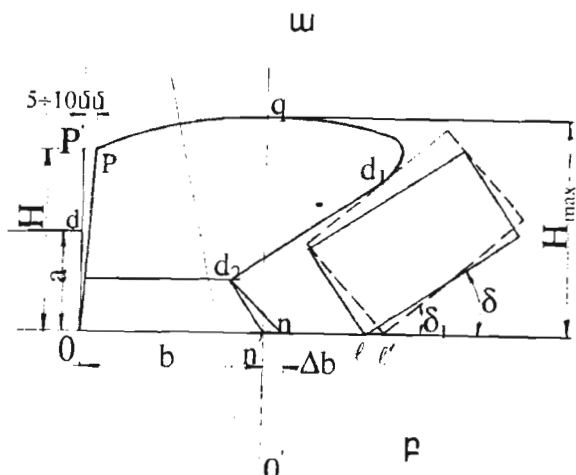
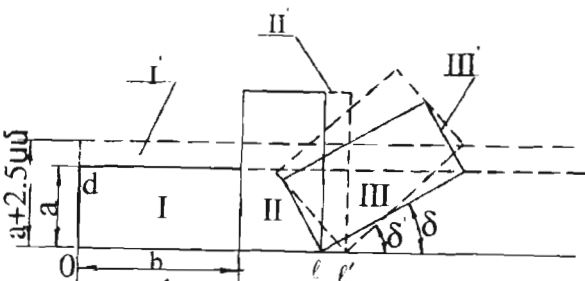
$\beta$  - շրջման անկյունը:

Արի շրջման տեխնոլոգիական գործընթացը պարզեցնելու նույական լնալունվում է, որ նրա ուղղանկյուն տեսքը պահպանվում է շրջման գործընթացի լնթացքում:

Երանի բանող մակերևույթի ճակատային (պլաֆիլ) պլայեկցիան կառուցվում է առի շրջման ճակատային պլայեկցիայի գծագրի վրա: Այն կարելի է կառուցել երկու եղանակով:

Ստոյս տրված է կառուցման եղանակը ըստ պլաֆ. Շշուշկինի մեթոդի, որի դեպքում թեն ավելի կորպակու է ստացվում: Պլաֆ. Շշուշկինն ընդունում է, որ աշխատանքի ժամանակ վարի և խորսրությունը կարող է 2.5սմ-ով ածել, այսինքն դառնալ  $a+2.5$ : Այս դեպքում  $(a+2.5) \times b$  կողմեր ունեցող առլ, 2-րդ դիրքից 3-րդ դիրքին անցնելիս կշրջվի ոչ թե ե կետի շորջը, այլ 2.5 ամ աջ գտնվող ը' կետի շորջը (նկ.3.12):

3-րդ դիրքի վերջին փուլում ակոսի հատակի նկատմամբ շրջված առլ կկազմի ոչ թե ծ անկյուն, այլ  $\delta_1 = \arcsin \frac{a+2.5}{b}$  անկյուն:



Նկ.3.12 թի ճակատային պրոյեկցիայի կառուցումը,  
ա - առի շրջման սխեման, բ - թի ճակատային պրոյեկցիան

Գծագրի վրա ( $a+2.5$ ) $\times b$  չափերի ունեցող առը 1.2.3. ոլորքում տրված է կետագծերով: Առից ազատված տարածությունը կոչվում է ակոս, (օքս), որտեղ՝ ծո-կոչվում է ակոսի պատ, օք- ակոսի հատակ:

Որպեսզի իրանը վարի ժամանակ իր վրա դրված ֆունկցիան ճշշտ կատարի, անհրաժեշտ է, որ բանող մակերևույթի ճակատային պրոյեկցիան ազատ տեղավորվի ակոսի մեջ: Բանող մակերևույթի ճակատային եղանակի բաղկացած է ներքին, դաշտային, ակոսային և վերին եղբերից:

Ներքին եղբը համընկնում է ակոսի հատակի հետ և իրենից ներկայացնում է խոփի կտրող եղբի պյուֆի պյույեկցիան:

Ներքին եղբի կառուցման համար (նկ.3.12) Օ կետից դեպի աջ տեղադրվում է առի լնդգույկման լայնությունը և, որպեսզի վարի ժամանակ խարակներ չմնան, այդ մեծությունը երկարացվում է  $\Delta b = 2.5$ մ:  $\Delta b$  անվանվում է վերածածկի մեծություն: Ներքին եղբի ներկարաւորունը կլինի  $b+\Delta b$  մեծություն:

Դաշտային եղբի կառուցման համար Օ կետից տեղադրվում է  $H=b+\Delta H$ , արժեքը (եթե  $a \geq 20$ մ,  $\Delta H=0$ ;  $a=12.5 - 17.5$ մ,  $\Delta H_i=1 - 2$ մ,  $a=10$ մ,  $\Delta H_i=2 - 3$ մ):

Որպեսզի իրանի դաշտային եղբը չշփվի ակոսի պատի հետ Պ կետը տեղափոխվում է աջ՝ 10 մմ. շափով և ստացված Պ կետը միացվում է Օ դիմ, որը ներկայացնում է դաշտային եղբը:

Ակոսային եղբի կառուցման համար  $d$ , կետից՝ ( $a+2.5$ մ) կողմով առի միջնակետը, (առել) կողմեր ունեցող առին տարվում է զուգահեռ ուղիղ և ուղեղից այդ ուղին իջեցվում է ողղահայաց: Ստացված կետը  $d$ , միացվում է ո կետին:

Իրանի վերին եղբը կորագիծ է և կառուցվում է հետևյալ ձևով:

Որոշվում է եղբագծի ամենաբարձր  $H_{\max}$  բարձրությունը՝ ակոսի հատակից հաշված:  $H_{\max} = \sqrt{a^2 + b^2} \pm \Delta H$ , որտեղ  $\Delta H = 0 - 10$ մմ.

(+) արժեքն ընտրվում է երեսվարի դեպքում ( $a \leq 15$ մ), (-) արժեքն ընտրվում է խոփի վարի դեպքում ( $a > 16$ մ): ո, կետից տարվում է ակոսի հատակին ուղղահայաց ուղիղ և նրա վրա տեղադրվում  $H_{\max}=n_1 q$  արժեքը: զ կետը միացվում է Պ կետին և տարվում է Պզ ուղղին միջնուղղահայաց՝ մինչև զո, շարտանակության հետ Օ' կետում հատվելը: Ստացված Օ' կետից Օ'զ շառավիրով գծվում է Պզ աղեղը և  $d_1$  կետը սահուն կորագծով (զգ, միացվում է զ կետին):

Դրանով ավարտվում է իրանի բանող մակերևույթի եղբագծի ոՐգգծու կառուցումը:

### Բանող մանկերևույթի ուղղորդ կորի կառուցումը

Ակոսի հատակի Օ'ր նկատմամբ (նկ.3.13) ը անկյան տակ (խոփի լուսածքի անկյունը) տարվում է Օ'ր ուղղը: Օ' կետից տարվում է Օ'ր

ուղղին ուղահայաց ուղղությունը և այլ ուղղին վրա  $O''$  կետից սկսած տեղաշրջում է ուղղությունը:

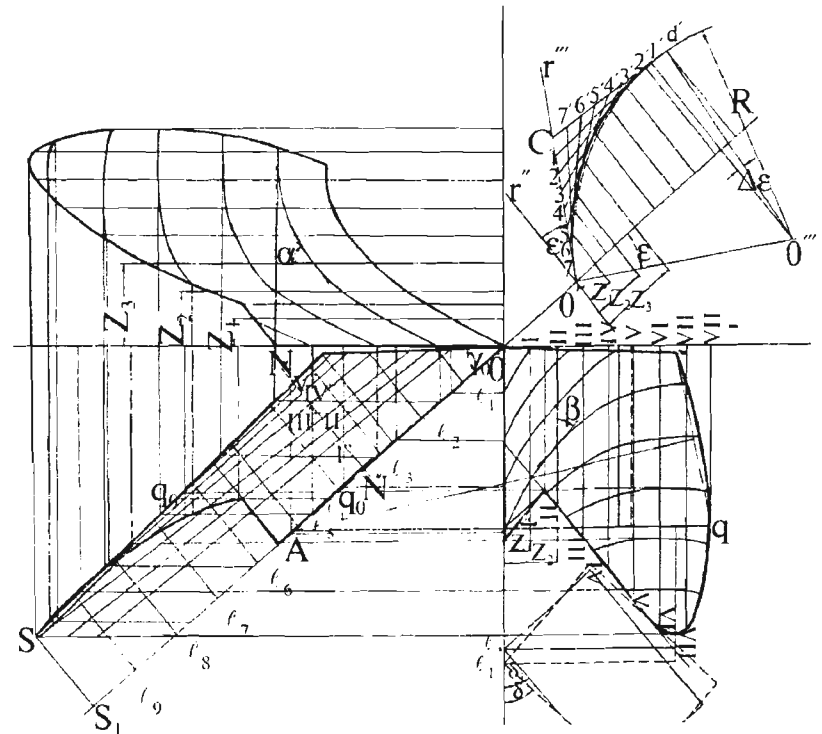
շառավղի հաշվարկային արժեքը  $R_p = \overline{O''O''}$ :

Նախագծան ժամանակ համար է  $R$  հաշ. արժեքը ընտրել  $R_{min}$  արժեքին ավելի մոտ: Կարկինին տարով  $R$  հաշ. բացվածք՝  $O''$  կենտրոնից ալեղ է գծվում:  $O''$  կետից ակոսի հատակին գուգահեռ տարրած գծից շեղված տարրում է  $\Delta\varepsilon = 5^\circ$  տակ մի ուղղություն մինչև ալեղի հետ ճշ կետում հատվելը:  $O''$  շրջանագծային ուղղությունը կորու հողաշերտը լավ փիրեցնել չի կայտ, բանի որ կորության շառավիղը միշտ հաստատուն է մնում: Փիրեցուն ակտիվ դարձնելու համար  $O''$  կորը վերափոխում ենք պարաբոլի: Այս նպատակով ճ կետից կանգնեցնում ենք  $O''$  ուղղին ուղահայաց մինչև  $O''$  գծի հետ  $C$  կետում հատվելը:

$O''$ -ուղի վրա  $O''$  կետից տեղայրում ենք խոփի լայնությունը և ստացված ճ և ուղիները բաժանում ենք քանակով իրար հավասար մասերի (8 մասի): Բաժանման մասերը համապատասխանաբար նշանակենք  $1,2,3,4,5,6,7$ , և  $1,2,3,4,5,6,7$ : Իրար միացնելով 1 կետը 1-ին, 2-ը 2-ին և այլն, կստացվի ուղի գծերի մի բնտանիք, որին տարրած լուրդությունը իրենից կներկայացնի պարաբոլի տեսք ունեցող ուղղությունը:

**Քանող մակերեսույթի հորիզոնական պրոյեկցիայի կառուցման** համար պլոտֆիլ պրոյեկցիան և ուղղությունը կորը հատում ենք ակոսի հատակին գուգահեռ՝ իրարից  $5$  սմ. հեռավորությամբ օժանդակ հայրաբյուններով:

Նշված հարթաբյունների բարձրությունները ակոսի հատակից նշանակենք  $Z_1, Z_2, Z_3, \dots, Z_n$ -ով: Այս հարթաբյունների և մակերեսույթի հատման գծերը (ուղինք ուղի գծեր են) անվանում են կազմող գծեր, ուղինք կուլտուրական, գլանային և կիսապտուպակային թերթի մոտ միշտ գուգահեռ են ակոսի հատակին: Պլոտֆիլ պրոյեկցիայի վրա կազմուա գծերը համապատասխանաբար նշանակենք I-I, II-II, III-III և այլն: Նշված հարթաբյուններից յորաքանչյուրը ուղղությունը կորը կիստի մեկական կետում: Այս կետերի ակոսի հատակից կգտնվեն օժանդակ հարթաբյունների միևնույն  $Z_1, Z_2, \dots, Z_n$ , բարձրության վրա, ինչպես պլոտֆիլ պրոյեկցիայի վրա:



Նկ. 3.13 խոփ-բևի մակերեսույթի կառուցումը.

Ուղղությունը կորի վրա I, II, ... կետերը հորիզոնական պրոյեկցիայում կգտնվեն խոփի կտրությունում  $NN$  հարթաբյուն վրա: Կուլտուրական թերթի նախագծան ժամանակ  $NN$  հարթաբյունը, որն ուղղահայաց է խոփի կտրությունին, տարրում է խոփի OА կտրությունը՝ մասից, Օ կետից հաշված:

Կիսապտուտակային թերթի մոտ  $NN$  հարթաբյունը տարրում է Ա կետուց:

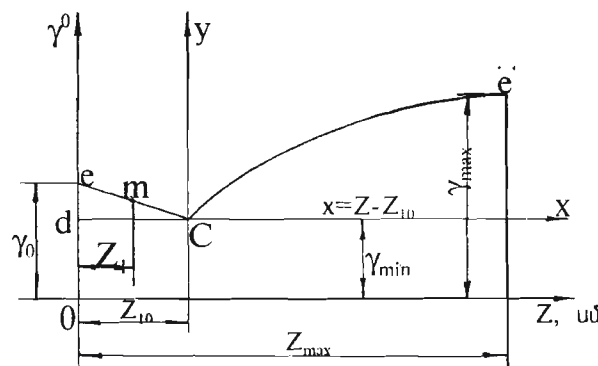
Գլանային թերթի մոտ  $NN$  հարթաբյունը կարելի է տանել OА ուղինք ցանկացած կետից: Հորիզոնական պրոյեկցիայի  $NN$  հարթաբյուն վրա ծննդի և պարաբոլային հատման կետերի պլոտֆիլ կառուցմանը ստանարու համար ուղղությունը կորի նշված կետերից տանում ենք խոփի կտրությունում աղյուսական պրոյեկցիային

գուգահեռ ուղիղներ մինչև և. հարթության հետ հատվելը: Օճի մակերսույթի կառուցման համար անլրաժեշտ է ողիղ գիծը (ծնիչը) տեղաշարժել ուղղութ կորին հպված՝ այն միշտ ակոսի հատակին գուգահեռ պահերպ: Ծնիչը և ակոսապատի միջև կազմված  $\gamma$  անկյունը ուղրութ կորի վրա շարժելու փոփոխվում է որոշ օրինաչափությամբ: Այսպես՝ գլանային թերի մոտ  $\gamma$  անկյունը միշտ հաստատում է մնում:  $\gamma = \text{const}$ : Նշանակում է բոլոր ծնիչներն իրար գուգահեռ են: Կուլտուրական տիպի թերի մոտ  $\gamma$  անկյունը փոխվում է հետևյալ օրինաչափությամբ: Խոփի կտրող եզրի և ակոսապատի միջև կազմված  $\gamma_0$  անկյան նկատմամբ ակոսի հատակից 7-10 ամքարձրության վրա փոքրանում է 1-2°-ով, ողիղ գծի օրինաչափությամբ (ec), այնուհետև պարաբոլի օրինաչափությամբ աճում է 2-7° -ով (նկ.3.14):

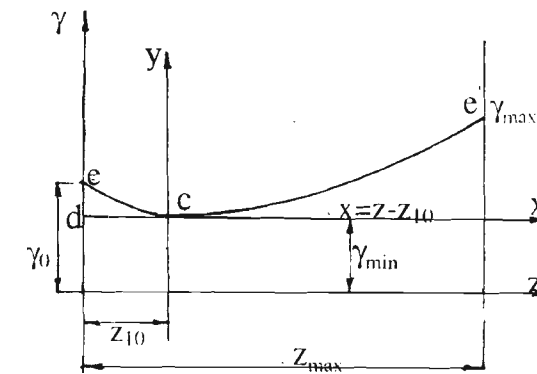
Կիսապտուտակային թերի մոտ  $\gamma_0$  անկյունը նվազում 1-2-4 աստիճանով, այնուհետև աճում 7-15 աստիճանով:

$\gamma$  անկյունը կուլտուրական տիպի թերի դեպքում փոփոխվում է  $y = \frac{6.2x^2}{x^2 + 100}$  պարաբոլով:  $\gamma$  անկյան փոփոխման օլինաչափությունը

$$y = \frac{x^2}{2P} \quad \text{տեսքը:}$$



Նկ.3.14 գանկյան փոփոխման օրինաչափությունը կուլտուրական տիպի թերի մոտ:



Նկ. 3.15 գանկյան փոփոխման օրինաչափությունը կիսապտուտակային տիպի թերի մոտ:

Նկ. 3.14 և 3.15-ում  $Z_i^0$ -ը ակոսի հատակից ամենափոքրը  $\gamma_{min}$  անկյուն ունեցող ծնիչի բարձրությունն է: Օժանդակ հարթություններից յորպահանչյալը ակոսի հատակից կոնսենա ուղակի բարձրություն, այլ նոյն բարձրության վրա կգտնվի նաև այդ հարթության մեջ գտնվող ծնիչը: Յանկացած բարձրության վրա գտնվող ծնիչի և ակոսապատի միջև կազմված  $\gamma$  անկյան սրոշման համար իմք է ընդունվում նկ. 3.14 և 3.15 տրված  $\gamma$  անկյունների փոփոխման օրինաչափությունները:

Տարբեր բարձրությունների  $Z_i$  վրա գտնվող ծնիչների և ակոսապատի միջև կազմված  $\gamma$  անկյունների արժեքների որոշումը:

1. Կուլտուրական տիպի իրաների համար ծնիչների բարձրությունների տրվում են ակոսի հատակից՝ սկսած իրարից 5-ական սմ. հոափությամբ (I ծնիչը  $Z_i=5$ սմ, 2-րդ ծնիչը  $Z_i=10$  սմ, 3-րդ ծնիչը  $Z_i=15$  սմ և այլն):

$Z_i=0$  բարձրության վրա կգտնվի խոփի կտրող եզրը ներկայացնող ծնիչը, որի կազմած անկյունն ակոսապատի հետ նշանակված  $\gamma_0$  ով,  $Z_i=Z_i=5$ սմ բարձրության վրա կգտնվի 2 -րդ ծնիչը, այս ծնիչի և ակոսապատի միջև կազմված անկյունը  $\gamma_1$ -ը կարելի է սրոշել օճ և ըոտ նման եռանկյուններից կազմելով կողմերի համեմատթյունը:

$$\frac{de}{mn} = \frac{dc}{nc}, \text{ որտեղից } mn = \frac{de \cdot nc}{dc}$$

որտեղ  $de = \gamma_0 - \gamma_{\min}$ ,  $dc = Z_1^0 = 10$ սմ,  $nc = Z_1^0/2 = 5$ սմ

համապատասխան ալթեքները տեղադրելով՝ կստացվի

$$mn = \frac{(\gamma_0 - \gamma_{\min})}{10} \cdot 5, \quad \gamma_1 = mn + \gamma_1 = \frac{(\gamma_0 - \gamma_{\min}) \cdot 5}{10} + \gamma_{\min}$$

2.Կուլտուրական տիպի իրանների համար ee ճյուղում շանկյան փոփոխությունը կատարվում է պարաբոլային օրինաչափությամբ: Շանկյան որոշումը կատարվում է հետևյալ հաջորդականությամբ:

Նկ.3.12-ից որոշվում է ճակատային տեսքի ամենաբարձր գ կետի  $Z_{\max}$  կոորդինատը:

Նկ.3.14-ից որոշենք մասշտաբը  $\lambda$ , թե յ ի յուրաքանչյուր 1սմ-ին քանի աստիճան է համապատասխանում հետևյալ համեմատության միջացում՝  $(\gamma_{\max} - \gamma_{\min}) / y_{\max}$

$$\lambda = 1 \text{սմ}$$

$$\lambda = \frac{\gamma_{\max} - \gamma_{\min}}{y_{\max}},$$

Ծնիչի  $Z$  բարձրությունը ակոսի հատակից կարելի է արտահայտել ք-ով, որտեղ՝  $Z$ -ը ծնիչի բարձրությունն է՝ հաշված  $\gamma_{\min}$  ալթեք ունեցալ ծնիչից:

Հաշվենք  $Z=15$ սմ-ի դեպքում  $\gamma_{15}$  ալթեքը:  $Z_{15} - Z_1^0 = X_{15} = 15 - 10 = 5$ սմ

$X_{15}$  -ի ալթեքը տեղադրելով  $Y = \frac{6.2X^2}{x^2 + 100}$  բանաձևում՝ կստացվի

$X_{15}$  -ին համապատասխանող  $Y_{15}$  -ի ալթեքը սմ-ով:

$y_{15} \cdot \lambda$  արտադրյալը կներկայացնի  $y_{15}$ սմ-ին համապատասխանող շանկյան մեծությունը:

$y_{15} \cdot \lambda + \gamma_{\min}$  կներկայացնի որոշելի  $\gamma_{15}$  շանկյան մեծությունը

$$\gamma_{15} = y_{15} \cdot \lambda + \gamma_{\min} = \frac{6.2 \cdot x_{15}^2}{x_{15}^2 + 100} \cdot \frac{\gamma_{\max} - \gamma_{\min}}{y_{\max}} + \gamma_{\min},$$

$y_{\max}$ - ալթեքը որոշվում է զ- կետի  $Z_{\max}$  ալթեքից՝

$$x_{\max} = Z_{\max} - Z_1^0, \quad y_{\max} = \frac{6.2 \cdot x_{\max}^2}{100 + x_{\max}^2},$$

$$\gamma_{15} = \frac{6.2 \cdot x_{15}^2}{x_{15}^2 + 100} \cdot \frac{\gamma_{\max} - \gamma_{\min}}{\frac{6.2 \cdot x_{\max}^2}{x_{\max}^2 + 100}} + \gamma_{\min},$$

$$\gamma_{15} = \frac{x_{15}^2}{x_{15}^2 + 100} \cdot \frac{\gamma_{\max} - \gamma_{\min}}{x_{\max}^2} (x_{\max}^2 + 100) + \gamma_{\min} :$$

$x_{\max}$  և  $x_{15}$  ալթեքները  $Z$ -ով արտահայտելավ՝ վերջնականապես կստացվի

$$\gamma_{15} = \frac{(Z_{15} - Z_1^0)^2 \cdot (\gamma_{\max} - \gamma_{\min}) \cdot [(Z_{\max} - Z_1^0)^2 + 100]}{[(Z_{15} - Z_1^0)^2 + 100] \cdot (Z_{\max} - Z_1^0)^2} + \gamma_{\min}$$

$Z=20$ սմ բարձրությամբ տարված հարթության մեջ գտնվող ծնիչի և ակոսապատի միջն կազմված  $\gamma$  շանկյունը որոշելու համար համապատասխանաբար կստացվի

$$\gamma_{20} = \frac{[Z_{20} - Z_1^0]^2 \cdot (\gamma_{\max} - \gamma_{\min}) [(Z_{\max} - Z_1^0)^2 + 100]}{[(Z_{20} - Z_1^0)^2 + 100] (Z_{\max} - Z_1^0)^2} + \gamma_{\min}$$

3. ee ճյուղում կիսապտուտակային տիպի իրանների համար հաշվարկը կատարվում է ինչպես կուլտուրական տիպի մոտ:

4. ee ճյուղում կիսապտուտակային տիպի իրանների համար հաշվարկը կատարվում է նոյն հերթականությամբ, միայն այն տարրելությամբ, որ ee ճյուղում կլիմք է ընդունվում այս քեզին յուրահատուկ  $y = x^2/2P$  պարաբոլին հավասարությունը:

$Z=15$ սմ բարձրությամբ տարված հարթության մեջ գտնվող ծնյալի համար համապատասխանող կառացվի:

$$x_{15} = Z_{15} - Z_1^0, \quad y_{15} = \frac{x_{15}^2}{2P} = \frac{(Z_{15} - Z_1^0)^2}{2P}$$

$\gamma_{15}=y_{15}\cdot\lambda+\gamma_{\min}$  տեղադրելով համապատասխան արժեքները կառացվի՝

$$\gamma_{15} = \frac{(Z_{15} - Z_1^0)^2}{2P} \cdot \frac{(\gamma_{\max} - \gamma_{\min})}{y_{\max}} + \gamma_{\min}$$

$$\gamma_{15} = \frac{(Z_{15} - Z_1^0)^2}{2P} \cdot \frac{(\gamma_{\max} - \gamma_{\min}) \cdot 2P}{(Z_{\max} - Z_1^0)^2} + \gamma_{\min}$$

Ճևափոխությունից հետո վերջականապես կառացվի՝

$$\gamma_{15} = \frac{(Z_{15} - Z_1^0)^2}{(Z_{\max} - Z_1^0)^2} \frac{(\gamma_{\max} - \gamma_{\min})}{(\gamma_{\max} - \gamma_{\min})^2} + \gamma_{\min}$$

Տարբեր  $Z$  բարձրությունների վրա ունենալով ծնյաների  $\gamma$  անկյունների համապատասխան արժեքները՝ հորիզոնական պրոյեկցիայի  $NN$  հարթության մեջ ստացված համապատասխան կետից տարվում են  $\gamma$  անկյուններով ծնյաները: Մնացած կառուցումները կատարվում են տեխնիկական գծագրության կանոններով:

ճակատային պրոյեկցիայի վրա ծնյաների և իրանի եզրագծի հատման կետերը, հակապատասխանաբար պրոյեկտելով հորիզոնական պրոյեկցիայի  $NN$  հարթության վրա  $\gamma$  անկյունների տակ տարված ծնյաների վրա, կառացվեն եզրագծի հորիզոնական պրոյեկցիայի կետերը, դրանք հաջորդաբար միմյանց միացնելով՝ կառացվի իրանի հորիզոնական պրոյեկցիան:

Հյամք ընդունելով ծնյաների հորիզոնական և պրոֆիլ պրոյեկցիաները՝ կարելի է ստանալ նրանց ուղղաձիգ պրոյեկցիաները: Կառուցման համար ուղղաձիգ պրոյեկցիայում  $Z_1, Z_2, \dots, Z_n$  բարձրություններով տարվում են ակոսի հատակյան գուգակին գծերը: Հորիզոնական պրոյեկցիայի համապատասխան ծնյաների ծայրա-

կետերը պրոյեկտելով այդ գծերի վրա, կառացվեն համապատասխան ծնյաների ուղղաձիգ պրոյեկցիաները, որոնց ծայրակետերը միացնելով՝ կառացվի ուղղաձիգ պրոյեկցիայի եզրագիծը:

**Իրանի բանող մակերեսույթի փխրեցնող հատկությունն արտահայտող կորի կառուցումը ուղղաձիգ պրոյեկցիայի վրա**

Թեև փխրեցնող հատկությունն արտահայտվում է օ անկյունով: Այդ անկյան փոփոխությունն արտահայտող կորը ստանալու համար հորիզոնական պրոյեկցիան հատում ենք ակոսի պատիմ գուգակին՝ միմյանցից 5-ական սմ հեռավորությամբ: Նկ. 3.13-ում ցույց է տրված այդ հարթություններից մեկը՝  $P_0 - P_0'$ : Հորիզոնական պրոյեկցիայի վրա այդ ուղիղը ծնյաներին կիատի մեկական կետում: Այդ կետերը պրոյեկտելով ուղղաձիգ պրոյեկցիայի համապատասխան ծնյաների վրա, ստանում ենք այդ կետերի ուղղահայաց պրոյեկցիաները: Ստացված կետերը հաջորդաբար միացնելով՝ կառացվի օ- անկյունն արտահայտող կորը: Նշված կորի ցանկացած կետում անկյան մեջությունը կորին համապատասխան մեջ պահպանվում է անկյունը:

**Իրանի բանող մակերեսույթի շրջող հատկությունն արտահայտող կորի կառուցումը պրոֆիլ պրոյեկցիայի վրա**

Թեև շրջող հատկությունն արտահայտվում է օ անկյունով: Յ անկյան փոփոխությունն արտահայտող կորը ստանալու համար հորիզոնական պրոյեկցիան հատում ենք ակոսի պատիմ ուղղահայաց հարթություններով, միմյանցից 5-ական սմ հեռավորությամբ (Նկ. 3.13-ում ցույց է տրված այդ հարթություններից մեկը՝  $P_0 - P_0'$ ): Հորիզոնական պրոյեկցիայի վրա այդ ուղիղը ծնյաներին կիատի մեկական կետում: Այդ կետերի պրոֆիլ պրոյեկցիաները ստանալու համար պրոյեկտվում են պրոֆիլ պրոյեկցիայի համապատասխան ծնյաների վրա, ստացված կետերը հաջորդաբար միացնելով՝ կառացվի Յ անկյունն արտահայտող կորը: Նշված կորի ցանկացած կետի համար Յ անկյան մեծությունը որոշելու նպատակով այդ կետից տարվում է շոշոփող

ուղիղ, այդ ուղղված և ակսու հատակի միջև կազմված անկյունը կներկայացնի կորի այդ կետին համապատասխանութ շրջութ Յ, անկյունը:

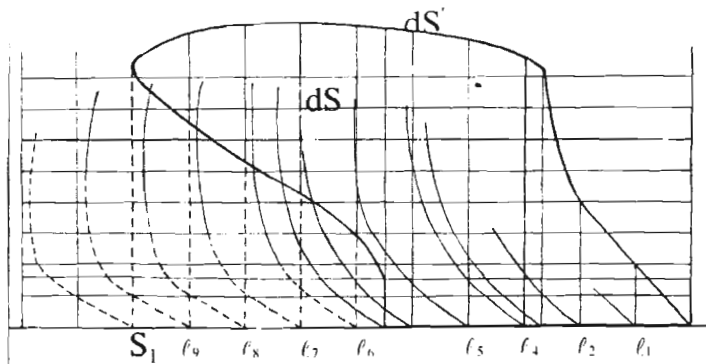
### Բանող մակերևույթի շաբլոն կորագծերի և փոփածքի կառուցումը

Թեկու բանող մակերևույթի նախագծումից հետո իրանի պատրաստման ճշտությանը ստուգերու համար անհրաժեշտ է ունենայ այդ մակերևույթի տարրեր հատությունների շաբլոն կորագծերը:

Շաբլոն կորագծերը կառուցում են առանձին գծագրական թերթի վրա: Այդ նոյն գծագրական թերթի վրա, իմբռ լնդրներով շաբլոն կորագծերը, կառուցվում են առև բանող մակերևույթի փոփածքը:

Շաբլոն կորագծի կառուցման համար Խորիզոնական պլայեկցիայի վրա խոփի եզրի գիծը շաբլոնակում է հետին ծայրի տրիությամբ ու խոփի ծայրից սկսած այն բաժանվում է իրարից 5-ական սմ հետաքրոքյուն ունեցող հատվածների  $\ell_1, \ell_2, \ell_3, \dots, \ell_n$ : Ստացված յուրաքանչյուր կետից տարրում է խոփի կտրող եզրին ուղղահայաց մեկական հարթություն:

Շաբլոն կորագծի կառուցումը կատարվում է նկ. 3.13 գծագրի հիման վրա:



Նկ.3.16 Շաբլոն կորերի և թիվ փոփածքի կառուցումը

Իծագրական աշխատանքը կատարվում է հետևյալ հաջորդականությամբ. նկ.3.13-ի Խորիզոնական պլայեկցիայի OS, ուղիղը  $\ell_1, \ell_2, \ell_3, \dots, S_1$  բաժանման կետերով նոյնարյամբ միևնույն չափով տեղադրվում է գծագրական րորի վրա (նկ. 3.16), այդ գծին  $Z_1, Z_2, \dots, Z_{\max}$  բարձրության վրա տարրում են գուգակեռ ուղիղներ և կառացվում շաբլոն կորերը:

Իցուր, ցանկանում ենք կառուցել  $y_0 - y_0$  հարթության շաբլոն կորագիծը: Ենդունենք, որ  $y_0 - y_0$  այլպես անցնում է  $\ell_s$  կետով: Նկ. 3.16-ում OS, ուղիղ վրա  $\ell_s$  կետից սկսած՝ դեպի ձախ, տեղադրում ենք  $y_0 - y_0$  ուղիղի և ծնիշների հատման կետերի հեռավորությունները (նկ. 3.13) ( $\ell_s, d_1, d_2, d_3$ ):

Նշված կետերից (նկ.3.16) OS-ին կանգնեցվում է ուղղահայաց ուղիղ՝ մինչև համապատասխան ծնիշների հետ հատվելը: Այս կետերը միացնում կորն իրենից կներկայացնի  $y_0 - y_0$  հարթության մեջ շաբլոն կորագիծը:  $\ell_s$  կետից (նկ. 3.16) կանգնեցնում ենք OS-ին ուղղահայաց ուղիղը և  $\ell_s d_s$  կորն այդ ուղիղ վրա ծգում ենք ուղիղ գծով:

$\cup l_s d_s = \overline{l_s d_s}$ : Այս կորի ծգումը կատարվում է կարկինի օգնությամբ. աղելը վերացվում է բեկյալ գծի: Հաջորդաբար կառուցվում են մնացած բոլոր շաբլոն կորագծերը, և համապատասխանաբար ծգերով՝ ստացվում են այդ կորերի փոփածքները: Ուղիղների ծայրակետերը միմյանց միացներով՝ կստացվի բանող մակերևույթի փոփածքը: Գլանային մակերևույթները հնարավոր են ճշտութեն փոել. գլանակերպ մակերևույթի փոփածքը ստացվում է ճուտավոր ճշտությամբ:

### 3.5. Իրանի վրա ազդող ուժերը և դրանց հավասարակշռության պայմանները Ուժային բնութագիրը

Դորբանի աշխատանքի ժամանակ առի և խոփ-քս մակերևույթի փոխազնեցության գոտում նորմալ և հարաբերական շարժումներից առաջանում են շոշափող լարումներ, որտեղ. կախված հոյի

հատկանիշներից և վիճակից, մակերևույթի ծկաց, խոփի մաշվածության աստիճանից տարբեր գոտիներում ստանում են տարբեր արժեքներ և ունենում տարբեր ուղղություններ: Մակերևույթի վրա առաջացած այլ նորմալ և շոշափող ուժերը չեն բերվում մի համազորի, և գորանի ժամանակակից տեսությունն ի վիճակի չէ սրոշելու համազորի ոչ մեծությունը, և ոչ էլ ուղղությունը: Այդ խնդիրը ներկայում լուծվում է փորձնական ճանապարհով՝ ուժաչափման տարրածական եղանակով, որն առաջին անգամ առաջարկել է Գ.Կյունեն, խոկ այնուհետև առավել կատարելագործված պրակտիկ վյուղություն է ստացել ԽՍՍՀՄ-ում՝ Գ.Ն.Սիմեոնովի ղեկավարությամբ: Ուժաչափման տարրածական եղանակով որոշում են համազորի երեք բաղադրիչները՝  $R_x$ ,  $R_y$ ,  $R_z$  կողողինատային առանցքների երեք ուղղություններով: Այդ ուժերն ընդունվում են որպես ևսուի կամ կեմենտար դիմայրությունների գլխավոր վեկտորի պայունացիաներ: Նշված բաղադրիչներից յուրաքանչյուր երկուսի վեկտորական գումարը տալիս է  $R_{xy}$ ,  $R_{xz}$ ,  $R_{yz}$  համազորները երեք հարթությունների վրա (նկ. 3.17):

Այդ ուժերի մեծությունները որոշում են հետևյալ բանաձևերով՝

$$R_{xy} = \sqrt{R_x^2 + R_y^2}, \quad R_{xz} = \sqrt{R_x^2 + R_z^2}, \quad R_{yz} = \sqrt{R_y^2 + R_z^2}: \quad (3.12)$$

Ուժերի ազդման ուղղությունները որոշում են հետևյալ անկյուններով՝

$$\eta = \arctg \frac{R_y}{R_x}, \quad \psi = \arctg \frac{R_z}{R_x}, \quad \xi = \arctg \frac{R_z}{R_y} \quad (3.13)$$

Հարթության համազորների ազդման կետերը որոշում են  $\ell_{xy}$ ,  $\ell_{xz}$ ,  $\ell_{yz}$  մեծություններով՝ գրաֆիկական եղանակով: Կոլտուրական տիպի իրանի համար ստացվել են նշված պարամետրերի հետևյալ արժեքները՝  $\eta=15 - 25^\circ$ ,  $\ell_{xy}=(0.3 - 0.5)b$ , որտեղ  $b$ -իրանի ընդգրկման լայնությունն է և ընդունվում է՝  $\ell_{xy}=0.4b$ ,  $\psi = \pm 12^\circ$ ,  $\ell_{xz}=0.5a$ ,  $\psi$  անկյան դրական արժեքի դեպքում և  $\ell_{xz}=0.33a$   $\psi$  - անկյան բացասական արժեքի դեպքում, որտեղ՝  $a$ -վարի խորությունն է,  $\xi = \pm$

$45^\circ$ ,  $\ell_{yz}=0.75b$ ,  $\xi$ -անկյան դրական ալիքների դեպքում և  $\ell_{yz}=0.75b$ ,  $\xi$ -ի բացասական արժեքի դեպքում:

Օգտվելով նկ.3.17-ից և դ.պ.է անկյունների արժեքներից՝ հեշտ է որոշել ուժային բաղադրիչների կապը: Այսպես, տարածական ուժաչափման մեթոդի որոշելով  $R_{xy}$  ուժը, այնուհետև հեշտ է հաշվել՝  $R_x=R_{xy} \cos \eta$ ,  $R_y=R_{xy} \operatorname{tg} \eta = R_x \operatorname{tg}((15^\circ \dots 25^\circ) = (0.25 \dots 0.45) R_x$

$$\text{կամ } R_y \approx 0.35 R_x, \quad (3.14)$$

$$R_z=R_x \operatorname{tg} \psi = \pm 0.2 R_x \quad (3.15)$$

Քանի որ ուժաչափման տարրածական եղանակը պահանջում է բարդ սալքավորումներ, ուստի նպատակահարմար է ուժաչափման հայրենակով որոշել  $R_x$  բաղադրիչը, ապա նաև մնացած  $R_y$ ,  $R_z$  մեծությունները՝ հաշվարկային մեթոդով:

Չափելով գորանի քարշային  $R_{uu}$  որոշվում է մեկ իրանի լլիմադրությունը

$$R_x = \eta R_{uu}/n \quad (3.16)$$

որտեղ՝  $\eta$ - գորանի օգգ.ն է, հավասար՝ 0.6 - 0.8,  $n$ - իրանների թիվը գորանի վրա:

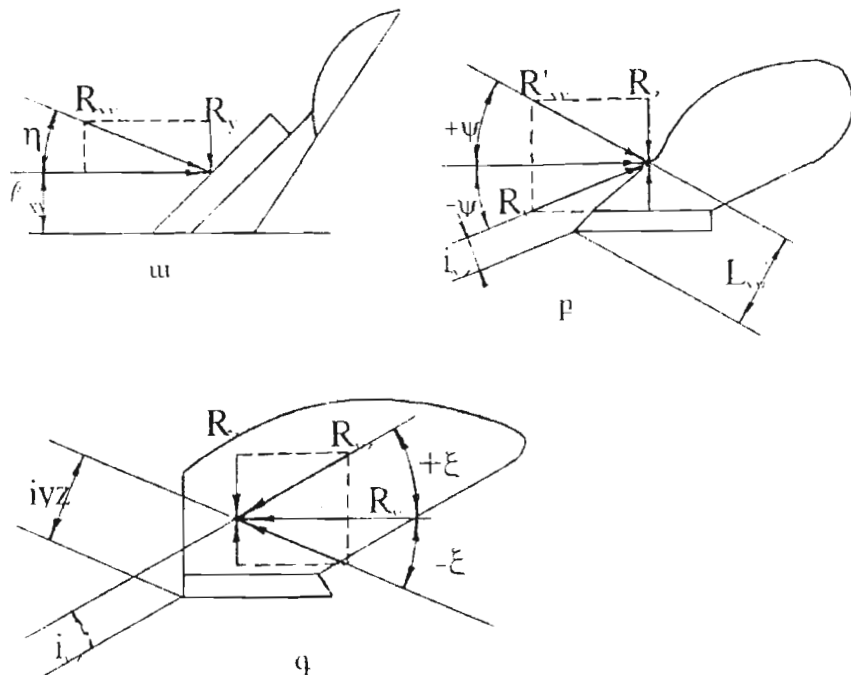
Այսպիսով,  $R_x$  բաղադրիչը բնորոշում է իրանի ուժային բնույթը: Նրա արժեքը կախված է ևսուի ֆիզիկական և տեխնոլոգիական հատկանիշներից, վարի խորությունից, արագությունից, թիվ տեսակից, խոփի սայրի սրությունից, դանակի և նախագութանիկի առկայությունից:

Տեխնոլագիական հատկանիշները միասին վերցրած բնորոշում են ևսուի տեսակարար դիմադրությունը, որը նյութերի դիմադրության

օրենքների համաձայն որոշվում է հետևյալ բանաձևով՝  $K = \frac{R_x}{ab}$ ,

այսինքն ևսուի քայլայման դիմադրությունն ուղիղ համեմատական է նրա տեսակարարդիմադրությանը և առի ընդլայնական մակերեսին  $a:b$ :

Հայի տեսակարար դիմադրությունը փոփոխվում է լայն սահմաններում՝ կախված մեխանիկական կազմից և խոնավությունից (նկ.1.7)

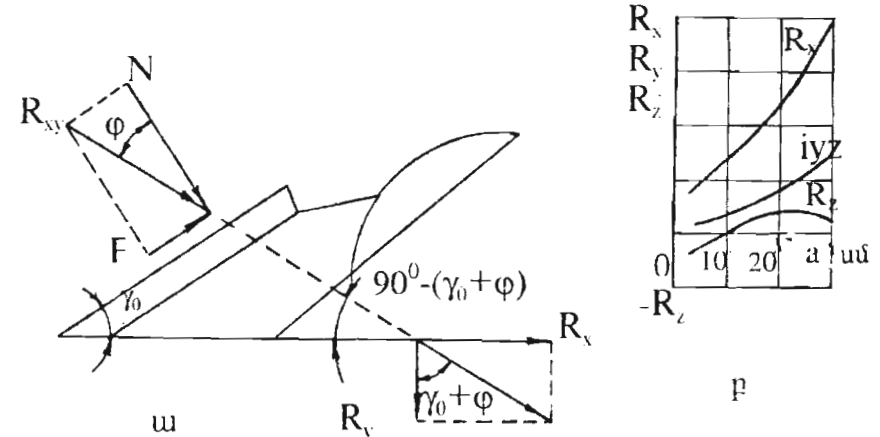


Նկ.3.17 Երանի ուժային բնուրագիրը եթեր հարրուրյուններում  
ա - հորիզոնական, բ - երկայնական-ուղղածից, գ - ընդլայնական  
ուղղածից

Հողերի տեսակարար դիմայլուրյան արժեքները տարբեր հողերի համար միջին հաշվով հետևյան են՝ թերև (ավագային, ավագակավային) -20-35 ԿՊԱ, միջին (կավավագային) -35-55, ծանր (ծանր կավավագային)-55-80 և շատ ծանր (ճայային կավային բարձր խոնավուրյամբ)-80 - 130ԿՊԱ:

Երանի վրա ազդող ուժերի փոփոխության վրա զգայի ազդեցություն ունի նաև վարի խորուրյանը (նկ 3.18բ): Այսպես, հնավար հողում վարի խորուրյան մեծացումը հանգեցնում է բարչի ուժի  $R_z$  ինտենսիվ աճին, որոշակութեան նաև  $R_z$  աճին: Մինչդեռ, ուղղահայաց  $R_x$  բարայիքի աճում է ինչպես որական, այնպես էլ բացասական ուղղուրյուններով:  $R_z$ -ի բացասական արժեքը պայմանավորված է խոփի մաշվածուրյան աստիճանով: Փոքր խորուրյան և ամոր հողի պայմաններում իրանը դուրս երադ տժի

աճում է, աստիճանաբար մեծացնելով վարի խորուրյունը,  $R_z$ -ը փոփոխում է լրական ուղղությամբ (նկ.3.18բ):



Նկ.3.18 Երանի ուժային բնուրագիրը.

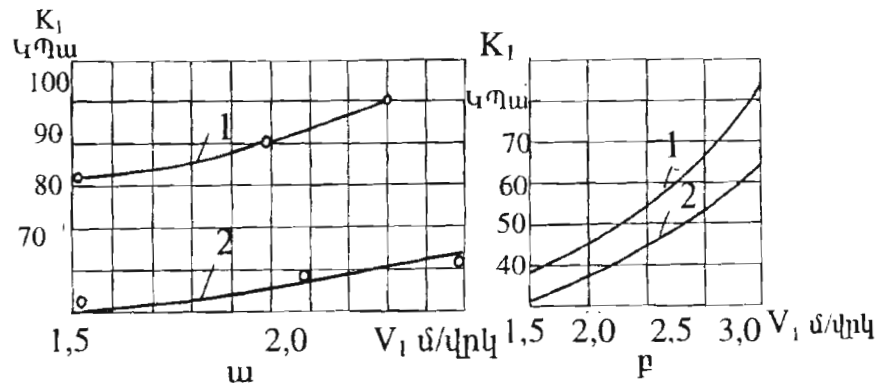
ա- հորիզոնական հարրուրյունում իրանի վրա ազդող ուժերի սխեման,  
բ- ուժերի փոփոխության բնուրյունը կախված վարի խորուրյունից՝ ա:

**Գուրանի քարշային դիմաբուրյան փոփոխման բնույթի վրա զգայի ազդեցություն ունեն նրանց կառուցվածքային և կինեմատիկան պարամետրերը**

Տարբեր տիպի հողերի վարի կատարելով այս կամ այն ձևի իրանով՝ առյ ենթարկվում է որոշակի գերակշռութեարի դեֆորմացիայի և հանգեցնում քալչային դիմայլուրյան մեծացման կամ փոփոխացման: Այսպես, ճնշու հողը կույտուրյական թևով վարելու դեպքում առյ ենթարկվում է տրաման և ծուման, պտուտակային թևով վարելու դեպքում՝ միայն որուման: Վերջին հանգամանքը (ճնշու հողի վարի պտուտակային իրանով) իշեցնում է հողի տեսակարար դիմայլուրյունի մոտ 1.5 անգամ (նկ. 3.19ա):

Հողի տեսակարար դիմայլուրյան վրա որոշակի ազդեցություն է թույնում նաև նույնատիպ իրանի պարամետրերի փոփոխուրյունը: Այսպես, գլանակերպ թերը  $\alpha=250$  և  $\gamma=380$  (արագ վարի) պարա-

մետրերով կուլտուրական թևի ( $\alpha=300, \gamma=420$ ) համեմատությամբ հողի տեսակարար դիմադրությունը իջեցնում է 25-30 % (նկ. 3.19թ):



Նկ.3.19 Հողի տեսակարար դիմադրության փոփոխությունը՝ կախված վարի արագությունից ա-կուլտուրական թևի 1 և պտուտակային թևի 2 դեպքում, բ-զանակերպ իրանի դեպքում՝ ստանդարտ 1 և արագ վարի 2 թերով:

Հողի տեխնոլոգիական հատկանիշների (շփման անկյան) միջոցով հճարավոր է ոլոշել նաև իրանի վրա ազդող կողային ուժի մեծությունը՝  $R_y = R_x \operatorname{ctg}(\gamma_0 + \varphi)$  (նկ. 3.18ա):

Հողի տեսակարար դիմադրության վրա զգալի է արագության մեծությունը (նկ.19ա,թ): Արագության մեծացման հետ աճում է հողի տեսակարար դիմադրությունը: Նշենք նաև, որ խոփի քարշային դիմադրությունը բանու մակերեսույթի ընդիանուր դիմադրության 50-60 %-ն է:

Նախագութանիկի տեղակայումը գործանի վրա վերջինիս քարշային դիմադրությունը փոփոխում է  $\pm 10\%$ : Քարշային դիմադրության առավելագույն իջեցումը տեղի է ունենում, եթե նախագութանիկի տեղակայման խորությունը  $a_{np}$  ընդհանուր խորության ա կեսի չափ է:  $a_{np}=0.5a$ : Նախագութանիկի օգտագործումը դրական է ազդում կապակցված ճիմու հողերի վարի դեպքում:

Ավագային, ավագակավային հողերի վարի դեպքում նախագութանիկի օգտագործումը գործանի քարշային դիմադրությունը մեծացնում է 10%-ով:

Սկավառակային դանակի տեղակայումը՝ յուրաքանչյուր իրանից առաջ, կապակված ճիմու հողերի վարի ժամանակ իջեցնում է գուրանի քարշային դիմադրությունը 5-6.5% -ով և ոչ մի ազդեցություն չի թողնում կուլտուրական ոռոգելի հողերի մշակության ժամանակ: Բոլոր դեպքերում սկավառակային դանակները վատացնում են գուրանի վարի խորության կայունությունը:

**Դիմադրության բնույթը:** Գործանի իրանի քարշային դիմադրությունը փոփոխական մեծություն է, որը գրաֆիկորեն իրենից ներկայացնում է պարբերաբար իրար փոխարինող պիկեր և իջվածքներ, որոնք իրենց հերթին ևս ունեն միկրոտատանումներ (նկ.3.20): Կարծատև պիկային արժեքները 2-2.7 անգամ գերազանցում են դիմադրության միջին արժեքներին:  $R_x^{\max} = (2 - 2.7)R_x^{\text{med}}$  : Դիմադրության վարիացիայի գործակիցը նույնական տատանվում է լայն սահմաններում՝ 80-100%: Գործանի քարշային դիմադրության լրիվ բնութագրման համար որոշվում է նրա միջին քառակուսային շեղումը՝

$$\sigma_R = \pm \sqrt{(R - R_i)^2 / (n - 1)} \quad (3.17)$$

$$\text{Դիմադրության } D_R = \sigma_R^2 \text{ և վարիացիայի գործակիցը } V_R = \frac{\sigma_R}{R_{\text{med}}},$$

որտեղ  $\bar{R}$  -դիմադրության միջին արժեքն է,  $R_i$  -չափման i-րդ արժեքը, n -չափումների թիվը:

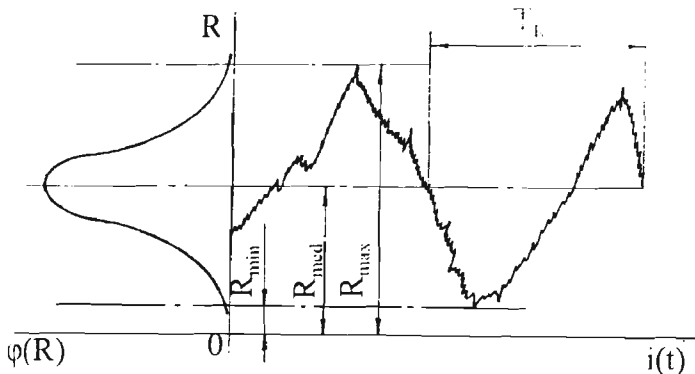
Որոշ դեպքերում դիմադրության փոփոխական բնույթը վերլուծելու նպատակով որոշում են դիմադրության անհավասարության աստիճանը՝  $\delta_R$  և տատանումների հաճախականությունը՝  $n_R$

$$\delta_R = \frac{R_{\max} - R_{\min}}{R_{\text{med}}} \text{ և } n_R = \frac{R_{\max} - R_{\min}}{T_R} \quad (3.19)$$

Դիմադրության քաշիման կորը մոտենում է նորմալ քաշիման օրենքին, որտեղ  $R_{\max} - R_{\min} = 6\sigma_R$ , իսկ  $\sigma_R \approx 6V_R$ :

**Իրանի հաշվարկային բեռնվածությունը,** որն անկատեցն է ապահովիչի հաշվարկի համար, նույնական կարենու պարամետր է: Ընդհանրապես ընդունված է, որ խմբային ապահովիչի միացման

ηիմայրության ոժը  $R_{\text{np}}$  պետք է մեծ լինի: Հարցային դիմայրության ամենամեծ արժեքից, հակառակ բարձր ու գութանը անընդհատ կանցատվի աշխատանքից:



Նկ.3.20 Իրանի քարշային դիմայրության տիպիկ դիմամոդրամ:

Ռնդունքած է, որ  $R_{\text{np}}=2nR_x$ : Այս դեպքում ամբողջ գութանը հանդիպում է  $2nR_x$  դիմայրության, իսկ մնացած իրանները, որոնք չեն հանդիպել քարծր դիմայրության կունենան ( $n-1$ ) $R_x$  քարշային ոժ: Կնշնակի քարի հանդիպած իրանը կենքարկվի  $R_{\text{расч}}=2R_x n - R_x(n-1)=(n+1)R_x$  ճիզի: Այսպիսով, որքան շատ է իրանների թիվը գութանում, այնքան յուրաքանչյուր իրան մեծ ամրություն պետք է ունենա: Սա հանգեցնում է գութանի մետաղատայտյան ավելացման և O.Գ.Գ.-ի փորյացմանը:

### 3.6 Գութանի քարշային դիմայրությունը

Գյուղատնտեսության արտադրության մեջ վարը առավել աշխատատար գրածքներաց է, այդ պատճառով առանձնահատուկ նշանակություն ունի քարշային դիմայրության որոշումը: Գութանի քարշային դիմայրությունը որաշվում է փորձնական ճանապարհով և տեսականութեն:

#### Գութանի դիմայրության սրբունավետ բանաձեռ

Վերլուծելով գութանի աշխատանքը՝ Վ.Պ. Գոյրյաչկինը ցույց տվեց, որ նրա քարշային դիմայրությունը բարկացած է երեք կարգի

դիմայրություններից՝ «մեռյալ» դիմայրություն, որը ծախսվում է շփման ուժերի և գութանի ակոսի հատակով քարչ տալու դիմայրության հալքահարման վրա,  $P_1=f_0 G$ , որտեղ  $f_0$ -գութանի ակոսի բաց հատակով քարչ տալու գործակիցն է  $f_0=0.5f$ ,  $f$ -արտաքին շփման գործակիցը՝ մետաղի և հողի միջև,  $G$ -գութանի կշիռը: Երկրորդ կարգի դիմայրությունը պայմանավորված է առաջ դեֆորմացիայով՝  $P_2=kabn$ , որտեղ՝  $k$ - հողի տեսակարար դիմայրությունն է, ա.ե-առի ընդլայնական մակերեսի չափերը,  $n$ -իրանների թիվը գութանի վրա:

Երրարդ կարգի դիմայրությունը պայմանավորված է առին կիմետրիկ էներգիա հարկութերու հետ: Յուրաքանչյուր միավոր ժամանակում քեզի վրայով շարժվում է անը ծագալի հող կամ անը զանգվածի հատ: Հողի մասնիկների շարժման արագությունը նույնի համեմատական է գութանի արագությանը՝  $v=\epsilon V$ :

Գութանի հաստատուն արագության դեպքում շարժման քանակի օրենքը կգրվի  $P_3 = V \frac{dm}{dt} = Vm$ , որտեղ  $m$ -հողի վայրկյանային զանգվածն է, որը «հոսում է» քեզի վրայով, կնշանակի  $P_3=VabV\gamma=\epsilon gabV^2$ , կամ վերջնականապես՝

$$R_x=f_0G+kabn+\epsilon gabv^2 \quad (3.19)$$

Այս բանաձեռ կոչվում է ուացլունալ մնխանիկայի տեսանկյունից, որտեղ առավել մեծ է երկրորդ անդամը, համեմատաբար փոքք՝ երրարդ անդամը:

Ուացլունալ բանաձեռում հողի տեսակարար դիմայրությունը կարելի է որոշել նախապես չափելով գութանի քարշային դիմայրությունը առանձին  $f_0G$  անդամը՝

$$k = \frac{R_x - f_0G - \epsilon ab\gamma v^2 n}{abn} \quad (3.20)$$

Քանի որ  $f_0$ ,  $k$  և  $\epsilon$  գործակիցների որոշումը պյուկտիկորեն դժվար է, այդ պատճառով ընդունված է գութանի քարշի ոժը որոշել հետևյալ բանաձեռով՝

$$R_x=Kabn \quad (3.21)$$

որտեղ՝  $K$ - գործանի տեսակարար դիմադրությունն է: Գործաններն ըստ վարի կատարման վրա ծախսված էներգիայի համեմատվում են տեսակարար դիմադրությամբ:

$$K = \frac{R_x}{abn} \quad (3.22)$$

Իրոք բազմապատկելով վերջին արտահայտության համարիչը և հայտարարը  $V$ -ով, կստանանք՝

$$K = \frac{R_x V}{abVn} \quad (3.23)$$

որի համարիչն իրենից ներկայացնում է հզորություն, հայտարարը՝ վայրկյանային ծավալ:

Այսպիսով, գործանի տեսակարար դիմադրությունը, միավոր ծավալի հողի մշակության վրա ծախսված հզորությունն է:

Համեմատելով (3.20 և 3.22) արտահայտությունները դժվար չեն գտնել, որ գործանի տեսակարար դիմադրությունը մեծ է հողի տեսակարար դիմադրությունից: Հավասարեցնելով (3.19 և 3.21) արտահայտությունների աջ մասերը և լուծելով  $K$ -ի նկատմամբ՝ կստանանք

$$K = k + \left( \frac{f_0 G}{abn} + \varepsilon \gamma v^2 \right) \quad (3.24)$$

Այսինքն, գործանի տեսակարար դիմավայրությունը ընդգրկում է հողի տեսակարար դիմադրությունը, «մեռյալ» դիմադրությունը և առի կողք շարժման դիմադրությունը:

#### Գործանի օգտակար գործողության գործակիցը

Օ.Գ.Գ. օգտակար դիմադրության հարաբերությունն է ընդիմանություն: Ուացիոնալ բանաձեռնությունը առաջին անդամը ոչ օգտակար, «մեռյալ» դիմադրություն է, այդ պատճառով.

$$\eta = \frac{kabn + \varepsilon \gamma abv^2}{f_0 G + kabn + \varepsilon \gamma abv^2} \quad (3.25)$$

Ուացիոնալ բանաձեռնությունը անդամի օգտակարությունը բացատրվում է նրանով, որ յուրաքանչյուր անգամ նոր շրջվող առը

պետք է շպրտվի հարեւան քաց ակոսը՝ հաղորդելով որոշակի արագություն (էներգիա):

Վերջին ժամանակներս բարձր արագության գործանների ստեղծման կապակցությամբ նախագծայները հանդիպում են որպէս դժվարությունների՝ արագության քառակուսու չափով մեծանում է գործանի քարշային դիմադրությունը: Այլ պատճառով դիմադրության նրանու անդամը հաշվում են վնասակար և Օ.Գ.Գ. որոշում հետևյալ բանաձեռնությունը՝

$$\eta_{\text{ռ.}} = \frac{kabn}{f_0 G + kabn + \varepsilon \gamma abv^2} \quad (3.26)$$

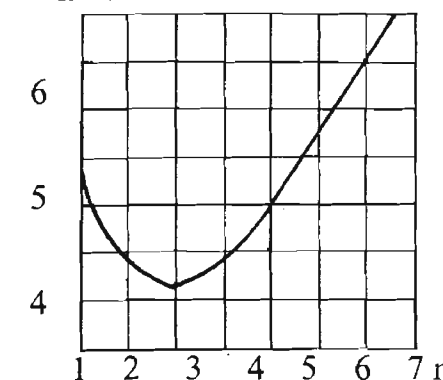
Վերջին բանաձեռնի վերլուծությունը ցույց է տալիս, որ գործանի գանգվածի  $G$  մեծացումը հանգեցնում է Օ.Գ.Գ.-ի փոքրացմանը: Կապ

հաստատենք գործանի մետաղատարության  $q = \frac{G}{bn}$  և դաշտի միջև: Այդ

նպատակով (3.26) արտահայտության համարիչը և հայտարարը բաժանենք գործանի ընդգրկման լայնության ոե-ի վրա

$$\eta = \frac{ka}{\left( \frac{G}{nb} \right) f_0 + ka + \varepsilon \gamma av^2} = \frac{ka}{qf_0 + ka + \varepsilon \gamma av^2} \quad (3.27)$$

$q$ , կն/մ



Նկ.3.21 Գործանի մետաղատարության գ փոփոխությունը կախված իրանների ո թվից:

Մետաղատարության կախվածությունը իրանների քվից գրաֆիկորեն ներկայացվում է նկ.3.21-ում:

Այդ գրաֆիկի վերլուծությունից պարզվում է, որ ամենափոքր մետաղատարություն ունեն երեք իրանները, որոնք և այսահոգում են բարձր Օ.Գ.Գ.: Իրանների մեծացումը կամ վարդացումը երեքից հաճացնում է գորանի Օ.Գ.Գ. -ի փոքրացմանը:

Համաձայն Գ.Ն. Սինեռկովի հետազոտությունների ստացված է  $\eta=0.6\text{-}0.8$  կախովի գորանների համար և  $\eta=0.55\text{-}0.75$  կցովի գորանների համար:

### 3.7 Գորանների հավասարակշռության պայմանները

Գորանների հավասարակշռության պայմանների ուսումնակիրարության ժամանակ ընդունվում է, որ վարի ազրեզատը շարժվում է ուղղագիծ հավասարաշափ, վարի խորությունը նույնական ընդունվում է հաստատում: Բացի վերը նշվածը, մերենայի վրա ազդող ուժերը ներկայացվում են որպես որոշակի կետերում կենտրոնացված և կիրառված ուժեր: Նշված պայմանների առկայության դեպքում հողամշակման մերենաների հավասարակշռության խնդիրի լուծումը հաճացվում է երկու կամ երեք կորույնատային հարթություններում հենարանային հակագրումների որոշմանը, որոնց մեծությունները բավարարում են հավասարակշռության առաջարկված պայմաններին: Տրակտորի հետ ազրեզատավորման տեսակից գորանը կարող է ունենալ 2-4 ազատության աստիճան: Ամենից շատ ազատության աստիճան ունեն կցովի գորանները: Գորանը կայուն աշխատելու նպատակով այն համարում են հենարանային հարմարանքներով՝ հենարանային անխվներով (ուղղաձիգ հարթության մեջ) և դաշտային տախտակներով, հարթ կանգնակներով, դանակներով (հորիզոնական հարթության մեջ): Չանչի որ անխվները և դաշտային տախտակը հույլի հետ ունեն միակողմանի կապ, ուստի համակարգի հավասարակշռության համար անհրաժեշտ է, որ հենարանային հակագրումները մեծ լինեն զրյացից: Նշենք նաև, որ գորանի կայուն աշխատանքի համար անհրաժեշտ է, որ հենարանների քիվը հավասար լինի ազատության աստիճանների քիվին: Ընդհանրապես հենարանների

քիվը զգալիորեն զերազանցում է ազատության աստիճաններին: Այսպես, ենիքրան կախովի գորանը տրակտորի նկատմամբ ունի երկու ազատության աստիճան՝ պտույտը յ ն և առանցքների շարջը, մինչդեռ այն համարված է չորս հենարաններով՝ երեք դաշտային տախտակ հորիզոնական հարթության մեջ և որուա հետ մեկտեղ հենարանային անլիվը ուղղաձիգ հարթության մեջ: Գորանի հավասարակշռության պայմանները որպես են անալիտիկ և գրաֆիկական եղանակներով: Անալիտիկ եղանակի էությունը կայանում է ազդադ ուժերի և մոմենտների վեց հավասարումների կազմման մեջ՝ ազդադ ուժերի գորանը երեք առանցքների ուղղությամբ և այդ ուժերի մոմենտների գորանը նոյնական այդ առանցքների նկատմամբ հավասարեցվում է զյոյի  $-\Sigma x=0$ ,  $\Sigma y=0$ ,  $\Sigma z=0$ ,  $\Sigma M_x(F)=0$ ,  $\Sigma M_y(F)=0$ ,  $\Sigma M_z(F)=0$ :

Դժվար չէ կազմել և լուծել այդ հավասարումները, սակայն այն բավականին աշխատատար է, այդ պատճառով խորված է տրվում օգտել գրաֆիկական եղանակից:

Գրաֆիկական եղանակով հավասարակշռության պայմանները ստանալու համար որոշակի մասշտաբով կառուցվում է մեքենայի կառուցվածքային սխեման երկու պլայնեցիլիաներում: Սխեմայի վրա տեղադրվում են ազդադ ուժերի վեկտորները, ապա կառուցվում ուժային բազմանկյուններ՝ կատարվում է հայտնի ուժերի երկրաչափական գորանը: Ուժերի գորանը կարելի է կատարել ցանկացած հերթականությամբ, սակայն վերջում գորանը են հենարանային հակագրումը և լինմագրության բոլոր ուժերի համագորը, որոնց մեծություններն անհայտ են, ուղղությունները՝ հայտնի: Հավասարակշռության պայմանի համաձայն ուժային բազմանկյուններ պետք է լինի փակ, իսկ համագորը անցնի համակարգի պտտման ակնթարթային կենտրոնով, եթե մերենան կախովի է, և կցման կետով, եթե այն կցովի է:

**Կախովի գորանի հավասարակշռությունը:** Կախովի գորանը տրակտորին միանում է կախովի եռակետ մեխանիզմով և ունի ազատության երկու աստիճան՝ պտույտ ուղղաձիգ- երկայնական հարթության XΟΖ մեջ (հորիզոնական առանցքի շարջը ) և պտույտ հորիզոնական հարթության XΟΥ մեջ (ուղղաձիգ առանցքի շարջը): Ենթով նշվածից՝ դիտարկվող համակարգի հավասարակշռությունը

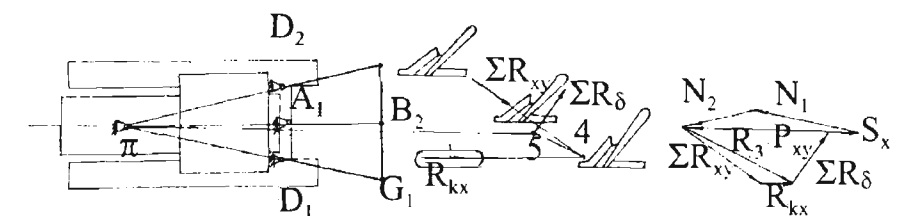
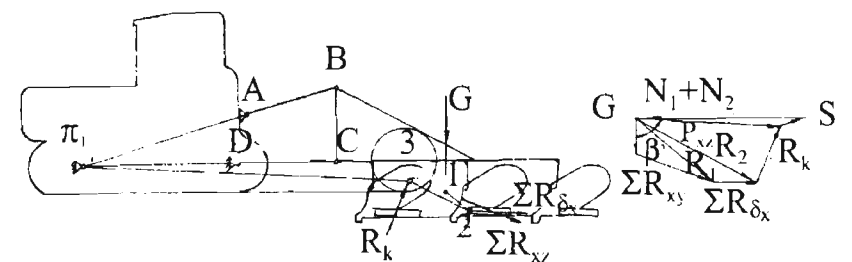
հետագութեանը երկու խալքաթյան մեջ: Ուղղածիզ-երկայնական հարթության մեջ (նկ. 3.22) գութանի վյա ազդում են հետևյալ ուժերով՝ ծանրության ուժը  $G$ , իրանների վրա ազդու հողի հակագուման ուժը  $R_{xz}$ , շփման ուժը դաշտային տախտակի և ակտսապատի մլչն  $R_{\delta_x}$ , հենարանային անխվի հակագումը  $R_k$  և քարշի ուժը  $P_{xy}$ : Գութանի ծանրության ուժը վերցվում է տեխնիկական բնութագրից և հաշվարկվում. եթե այն նախագծվում է լստ տեսակալար զանգվածի  $G=qabn$ , ուժութեղ՝  $q=2.2-3n/m^2$ , ա. բ առի լնովայնական հատվածը է, իսկ ո- լրանների քիվ:

Իրանի գումարային հակագումը  $R_{xz}$  հաշվարկվում է լստ քարշի ուժի մեծության  $R_x$ : Ընդուներով, որ բոլոր իրանների վրա ազդու հակագումները  $R'_{xz}$  հավասար են, որոշվում է  $R_{xz}=nR'_{xz}$  և այն կիրառվում միջին իրանի վրա: Շփման ուժը  $R_{\delta x}=fR_{xz}$ , պրտեղ  $R_y = \frac{1}{3} R_x$ ,  $f = 0.5$  կամ  $R_{\delta x}=1/6R_x$  Ընդուներով, որ բոլոր դաշտային տախտակներն ունեն նույն երկարությունները, որոշվում է շփման ուժերի համագույքը  $R_{\delta x}=n R_{\delta x}$ : Հենարանային անխվի հակագուման ուժի ուղղությունը որոշվում է լստ գլորման գրիծակցի՝  $\mu=1g\delta$  համաձայն նոմոգրամի (նկ. 5.9) կամ նոտավորապես լնությունը է  $\mu=0.1$  պինդ և  $\mu=0.2$  փուխիր հողերի համար, որի համաձայն  $\delta=9^\circ$  և  $12^\circ$ :

Վերը նշված ուժերի կիրառվում են իրանի վրա՝ հետևյալ կերպ, ծանրության ուժը գութանի ծանրության կենտրոնում, հենարանային անխվի հակագումը  $R_k$ -ն անխվի գետնի հետ հպման կետում և ուղածիգից շեղված ծ անկյան տակ, իրանի հակագումը  $R_{xz}$ -ը հորիզոնի նկատմամբ ψ անկյան տակ շեղված, ակտսի հատակից  $a/2$  հեռավորության վրա և շփման համագույքը  $R_{\delta x}$  միջին լրանի դաշտային տախտակի միջնակետում:

Գութանի սխեմայից առանձին կառուցվում է ուժային բազմանկյունը: Այլ նպատակով ոլոչակի մասշտաբով գութարվում են  $G$  և  $R_{xz}$  ուժերը, որոշվում է լրանց համագույքը  $R_{xy}$  և գութանի սխեմայի վրա  $G$  և  $R_{xz}$  ուժերի շալտնակալության հատման 1 կետից տարվում է  $R_{\delta x}$

ին գուգակեր ուղիղ մինչև 2 կետում  $R_{\delta x}$  ուժի շարունակության հետ հատվելու:



Նկ. 3.22 Կախովի գութանի հենարանային հակագումների գրաֆիկական եղանակով որոշման սխեմա:

Այնուհետև շարունակելով կառուցման աշխատանքները ուժային բազմանկյան վրա՝  $R_i$  ուժին գումարվում է  $R_{\delta x}$  և ստացվում  $R_2$  ամը: Գութանի սխեմայի վրա 2 կետից տարվում է  $R_{\delta x}$ -ին գուգակեր ուղիղ մինչև  $R_k$  ին հատվելը: Ստացված 3 կետը  $G$ ,  $R_{xz}$ ,  $R_{\delta x}$  և  $R_k$  ուժերի գումարի համագույքի կիրառման կետն է: Այլ համագույք հավասարակշռվում է քարշի ուժի  $R_{xz}$ -ի հետ, որն անցնում է 3 կետով և գութանի պտտման ակնթարթային կենտրոնով  $\pi_i$  (նկ. 3.22): Գութանի բարշի ուժը  $R_x$  ուղղության որոշումից հետո ուժային բազմանկյան վրա որոշվում է նրա մեծությունը: Այլ նպատակով  $R_2$  ուժի ծայրից տարվում է  $R_{\delta x}$ -ին գուգակերը: Վերջինների հատման կետը տալիս է երկու հատվածներ, որանցից մեկը  $R_k$ -ն է մյուսը՝ քարշի ուժը՝  $P_{xy}$ :  $P_{xy}$  ուժը բաղադրյելով երկու բաղադրյինների՝ գուգակեր ԱՅ և ԱՅ ուղղություններին՝ գագաթություններին, ստանում ենք  $S$  վերին և  $N_1+N_2$  ներքին ձգաձողերի ճյուղի մեծությունները որոշակի մասշտաբով:

Ստացված ուժային բազմանկյան վերլուծությունը բույլ է տալիս անելու որոշ եզրահանգումներ: Ինչպես երևում է նկ. 3.22-ից  $R_k$  և  $P_{xy}$

ոժերի մեծոթյունները կախված են Յ անկյան մեծոթյունից՝ կազմված գորքանի քարշի ուժի  $P_{xy}$ -ի և ուղածից առանցքի միջև։ Մեծացնելով Յ անկյունը՝ մեծանում է նաև  $R_k$  հակագրումը։ Գորքանի քարշի ուժի մեծոթյունը կինդի ամենափոքրի, եթե նա ուղղահայաց է  $R_k$  հակագմանը։ Մյուս կողմից Յ անկյան մեծոթյունը կախված է  $P_y$ , ուժի ուղղությունից, իսկ վերջինս՝ գորքանի պտտման ակնբարթային կենտրոնի  $\pi_1$ -ի ովրեքից։ Ակնբարթային կենտրոնի դիրքը դիտարկվուի հարթության մեջ կախված է  $AB$  և  $BC$  ձգածուների և հենարանային անիվի դիրքերից։ Մեծացնելով  $BC$  օդակի երկարությունը, իշեցնելով  $A$  կետի դիրքը և հետ տանելով հենարանային անիվը՝ մեքենային է մոտենում  $\pi_1$  կետը և համապատասխանորեն փոքրանում են Յ անկյունը և  $R_k$  հակագրումը։  $P_x$ , ուժի և Յ անկյան մեծոթյուններից է կախված տրակտորի տանող անլվների վլա ազդող հակագրման ուղղածից բաղադրիչի մեծոթյունը։

Գորքանը, անիվավոր տրակտորի հետ ազինգատավորելիս, մեծացնելով  $P_{xy}$  ուժը և փոքրացնելով Յ անկյունը, լիարենվում են տրակտորի հետին անիվները և թերթեռնիկում՝ առջինը։ Բեռնվածության նման վերաբաշխումը նպատակահարմաք է, եթե փարզ կատարվում է խոնավ և փխրուն հողերում, որի դեպքում անհրաժեշտ է փոքրացնել մեքենայի հենարանային անիվը անվահետքի խորությունը և տրակտորի տանող անլվների տեղապտոյելը։

Կախոցի  $A$  և  $B$  կետերի ուղղածից ուղղությամբ տեղաշարժի վլա է իմանված տանող անլվների մեխանիկական լիարեննման գործողության սկզբունքը։ Տրակտորի տանող անլվների լիարեննումը սահուն լրագործելու համար օգտագործվում է ն ինդիվիդուական լիարեննիչներ։

**Հորիզոնական հարթության** մեջ գորքանի վրա ազդում են՝ լորի հակագրումը  $R_{xy}$  լրաների վրա, հենարանային անլվի հակագրումը  $R_{kx}$ , դաշտային տախտակի հակագրումը  $R_\delta$  գորքանի քարշի ուժը  $P_{xy}$ ։

Առաջադրված խնդիրի լուծման շարտանակության նպատակով նշված ուժերը կիրառվում են գորքանի հորիզոնական պլոյեկ-

ցիայի սխեմայի վրա։ Իրանների վրա ազդող հակագրումների  $R_{xy}$  գործարք կիրառվում է միջևն իրանի վրա խոփի կտրուղ եզրի միջնակետում շարժման ուղղության նկատմամբ η անկյան տակ (լստ 3.13 բանաձևի),  $R_{kx}$  ուժը դրվում է  $R_k$  ուժի հարիզոնական պլոյեկցիայի շափով՝  $R_{kx} = R_k \sin \delta$  իսկ դաշտային տախտակների հակագրումների համագորք՝  $\Sigma R_\delta$  կիրառվում է միջին դաշտային տախտակի միջնակետում նորմալից շեղված Փ անկյան տակ։

Ուժային բազմանկյան կառուցումը սկսվում է  $R_{xy}$  և  $R_{kx}$  ուժերի գործարից՝ ստանալով  $R_z$  համագորք։ Գորքանի սխեմայի վրա շարունակվում են այդ երկու ուժերը և հատման 4 կետից տարվում է  $R_{z\perp}$  ին գորգակի ուղիղ մինչև  $R_\delta$ - շարունակության հետ հատվելը և ապա ստացված 5 կետը միացվում է պտտման ակնբարթային կենտրոնի հորիզոնական պլոյեկցիայի հետ ( $\pi_2$ ) ստանալով միայն քարշի ուժի  $P_{xy}$  ուղղությունը։  $R_\delta$  և  $P_{xy}$  ուժերի մեծոթյուն ներք ստանալու համար ուժային բազմանկյան վրա  $R_z$  ուժի ծայրից տարվում է  $R_\delta$ -ին գորգակի ուղիղ, իսկ  $R_z$  սկզբից՝ գորգակի ուժը  $P_{xy\perp}$ -ին (գորքանի սխեմայից)։ Այդ երկու ուժերի հատման կետում սահմանափակվում են  $R_\delta$  և  $P_{xy}$  ուժերի մեծոթյունները։ Այսուհետև ուժայի բազմանկյան վրա  $P_{xy}$  ուժը բաղադրելով  $AB, C_1, D_1, C_2, D_2$ , ուղիղների ուղղությամբ՝ կստանանք  $S_1, N_1, N_2$ , ճիգերի մեծոթյունները կախոցի ծգածողերի վրա։

Նշված կառուցումները կատարելոց հետո անհրաժեշտ է, որ  $P_{xy}$  և  $P_{xy\perp}$  քարշի ուժի բաղադրիչների պլոյեկցիաները  $X$  առանցքի վրա լինեն միմյանց հավասար, հակառակ դեպքում պետք է փոփոխել  $R_\delta$  հակագրման մեծոթյունը, մինչև որ պայմանը բավարարվի։

Փոքր հզորությամբ անիվավոր տրակտորի հետ կախովի գորքանը ազրեգատավորելիս՝ պետք է հաշվի առնել, որ տրակտորի աջ անլվները շարժվում են ակոսով։ Այս դեպքում հաշվի է առնվում տրակտորի կախոցի թերվածությունը, որի հետևանքով ներքեւ ծգածողերը ուղղածից երկայնական հարթության վրա պլոյեկտվում են առանձին ուղղություններով։ Վերջին հանգամանքը հաշվի է առնվում ուժային բազմանկյան կառուցման ժամանակ նույնպես։ Այդ դեպքում

խնդիրը լուծվում է նաև հետագություն համակարգի երրորդ պայմանակցիայի համար:

**Կիսակախովի գուրանի հավասարակշռությունը:** Ի տարբերություն կախովի գուրանի, կիսակախովին ունի երկու անլիք հենարանային և հետին: Այս խնդիրը լուծման ժամանակ ի տարբերություն նախորդի  $R_k$  ուժի  $R_{kx}$  փոխարեն պետք է կիրառել

$$\overline{R}_k^0 = \overline{R}_{kx} + \overline{R}_{3x} \text{ համագործ, որը ստացվում է } R_k \text{ և } R_3 \text{ գուգահեռ ուժերի գումարից: Ընդունվում է նաև, որ } R_k \text{ և } R_3 \text{ հակազդումները հավասար են միմյանց և որ նրանք գուրանի վրա տեղադրված են նույն երկայնական առանցքի վրա, գուգահեռ } X \text{ առանցքին:}$$

**Կցովի գուրանի հավասարակշռությունը:** Կցովի գարանը գետմին հենվում է երեք անիվներով, այլ պատճառով նրա հավասարակշռությունը դիտարկվում է միայն հորիզոնական հարթության մեջ (նկ 3.23):

Նախորդ խնդիրի համանման մասշտաբով կառուցվում է գուրանի հորիզոնական պայմանակցիան և վրան տեղադրվում ազդող ուժերը՝ իրաների վրա ազդող հողի հակագումների համագործը  $R_{xy}$  և հենարանային անիվների հակազդումների համագործը  $R_{kx}$ : Մնում է ոլոչելու քարշի ուժի հորիզոնական բաղադրիչը  $P_{xy}$  և դաշտային տախտակների վրա ազդող հակագումների համագործը  $R_\delta$ : Նշենք, որ  $R_{xy}$  և  $R_{kx}$  ուժերի մեծությունները և ազդման կետերը որոշվում են նախորդ խնդրին համանման, ընդ որում  $R_{kx} = R_{xx} + R_{\delta x} + R_{3x}$ , որտեղ  $R_{xx}$ -ի դաշտային անլիքի հակագուման հորիզոնական բաղադրիչն է,  $R_{\delta x}$ -ի կուսային անիվի հակագուման  $X$  բաղադրիչը և  $R_{3x}$ -ի հետին անիվի հակագուման  $X$  բաղադրիչը:  $R_\delta$  համագործը շեղված է նորմալից շվման անլյան Փ շափով:

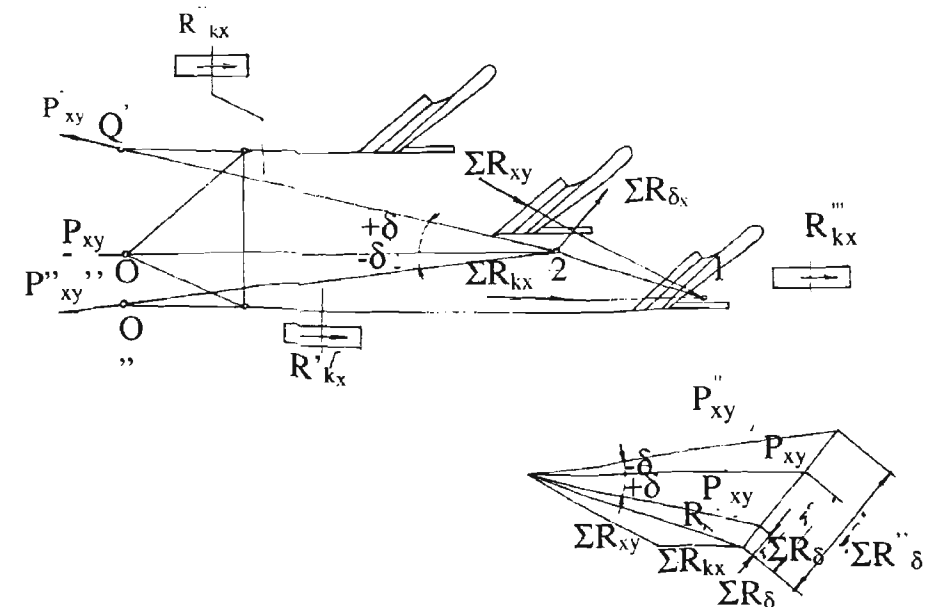
Խնդրի լուծումը սկսվում է ուժային բազմանկյան կառուցումից: Գումարվում են  $R_{xy}$  և  $R_{kx}$  ուժերը ստացվում է

$$\overline{R} = \overline{R}_{xy} + \overline{R}_{kx} \text{ համագործ:}$$

Գուրանի սխեմայի վրա  $R_{xy}$  և  $R_{kx}$  ուժերը շարունակելով ստացվում է հատման 1 կետը: Այդ կետից տարբիւմ է գուգահեռ  $R$

համագործին մինչև 2 կետում  $R_\delta$  համագործի շարունակության հետ հատվելը: Այդ կետը կոչվում է գուրանի դիմադրության կենտրոն, որը միացնելով կցուրդման 0 կետի հետ ստանում ենք քարշի  $P_{xy}$  ուժի ուժությունը: Քարշի ուժի  $P_{xy}$  և հակագումների  $R_\delta$  համագործի մեծությունների ստացման համար անհրաժեշտ է ուժային բազմանկյան մեջ  $R$  համագործի վերջից տանել գուգահեռ  $R_\delta$  ուժին, իսկ սկզբից՝  $P_{xy}$ -ին: Ստացված կետի դիրքով կրույզեն պահելի ուժերի մեծությունները: Կցովի գուրանի աշխատանքի ժամանակ շատ հաճախ տեղափոխվում է կցուրդման 0 կետը՝ դեպի աջ կամ ձախ: Դիտարկենք այդ կետի դիրքի ագլեցությունը՝ քարշի ուժի մեծության փոփոխության վրա:

Քարշի ուժը ուղղելով 0 կետից աջ 2-0' գծով ուժային բազմանկյան վրա ստացվում են  $R_\delta'$  և  $P'_{xy}$  ուժերի նոր արժեքներ՝  $P'_{xy} < P_{xy}$  և  $R_\delta' < R_\delta$ , այսինքն ի հաշլով դաշտային տախտակի վրա ազդող համագործի հակագուման փոքրացման, փոքրացակ նաև գուրանի քարշի ուժը:



Նկ. 3.23 Կցովի գուրանի հավասարակշռությունը հորիզոնական հարթության մեջ կցման կետի տարրեր դիրքերում:

Քարշի ուժն ուղղելով որոշակի և անկյան տակ (նկ. 3.23) կարելի հասնել  $R_d=0$  պայմանին, որի սակայն նպատակահարմար չէ, քանի որ այդ դեպքում գործանը շարժվում է անկայուն՝ օճածն ինտազծով։ Դիտարկելով ուժային բազմանկյունը՝ դժվար չէ նկատել, որ քարշի ուժը կունենա ամենափոքր արժեք, եթե նրա ուղղությունը լինի ուղղահայաց  $R_d$  հակագդմանը։

Քարշի ուժի ուղղությունը շեղված է  $X$  առանցքից շփման անկյան Փ չափով դեպի աջ ( $\delta=\phi$ )։ Քարշի ուժը 2 կետից ուղղելով դեպի ձախ 2-0° ուղղությամբ, դժվար չէ նկատել, որ ուժային բազմանկյան մեջ կածեն  $R_d$  և  $R_{xy}$

Ուժերի արժեքները ուստի կցման կետը 0 կետից ձախ տեղափոխելով էներգետիկական տեսակետից արյունավետ չէ։  $P_{xy}$  և  $R_d$  ուժերի մեծության վրա զգալի ազդեցություն ունի դիմադրության կենտրոնի 2 կետի դիրքը։ Դիմադրության կենտրոնը կարելի է տեղափոխել ձախ երկու եղանակով  $P_{xz}$  համազորը ձախ՝ դեպի շվարված դաշտ տեղաշարժելով և դաշտային տախտակների երկարացումով։ Առաջին եղանակը քիչ արդյունավետ է և այլակտիվութեն դժվար իրագրծելի։ Երկրորդ եղանակի իրագործումը դժվարացնում չի ներկայացնում՝ երկարացնելով միայն իրանի դաշտային տախտակը 2 կետը տեղաշարժելով դեպի ձախ։

**Կցովի գործանի հավասարակշռությունը ուղղաձիգ հարթության մեջ որոշակի ինտարցիալարմարուն է ներկայացնում, եթե ծանրության  $G$  ուժը (նկ. 3.24) անհամեմատ փոքր է  $G \leq Psin\delta$ ։ Նման դեպքում գործանը ըստ վարի խորության աշխատում է կայուն, եթե քարշի ուժի  $P$  ուղղությունը ( $\delta$ ) անցնում է գործանի ծանրության կենտրոնի ինտրով։**

Մեծ զանգվածի դեպքում  $G > Psin\delta$ , եթե գործանի քարշի ուժը շանցնի ծանրության կենտրոնի ինտրով, չի խախտվի նրա աշխատանքի կայունությունը։ Որոշենք քարշի ուժի ուղղության տատանման այն սահմանները ծանրության կենտրոնից ինտ և առաջ, որոնց դեպքում գործանը դեռևս աշխատում է կայուն։ Ընթանառ, որ գործանի քարշի ուժի ուղղությունն անցնում է ծանրության կենտրոնի ինտրով ինտ  $X$  ինտարկվության վրա։ Դիտարկվող համակարգի համար

անհրաժեշտ է, որ բոլոր արտաքին ագրու ուժերի գումարը կազմի փակ քազմանկյունի, որի նշանակում է նաև, որ  $P$  և  $G$  ուժերի գումարը անցնի սեպի Ա կետով։ Հավասարակշռության համար անհրաժեշտ է, որ  $N$  և  $R_{harm}$  գունդերը գտնվեն I-II և AB սահմաններում։

Համաձայն նկ. 3.24-ի կայտ

$$\text{ենք գրել՝ } X = \frac{OO_1}{\operatorname{tg}\delta}, \text{ որտեղ } OO_1 = l_1 \operatorname{tg}\xi, \text{ մյուս կողմից՝}$$

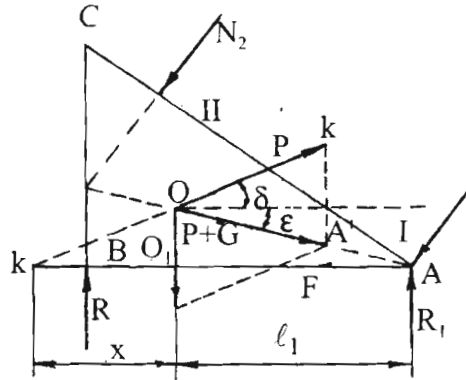
$$\operatorname{tg}\xi = \frac{G - P \sin \delta}{P \cos \delta} \quad \text{որեմն} \quad X = l_1 \frac{G - P \sin \delta}{P \sin \delta} \quad (3.28)$$

Կցովի գործանների տարրեր մակնիշների համար միջին հաշվով քարշի ուժի ուղղությունը՝  $\delta=12^\circ$ ։ Անհրաժեշտ է նշել, որ  $\delta$  անկյան նման արժեքը չի ապահովում քարշի ուժի նվազագույն մեծությունը։ Դրանում համոզվելու համար ոյլմենք նկ. 2.24-ին, ըստ որի  $G$  գանգվածով մարմինը շարժելու համար անհրաժեշտ է  $f(G-Psin\delta) \leq Pcos\delta$ ։

Կատարելով այս անհավասարության մասնակի դիֆերենցամ կունենանք.

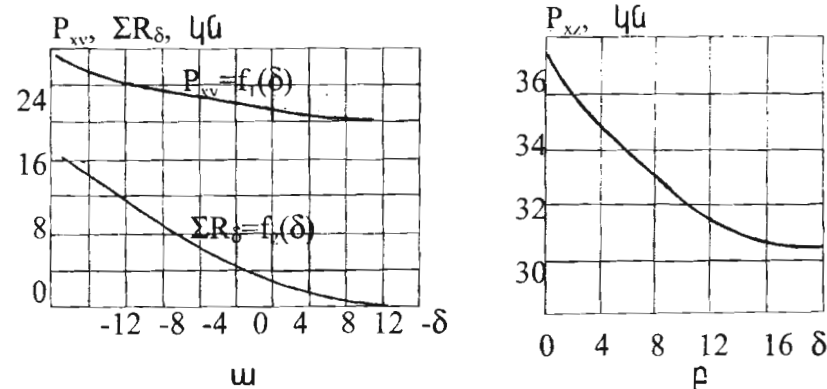
$$f Pcos\delta \leq P sin\delta \\ \text{կամ } f g \leq tg\delta \quad \phi \leq \delta \quad (3.29)$$

Շփման անկյան միջին արժեքը մոտ  $26^\circ$  է։ Դա կմշնակի, որ  $\delta=12^\circ$  քարշի ուժի օպտիմալ ուղղությունը չէ, այլ պետք է ձգտել  $\delta \rightarrow 26^\circ$  պայմանին։



Նկ. 3.24 Գուբանի հավասարակշռության որոշման սխեմա:

Կցովի գուբանի քարշի ուժի կախվածությունը կցման կետի դիրքից ( $\pm\delta$ ) հորիզոնական ( $P_{xy}$ ,  $R_\delta$ )= $f_1(\delta)$  և ուղղաձիգ հարթությունների  $P_{xz}=f_2(\delta)$  մեջ գրաֆիկորեն ներկայացված է նկ.3.25-ում:



Նկ.3.25 Գուբանի քարշի ուժի  $P_{xy}$ ,  $P_{xz}$  և դաշտային տախտակի

հակագրման  $R_\delta$  կախվածությունը կցրդիչի դիրքից՝

ա- հորիզոնական հարթության մեջ ( $k=0.5$  կգու/սմ<sup>2</sup>,  $a=25$ սմ,  $n=4$ )

բ- ուղղաձիգ-ներկայական հարթության մեջ ( $k=0.7$  կգու/սմ<sup>2</sup>,  $a=24$ սմ,  $n=5$ )

Գուբանի կցովիչը տեղակայելով, համաձայն վերը բերված տվյալների (նկ.3.24), կարելի է գգալուրեն փոքրացնել կցովի գուբանի քարշային դիմայրարյունը:

Անիրամեշտ է նշել, որ ոչ բոլոր դեպքերում է հաջողվում կարգավորել քարշի ուժի ուղղությունը, հատկապես գուբանի ընդգրկման լայնության և տրակտորի ընթացքային մասի անհամապատասխանության դեպքում: Լավագույնը համարվում է այն դեպքը, երբ բրուրափոր տրակտորի հետ ագրեգատափորելիս՝ գուբանի կցովիչի երկայնական ծգածողը գուգահեռ է ակոսապատճին, միացած է տրակտորի ճարմանդի կենտրոնին և բրուրի ակոսուսպատճից հեռացած է առնվազն վարի խորության չափով: Անիվագոր (1,4) դասի տրակտորի հետ ագրեգատափորելիս, երբ վերջինիս աչ անլիները շարժվում են ակոսով, ցանկալի է, որ գուբանի կցովիչը երկայնական ծգածողը նույնպես լինի գուգահեռ ակոսապատճին և կցված տրակտորի ճարմանդի կենտրոնին:

### 3.8 Գուբանի վարի խորության կարգավորման մեխանիզմի գրաֆունալիտիկ հաշվարկը

Ժամանակակից գուբանները կախոցի մեխանիզմներավ բազմածխնի համակարգեր են և նրանց օղակների ուժային հաշվարկի համար նպատակահայմար է օգտվել արագությունների պլանի կառուցման մեթոդից:

Կախովի, կիսակախովի և կցվող գուբաններից առավել բարդ ու բնդիհանուր է կցվող գուբանի բանող գործնթացի կարգավորման մեխանիզմը: Այդ պատճառով, որպես հաշվարկային մոդելի ընդիհանուր սխեմ, վերցնում ենք կցվող գուբանի վարի կարգավորման մեխանիզմը (նկ.3.26):

Նշված մեխանիզմի գրաֆունալիտիկ հաշվարկի հորյունը կայանում է նրանում, որ հենարանային անիվների վրա ծանրաթյան ուժի հակագրումների հայտնի արժեքներով որաշվում է վարի խորության կարգավորման պտուտակային մեխանիզմի աշխատանքի համար անիրամեշտ ուժը:

Գուբանի սխեման կառուցվում է իրանների (ա) խորությամբ բանվորական գործնթացի դեպքի համար:

Այնուհետև որոշվում են ինսարանային անիվների հակագլումների մեծությունները  $R_n$ ,  $R_d$  և  $R_3$  և լնտրվում արագությանների քենությունը: Որպես քենու լնտրվում է մեխանիզմի անշարժ կետերից որևէ մեկը 2,7,11, կամ 13: Ընտրենք 7 կետը: Արագությունների պլանը կառուցվում է ժողովական մեթոդով, բայտ որի ցանկացած կետի արագության ուղղությունը պտտվում է 900°-ի տակ և հաշված քենուից տեղակայվում է շափու որոշակի մասշտաբով:

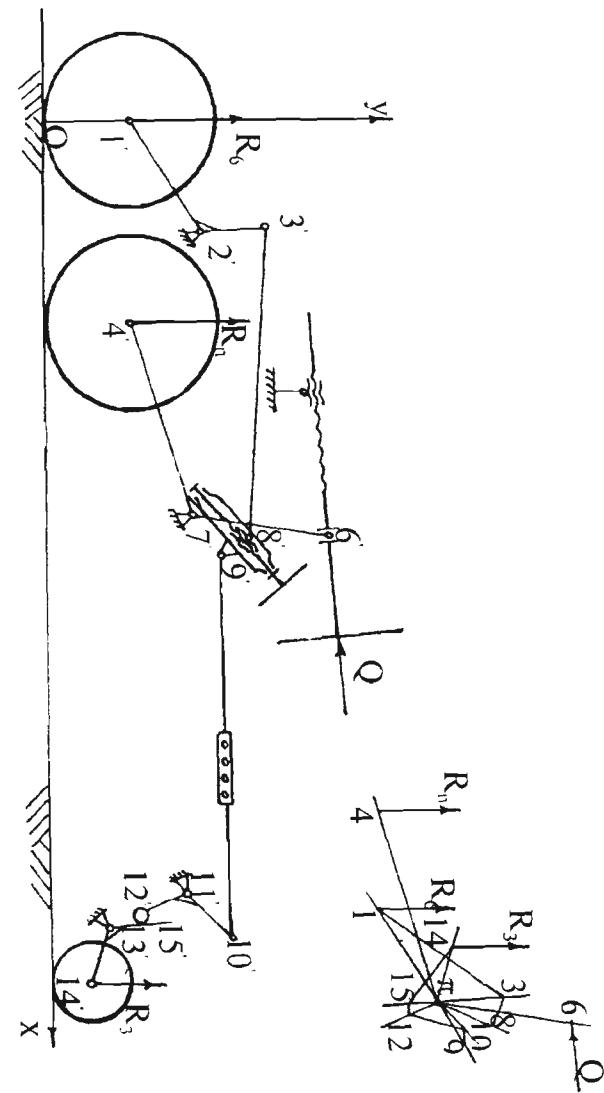
Քանի որ  $4'$ ,  $9'$ ,  $8'$ , և  $6'$  կետերն անմիջապես մլացած են քենոյն, ուստի նրանց մեծությունները կլինեն անկյունային արագությունը՝ արագմապատկած իր շառավիղով՝  $\omega(7\cdot4)$ ,  $\omega(7\cdot9)$  և  $\omega(8\cdot6)$ , իսկ լրական ուղղությունները աղղահայաց կլինեն շառավիղներին։ Ընդունելով գծագրի մասշտաբը, որ քենոյից տարիում են գործակեններ հավասար նշված կետերի շառավիղներին  $7\cdot4=\pi\cdot4$ ,  $7\cdot9=\pi\cdot9$ ,  $7\cdot8=\pi\cdot8$ ,  $6\cdot7=\pi\cdot6$ :

Համաձայն շարադրվածի Յ՝ կետի արագության ուղղությունը պլանի վրա կլինի իրեն զոգահեռ, իսկ մեծությանը զտնելու համար տարվում է զուգահեռ 8-3', ճողի արագությանը 900 շրջված ուղղությամբ 8-3, և ստանում Յ՝ կետի արագությունը  $\pi$ -3 շափով: Նույն կարգով որոշվում են 1՝ կետի արագությունը, որպես հարաբերական արագության ուղղություն ընտրելով 3-1 օդակր:

Նման ձևով ոլորշվում են 10°, 12°, 14° կետերի արագությունների ուղղությունները և մեծությունները, բացառությամբ 15° կետի: Այդ կետի արագության որոշման համար ու կետից տարրվում է զուգահեռ 13°-15°-ին և տանում ուղղահայաց 12 կետից, բանի որ 15° կետի հարաբերական արագությունը զուգահեռ է 13°-15° օդակին:

Արագույքան պլանի կառուցումից հետո 1,4, և 14 կետերում տեղադրվում են համապատասխան անլիվների հակազդումները, իսկ 6 կետում Q հավասարակշռող ուժի միայն ուրբությունը, մեծարյունը դեռևս անհայտ է:

Q ուժի մեծության որոշման նպատակով կազմվում է մոմենտ համակարգի վրա ազդող ոժերից պ ըստով նկատմամբ:



Նկ.3.26 Գուրանի վարի խորության կարգավորման մեխանիզմի գրաֆունախտիկ հաշվարկի սխեմա:

$$QH_Q = R_n H_n + R_\delta H_\delta + R_3 H_3 \quad \text{կամ}$$

$$Q = \frac{R_n H_n + R_\delta H_\delta + R_3 H_3}{H_Q}$$

Պտուտականիվի  $P$  ուժի որոշման համար կազմենք աշխատանքների հավասարությունը

$P\pi D = (Q, \eta r \sin \theta) t - \text{պտուտակի բերված քայլի } t,$

$$t = \pi d_{\text{պի}} \operatorname{tg}(\alpha + \varphi), \quad d_{\text{պի}} = (d_1 + d_2)/2,$$

$d_1, d_2$  - պտուտակի ներքին և արտաքին տրամագծերը,

$\alpha$  - պտուտակի վերելքի անկյունը,

$\varphi$  - պտուտակի և պնդողակի շփման անկյունը,

$D$  - պտուտականիվի տրամագիծը:

Եթե մեխանիզմում պտուտականիվի փոխարեն տեղադրված է իլյուսոն, ապա իլյուսոնի մխոցակորի ուժը որոշվում է  $Q$  մեծությամբ:

### 3.9 Գութանի բանող օրգանների և անիվների տեղակայումը շրջանակի վրա

Գութանի բանող օրգանների տեղակայման ժամանակ պետք է նախ հաշվի առնիվի իրանների վրա ազդող հողի հակագրությունների համագորի ուղղությունը և հողում առաջացած ճաքերի բնույթը, ինչպես նաև ազրտեխնիկական և տեխնոլոգիական պահանջները: Բանող օրգանները շրջանակի վրա տեղակայման նպատակով հորիզոնական պլոյեկցիայում նշագծվում են իրանների թվից մեկով ավելի  $n+1$  ակոսները՝ տանելով իրարից առի լայնության շափով և հեռացած  $n+2$  գուգահեռ զծեր (նկ.3.27): Տեղադրելով առաջին իրանը,  $A$ , կետից տարվում է խոփի կտրող եզրի գիծը շարժման ուղղության նկատմամբ  $\gamma$  անկյան տակ, այն շափով, որպեսզի ապահովի հարևան խոփերով որոշակի վերածածկի մեծություն  $\Delta b$ : Ընդունելով, որ իրանները հողի հակագրությունները պետք է ընդունեն նույն մասով,  $A$ , կետից նորմալից շփման անկյան  $\varphi$  շափով՝ շեղված ուղղությամբ տարվում է

հակագրությունը և շարտունակվում մինչև բոլոր ակոսապատճերի հետ հատվելը: Հատման  $A_v$  կետելում տարվում են հաջորդ իրանների խոփերի կտրող եզրերը բնութագրող գծերը:

Այսուհետև գութանի ակոսային անիվը տեղակայվում է նախող բնրացքի վերջին ակոսում, առջևի իրանի խոփի նորմալի ուղղությամբ: Դաշտային անիվը տեղակայվում է դաշտի շվարված մասում, այնպես. որ այդ երկու անիվների սովորական հնարավորին շափ մոտ գտնվեն: Կցվող գութանի հետին անիվը տեղակայվում է վերջին ակոսում, ինչպես ցույց է տրված նկ. 3.27-ում:

Իրանների նման ձևով տեղակայման ժամանակ դժվար չէ որոշել գութանի շարժման ուղղությամբ նրանց միջև նեռափոխությունը՝  $L = b \operatorname{tg}(\gamma_0 + \varphi)$ : Ըստ վերջին արտահայտության  $b = 30$ սմ ընդգրկման իրանների համար, եթե  $\gamma_0 = 40^\circ$ ,  $\varphi = 26^\circ$ , կստանանք  $L = 67$ սմ, համապատասխանութեն  $b = 35$ սմ արժեքի համար ստանում ենք  $L = 78$ սմ: Իրանների հեռափոխության նման եղանակով որոշման պայմանը անհրաժեշտ, բայց բավարար չէ:

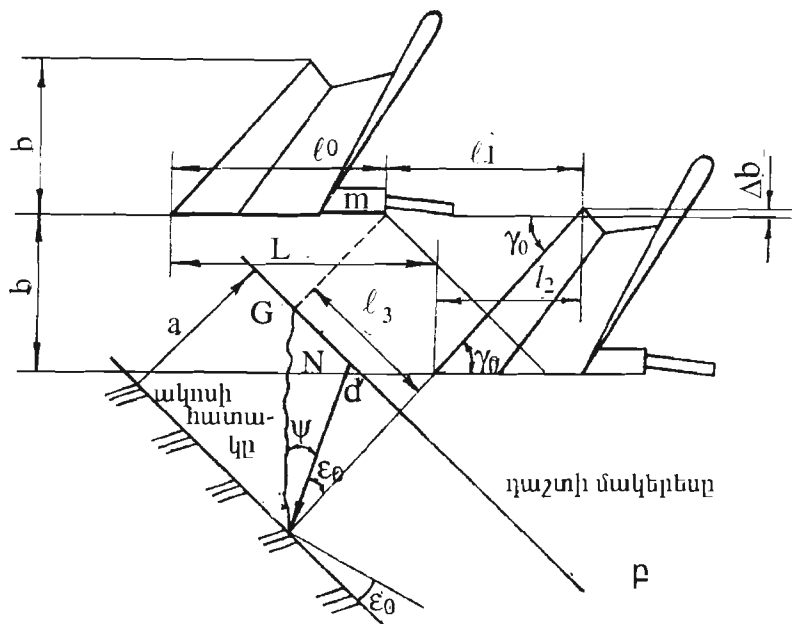
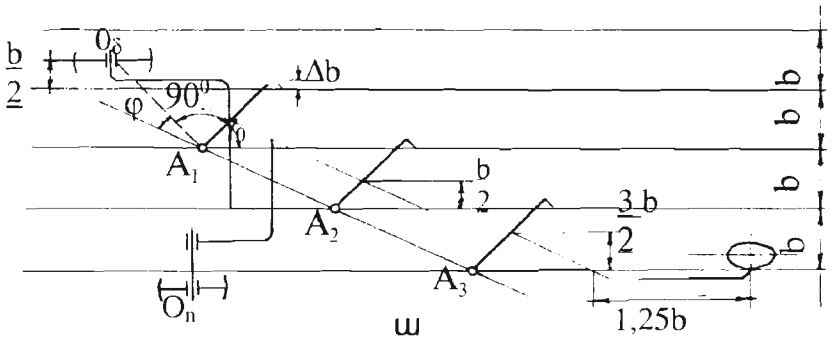
Այդ խնդիրը պետք է ստացվի այն պայմանից, որպեսզի առջևի իրանը չխանգարի հետեւի առի կազմավորման և շրջման գործընթացներին: Դիտարկենք այդ պայմանները: Գ. Ն. Սինենկովը գտնում է, որ իրանների հեռափոխությունը իրարից պետք է լինի այնքան, որ առջևի իրանի դաշտային տախտակը չխանգարի հետին առի դեֆորմացիային և շրջմանը:

Մյուս կողմից Վ. Պ. Գուրյաչկինը ընդունելով, որ խոփի և իրանի կրծքի վրա առի ցույց տված ճնշումը ավելի մեծ է, քան թևի վրա, իսկ խոփի վրա առավել շափով, առաջարկում է հետևյալ պայմանը:

Խոփի վրա ազդող հողի հակագրությունը շեղված նորմալից և կյորառված կտրող եզրի միջնակետում, հանդիպելով դաշտային տախտակին (պարտավոր), նպաստում է գութանի կայունությանը:

Հիմք ընդունելով վերջին պայմանը՝ որոշենք դաշտային տախտակի երկարությունը

$$l_0 = \frac{l}{2} \frac{b \cos \varphi}{\sin \gamma_0 \cos(\gamma_0 + \varphi)} \quad (3.30)$$



Նկ. 3.27 Գուբանի իրանների տեղակայումը շրջանակի վրա (ա) և իրանների միջև հեռավորության որոշումը (բ) :

Շարունակելով ուսումնասիրությունները՝ Գ.Ն. Սլյանելովը գտնում է, որ գուբանին ուղղագիծ շարժում հաղորդելու համար անհրաժեշտ է, որ դաշտային տախտակի ճնշումը ակոսապատին, քավարարի  $P \leq 0.5$  կգ ու/սմ<sup>2</sup> պայմանին: Ընդունելով, որ դաշտային տախտակի բարձրությունը  $h \leq 2/3a$  ստացվում է  $Pl_0 \leq R_x = 0.35R_x$ , կամ

$$l_0 \geq \frac{0.35R_x}{0.5 \cdot \frac{2}{3}a} \approx \frac{R_x}{a}$$

$$\frac{1}{2} \frac{b \cos \varphi}{\sin \gamma_0 \cos(\gamma_0 + \varphi)} \geq \frac{R_x}{a} \quad (3.31)$$

Հիմք բնդրունելով ստացված ալտահայտությունների՝ իրանների հեռավորությունը որոշենք առի դեֆորմացիայի չխանգարման տեսակետից: Համաձայն նկ.3.27 կարող ենք գրել՝  $L=l_0+l_1-l_2$ : Ընդունելով, որ հետևի իրանի կողմից Խոյի ճարը CO տողված է ψանկյան տակ. Կարող ենք գրել՝

$$l_1 = \frac{l_3}{\sin \gamma_0}, \quad l_3 = \operatorname{atg}(\varepsilon_0 + \psi), \quad \text{կամ} \quad l_1 = \frac{\operatorname{atg}(\varepsilon_0 + \psi_0)}{\sin \gamma_0}, \quad \text{մյուս կողմից}$$

$$l_2 = b \operatorname{ctg} \gamma_0 \quad \text{կնշանակի}$$

$$L = \frac{b \cos \varphi}{2 \sin \gamma_0 \cos(\gamma_0 + \varphi)} + \frac{\operatorname{atg}(\varepsilon_0 + \psi)}{\sin \gamma_0} - b \operatorname{ctg} \gamma_0 \quad (3.32)$$

Ընդունելով  $b=35$ սմ,  $\varphi=26^\circ$ ,  $\gamma_0=40^\circ$ ,  $a=25$ սմ,  $\varepsilon_0=30^\circ$ , կստանանք  $L=70$ սմ, որը միանգամայն համապատասխանում է իրանների հեռավորության իրական արժեքներին:

### 3.10 Իրանի աշխատանքի որակը

Հողի մշակության որակի գնահատման կրիտերիան կախված է քնակլիմայական պայմաններից, իսկ ֆլոգիկա-տեխնոլոգիական հատկանիշներից և նախատեսվածությունից: Այսպես, էռոգիայի կանխարգելման համար լանջերի վարը պետք է լինի աստիճանական, քամու էռոգիայի վտանգի դեպքում պետք է պահպանվի խոզանի 75-90%-ը, հնավար ևողերի մշակության ժամանակ պետք է ապահովել առի փիսրեցման բարձր աստիճանը, կապակցված ևողերի դեպքում առի լինվ շրջումը:

Հողի ֆլոգիկա-տեխնոլոգիական հատկանիշների փոփոխականընույթի հետևանքուվ հնարավոր չէ կատարել խելալական

մշակություն, այդ պատճառով առաջարկում են ազրտիույթուքներ. լսու որի մշակության խոլության տատանումները չպետք է լինեն մեծ  $\pm 2$ սմ. բուսական մնացողները պետք է լրիվ քաղվեն. 10սմ-ից մեծ կոշտերը չպետք է գերազանցեն 20%-ից. բմբերի բարձրությունը և ակոսների խորությունը չպետք է անցնի 7սմ-ից:

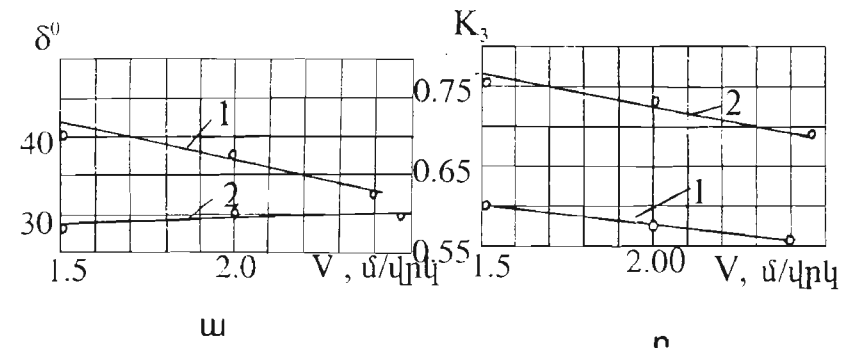
Տարբեր տիպի իրաների և խողատիպերի փոխազդեցության իրական պատկերը լուսաբանելու նպատակով կատարված են ոլոշակի ազրտումիական հետազոտություններ, որոնց արդյունքները բերված են նկ. 3.28-3.31:

Տարբեր իրաներով բազմամյա խոտադաշտի վարի արոյունքները ցոյց են տալիս, որ առի լավագույն շրջում և բուսական մնացողների լիամեր բարում կատարում են պտուտակային բանվորական մակերևույթները (նկ.3.28ա)

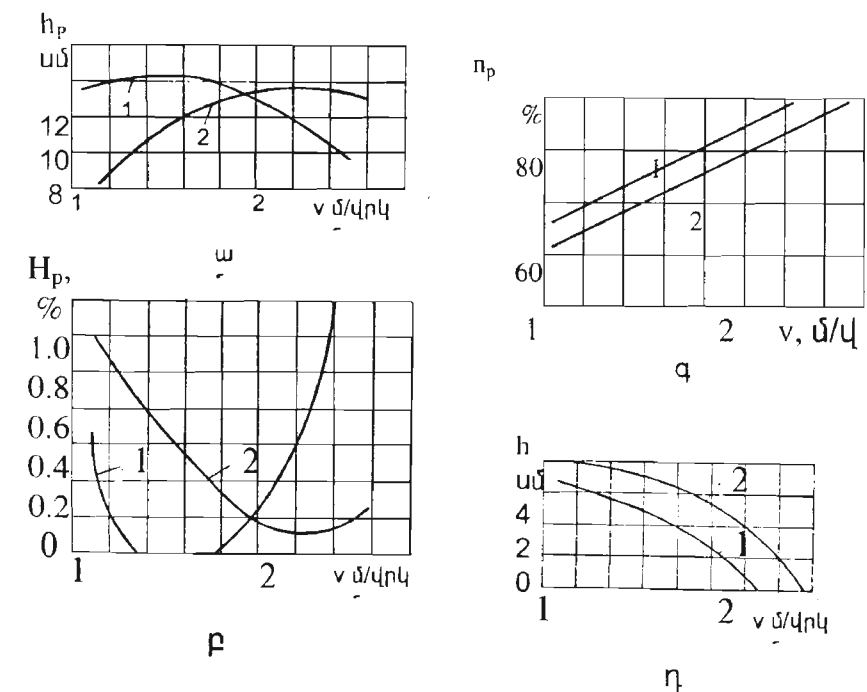
Ընդ որում արագության 1.5-2.5մ/վ սահմաններում ապահովում են առի բերության կայուն անկյուն, մինչդեռ զլանակերպ իրաներն առի շրջումը որոշ չափով լավացնում են արագության մեծացման հետ: Ընդ որում զլանակերպ իրաների աշխատանքի որակի նման լավացումը հարաբերական է, քանի որ առի թոյլ ճնշության դեպքում ( $4.5q/\eta\text{m}^3$ ), ներքնի մարուր շերտերի բարձր արագության տակ փշրվում են և լցում ճիմուտված մասի վրա ու բարցնում շրջման թերությունները:

Բուսական մնացողների բարձրացն որակը (թաղման խորության հարաբերությունը վարի խորությանը) երկու տիպի իրաներով վարի ժամանակ արագությունից կախված ընկնում է, սակայն քոլոր ուժիմների դեպքում պտուտակային թերթը ապահովում են համեմատաբար բարձր որակ (նկ.3.28):

Հողի մշակության որակի վրա էական ազդեցություն ունեն նոյն իրանի պարամետրերի փոփոխությունը (նկ.3.29): Այսպես, կուլտուրական տիպի իրանը 1.4-1.8 մ/վ արագության սահմաններում բուսական մնացողների բարում է ավելի լավ. քան արագ վարի իրանները ԿСՌ-35, որոնց մոտ փիստեցման անկյունը  $\alpha=25^\circ$  (կուլտուրականի մոտ  $30^\circ$ ) և համապատասխանությունը  $\gamma_0=38^\circ$  և  $42^\circ$ : Արագության հետազա մեծացումը 2-2.5մ/վ սահմաններում հաճգեցնում է արագ վարի իրանով բուսական մնացողների բարձրացն որակի լավացմանը (նկ.3.29ա,թ):



Նկ. 3.28 Առի բերության անկյան  $\delta$  (ա) և բուսական մնացորդների հողով ծածկման գործակցի  $K_3$  (թ) փոփոխությունը վարի արագությունից կախված՝ 1-գլանակերպ իրան, 2-պտուտակային իրան (բազմամյա խոտադաշտ):

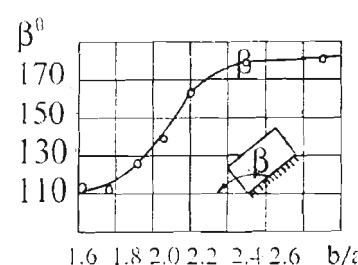


Նկ. 3.29 Վարի արագության ազդեցությունը բուսական մնացորդների ծածկման խորության  $h_p$  (ա), ջնածկված բուսական մնացորդների բանակի  $H_p$  (թ), հողի փիստեցման  $n_p$  (զ) և բմբերի բարձրության  $h_t$  (դ) վրա (1-սովորական իրան, 2-արագ վարի իրան):

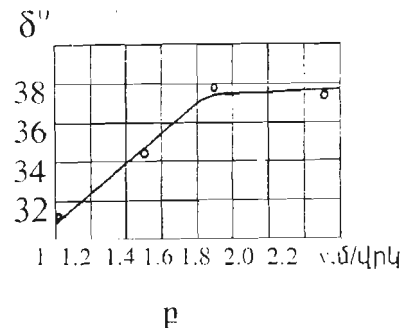
Արագության մեծացումը մինչև 2.5մ/վ լավացնում է առի փիզիկաման որսելը (նկ.3.29գ) և միաժամանակ փոքրացնում է նորկի խորոշությունը (նկ.3.29դ):

Գլանակերպ իրաններով ճշնուա Խոյի վարի որակը ստացվում է անբավարար: Այլ կարգի հողերը վարվում են միայն պոտոտակային իրաններով, առո չի կտրատվում և ստանում է անընդհատ ժավավենի տևոք: Կապակցված ճշնուա Խոյերի վարի ժամանակ պահանջվում է առի լիարժեք շրջում, որը բնորոշվում է իրանի բնդրկման լայնության և

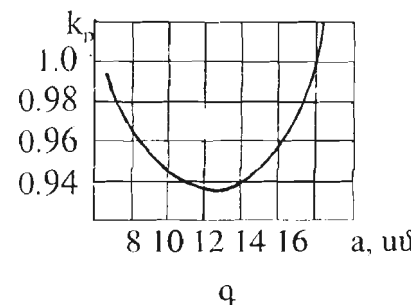
$$\frac{b}{a} = k = \frac{1}{\sin \delta}$$



ա



բ



գ

Նկ. 3.30 Պոտոտակային իրանի աշխատանքի ցուցանիշները կապակցված հողի վարի ժամանակ՝ առի շրջման անկյան  $\beta$  կախվածությունը  $b/a$  հարաբերությունից, բ - առի թերության անկյան  $\delta$  կախվածությունը վարի արագությունից  $v$ , գ - առի փիզիկաման գործակցի  $k_p$  կախվածությունը վարի խորությունից  $a$ :

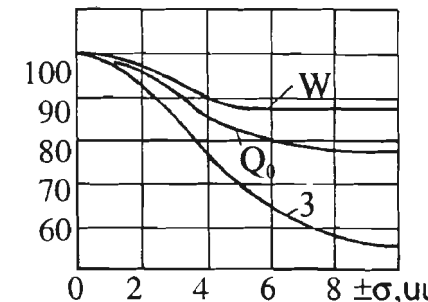
Որքան մեծ է  $b/a$  հարաբերությունը, այնքան լավ է շրջվում առո (նկ. 3.30 ա) և  $k > 2.3$  այժեքի դեպքում, առո լրիվ շրջվում է:

Արագության ազլեցությունը առի շրջման ծ անկյան վրա պտուտակային իրանով վարի դեպքում անշան է և  $v \geq 1.8m/v$ -ից հետո  $\delta = \text{const}$ , որու քոյլ է տալիս երաշխավորել այդ իրաներն օգտագործել արագության փոփոխման լայն սահմաններում (նկ. 3.30ը):

Կապակցված հողերի վարի դեպքում, ինչպես արդեն նշվեց, առը չպետք է կտրատվի, սա նշանակում է, որ առի փիզիկաման աստիճանը գնահատել մեզ արդեն հայտնի մեթոդով (մինչև 50 մմ մասմիկմերի գանգվածի հարաբերությունը ընդհանուր գանգվածին) չի կայելի:

Նման դեպքում հողի փիզիկամը գնահատվում է ըստ փիզիկաման գործակցի (նախնական խորության հարաբերությունը վարից հետո գանգվածի խտորդյունը): Վարի խորությունից կախված՝ առի փիզիկաման գործակցը վոփոխվում է գոգավոր կորու (նկ. 3.30զ): Այդ կորի վերլուծությունը ցոյց է տալիս, որ առի փորձ հաստության դեպքում, որը հարուստ է ճնային մնացորդներով, չի ենթարկվում խորության փոփոխության՝  $k_p = 1$ : Առի հաստության մեծացումը համեմենում է վարից հետո նրա խորության մեծացմանը, որը բացատրվում է նրանով, որ հողի խոստ ճիմուտ շերտին միանում է նվազ ճիմուտությամբ գանգվածը և խտացնում այն: Առի հաստության հետագա մեծացումը բերում է խորության փոքրացմանը՝ քոյլ ճիմուտ շերտին միանում է մարուր հալը և մեծացնում փիզիկաման գործակցիցը:

$W_0, Q_0, Z_n \%$



Նկ. 3.31 հողի խոնավության  $W_0$ , ցանքերի աղբոտածության  $Z_n$  և ցորենի բերքատվության  $Q_0$  կախվածությունը վարի խորության միջին բառակուտային շեղումից (առաջադրված համեմատությամբ):

գյուղատնտեսական կոլտուրաների քերքատվառքունը որոշակիութեն կախված է վարի խորության կայունությունից՝ այն պետք է լինի հաստատուն։ Վարի խորության տատանումները հանգեցնում են հողի խոնավության փոքրացմանը, ցանքերի աղբուժվածության մեծացմանը և քերքատվառքանը իջեցմանը (նկ. 3.31):

#### 4. Հողի մակերեսային մշակության մեքենաները

Հողի մակերեսային մշակության մեքենաները նախատեսված են կատարելու փխրեցման, խտացման և մոլախոտերի քաղանման գործընթացները։ Հողի մակերեսային մշակության մեքենաները դասակարգվում են բատ հետևյալ խմբերի՝ կուտիվատորներ (համատարած և միջարային մշակության), ցաքաններ (աստմնավոր և սկավառակավոր), սկավառակավոր երեսվարիչներ, հողուրազներ, (համատարած և միջարային մշակության) և գլանվակներ։

Բանող օրգանները ներագրաւմ են հողի վրա ինչպես սեպեր, որոնց Յ և γ անկյունները չեն վովովիսվում, այսինքն հողը չեն շրջում։ Որոշ օրգանների մոտ, ինչպիսին է փփառեցնող օրգանը, որոշակիութեն աճում է α անկյունը. սկսած  $\alpha=30^\circ$  -ից մինչև  $\alpha=90^\circ$ ։ Դանակների, խոփերի և սլաքածն բաքիլների ներագրաւմը հողի վրա դիտվում է որպես սայրով կտրման գործընթաց։ Առանձին-առանձին վիտարկենք փփառեցման և կտրման գործընթացները։

##### 4.1. Հողի դեֆորմացիայի գոտին և թարիկների տեղակայումը շրջանակի վրա

Դեֆորմատորի ագլեցության տակ հողում առաջանում են սահըի հարթություններ, որոնք բատ էնթրյան մեկը մյուսի շարունակությունն են։ Հետագուառության հեշտացման նպատակով այդ հարթությունները դիտվում են առանձին լույսայնական տրուածիզ և երկայնական տրուածիզ պլոյեկցիաներում (նկ. 4.1):

Ինչպես արդեն նշվեց սեպերի տեսության բաժնում հողի հարաբերական շարժման առկայության դեպքում տրուածիզ երկայնական հարթության մեջ ճաքի տրուածիզ բնորաշվում է

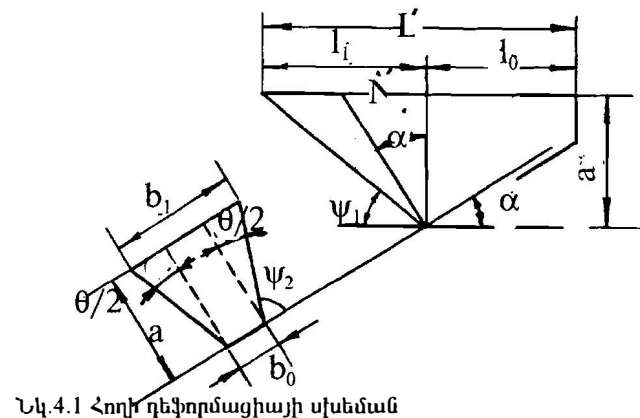
$$\Psi_1 = 90^\circ - \frac{\alpha + \varphi + \varphi'}{2} \text{ անկյան մեջությամբ:}$$

Հարաբերական շարժման բացակայության դեպքում ճաքը առաջանում է  $\Psi_1 = 45^\circ - \frac{\varphi'}{2}$  անկյան տակ։

Ընդլայնական -ուղղաձիգ հարթության մեջ հողի կողային ճաքերն ուղղված են  $\theta/2$  անկյան տակ (նկ.4.1): Ընդ որում  $\theta$  անկյան մեծությունը մոտավորապես հավասար է հողի ներքին շվաման անկյանը՝  $\theta=\phi=40-50^\circ$ . Անհրաժեշտ է նշել, որ կողայի անկյան  $\theta$  մեծությունը, որոշակվութեն կախված է նաև շարժման արագությունից՝  $V$ , բարիկի լայնությունից՝  $b_0$  և մշակության խորությունից՝  $a$ , և արտահայտվում է հետևյալ էմպիրիկ բանաձևով՝

$$\Psi_2 = 0.4b_0^{0.4} V + 20a^{0.35} \quad (4.1)$$

Հաշվի առնելով հողի դեֆորմացիայի գույնը մեծությունը  $I_1$  և  $b_1$ , ինչպես նաև ճաքերի ուղղությունները՝  $\psi_1, \psi_2$ , դժվար չէ կատարել կուլտիվատորի բանող օրգանների տեղակայումը շրջանակի վրա (նկ.4.1)



Նկ.4.1 Հողի դեֆորմացիայի սխեման

Երկայնական ուղղությամբ բարիկները տեղակայ վում են մեկու մյուսից այնպիսի հեռավորության վրա, որ առջևից գնացողը շխանգարի հետևի բարիկով հողի դեֆորմացիոն գործընթացին և չքոնվեն կոշտերով: Համաձայն նկ. 4.1-ի կարող ենք գրել՝

$$L \geq I_0 + I_1 = I_0 + a \operatorname{ctg} \psi_1 \quad (4.2)$$

Հարեան բարիկները կոշտերով չքոնվելու տեսակետից ընդլայնական ուղղությամբ նրանց հեռավորությունը պետք է բավարարի հետևյալ պայմանին՝

$$b_1 = b_0 + 2a \operatorname{ctg} \psi_2 \quad (4.3)$$

Քանի որ այս դեպքում ստացվում են չմշակված բմբիկների  $h=a$  բարձրությամբ, ուստի բարիկները տեղակայվում են երկու շարքով, որի դեպքում  $h=a/2$  և երեք շարքով  $h=a/3$ : Տեղակայվու բարիկների շարքերի թիվը որոշվում է բմբիկների քույլատերելի բարձրությամբ՝  $h \leq 3-4$ սմ: Ալարածն և միակողմանի բարիկները տեղակայվում են այնպես, որ նրանց հետքում ստացվի որոշակի վերածածկի շերտը մեծություն՝  $c=4-5$ սմ:

## 4.2 Սայրով կտրման գործընթացի տեխնոլոգիական հիմունքները

Սայրով կտրման գործընթացը լնկած է կտրող ապարատների (բարիկ, դանակ, սեզմենտ և այլն) աշխատանքի հիմքում և նրա ձևից է կախված կտրման մաքրությունը և այդ գործընթացի վրա ծախսված էներգիան:

**Սայրի բնորոշումը:** Կտրող բանող օրգանը՝ դանակը, բաղկացած է սայրից, երեսակից և հիմքից: Դանակի սայրը որպան էլ սուր լինի (սուր անկյան և տակ, նկ. 4.2) առաջին մի քանի կտրումից (լող, մոլախտուի արմատ) հետո սկզբից ծովում, ապա կոտրիվում է, և որոշ ժամանակից հետո ստանում է շրջանային գլանի տեսք: Ուստի սայրը դառնում է որոշակի հաստության, որը  $V.U.$  Ժելիգովսկու բնորոշմամբ դանակի այն մասն է, որը առանց սահրի տրորում է նյութը և քայլայում: Երեսակը դանակի այն մասն է, որը իրանց հեռացնում է նյութի կտրած մասերը և սահում նրանց նկատմամբ: Փաստորեն սայրի և երեսակի հպման կետում ունենք կտրման գործընթացի անկայուն հափասարակողության վիճակ: Ըստ նկ.4.2-ի հպման են ձ կետերում նյութի շարժումը սկսվելու համար անհրաժեշտ է, որ ուղղաձիգ առանցքով և երեսակով և կազմած անկյունը՝  $i/2 \leq 90-\phi$ , այսինքն  $dfe$  աղեղով լնդգրիկված անկյունը  $2\xi=2\phi$ : Շրջանագծի ծավալը լար իրենից ներկայացնում է դանակի սայրը, որը որոշվում է հետևյալ բանաձևով՝

$$/\delta=2r/ \quad \delta=2r \sin \phi \quad - ? \quad (4.4)$$

որտեղ՝  $r$ -սայրի մակերեսույթի կորության շառավիղն է:

Կախված կտրող մակերեսույթի ֆիզիկա- տեխնոլոգիական հատկություններից, սայրի հաստությունից և դանակի սրման անկյունից և

Կտրման գործընթացի գերակշռությունը մասը կարող է լին կատարել սայրի կամ երեսակները: Վերջին դեպքում նյութի ճաքը սկսվում է մինչև սայրի հանդիպելը, երեսակների ազդեցության տակ:

**Սայրով կտրման ռեժիմները:** Նյութի ֆրիկցիան հատկությունների, ինչպես նաև դանակի շարժման ուղղություններից կախված ( $\xi=0$ ,  $0 \leq \xi \leq \phi$ ,  $\xi > \phi$ ) տարրելում են կտրման ելեք ռեժիմները՝ (նկ.4.3):

1. Կտրում հատումով, եթե նորմալ ուժի և դանակի արագության ուղղությունները համընկնում են: ( $\hat{N}, \hat{V} = \xi = 0$ ,

2. Կտրում առանց սահքի, երկայնական ուղղությամբ դանակի տեղաշարժումով  $0 \leq \xi \leq \phi$

3. Կտրում սահքով  $\xi > \phi$ :

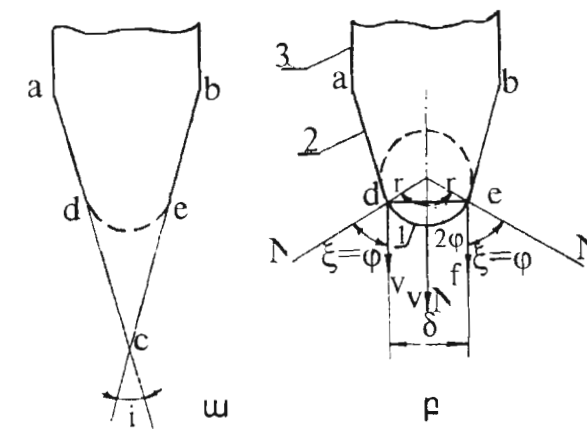
Հատումով կտրման գործընթացը տեղի է ունենալու հոդի մշակության բանով օրգանների աշխատանքի ժամանակ և ունի սակամանափակ կլիպառություն, մասնավորապես՝ բուրգերների, տնկահան և այլ մեքենաների մոտ, որոնք իրենց կտրում դանակով ներագրում են նոյնի մասնիկի ովայա մինչև վերջինիս փշրվելը: Կտրումը դանակի երկայնական տեղաշարժով լսար հորթյան չի տարբերվում հատման սկզբունքից: Այս դեպքում դանակը շարժվում է փոփածքի անկյան տակ, որը  $\gamma \geq 90^\circ - \phi$  կամ  $\gamma = 90^\circ - \xi > 90^\circ - \phi$ , որտեղից էլ  $\xi < \phi$ :

Չնայած նրան, որ  $N$  ուժի մի քաղաքիչը  $N_T$  աշխատում է մասնիկին սահեցնել կտրու եզրով, սակայն  $N_T = F$  պայմանով շփման ուժը ֆիրում է մասնիկը կտրու եզրին:

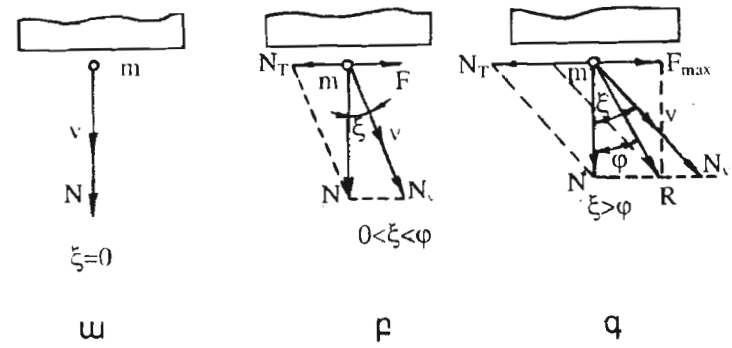
Մասնիկը ջարդվում է  $N_V$  ուժի ազդեցության տակ:

Կտրումը սահքով բնութագրվում է  $\gamma < 90^\circ - \phi$  պայմանով: Քանի որ  $\xi = 90^\circ - \gamma$  ուստի  $\gamma = 90^\circ - \xi < 90^\circ - \phi$  և  $\xi > \phi$ : Ինչպես երևում է նկ.4.3  $N$  ուժի քաղաքիչը մեծ է  $F_{max}$  շփման ուժից, որի հետևանքով մասնիկը ( $m$ ) սահում է սայրի երկարությամբ  $N_T - F_{max}$  ուժով: Հողային մասնիկն իր քացարձակ տեղափոխությունը կատարում է

$$\bar{N}_T - \bar{F}_{max} + \bar{N}_V = \bar{N} + \bar{F}_{max} = \bar{R} \quad \text{ուժի սուլլությամբ} \quad \text{և նրա} \\ \text{ազդեցության տակ անցնելով որշակի ճանապարհ՝ փշրվում է:}$$



Նկ. 4.2. Դանակի էլեմենտների հիմնավորման սխեմա՝ ա-սուր սայրով դանակ, բ-քանվորական սայրով դանակ 1-սայր, 2-երեսակ, 3-հիմք):



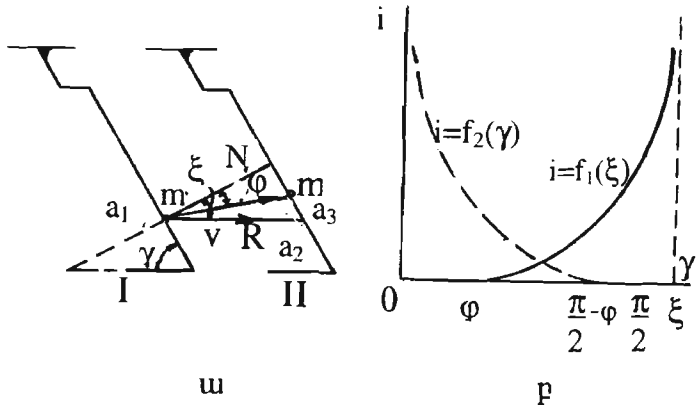
Նկ. 4.3 Սայրով կտրման ռեժիմները՝ ա- հատումով կտրում, բ- կտրում դանակի երկարության տեղաշարժով, առանց սահքի, գ- կտրում սահքով:

**Սահքի գործակիցը:** Նյութական մասնիկը դանակի կտրու եզրով տեղափոխման ժամանակ կատարում է տեղափոխական և

հարաբերական շարժում: Ընդունված է հարաբերական տեղափոխության հարաբերությունը մասնիկի բացարձակ տեղափոխությանը անվանել սակայն գործակից՝ և: Անդրադառնալով նկ. 4.4-ին՝ դժվար չէ նկատել, որ Խողային մասնիկը (m), հանդիպելով սայրին a, կետում և I դիրքից տեղափոխվելով II դիրքը  $\bar{R} = \bar{N} + \bar{T}$  ուժի ազլեցության տակ կատարում է  $a_1 a_3$  բացարձակ և  $a_2 a_3$  հարաբերական տեղափոխություններ: Կաշանակի համաձայն ընդունված պայմանի կարող ենք գրել  $i = \frac{a_2 a_3}{a_1 a_3} = \frac{\sin(\xi - \phi)}{\cos \xi}$ :

$\xi$  անկյունն արտահայտելով փոփածքի  $\gamma$  անկյունով, կստանանք  $\xi = 90^\circ - \gamma$  և

$$i = \frac{\cos(\gamma + \phi)}{\sin \gamma} \quad (4.5)$$



Նկ. 4.4 Սահրդական սխեմա

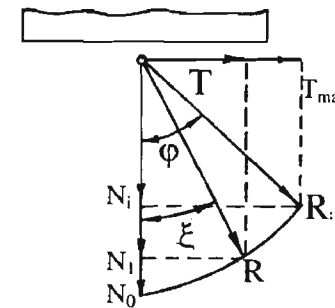
ա- սակայն գործակցի որոշման սխեմա, բ- սակայն գործակցի փոփոխման բնույթը կախված  $\xi$  և  $\gamma = 90^\circ - \xi$  անկյուններից:

Ստացված բանաձևի (4.5) և համապատասխան գրաֆիկի տվյալների վերլուծությունը ցույց է տալիս, որ եթե  $\gamma = 0$ ,  $i \rightarrow \infty$ , իսկ  $\gamma = 90^\circ - \phi$  արժեքի դեպքում  $i = 0$ , այսինքն դադարում է մասնիկը սայրի եզրով սակայն գործլներացը: Նշանակում է կտրումը սակայն ապահովելու

համար սայրավ և շարժման ուղղությամբ կազմած անկյունը պետք է լինել  $\gamma < 90^\circ - \phi$  պայմանից:

#### Կտրման դիմադրության ուժերը

Սայրավ կտրման ուժիմների բացահայտումը թույլ է տալիս վերլուծելու կտրման ուժերի փոփոխման օրինաշափությունները և գործընթացի էւսկան կողմերը:  $\xi = 0$  ուժիմի դեպքում նյութի կտրման գործընթացը իրականացնելու համար անհրաժեշտ է, որպեսզի  $N_0$  նորմալ ճնշումը նյութի մեջ ստեղծվի այնպիսի լարում, որը նախասար լինի կամ գերազանցի նրա ամրության սահմանին: Ենշանես երևում է նկ. 4.5-ից, առաջին ուժիմի դեպքում  $R = N_0$ ,  $T = 0$ : Փոփոխելով կտրում սայրի շարժման ուղղությունը  $0 < \xi < \phi$  սականանելում փոփոխվում է նաև նյութի կտրման դիմադրությունը  $\bar{R}_1 = \bar{N}_1 + \bar{T}_1$ : Մեծացնելով  $\xi$  անկյունը լեռվի Փ-մ փոքրանաւմ է կտրման համար անհրաժեշտ N նորմալի մեծությունը և համապատասխանորեն մեծանում է շոշափող T ուժի մեծությունը: Սայրի շարժման  $\xi = \phi$  ուղղության դիրքում շոշափող ուժը



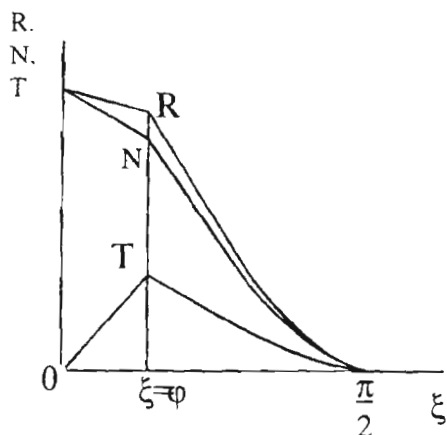
Նկ. 4.5  $R$ ,  $N$ ,  $T$  ուժերի փոփոխությունը  $\xi$  անկյունից կտրման

$|T|$  հասնում է իր ամենամեծ արժեքին:  $T_{max} = F_{max} = N_0 \operatorname{tg} \phi$ :

$\xi \geq \phi$  արժեքների դեպքում կտրման  $R$  ուժը այլևս չի փոփոխվում ոչ մեծությամբ, ոչ ուղղությամբ:

$\xi > \varphi$  բուրքը արժեքների դեպքում  $R$  շեղվում է նորմալից շվման փառված տակ:

Փոփոխելով դանակի ուղղությունը  $\varphi \leq \xi \leq 90^\circ$  սահմաններում փոքրանում է նորմալ ճնշման ոժը  $N$ , և  $\xi = 90^\circ$  դպրում  $N=0$ : Այդ փոփոխությունը գրաֆիկորեն ներկայացված է նկ.4.6 -ում:



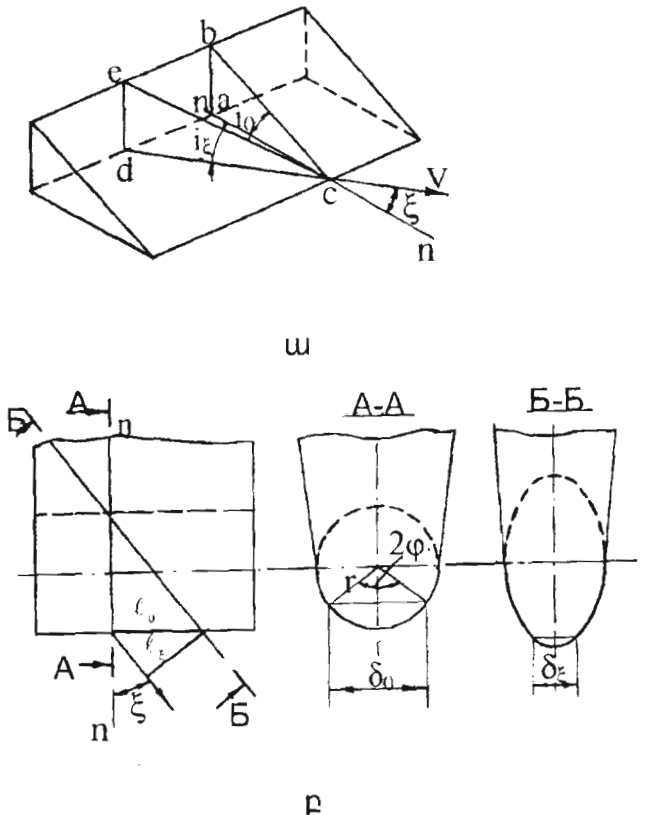
Նկ.4.6  $R$ ,  $N$ ,  $T$  ուժերի և  $\xi$  անկյան գրաֆիկների կազմը

Ըստափող ուժը՝  $T$ , նույնական գնայով փոքրանում է, քանի որ նա ուղղվ լամեմատական է:  $N$ -ին՝  $T_{max} = Ntg\varphi$ : Գրաֆիկում  $T$ -ի կորը գտնվում է  $N=f_i(\xi)$ -ից ներքև, քանի որ  $tg\varphi < 1$ : Կտրման դիմադրության ուժի՝  $R = \sqrt{N^2 + T^2}$  կորը գտնվում է  $N=f_i(\xi)$  կորից վերև: Նյութի կտրման դիմադրության նման կարգի փոքրացումը  $V.$  Պ. Գորյաչկինը բացատրում է դանակի սրման անկյան կինեմատիկական տրանժիրմացիայով:

Այսպես, համաձայն նկ. 4.7-ի կարող ենք գրել՝  $tgi_0 = nb/nc$ ,  $tgi_\xi = dc/dc$ : Մյուս կողմից  $dc = \frac{nc}{cos\xi}$ , ուրեմն  $tgi_\xi = \frac{de cos\xi}{nc}$  քանի որ  $nb = dc$ , ուրեմն՝

$$tgi_\xi = tgi_0 \cos\xi \quad (4.6)$$

այսինքն որքան մեծանում է  $\xi = 90^\circ$ -ի կամ փոքրանում է փոփածքի շանկյունը այնքան փոքրանում է, ինչ սրման անկյունը, որը հանգեցնում է կտրման դիմադրության ուժի փոքրացմանը:



Նկ.4.7 Կինեմատիկական տրանժիրմացիայի գործընթացի  
բացատրման սխեմա:

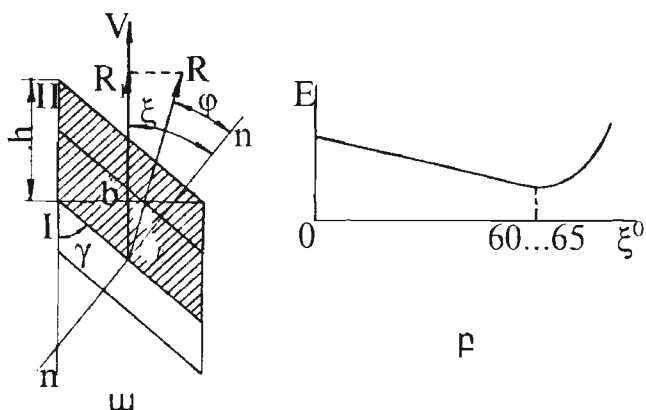
ա- դանակի սրման անկյան,

բ- նյութի հոսքի լայնության և սայրի իրական հաստության

Ակադեմիկոս Վ.Ս. Ժելյգովսկին կտրման դիմադրության ուժի փոքրացման երևույթի ուսումնասիրությունների ժամանակ հայտնա-

բերել է և երկու պատճառ: Առաջին պատճառը կայանում է նրանում, որ շեղ կտրման ժամանակ փոքրանում է սայրի միավոր երկարության վրա ընկնող նյութի խարի լայնությունը՝  $\xi = l_0 \cos \xi$  (նկ.4.7): Երկրորդ պատճառը կայանում է նրանում, որ  $\xi$  անկյան մեծացման հետ փոքրանում է սայրի հաստությունը: Ուղղվ կտրման դեպքում ունենք  $\delta_0$  շեղի դեպքում  $\delta_c < \delta_0$  (նկ. 4.7): Սահրավ կտրման ժամանակ դիմադրության ոմքի փոքրացումը բացատրվում է նաև նրանով, որ այս դեպքում սայրը կատարում է սղոցի դեր՝ ստեղծելով ձգման և սայրի լայտումներ, որոնց դեպքում նյութի ամրության սահմանը առավել փոքր է:

**Կտրման տեսակարար աշխատանքը:** Այս մեծության որոշումն անհրաժեշտ է մի քանի տեսանկյուններից՝ տարբեր նյութերի կտրման էներգետիկական գնահատման, դանակի պարամետրի և ռեժիմի ընտյունան: Կտրման տեսակարար աշխատանքը ծախսվում է նյութի միավոր մակերեսի կտրման վրա [կգ ո/ժ.սմ/սմ<sup>2</sup>]



Նկ. 4.8 Կտրման տեսակարար աշխատանքի որոշման սխեմա՝  
ա - միակողմանի հարթ կտրող թարիկի գործողության սխեմա,  
բ - կտրման տեսակարար աշխատանքի կախվածությունը  $\xi$  անկյունից:

Համաձայն նկ.4.8-ի դանակը տեղափոխվելով հ ճանապարհ, կատարում է  $A=R$ ,  $h=R h \sin(\gamma + \phi)$  աշխատանք. կտրում  $S=h.b=h l \sin \gamma$  մակերեսով կազմվում:

$$\text{Կտրման անդամակարգը } E = \frac{A}{S} = \frac{R h \sin(\gamma + \phi)}{h l \sin \gamma}$$

$$\text{Իաշվի առնելով նաև } R = \frac{N}{\cos \phi} \text{ կստանանք՝}$$

$$E = \frac{N}{l} (1 + f \operatorname{ctg} \gamma) \quad (4.7)$$

Շանաձևելում 1 - սայրի երկարությունն է, 2- դանակի բնյագրկման լայնությունը: Ըստ O.U. Միզովի հետազոտությունների ստացված է, որ կտրման տեսակարար աշխատանքը ձգտում է նվազագույնի  $\gamma=25-35^\circ$  արժեքի դեպքում (նկ.4.8 բ):

### 4.3 Կուլտիվատորային թարիկների պարամետրերի հիմնավորումը

**Սլաքածն թարիկները լինում են հարթահատ և ոնդվերայ:** Հարթահատ թարիկների մոտ փիսրեցման և թեր դրվագի անկյունները փոքր են  $\alpha=9-10^\circ$ ,  $\varepsilon=15-18^\circ$ , այդ պատճառով փիսրեցման գործնական համարյա տեղի չտնի, կատարում է միայն մոլախոտի քաղիանում: Այս թարիկի սրման անկյունը  $i = 12-15^\circ$ , իսկ փոփածքի անկյունը  $2\gamma = 60-70^\circ$ : Ունիվերսալ թարիկները կատարում են լուղի լինտենսիվ փիսրեցման, նրանց մոտ  $\alpha = 16-18^\circ$ ,  $\varepsilon = 25-30^\circ$ ,  $2\gamma = 55-60^\circ$  կաշուն լուղերի մշակության համար և  $2\gamma = 75-80^\circ$  ավագային լողերում աշխատելու համար:

Հարթահատ - խորվիսրեցուցիչների թարերն ունեն  $\alpha = 17, 20,$   $25^\circ$ ,  $\varepsilon = 25$  և  $26^\circ$ ,  $2\gamma = 75, 100$  և  $120^\circ$  անկյուններ: Այս թարերի հատկանշական կուրսն այն է, որ կատարում են մոլախոտերի քաղիանում, լուղի խոր փիսրեցում՝ միաժամանակ պահպանելով խոզանլ մինչև 80%, որը զգալիուրեն կանխառմ և քամու էլուզիան:

Հարթահատ թարիկների և լիմնական խնդիրը մոլախոտերի դեմ պայքարում է. սակայն աշխատանքի լնրացրում սայրի բրացման հետևանքով բուսական արմատները չեն կտրվում, և եթե կտրույ չսահեն, ապա կխախտվի տեխնոլոգիական գործնակացի նորմայ

կատարումը: Մոլախոտի արժատների գունդում են հողային. և երև հողի շահելի կտրող և զրով. ապա կտրվեսկի և ան մոլախոտների սակրին: Նշված պատճառով բարիկի փոփածքի անկյան մեծությունը պրոցելիս հաշվի և առնվամ այն շվաման անկյունը. որն առավել մեծ է՝ գուման անկյունը արմատի և սայրի միջև. գուման անկյունը հողի և սայրի միջև

$$\gamma < 90^\circ - \text{տաք}(\varphi_k, \varphi) \quad (4.8)$$

Հետազոտություններից պարզվել է, որ նշված  $\gamma < 90^\circ - \varphi$  սահմանափակումն ունի մասնակի բնույթ, այն անհրաժեշտ. սակայն բավարար պայման չէ: Փոփածքի անկյան օպտիմալ մեծությունը գնահատելու համար բնորունված է նորախոտերի քանակությունը. որն ընկնում է սայրի վրա տվյալ ժամանակահատվածում: Բնական է որքան քիչ բվով մոլախոտ գունվի սայրի վրա. այնքան կմեծանա բարիկի անխափան աշխատանքի հավանականությունը: Լուծենք այդ խնդիրը:

Խորիկի աշխատանքի ժամանակ սայրին հանդիպած մոլախոտը A կետում կատարում է տեղափոխական և հարաբերական շարժում: Մոլախոտի բացարձակ տեղափոխությունը

$\overline{AB}_1 = \overline{A}_1\overline{B}_1 + \overline{AA}_1$  կատարվում է նորմալից N շվաման անկյան տակ՝ շելված հակագրման համարովի R ուղղությամբ: Խորիկի տեղափոխավելով և չափով սայրին հանդիպած  $ABB_1$  մակերեսի բարը մոլախոտերը կսահեն և կիշտեն նրանից. իսկ  $AA_1B_1$  մակերեսի մոլախոտերը սայրի  $A_1B_1$  դիրքում փարարփած կլինեն կտրող նզրին: Քանի որ  $AA_1B_1$  և  $AB_1B$  եռանկյունները հավասար են, ուստի այդ մակերեսների վրա եղած մոլախոտերի քանակը նոյնպես հավասար կլինեն միշտանք:

Ընդունելով դաշտի միավոր մակերեսի մոլախոտերի քիվը n, եռանկյան մակերես՝  $S=AB_1B$ , կայող ենք գրել, որ մոլախոտերի բնդիհանուր քանակը՝  $Q=Sn$  (նկ. 4.9): Մյուս

$$\text{կողմից } S = \frac{lb}{2} = b^2 \operatorname{ctg}\gamma + b^2 \operatorname{tg}(\gamma + \varphi) \text{ և}$$

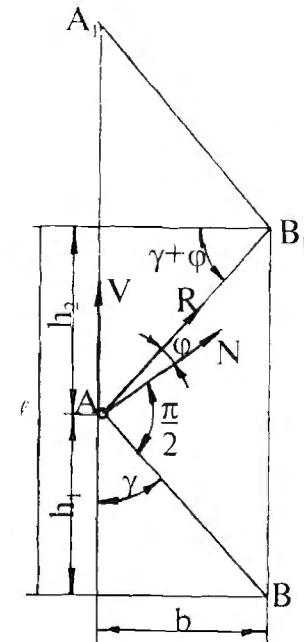
$$Q = \frac{b^2 n}{2} (\operatorname{ctg}\gamma + \operatorname{tg}(\gamma + \varphi)) \quad (4.9)$$

Q ( $\gamma$ ) ֆունկցիան ունի մինիմում (նկ. 4.10):

Մինիմալի որոշման համար կատարենք ֆունկցիայի մասնակի ածանցում:

$$\frac{\partial Q}{\partial \gamma} = \frac{b^2 n}{2} \left( \frac{1}{\cos^2(\gamma + \varphi)} - \frac{1}{\sin^2 \gamma} \right) = 0, \text{ որտեղից}$$

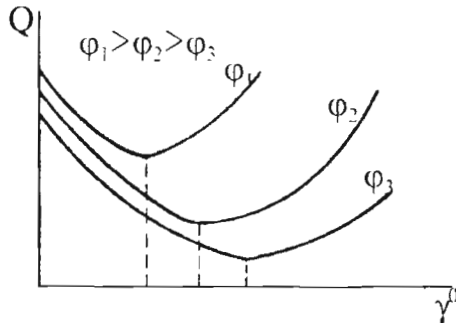
$$\gamma_{\text{օպտ}} = (90^\circ - \varphi)/2 \quad (4.10)$$



Նկ. 4.9 Սլաքածն բարիկի փոփածքի անկյան 2γ օպտիմալ մեծության որոշման սխեմա:

Հայլ ագլեցությունի հաշվի առնելու դեպքում կունենանք՝

$$\gamma_{\text{օպտ}} = [90^\circ - (\varphi_k, \varphi)]/2 \quad (4.11)$$



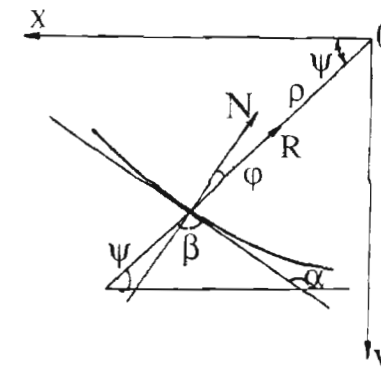
Նկ. 4.10. Թարիկի կտրող եզրին գտնվող մոլախոտերի քանակի  $Q$  փոփոխման բնույթը՝ կախված փոփածքի անկյունից  $\gamma$ . Հիմնա անկյան  $\phi_1 > \phi_2 > \phi_3$  տարրեր արժեքների դեպքում :

Կառուցելով  $Q=f(\gamma, \phi)$  ֆունկցիայի գրաֆիկական կապը (նկ. 4.10), լժեմարդ չէ նկատել, որ շփման անկյան  $\phi$  մեծությունը որոշակիութեան ազդում է սայրի վրա գտնվող մոլախոտերի մինիմում քանակի վրա:

**Փիրեցնող թարիկներ:** Ներկայումս արտադրության մեջ յայն կիրառություն են ստացել ուրածն և շրջվող թարիկները: Այս թարիկների հատկանշական կողմը փիրեցման անկյան ( $\alpha$ ) ըստ թարձրության սահուն փոփոխությունն է: Դրած թարիկների մոտ  $b=20\text{մ}$ ,  $\alpha_0=40^\circ$ , շրջվող թարիկները կոչու կանգնակի վրա ունեն  $\alpha_0=40-45^\circ$ , զսպանակավոր կանգնակի վրա ունեն  $\alpha_0=25-30^\circ$ : Շրջվող թարիկների լայնությունը տատանվում է  $b=35-65\text{մ}$  սահմաններում: Հայրենական արտադրության բոլոր տեսակի փիրեցնող թարիկները կորացվում են որոշակի շառավոլի շրջանագծով, որի մեծությունից զգալիորեն կախված է Խորի փիրեցման աստիճանը:

Հետազոտություններն ապացուցել են, որ հաստատուն շառավոլով  $\rho=\text{const}$  կորացված թարիկները տեխնոլոգիական գործընթացի կատարման տեսակետից օպտիմալ չեն: Հաստատված է նաև, որ այն թարիկները, որոնց մակերևույթի վրա ազդու տարրական

հակագրումները հատվում են մի կետում՝ դաշտի ցերեկային մակերևույթի վրա. կատարում են Խորի յավագույն փիրեցում՝ լներգետիկական փոքր ծախսելով: Հետազոտենք նշված պայմաններին բավարարող թարիկի կայության ձևը: Ընդունենք, որ թարիկի մակերևույթի յուրաքանչյուր կետում նորմալից շփման անկյան տակ շեղված է եմենտար հակագրումները հատվում են Օ կետում (նկ. 4.11): Համաձայն նկ. 4.11-ի կարող ենք գրել՝  $x=\rho \cos \psi$ ;  $y=\rho \sin \psi$



Նկ. 4.11 Փիրեցնող թարիկի կորուպյան ձևի հիմնավորման սխեմա

Մյուս կողմից կորի շոշափուղի կազմած անկյունը  $OX$  առանցքի հետ կլինի  $\alpha$  կամ  $\operatorname{tg} \alpha = \frac{dy}{dx}$ :

$$\frac{dy}{d\psi} = \rho \cos \psi + \rho' \sin \psi, \quad \frac{dx}{d\psi} = \rho' \cos \psi - \rho \sin \psi,$$

$$\text{որեմն } \operatorname{tg} \alpha = \frac{\rho \cos \psi + \rho' \sin \psi}{\rho' \cos \psi - \rho \sin \psi} = \frac{\rho + \rho' \operatorname{tg} \psi}{\rho' - \rho \operatorname{tg} \psi}:$$

Ելեմենտար հակագրումների մի կետում հատման պայմանը արտահայտվում է շառավոլի վեկտորների ( $\rho_1$ ) նույնական մի կետում հատումով. և թագի այդ, կորի յուրաքանչյուր կետում շոշափուղի և  $\rho$ -ի կազմած անկյունը  $90 + \phi = \text{const}$ : Ունենք նաև  $\beta = \alpha - \psi$ ,

$$\operatorname{tg} \beta = \frac{\operatorname{tg} \alpha - \operatorname{tg} \psi}{1 + \operatorname{tg} \alpha \operatorname{tg} \psi} = \frac{\rho}{\rho'}, \text{ մյուս կողմից:}$$

$$\operatorname{tg}\beta = \operatorname{tg}(90^\circ + \varphi) = -\operatorname{ctg}\varphi \quad \text{կամ} \quad \frac{\rho}{\rho'} = -\operatorname{ctg}\varphi. \quad \text{այստեղից} \quad \frac{d\rho}{\rho d\psi} = -\operatorname{tg}\varphi.$$

$$\frac{d\rho}{\rho} \Big|_{\rho_0} = -\operatorname{tg}\varphi d\psi \Big|_0^{\psi} :$$

Ինտեգրելով վերջին արտահայտությունը՝ կստանանք  $\ln \rho - \ln \rho_0 = -\operatorname{tg}\varphi \cdot \psi$

$$\rho = \rho_0 e^{-\psi \operatorname{tg}\varphi} \quad (4.12)$$

Ստացանք լոգարիթմական սպիրալի հավասարում: Կատարված փորձնական ինտեգրությունների արդյունքներից ցույց են տալիս, որ լոգարիթմական սպիրալի ծևով կորացրած թաթիկով հողի մշակության որակի զգալիութեն գերազանցում է ստանդարտ թաթիկներին. Փիլիեցման աստիճանը մեծանում է 11%-ով, փուշիացման աստիճանը փոքրանում է 2%, փուլփուլությունը մեծանում է աննշան, զգալիութեն փոքրանում է նաև քարշային դիմայությունը:

#### 4.4 Սկավառակային բանվորական օրգանները

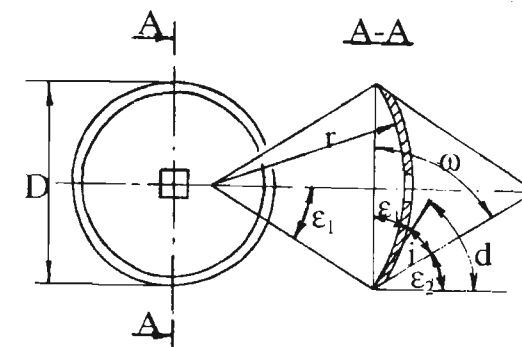
Սկավառակային օրգանները իրենց պտտական շարժումը ստանում են հողի հետ հապելուց: Այդպիսի բանվորական օրգանները օգտագործվում են հատկապես բասական մնացորդներով հարյուստ դաշտերի մշակության համար, քանի որ նրանք չեն բռնվում մոլախոտերով՝ կտրութ կամ սեղմում են հողի մեջ զրոբան շնորհիվ: Սկավառակները լինում են երկու տեսակ՝ հարթ և սֆերիկ: Ըստ էության հարթ սկավառակը կարելի է դիտարկել որպես սֆերիկ, ընդունելով կորության շառավիղը  $r \rightarrow \infty$ : Այսպիսով բոլոր սկավառակների հիմնական պարամետրերը կլինեն՝ տրամագիծ  $D$ , կորության շառավիղը  $r$ : Այդ երկու պարամետրերը իրար հետ կապված են հետևյալ կապով (նկ.4.12):

$$D=2r \sin \varepsilon_1 \quad (4.13)$$

Որտեղ  $2\varepsilon_1$ -կենտրոնական անկյունն է:

Ինչպես սկավառակի տրամագիծը, այնպես էլ կորության շառավիղը ունեն տեխնոլոգիական նշանակություն և նրանց մեծությունները կամավոր ընտրել չեն կարելի: Այսպես, մեծացնելով տրամագիծը վատանում է սկավառակի հող մտնելու ընդունակությունը, այլ պատճառով հաշվի առնելով մշակության ամենամեծ խորությունը: Ինարակորին չափ փոքրացվում է լուսամագիծը:

Փորձերով հաստատված է սկավառակի տրամագիծի և մշակության խարսխան էմպիրիկ կապը՝  $D=ka$ , որտեղ  $k$  - գործակից է և տարրելի սկավառակների համար ունի տարրեր արժեքները. Գութանների մոտ  $k=3-3.5$ , ցաքանների մոտ՝ 4-6 և երեսվարիչների մոտ՝ 5-6:



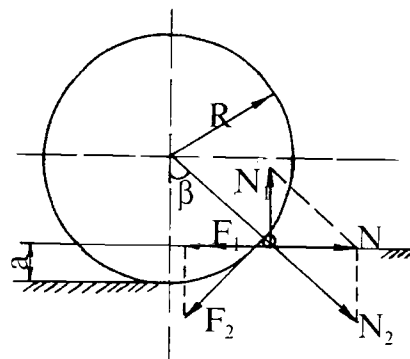
Նկ.4.12 Սֆերիկ սկավառակի հիմնական պարամետրերի որոշման սխեմա

Սկավառակների հիմնական պարամետրերը ստանդարտացված են, հարթ սկավառակների տրամագիծը ընդունված է 250, 300, 350, 400, 450, 510, 610, 660, 710, 760 և 800մմ, կցովի սկավառակային գութանների սկավառակների տրամագիծը ընդունված է 610-810մմ, կախովինը՝ 580-710մմ, երեսվարիչներինը՝ 450-610մմ, ցաքաններինը՝ 450-660մմ, ասեղնավոր սկավառակներինը՝ 350, 450 և 520մմ, արմատաքանդերինը՝ 680մմ: Գութանների սկավառակների կորության շառավիղը ընդունված է 600մմ, երեսվարիչինը՝ 169, ցաքանինը՝ 109, 169, 220մմ:

Կորության շառավիղը փոքրացման հետ մեծանում են սկավառակի շրջանը և փիլեցման հատկությունները: Հնտրելով երկու

պարամետրերը (4.13) հավասարման միջոցով, որոշվում է երրորդը՝  $\varepsilon_1 = 31-37^\circ$  գործանների համար,  $\varepsilon_2 = 22-26^\circ$  ցաքանների համար և  $\varepsilon_3 = 26-32^\circ$  երեսվարչների համար: Սկավառակների նորմալ աշխատանքի համար կարևոր նշանակություն ունի սայրի սրման անկյունը՝  $i = 10-25^\circ$  և կտրման անկյունը՝  $\alpha = i + \varepsilon_2$ : Որոշ ժամանակ աշխատելուց հետո, եթե բրանում է սկավառակի սայրը, ընդհատվում է արմատների կտրման գործընթացը, սակայն ակավառակի տրամագծի ճիշտ լրացրության դեպքում կարելի է հանդիպած արմատները ներելում կամ լուսակացնել:

Դրանք պահանջվում են նկ. 4.13-ի:



Նկ. 4.13 Սկավառակի պարամետրերի հիմնավորման սխեմա

### Սկավառակի տրամագծի հիմնավորումը

Սկավառակը արմատի հանդիպելիս, որպեսզի այն բռնի և հոյ մտցնի, անհրաժեշտ է, որ առաջ շարժող  $N$  համազոր տժը փոքր լինի, քան շիման տժը՝  $F$ : Արմատի վրա հոյի և սկավառակի կողմից ազդում են հետևյալ տժերը՝  $N_1$  նորմալ տժը գետմից,  $N_2$  նորմալ տժը՝ սկավառակից: Վյու երկու տժերից առաջանում է  $N$  համազորը, որը աշխատում է դրա հրել արմատներին, որոնք, կոտակվելով սկավառակի առջևում, բռնվում են և դադարում է տեխնոլոգիական գործընթացը նորմալ լնթացքը: Համազորը  $N$  տժին հակադրվում են  $N_1$  և  $N_2$  տժերից արմատի և հոյի  $F_1$ , արմատի և սկավառակի միջև  $F_2$  առաջացած շիման տժերը: Սկավառակի աշխատանքը կրնթանալու նորմալ, եթե տեղի ունենա հետևյալ պայմանը՝

$$\bar{N} \leq \bar{F}_1 + \bar{F}_2 \quad (4.14)$$

Պրոյեկտելով  $F_2$  ուժը  $N$  ուղղության վրա կարող ենք գրել՝  $N \leq F_1 + F_2 \cos \beta$ , անենք նաև  $F_1 = N_1 f_1$ ,  $F_2 = N_2 f_2$ , քազի այլ  $N_1 = N \operatorname{ctg} \beta$ ,

$$N_2 = \frac{N}{\sin \beta}, \text{ արեմն } N \leq f_1 N \operatorname{ctg} \beta + \frac{f_2 N \cos \beta}{\sin \beta} \quad \text{կատարելով որոշ ձևավոխություններ՝ կստանանք.}$$

$$\operatorname{tg} \beta \leq f_1 + f_2 \quad (4.15)$$

Այժմ ստանանք  $\beta$  անկյան և սկավառակի պարամետրերի միջև կապը:

$$\text{Համաձայն } \text{նկ. } 4.13\text{-ի } \text{կարող } \text{ենք } \text{գրել՝ } \cos \beta = \frac{R - a}{R},$$

$$\operatorname{tg} \beta = \sqrt{\frac{2aR - a^2}{(R - a)^2}} \leq f_1 + f_2, \text{ որտեղից՝}$$

$$R \geq \frac{a \left[ 1 + (f_1 + f_2)^2 \pm \sqrt{1 + (f_1 + f_2)^2} \right]}{(f_1 + f_2)^2} \quad (4.16)$$

Այսպիսով ստացանք  $D = ka$  էմպիրիկ արտահայտության և գործակցի

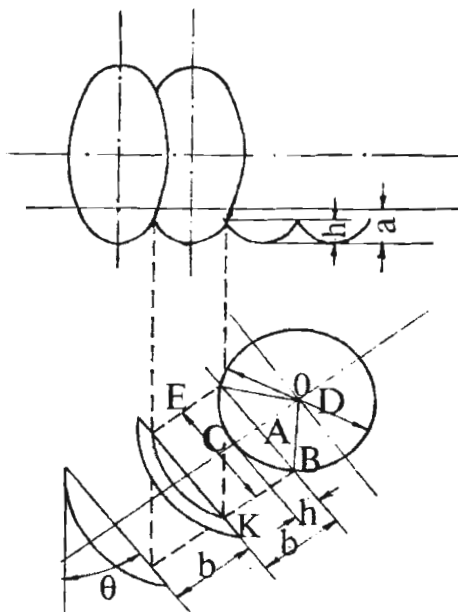
$$\text{մաքեմատիկական } \text{այժեքը՝ } k = 2 \frac{1 + f^2 \pm \sqrt{1 + f^2}}{f^2}, \text{ որտեղ } f = f_1 + f_2;$$

**Սկավառակի տեղակայման պարամետրերը:** Սկավառակի տեղակայման պարամետրերն են - սկավառակի գրոհի անկյունը և մարտկոցի առանցքը վրա մեկը մյուսից տնեցած հեռավորությունը: Նշանակած պարամետրերի փոփոխությունը գգայի ազդեցություն է բաղնում տեխնոլոգիական գործընթացի որակական ցուցանիշների՝ մշակության խորության, մոլախոտերի կարտման աստիճանի և ակտուահատակում շնչակած թմբիկների բարձրության վրա:

Փորձեալ հաստատված է, որ որքան մեծ է սկավառակի գրոհի անկյունը, այնքան լավ է կատարվում մոլախոտերի քաղաքանումը, խոր և առավել լինենալիք է կատարվում փիլեցման գործընթացը և նորմալ

Են ծածկվում մոլախոտերի սելրմերը: Տեխնոլոգիական տեսակետից ընտրված են սկավառակների գրանի աճեցյան հետևյալ արժեքները՝ գործառների համար  $\theta=40-45^{\circ}$ , երեսվարիչների  $\theta=10-35^{\circ}$  և ցարցանների համար  $10-22^{\circ}$ :

Աշխատանքի լներացքում մարտկոցի յուրաքանչյուր սկավառակ հողից կտրում է որոշակի առ, կազմավորենով էլիպսաձև ակրո (նկ.4.14): Հարեան սկավառակներով բացված ակրոների միջև առաջանում է շմշակված թմբիկ, որը հողի մշակության չափանիշ է: Զմշակված թմբիկը բարձրությունը կախված է սկավառակների տրամագծից, ինչուավորաբերությունից և գրանի անկյունից: Զանի որ սկավառակների հեռավորաբերությունը մարտկոցի առանցքի վրա և տրամագիծը աշխատանքի լներացքում հնարավոր չէ փոխել, ուստի մշակության որակի կազմավորումը կատարվում է գրանի անկյան մեծաթյան կարգավորումով:



Նկ.4.14 Ակոսահատակի բմբիկների քարձրության որոշման սխեմա

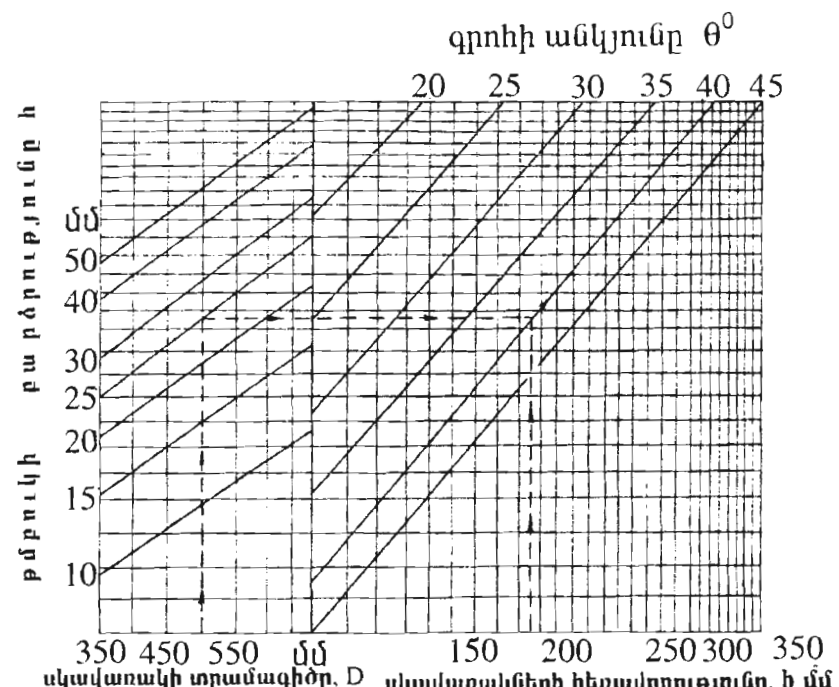
Համաձայն Ակ. 4.14-ի կալուղ ենք զրել՝

$$\left(\frac{D}{2}\right)^2 = \left(\frac{D}{2} - h\right)^2 + \left(\frac{C}{2}\right)^2 ;$$

Լուծելով այս հավասարումը՝ թմբիկի բարձրության նկատմամբ և հաշվի առնելով նաև  $C = \hbar c t g \theta$  արժեքը՝ կստանանք .

$$h = \frac{D}{2} - \frac{\sqrt{D^2 - b^2 \cot^2 \theta}}{2} \quad (4.17)$$

Հարևան սկավառակները հողակոշտով չբռնվելու մպատակով խորհուրդն է, տրվում օգտվել  $b \geq 1.5a$  պարմանից:



#### Ակ.4.15 Սկավառակի գրոհի անկյան որոշման նոմոգրամ

Մշակույթան որակը համարվում է բավարար, եթե  $h \leq 0.4a$ ՝ գործածերի համար և  $h \leq 0.5a$  երեսվարիչների համար:

Ստացված մաքնմատիկական արտահայտության (4.17)  $h=f(D,b,\theta)$  գրաֆիկական կապը նոմոգրամի տեսքով ներկայացված է

Ակ.4.15-ում : Գյուի անկյան օպտիմալ չափի ընտրության մեջովը, կախված D,b, և պարամետրերից, ցույց է տրված սլաքներով : Նախապես ազտտեխնիկական պահանջների համաձայն որոշվում է թմբիկի բարձրությունը՝ և, ապա սկավառակի տրամագծի արժեքը արցիսից տարվում է ուղղահայաց՝ մինչև հի կրի հետ հատվելը, ստացված կետից տարվում է գուգահեռ իորիգինական առանցքին, իսկ սկավառակների և ենոավորության թ առանցքից ուղղաձիգ առանցքին հատման կետից տարվում է թեր մինչև գյուի անկյան առանցքի թ հետ հատվելը:

Գյուի անկյան ստացված արժեքը առաջարկված պայմանների համար կլինի օպտիմալը: Սկավառակային գործիքների շարժման ամենամեծ արագությունը 10կմ/ժ է:

#### 4.5 Ակտիվ գործողության պտտվող բանող օրգաններ

Ակտիվ գործողության պտտվող բանող մեքենաները կրչվում են նաև խորութագներ: Հալուրագների բանող օրգաններն իրենցից ներկայացնում են սկավառակի վյա հավասարակետ ամրացված դանակներ, որոնք իրենց շարժումը ստանում են ինվանարժիշխաց կամ տրակտորի հզորության անշատման լիսերից: Աշխատանքի ժամանակ բանող օրգանները կատարում են բարդ շարժում համընթաց և պտտական, որի հետևանքով դանակի հետագիծն ստացվում է ցիկլոիդ: Ի տարբերություն պասիվ գործողության պտտվող օրգանների, որոնք քունում են կարճեցված ցիկլոիդային հետագիծ, ակտիվ օրգանների հետագիծը երկարացված ցիկլոիդ է: Կատարելով պտտման և համընթաց շարժման արագությունների հարաբերության փոփոխում որոշակյալ կարգավորվում է հողի փխրեցման աստիճանը:

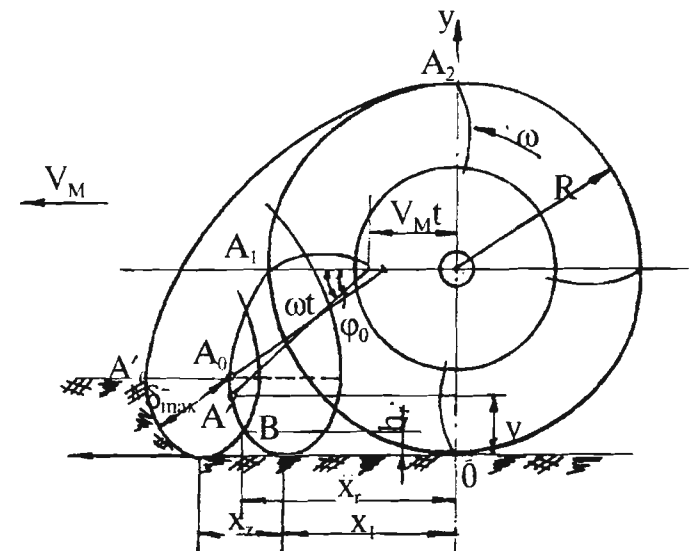
**Դանակի բացարձակ շարժման հետագիծը:** Աշխատանքի ժամանակ կատարելով պտտական շարժում անկյունային արագությամբ և համընթաց՝  $V_M$  արագությամբ, յորաքանչյուր դանակ  $A_1, A_2 \dots$  կատարում է բացարձակ տեղաշարժ: Հորուրագը, կատարելով  $V_M$  տեղափոխություն, նրա դանակը միաժամանակ պտտվում է

առ անկյան չափով և  $A_1$  դիրքից տեղափոխվում է  $A'$  դիրքը (Ակ.4.16):

Դանակի նոր դիրքի կոորդինատները անշարժ առանցքների նկատմամբ որոշվում են հետևյալ հավասարումներով:

$$\left. \begin{aligned} x &= V_M t + R \cos \omega t \\ y &= R(1 - \sin \omega t) \end{aligned} \right\}, \quad (4.18)$$

որոնք իրենցից ներկայացնում են դանակի  $A_1$  կետի շարժման հետագիծը:



Ակ. 4.16 Հորուրագի աշխատանքի հետագործման սխեմա

Դանակը հողը մտնելու պահին նրա  $A_0$  կետը պտտված է լինում  $\phi_0 = \omega t_0$  անկյուն և հեռացած ակոսի հատակից  $y=a$  մշակության խորության չափով: Այդ դիրքի համար կարող ենք գլուխ  $a=R(1-\sin \phi_0)$ ,

$$\text{որտեղից } \text{նշանակելով } \frac{a}{R} = m, \text{ կստանանք.}$$

$$\sin \phi_0 = 1-m \quad (4.19)$$

Ընդուներիվ, որ  $A_0$  կետում դանակի բացարձակ արագությունը ուղղված է ուղղաձիգ դեպի ներքեւ, (4.18) հավասարման առաջին արտահայտու-

Բյունից կալող ենք գրել, որ արագության չ բաղադրիչը հավասար է զրոյի, այսինքն՝  $\dot{x} = V_M - \omega R \sin \phi_0$ , որտեղից.

$$\sin \phi_0 = \frac{V_M}{\omega R} = \frac{1}{\lambda} \quad (4.20)$$

$$\text{Արագությունների հարաբերության } \frac{\omega R}{V_M} = \lambda \text{ մեծությունը կոչվում է}$$

նաև մեքենայի աշխատանքի կինեմատիկական ցուցիչ, որը զգայինը կանխություն է հողի մշակարյան որակը: Հավասարեցնելով (4.19 և 4.20) հավասարությունները՝ կստանանք

$$\lambda = \frac{1}{1-m} \quad (4.21)$$

Վերջին հավասարությունը անհրաժեշտ է, սակայն բավարար պայման չէ գնահատելու հողուրագի աշխատանքի ույակը: Հողուրագի աշխատանքի որակը գնահատվում է նաև մշակված հողային զանգվածի հատակում թողնված շմշակված քմբիկի բարձրությամբ՝  $h$ :

**Մատուցում:** Մատուցումը մեկ դանակի կողմից կտրած տաշենի լայնությունն է՝ երկու հարեան դանակների հողի մակերեսի հետ հատման կետերի հեռավորությունը  $x_z = \Lambda_0 \Lambda_0$ : Մատուցման մեծության որոշման համար անհրաժեշտ է դանակի մեկ պտույտի ժամանակ մեքենայի անցած ճանապարհը  $x$  բաժանել դանակների թվի  $Z$  վրա՝

$$x = V_m T, \quad T = 2\pi/\omega, \quad \text{որին հաշվի առնելով նաև } V_M = \frac{\omega R}{\lambda}, \quad \text{կստանանք}$$

$$x = \frac{2\pi R}{\lambda}, \quad \text{իսկ մատուցումը}$$

$$X_z = \frac{2\pi R}{\lambda Z} \quad (4.22)$$

Տաշենի առավելագույն հաստությունը  $\delta_{max}$  որոշվում է շառավղի  $R$  ուրիշությամբ՝ լնիրունելով, որ  $\gamma \approx 90^\circ$  (ըստ Ա.Դ. Դալինի): Համաձայն լնիրունված պայմանի՝ կստանանք  $\delta_{max} = x \cos \phi_0$  և քանի որ  $\sin \phi_0 = 1-m$ ,  $\cos \phi_0 = \sqrt{2m - m^2}$ , կստանանք

$$\delta_{max} = X_z \sqrt{2m - m^2} \quad (4.23)$$

Վերջին արտահայտության վերտառությանը ցույց է տալիս, որ  $x$ -ի հաստատում արժեքի լեպքում, փոքրացնելով ու-ը՝ փոքրանում է նաև տաշենի հաստությունը. մեծանում հողի վիճակները աստիճանը: Խորիսությունը է տրվում ընտրելով  $m=0.5-0.3$ : Փոքր խորության դեպքում ընտրվում է  $m=1$  փոքր արժեքը:

**Կինեմատիկական ցուցիչի և ընտրությունը:** λ ցուցիչի ընտրությունը կատարվում է շմշակված քմբիկների հ, բարձրությունից կախված, որը համաձայն ազդատեխնիկական պահսնջների, պետք է լինի  $h \leq 2$  սմ:

Համաձայն նկ. 4.16-ի  $h_r = R(1-\sin \phi_1)$ , իսկ  $h_r$ -ին համապատասխան

$$x_r = x_1 + \frac{x_z}{2}: \quad \text{Մյուս կողմից } x_1 = V_M T_1 = \frac{\pi R}{2 \lambda}, \quad x_z = \frac{2\pi R}{\lambda z}, \quad \text{կամ} \\ x_r = \frac{\pi R}{\lambda} \left( \frac{1}{2} + \frac{1}{z} \right): \quad \text{Վերջին արտահայտությունից } x_r \text{ արտաքսելու} \\ \text{համար գրենք նրա արժեքը՝ կախված } \phi_1 \text{ անկյունից՝ } x_r = V_M t_1 + R \cos \omega t_1,$$

$$h \text{ հաշվի առնելով } t_1 = \phi_1 / \omega, \quad V_M = \omega R / \lambda \text{ կստանանք } x_r = \frac{R}{\lambda} \phi_1 + R \cos \phi_1:$$

Հավասարեցնելով  $x_r$ -ի երկու արժեքները՝ կստանանք

$$\frac{\pi R}{\lambda} \left( \frac{1}{2} + \frac{1}{Z} \right) = \frac{R}{\lambda} \phi_1 + R \cos \phi_1, \quad \text{կամ}$$

$$\pi \left( \frac{1}{2} + \frac{1}{Z} \right) = \phi_1 + \lambda \cos \phi_1, \quad \text{որտեղից՝}$$

$$\lambda = \frac{\pi \left( \frac{1}{2} + \frac{1}{Z} \right) - \phi_1}{\cos \phi_1} \quad (4.24)$$

Որոշելով  $\phi_1$  և  $\cos \phi_1$  արժեքները,  $h_r = R(1-\sin \phi_1)$  արտահայտությունից՝ վերջնականապես կստանանք

$$\lambda = \left[ \left( \frac{1}{2} + \frac{1}{Z} \right) \pi - \arcsin(1-m_1) \right] \frac{1}{\sqrt{2m_1 - m_1^2}} \quad (4.25)$$

$$\text{որտեղ } m_1 = \frac{h_r}{R};$$

Հաշվարկի ժամանակ պետք է ընդունել, որ  $h_r$  -ի իրական արժեքը փոքր է տեսականից  $h_r^T$  մինչև կիսով շափ  $h_r = (0.5-1.0) h_r^T$ :

Հնագար հողերի մշակության ժամանակ լճարելով դանակների թիվը  $x=3-8$ , կիսնեմատիկական ցուցիչը ստացվում է  $\lambda = 2-6$ : Կապակցված ճիմու հողերի մշակության ժամանակ լճարունվում է  $\lambda=4-16$ : Ժամանակակից հողորոշագների շարժման արագությունը լճարունվում է  $V_m=1-6$  կմ/ժ: Հողորոշագների բնորությունը տրամագիծը տատանվում է 225 - 800 մմ սահմաններում, դանակների թիվը՝ 4-12 հատ, մշակության խորությունը՝ 12-16 սմ, ճահճային հողորոշագներինը՝ 25-45 սմ (մինչև 13 մ/վ շրջագծային և 4-6 կմ/ժ համրնթաց շարժման արագություններով):

#### 4.6 Ատամնավոր ցաքաններ

Ատամնավոր ցաքանները նախատեսված են հողի փխրեցման, մակերևույթային շերտի խառնման, մոլախոտերի հանելու և դաշտի մակերևույթի հարթեցմելու համար: Ցաքանի ատամները լինում են քառակուսի և կրու հատվածքով: Ծանր և միջին ցաքանների վրա դրվում են քառակուսի հատվածքով ատամներ, թերևն ցաքանների վրա՝ կլոր: Ցաքանի ատամները հողի վրա ներազրում են ինչպես երկնաշտ սեպեր՝ β, γ հաստատուն անկյուններով: Ատամների տեղակայումը բնութագրվում է α անկյունով, որից մեծ շափով կախված է հողի հետ նրա փխրագրեցության բնույթը:  $\alpha=\pi/2$  արժեքի դեպքում ցաքանը հողի մեջ խորանում է ծանրության տժով և փխրեցումը կատարվում է առանց ներքինի խոնավ շերտերը վեր հանելու:  $\alpha<\pi/2$  տեղակայման անկյան դեպքում հողի ներքին շերտերը վեր են հանվում:

##### Ցաքանի ատամնային դաշտի կառուցումը

Ատամնային դաշտի ճիշտ կառուցումը պետք է ապահովի ցաքանի հանգիստ և հավասարակշռված աշխատանքը, հողի

մակերևույթային շերտի հետ ատամների հավասարաշափ ազդեցություն: Յուրաքանչյուր ատամ պետք է սննենա իր ուժույն հետքը և հետքերի հեռավորություններն իրարից պետք է հավասար լինեն: Առաջարկած պայմաններին բավարարում է այն ատամնային դաշտը, որը ստացվում է հարթության վրա բազմնթաց պտուտակային գծի փուլմից: Եթե յուրաքանչյուր պտուտակային գծի վրա հսկայաշափ տեղակայվում են ատամները: Պտուտակային գծի երկարությունը՝  $L=Ml$ ,  $M$ - ատամների թիվն է՝ պտուտակային գծի վրա,  $l$ - ատամների հեռավորությունն է իրարից: Քանի որ բազմնթաց պտուտակի մեջ պտուտակային գծերը հսկայանեն են իրար նկատմամբ, ուստի նրանց լինիայնական հեռավորությունը  $b=l/k$ , որտեղ՝  $k$ - պտուտակի քայլն է,  $k$ - պտուտակային գծերի թիվը: Ակնհայտ է, որ ե հատվածքի վրա ամենաշատ հետքերի թիվը կիսի  $M$  հատ:

Քանի որ ատամները բոլոր պտուտակային գծերի վրա տեղակայված են նոյն հավասարաշափությամբ, ուստի բոլոր առաջին ատամները նստած են 1-1, երկրորդինը՝ 2-2 և այլն, ծնիչների վրա: Ծնիչների փոխարիներով ձողերտվ, կստանանք  $M$  հատ լնդայնական ձող: Միջշարքային տարածությունը նշանակելով  $a-n$ , կստանանք  $b=Ma=t/k$  կամ  $t=bk=Mka$ , այսինքն՝  $t$  քայլի վրա տեղակորպում է  $Mk$  միջշարքը: Ատամների տեղը որոշվում է պտուտակային գծերի և լնդայնական ձողերի հատման կետերով: Եթե վերցնենք անսահման երկարության պտուտակ և փունք, ապա ամբողջ դաշտը կծածկի ատամներտվ, որտեղ այն կրաֆանն հավասար եռանկյունիների: Դրանց մի կողմր կազմվում է լնդայնական ձողերտվ, մյուս կողմր՝ պտուտակային AB գծով, իսկ երրորդ կողմը՝ CD ուղիղով, որը կարելի է ոլոտարկել որպես հակառակ լնդայնական պտուտակի փոփածք:

Այսպիսով, ստացվում է  $t+t_i=Mb$ :  $t=kb$  արտահայտությամբ համանման ստացվում է  $t_i=k_i b$ , ուստի  $k_i b + kb = Mb$  կամ  $k_i + k = M$ :

##### Եզրահանգումներ

1.  $M$ -ի և  $k$ -ի լնդայնակայ ժուտափել այնպիսի բվերից, որտեղ կունենան լնդայնուր բազմապատիկ, քանի որ վերջինը բնութագրվում է մը հետքով անցնող ատամների թիվը:

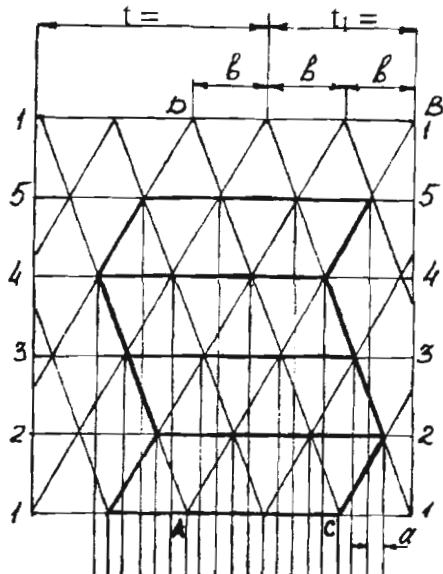
2. Խուսափել  $M=k+1$  բվից, քանի որ ստացվում է.  $k_i=1$ , այսինքն պտուտակային գիծը մի բնթացքանի է, որը ցաքանի բնթացքը դարձնում է անհանգիստ:

3. Սահմանափակվել  $k < M$  պայմանով:

Ժամանակակից ցաքանների ատամնային դաշտի չկառուցման համար լինիունվում է.  $M=5$ ,  $k=3$ ,  $k_i=2$ :

Ցաքանի քարշի ուժի ուղղությունը հորիզոնի հետ կազմում է.  $15-20^{\circ}$ : Քարշի ուժի նշված ուղղությունն անցնում է ծանրության կենտրոնի հետքին նոտ. որը ապահովում է ցաքանի հանգիստ աշխատանքը:

Ծանր (մեկ ատամի վրա լնկած բեռլ 21ն) և միջին (մեկ ատամի վրա լնկած բեռլ 17.5 ն) ցաքանները կարող են աշխատել բարձր արագության տակ ( $12-13 \text{կմ}/\text{ժ}$ ), բերեր՝ (ատամի բեռլ 8ն) մինչև  $7-8 \text{ կմ}/\text{ժ}$  արագությամբ:



Նկ.4.17 Ցաքանի ատամնային դաշտի կառուցման սխեմա

#### 4.7 Հողի մակերեսային մշակության բանող օրգանների ուժային բնութագիրը

Պատվի գործույթը կուլտիվատորային թաթիկները հիմնականում սխմետրիկ են (սլաքածն, փխրեցնող), ուստի կարելի է լինունել, որ նրանց վրա ազդող համագոր հակագրումը  $R_x$  ուղղված է նորմալից շփման գ անկյան տակ շեղված (նկ.2.6) և բառ մեծության

$\bar{R}_{xx} = \bar{R}_x + \bar{R}_z$ : Բաղադրիչներից  $R_x$ -բնութագրում է թաթիկի խորանակը լինիունակությունը.  $R_x$ -ը՝ քարշային դիմադրությունը: Հակագրման  $R_x$  և  $R_z$  բաղադրիչների մեծությունների կախված են փխրեցման  $\alpha$  և շփման անկյան գ մեծություններից: Խոճավացման մեծացման հետ միաժամանակ մեծանում է նաև շփման գործակիցը եցու, որի հետևանքով լնկնում է թաթիկի խորությունը լինիունակությունը  $t_{\psi} = R_z/R_x$ : Փխրեցնող թաթիկների մոտ զգալիուն մեծանում է  $\alpha$  անկյունը, որի հետևանքով փոքրանում է  $\psi = 90 - (\alpha + \varphi)$  անկյունը, և վատանում է թաթիկի աշխատանքի կայունությունը՝  $t_{\psi}$ :

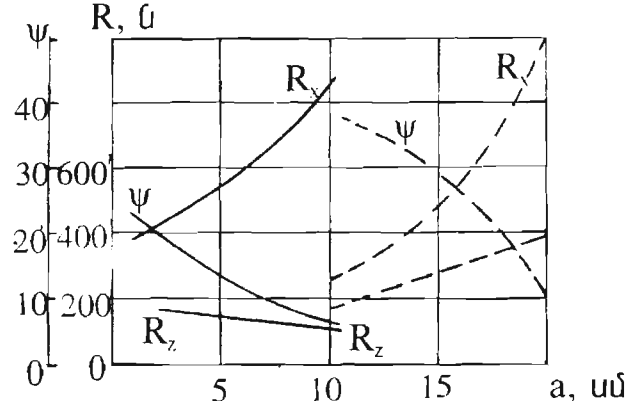
Կուլտիվատորների քարշային դիմադրությունը որոշվում է ուժաչափով և արտահայտվում է հետևյալ բանաձևով

$$R_x = k a b \quad (4.26)$$

որտեղ  $k$ - հողի տեսակարար դիմադրությունն է,  $a$ - մշակության խորությունը,  $b$ - լնդգիկման լայնությունը:

Ստորև բերվում են տարբեր օրգաններով աշխատանքի ժամանակ խորի ցույց տված տեսակարար դիմադրության մեծություններ՝ սլաքածն թաթիկներ՝ 11-20, փխրեցնող թաթիկներ՝ 50-1000, ծանր ցաքանի ատամներ՝ 15-30, հարթահատ - խոր փխրեցուցիչի թաք՝ 31-46, արմատաքանդ խոփեր՝ 50-60 ԿՊա:

Թաթիկների էներգետիկական ցուցանիշների վրա զգալի ազդեցություն ունի մշակության խորությունը (նկ. 4.18): Ինչպես ցույց են տալիս փորձերի արդյունքները, մշակության խորության մեծացման հետ մեծանում է թաթիկի քարշային  $R_x$  դիմադրությունը, փոքրանում է խորացման գործակիցը  $t_{\psi}$ ,  $R_z$ -ը փոքրանում է սլաքածն թաթիկների մոտ և աճում՝ փխրեցնող թաթիկների մոտ:



Նկ 4.18 Հողի դիմադրության  $R_x$  և  $R_y$  բաղադրիչների և  $\psi$  անկյան  
փոփոխությունը կախված մշակության խորությունից՝ և  
հարթահաստ քարիկ,  
փակուցնող քարիկ :

Հակագրման  $R_x$  բաղադրիչի մեծացումը բացատրվում է ըստ խորության և անլուրի աճով:

**Սկավառակների** ուժային բնութագիրը ուսումնասլիքին անհրաժեշտ է հարթ և սփերիկ օրգանները դիտարկել առանձին - առանձին:

**Հարթ սկավառակը** օգտագործվում է շարահերկ կուլտիվատորների վրա առաջին կուլտիվացիայի ժամանակ և անլուրի կատային ճաքերի սահմանափակման համար, գործանների վրա առը ուղղաձիգ հարթության մեջ կտրելու և այլն: Հարթ սկավառակի հաստությունը ընտրվում է  $\delta=0.01D$  արտահայտությունից, ուստի ունենալով կտրադ եզրի սրման անկյունը՝ կատարվում է հաղու տրամաւ իր վերցնելով տրորման դիմադրության և շփման ուժերի ազդեցությունը: Փորձելով ապացուցված է, որ շփման ուժերը ըստ մեծության անհաման են, այլ պատճառով սկավառակի վրա ազդում է հակագրման առաջանաւ և հողի տրորման դեֆորմացիայից և ազդում է հաղու հետ հպման գոտու միջնակետում ուղղված շառավղով: Հակագրման  $R_x$  բաղադրիչը՝ քարշային դիմադրությունը նպաստում է

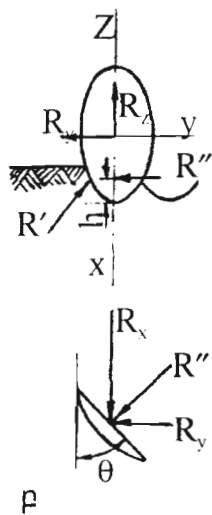
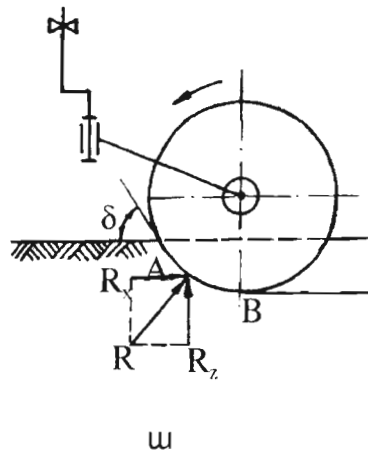
սկավառակի պոտումանը  $R_x = \frac{a}{2}$  մոմենտով. իսկ  $R_y$  բաղադրիչը՝ ծգություն է սկավառակին լուրջ իրավակարար դիմադրության 40-80 ԿԴա սահմաններում փոփոխության դեպքում՝  $R_y = 0.7-2.2$  կմ.  $R_z = 1.2 R_x$ : Կտրված եզրով դանակի քարշային դիմադրությունը փոքր է՝ 18-25 %. Եանակի քարշային դիմադրության վրա զգայի ազդեցությունը ունի կինեմատիկական ոնքիմի ցուցիչը՝  $\lambda = \frac{\omega r}{V_m} = (0-1)$ : Մեծացնելով  $\lambda$

0-ից մինչև 1,  $R_x$ -ը փոքրանում է 2.5 անգամ:  $\lambda$ -ի թվական արժեքը կախված է դանակի կառուցվածքից՝ և ուղի վիճակից՝  $\lambda = 1.02-1.098$  համար սայլով դանակի համար, 1.08-1.31՝ ակսոված և 1.045 - 1.165՝ կտրված սայլով դանակների համար: Յուրաքանչյուր իրանից առաջ, դանակի տեղակայումը իշեցնում է քարշային դիմադրությունը՝ 3.8-6.5 %-ով. լավացնում առի շրջումը, ընթացքի կայունությունը և բուսական մնացորդների ծածկումը: Խորիսուր է տրվում յուրաքանչյուր իրան համայնել սկավառակային դանակով (4.19 ա):

**Սփերիկ սկավառակը** աշխատանքի գործքնացում իր վրա է վերցնում սայրի, երեսակի և բանվորական մակերևույթի դիմադրությունները:

Կատարված հետազոտություններով հաստատվել է, որ սկավառակի սայրի և բանվորական մակերևույթի վրա ազդու դիմադրության էլեմենտար ուժերը չունեն մի բնոլիանոր համազուր, սակայն նրանց կարելի է բերել երկու խաչվող ուժերի  $R_x$  և  $R_y$  կամ դինամիկ (ուժի և մոմենտի) (Նկ. 4.19):

Ընդունվում է, որ  $R_x$  ուժը անցնում է սկավառակի պտտման առանցքով, իսկ  $R_y$  ուժը գուգակեր է պտտման առանցքին և գտնվում է ակուսի հատակից  $a/2$  հետափորտյան վրա: Կիրառական տեսակետից նպատակահարմար է երկու խաչվող ուղղղներից անցնել երեք ուժային քարտագիների՝  $R_x$ ,  $R_y$ ,  $R_z$ , որից հետո գծային ուժաչափման երանակով սրացելով քարշային դիմադրությունը՝  $R_x$  սրացել նաև  $R_y$  և  $R_z$  բաղադրիչների էմպիրիկ կապի միջոցով՝  $R_y = nR_x$ ,  $R_z = mR_x$ , ( $n = 0.76-1.24$  երեսպարիչների համար,  $m = 0.12-1.2$  զարաների համար,  $m = 0.37-0.76$  երեսպարիչների համար) և  $m = 0.76-1.57$  զարաների համար:



Նկ.4.19 Հարթ (ա) և սփերիկ (բ) սկավառակների ուժային բնութագիրը

ո-ի բարձր արժեքները վերաբերվում են փոքր խորությանը և գրտիի մեծ անկյանը, իսկ ո-ի մեծ արժեքները՝ մշակության մեծ խորությանը և գրտիի փոքր անկյանը):

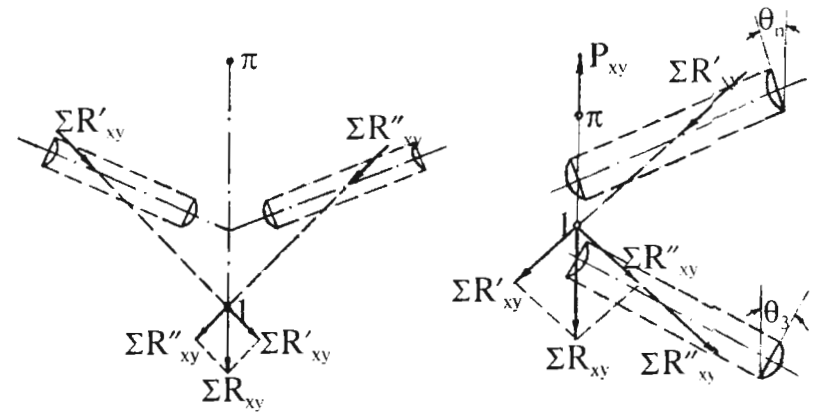
#### Սկավառակային մարտկոցների հավասարակշռությունը

Մարտկոցների սիմետրիկ տեղակայման դեպքում հավասարակշռության պայմանները բավարար են՝ աջ և ձախ մարտկոցների համարոր հակագործությունները տալիս են նոր համարոր, որն անցնում է տրակտորի հետ կցորդման կետով և գտնվում է ազրեգատի սիմետրիայի առանցքի վրա:

Դիմամիկայի տեսակետից առավել անկյուն վիճակում են ոչ սիմետրիկ մարտկոցները (այդքաղութական ցաքանները), սակայն ճիշտ ընտրելով առջևի և հետևի մարտկոցների գրտիի անկյունները ( $\theta_0, \theta_3$ ) հնարավոր է հասնել ազրեգատի շարժման հավասարակշռությանը՝ քարշի գլխը ուղղել համագործ  $R_{xy}$  ուղղությամբ (նկ.4.20):

Մարտկոցների հավասարակշռության առաջին պայմանը  $\theta_3 > \theta_0$  անհավասարությունն է, որը հանգեցնում է  $R_{xy} = R_{xz}$  հավասարությանը:

թե ուղղությամբ, իւ մեծությամբ:



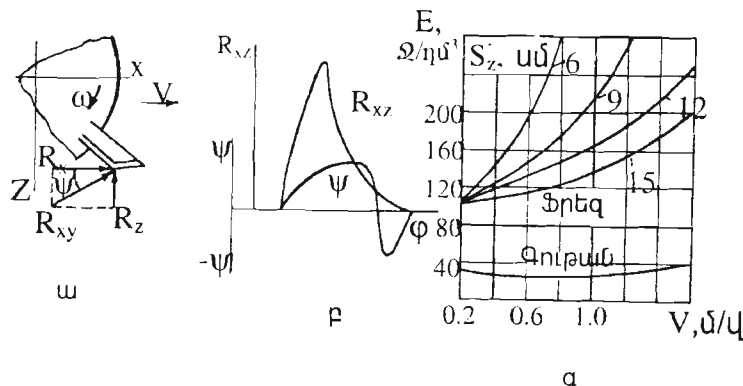
Նկ.4.20 Սկավառակային մարտկոցների հավասարակշռության պայմանները՝ ա- սիմետրիկ մարտկոցներ, բ- ոչ սիմետրիկ մարտկոցներ

Ուղյաձիգ հարրության մեջ  $R''$  ուժը (նկ. 4.19բ) կիրառված է մարտկոցի առանցքից ներքև, որի հետևանքով ստեղծված պտտող մումնետը՝  $R''(r-a/2)$  ծգություն է խորացնել մարտկոցի այն ծայրը, որին սկավառակը գոգավորությամբ է ուղղված և դուրս հանել այն ծայրը, որին ուղղությունը է ուղղված:

Մարտկոցի ամբողջ երկարությամբ մշակության հաստատուն խորություն ապահովելու համար խորացմանը ծգությունը ծայրը շրջանակից կախում են ավելի բարձր, քան մարտկոցի հակառակ կողմը:

**Հողուրագների ուժային բնութագիրը** կախված է կիմնեմատիկական ուժիմի ցուցիչից, դանակի ձևից և հողային պայմաններից: Հողուրագի դանակի վրա ազդող էլեմենտները ուժերի համագործը  $R_x$  (նկ.4.21) շարժման ուղղության հետ կազմում է ψ անկյուն: Ինչպես համագործ այնպես էլ ψ անկյունը կախված թմբուկի պտտման անկյունից  $\phi=\omega t$ , փոփոխական են: Ընդ որում երես  $R_x$  ուժը աճում է գրադից մինչև  $R_{xz}^{\max}$  և իջնում մինչև զլոյական արժեքի. ապա ψ անկյունը փոփոխական է  $+12^{\circ}$ -ից մինչև  $-15^{\circ}$ , դրական է, ելք  $R_x$  ուժը

տուլված է վեր և բացասական է. Եթի այդ տժու տուլված է, ներքեւ : Թմբուկի պտտման ընթացքում, եթի դանակը վերից վար մտնում է հողի մեջ, սկսում է ածել  $R_x$ , ուժը, այնուհետև  $\alpha=15-25^\circ$  տակ հասնում է, ամենամեծ արժեքին, որից հետո պակաս ինտենսիվությամբ նվազում, դառնում է զրո:



Նկ.4.21 Հողուրագի ուժային և էներգետիկական բնույթը՝

ա- դանակի վրա ազդող ուժերի սխեման,

բ-  $R_x$  ուժի և  $\psi$  անկյան փոփոխման բնույթը՝ կախված թմբուկի պտտման անկյունից,

գ- տեսակարար աշխատանքի փոփոխության գրաֆիկը գործանով Վարի (a=20սմ) և դանակի տարրեր ճատուցումով հողուրագի աշխատանքի դեպքում

Համագործի  $R_x$  բարձրագույն ունի լնթացքի ստրուքյուն, իրաւում է մերենային և փոքրացնում լնդիանուր քարշային դիմայլությունը,  $R_x$  բաղադրիչը դիմադրում է դանակի խորանարդն իող մտնելուց և աջակցում է հողից լրաց գործությունների ընթացքում:

Կտրման տեսակարար դիմադրությունը կախված է հողի ֆիզիկա-տեխնոլոգիական հատկանիշներից, մատուցումից և կտրման արագությունից: Փոքր մատուցման դեպքում մեծ է տեսակարար դիմադրությունը, քանի որ մեծ է նաև հողի փարեցումը: Հողի վրա ծախսված

տեսակարար էներգատարարության փոփոխման բնույթը գրաֆիկութեն տրված է նկ.4.21-ում: Ինչպես ցույց է տալիս բերված տվյալների

վերլուծությունը. Մեխանիկարար աշխատանքը կտրուկ մնանալու և մատուցման փոքրացման և մերենայի արագությանը մնանալու հետ գործնքաց. այդ պատճառով կողուրագի բանվորական արագությունը համեմատաբար մեծ չէ՝ 4-5կմ/ժ: Գրաֆիկի տվյալներից երեսում է նաև, որ գործանով վարի էներգատարարությունը զգալիորեն փոքր է հողուրագի հողի մշակության համեմատարարամբ:

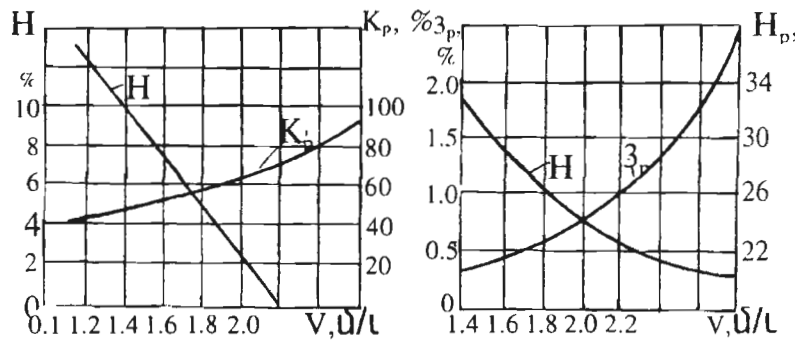
#### 4.8 Հողի մակերեսային մշակության բանող օրգանների աշխատանքի ռեժիմը և որակը

Մակերեսային մշակության ռեժիմը որոշվում է հողի մշակության խորությամբ և մերենայի շարժման արագությամբ: Ըստու դեպքերում արագության մեծացումը հանգեցնում է հողի փխրեցման որակի լուսացմանը (նկ.4.22ա) և կտրտված, հանված և խորով ծածկված մոլախտերի քանակի ավելացմանը, սակայն միջարային տարածության մշակության ժամանակ մեծանում է նաև կոլտուրական բոյսերի կտրտման և խորով ծածկման աստիճանը:

Նշներով նկ.4.22-ի տվյալներից՝ խորհուրդ է տրվում համատարած կոլտիվացիան կատարել 9-15, իսկ միջարային մշակությունը՝ 7.5-8 կմ/ժ արագությամբ՝ առաջին կոլտիվացիայի ժամանակ օգտագործելով բուսապաշտպան սկավառակներ և վահանիկներ:

Այլ շարք բանով օրգանների աշխատանքը ժամանակ արագության մեծացումը հանգեցնում է մշակության խորության փոքրացմանը: Նման դեպքերում նախապես քարիկների տեղակայման խորությունը ավելացվում է 1-2սմ-ով:

Հացահատիկային դաշտերի ցածրանման ժամանակ արագության մեծացումը՝ 6-10կմ/ժ-ով որոշ շափով փոքրացնում է ծիլերի վնասման աստիճանը. սակայն արագության ավելի մեծացումը հանգեցնում է ատամի լնթացքի խորության կայունացյան վատացմանը: Անզիգզագ շրջանակով ցածրանմերը (ցանցածեն) թույլ են տալիս շարժման արագությունը քարձրացնել մինչև 13կմ/ժ: Համաձայն ազդութեխնիկական պահանջների մշակության խորության տարածումը շպետք է գերազանցիլ ±1սմ, իսկ թմբիկի բարձրությունը՝ 4սմ:



Նկ. 4.22 Հարբահատ թարիկմերով համալրված կուտիվատորի աշխատանքի որակի փոփոխությունը՝ կախված շարժման արագությունից.  
ա- համատարած մշակության ժամանակ,  
բ- միջջարային մշտկության ժամանակ ( $H_p$  չկոտրված մոլախոտերի քանակը, %,  $K_p$ -հողային նմուշի 25մմ-ից փոքր ֆրակցիայի գանգվածի հսրաբերությունը ընդհանուրին, %,  $3_p$ -հողով ծածկված մշակաբույսերի քանակը շարքում, %):

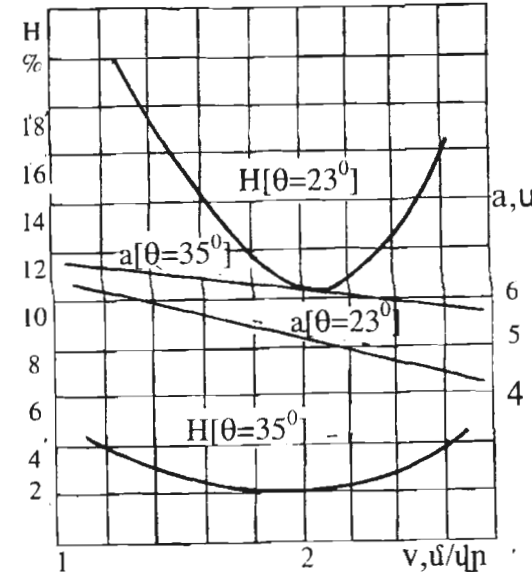
Էռոզիայի ենթակա դաշտի խոզանի վնասվածությունը չպետք է անցնի 15%-ից:

Աշխատանքի սկզբունքից կախված ոլոշակարեն այլ են սկավառակային գործիքներին ներկայացվող պահանջները: Այսպես, ակրսահատակի թմբիկների բարձրությունը չպետք է գերազանցի  $h_i \leq 0.4a$  գույքանների մոտ,  $h \leq 0.5a$  երեսվարիչների մոտ և  $h \leq a$  ցաքանների մոտ, սակայն դրա հետ մեկտեղ չպետք է խախտել  $b \geq 1.5a$  պայմանը, որտեղ  $b$  հարևան սկավառակների միջև հեռավորությունն է: Ազդատեխնիկական պահանջներին բավարարող գրոհի անկյան ընտրությունը պետք է կատարել համաձայն  $\theta=f(D,b,h)$  ֆոնկցիայի նոմոգրամի (նկ. 4.15):

Փորձելով հաստատված է, որ մոլախոտերի (խոզանի) կտրյաման աստիճանը կախված է սկավառակի գրոհի անկյան և շարժման արագության մեծություններից:

Աշխատանքի բավարար որակ ստացվում է գրոհի անկյան մեծ արժեքների դեպքում (նկ. 4.23), մինչդեռ արագության մեծությունը

պետք է լինի միջին հաշվով 7կմ/ժ, ոչ ավելի և ոչ պակաս, առավել ևս, որ արագության հետագա մեծացումը հանգեցնում է խոյլի շպրտման ազդությունը դրա մեծացմանը:



Նկ. 4.23 Չկոտրված խոզանի քանակի  $H$  և սկավառակի ընթացքի խորության և փոփոխությունը՝ կախված շարժման արագությունից և գրոհի անկյունից  $\theta$ :

Հողուրագի աշխատանքի որակը բնութագրվում է հողի փխեցման աստիճանով (մատուցումը) և մշակության խորության համաչափությամբ ( $h_i$ ): Ազդատեխնիկական պահանջների համաձայն ակրսահատակի թմբիկների բարձրությունը՝  $h_i \leq 0.2a$ : Փորձերով հաստատված են մատուցման հետևյալ սահմանները՝ ճմակալված հողերի մշակության համար՝ 3-6 սմ, հենավար հողերի համար 10-15 սմ: Առաջարկված մեծության մատուցման ապահովման համար անհրաժեշտ կիմեմատիկական սեժմի ցուցիչը որոշվում է (4.22) արտահայտությամբ :

## 5.Անիվներ և գլանվակներ

Անիվները և գլանվակները մեքենաների օրգանների դասակարգման համակարգում գտնվում են նոյն դասում՝ բայց իրենց երկրաչափական ձևի (որպես գլորման մակերևույթներ) և բայց հողի վրա ներազդան բնույթի: Դրա հետ մեկտեղ անիվները մեքենայի օժանդակ օրգաններ են, գլանվակները՝ բանող:

Անիվները լինում են տանող և տարվա, կոշտ օղագուտով և օղալից: Տանող անիվները պատասխան մոմենտ ստանում են էներգիայի աղբյուրից, տարվող անիվների գլորմանը տեղի է տանում իր առանցքի վրա կիրառված հրող կամ քարշող ուժի ազդեցության տակ: Տարվող անիվները կատարում են հենարանի դեր, որոշ դեպքերում նաև շարժաբերի դեր, անվանվելով նաև տարվող- բանող: Ըստ օղագուտու անիվները լինում են հարթ, ուռուցիկ և գոգավոր: Ուռուցիկ օղագուտով անիվները ներազդան են հողի վրա ինչպես սեպը և հողի մեջ ավելի խոր են մտնում:

Գոգավոր օղագուտու դեպքում անիվը փոքր խորությամբ է խրվում հողի մեջ, սակայն ցեխուտքում է ավելի մեծ հավանականությամբ:

Շնորհիվ հողի վրա փոքր տեսակարար ճնշման ազդեցության ներկայում լայն կիրառություն են ստանում օղալից անիվները: Չարժման ժամանակ օղալից անիվները կատարում են նաև ամորտիզատորի դեր, որը և փափկացնելով հարվածները բույր է տալիս մեքենան շարժել բարձր արագությամբ: Օդի ճնշումը անիվում տատանվում է 85-250 ԿՊա:

Գլանվակները բանող օրգաններ են և նախատեսված են հողի մշակության համար՝ հողաշերտը խտացնելու, կոշտերը մանրացնելու, դաշտի մակերեսը հարթեցնելու, հողի մազանոթերի վերականգնման և հողի ու սերմի (սածիլի) համան մակերեսի մեծացման համար: Գլանվակները օգտագործվում են ինչպես մինչև ցանքը, այնպես էլ ցանքից հետո և բայց օղագուտու երկրաչափական ձևի լինում են հարթ գլանածն, գոգավոր, ուռուցիկ և կոնական (սածիլատնկիշների մոտ) մակերևույթի: Հողի համատարած գլանվակները լինում են ինչպես

հարթ գլանածն, այնպես էլ ոչ հարթ՝ օղախթանավոր, օղավոր, օղատամնավոր ցաքանային:

Հարթ գլանածն գլանվակները լինում են ջրալեցուն՝ 500դմ<sup>3</sup> տարալությամբ, 700մմ տրամագծով և 1400մմ երկարությամբ: Տեսակարար ճնշումը կարգավորվում է ջրի քանակով և տատանվում է 23-60մ/սմ: Այս գլանվակները կատարում են միայն հողի վերին շերտի խտացում: Ոչ հարթ մակերևույթի գլանվակները խողի խտացնում են 23մ/սմ տեսակարար ճնշումով մինչև 7 սմ խորությամբ և փխրեցնում վերին շերտը մինչև 4 սմ խորությամբ: Գլանվակների վրա տեղակայելով բեռնարկու՝ հողի խտացման ճնշումը կարգավորվում է 23-47մ/սմ սահմաններում:

### 5.1 Հիմնական պարամետրերի հիմավորումը

Անիվների և գլանվակների հիմնական երկրաչափական պարամետրերը, որոնք կանխորակում են տեխնոլոգիական գործընթացի որակը, երկուսն են՝ տրամագիծը և օղագուտու լայնությունը: Ընդհանրապես գլորման մակերևույթները շարժման ժամանակ հանդիպելով կոշտի, քարի կամ որևէ խոշոնդոտի, պետք է այն ոչ թե իրեն առաջ, այլ սեղմեն հողի մեջ: Նկարագրված գործընթացի իրականացնելը նաև կազմում են մի շարք արտաքին ազդակներ, որոնցից ամենակարևորը հողի ֆիզիկա-տեխնոլոգիական հատկանիշներ են:

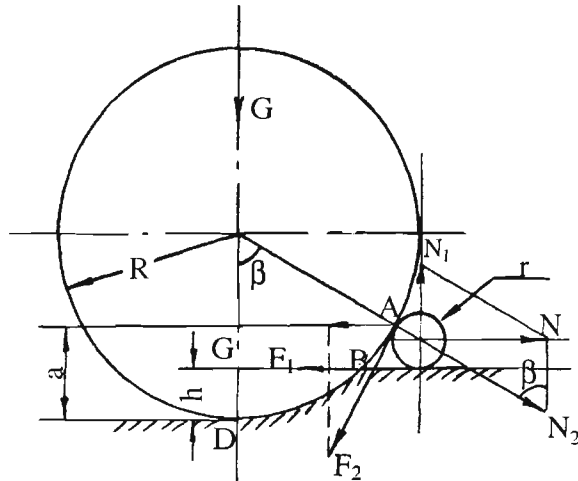
Դիտարկենք առաջադրված խնդիրը: Խոշընդոտը շառավիղով անիվի (R շառավիղով) հետ հպվելով A կետում (նկ.5.1) իր վրա է վերցնում գետնի N<sub>1</sub> և N<sub>2</sub> հակդրումները, որոնց համագորը N աշխատում է դուրս իրել: Կոշտի դուրս իրմանը արգելակում են  $\bar{F}_1$  և  $\bar{F}_2$  շփման ուժերը: Այդ պայմանը ստացված է սկավառակային դանակների բաժնում և արտահայտվում է  $\operatorname{tg}\beta = \operatorname{tg}\varphi_1 + \operatorname{tg}\varphi_2$  բանաձևով, այն տարրերությամբ, որ ներկա օրինակում համաձայն նկ.5.1

$$\cos\beta = \frac{R - h - r}{R + r} \text{ ուստի } \operatorname{tg}\left(\arccos\frac{R - h - r}{R + r}\right) = \operatorname{tg}\varphi_1 + \operatorname{tg}\varphi_2$$

որտեղից՝

$$\arccos \frac{R-a}{R} = \arctg(\tg\varphi_1 + \tg\varphi_2),$$

$$R = \frac{a}{1 - \cos \arctg(\tg\varphi_1 + \tg\varphi_2)}$$



Նկ. 5.1 Գլանվակի (անիվի) պարամետրերի հիմնավորման սխեմա

Գլանվակի լայնությունը որոշվում է տվյալ հողային պայմանների համար հողի բույլատրելի դեֆորմացիայի մեծությունից: Գլանվակը հողում առաջադրված հ մեծությամբ լնկղմվելուց տրաման է (մակ. BCDx b) ծավալի հող: Գլանվակի գլորման գործընթացը լիտարկելով որպես կայունացված՝ կարելի է հողի ծավալային տրորման  $q_0$  և գործակիցը արտահայտել հետևյալ բանաձևով

$$q_0 = \frac{G}{BCD \cdot b}: \text{ Սյուս կողմից տրորված մակերեսն իրենից ներկա-$$

$\beta = \arccos \frac{R-h}{R}$ : Այսպիսով, գլանվակի լայնությունը կորոշվի հետևյալ բանաձևով

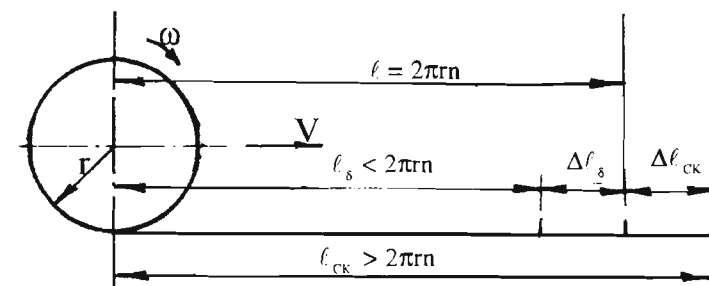
$$b = \frac{2G}{q_0 R^2 \left( \frac{\pi \beta}{180} - \sin \beta \cos \beta \right)} \quad (5.2)$$

Հողի համատարած գլանվակման գլանվակների լայնությունը լնտրվում է կախված տեղանքի թերությունից, լանջում  $b=1.0\text{m}$ , Հարթավայրում՝  $b=2\text{m}$  և հողի խտացման չափը կարգավորվում է գլանվակը լրացոցից բեռնավորելով:

Սածիլատնկիշների գլանվակման լայնությունը նպատակահարմար է որոշել ստացված բանաձևով (5.2), ընդ որում ընդունվում է, որ անիրաժեշտ ( $q_0=1-2 \text{ kN/m}^3$ ) սածիլ մատուցող բանվորուիների միջին կշիռը  $G=70\text{kN}$ : Հողի խտացման մեծության հ կարգավորմանը կատարվում է գլանվակները խոփիկների նկատմամբ տեղաշարժով:

## 5.2 Գլորման ռեժիմներ

Գլանվակների գլորման ռեժիմների ուսումնասիրության համար անիրաժեշտ է կատարել նրանց դասակարգումը՝ գլորում սակրով, գլորում տեղապտույտով, գլորում առանց տեղապտույտի և առանց սահքի (նկ.5.2):

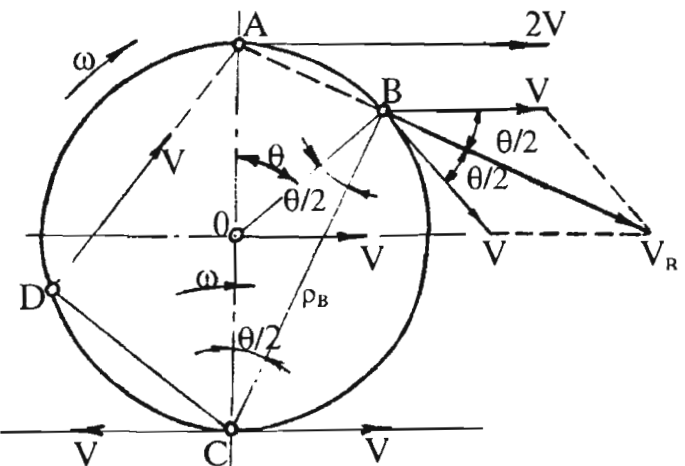


Նկ.5.2 Անիվի (գլանվակի) գլորման ռեժիմի բացատրման սխեմա

Առանց սահքի և տեղապտույտի անիվի (գլանվակի) գործան ժամանակ յուրաքանչյուր պտույտից հետո անցած ճանապարհի հավասար է օդագոտու երկարությանը՝  $l=2\pi r$ :

Սակայն գործան դեպքում անիվի անցած ճանապարհի երկարությունը ավելին է, քան օդագոտու երկարությունը  $l_c > 2\pi r$ , իսկ տեղապտույտի դեպքում ընդհակառակը՝ անցած ճանապարհի մեծությունը փոքր է օդագոտու երկարությունից  $l_c < 2\pi r$ :

Անիվի գործանը առանց սահքի և տեղապտույտի կարող է տեղի ունենալ անվահետքի կազմավորումով և **առանց անվահետքի:** Առանց անվահետքի անիվի գործան ժամանակ (նկ.5.3) օդագոտու յուրաքանչյուր կետ կատարում է քարտ շարժում՝ մասնակցելով միաժամանակ տեղափոխական և հարաբերական տեղափոխություններին: Դիտարկվող ռեժիմի դեպքում ցանկացած կետի տեղափոխական շարժման  $V$  արագությունը լստ մեծության հավասար է հարաբերական արագությանը, լստ ուղղության նրանք տարբեր են՝ բացառությամբ  $A$  կետում, որտեղ նրանք հավասար են նաև լստ ուղղության:



Նկ. 5.3 Առանց սահքի և տեղապտույտի գլորվող անիվի կիմնմատիկան

Օդագոտու  $C$  կետում հարաբերական և տեղափոխական արագությունները ուղղված են հակառակ ուղղությամբ, որի հետևանքով

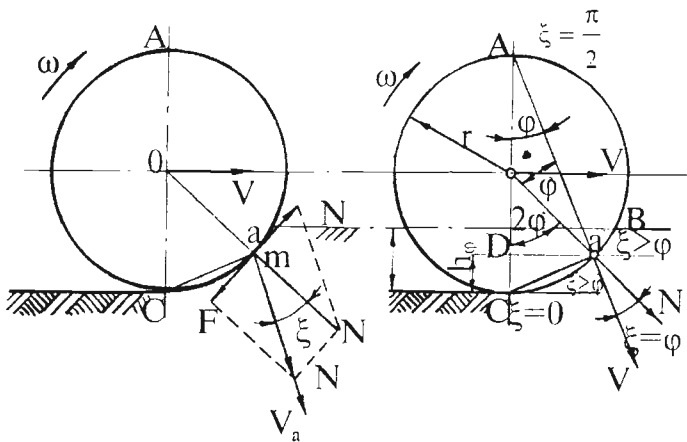
յուրաքանչյուր ակնքարրում այդ կետի բացարձակ արագությունը զրո է և լստ կարգան արագությունների ակնքարրային կենտրոնն է: Օդագոտու մյուս կետներում բացարձակ արագությունը փոփոխվում է լստ մեծության և ուղղության, ու հավասար է անիվի պտտման անկյունային արագության առ և  $C$  կետից ունեցած նրանց հեռավորության թափանցիկացնելու համար անհրաժեշտ է այդ կետը միացնել  $C$ -ին, ստանալ պտտման շառավիղ - վեկտորը թափանցնելու համար անիվի պտտման ուղղությամբ:

#### Գլորում անվահետքի կազմավորումով

Ընդունենք, որ ծանրաթյան ուժի տակ անիվը հողում թողնում է հիորության անվահետքը (նկ.5.4): Դիտարկենք անիվի և հողի փոխագեցության խնդիրը: Գործան գործընթացում անիվի օդագոտու և կետու կատարելով և շառավիղ - վեկտորին ուղղահայաց ուղղությամբ բացարձակ տեղափոխությունը  $V_s$ ,  $N$  ոժով ճնշում է գործադրում ուղղային մասնիկի վրա: Բաղադրելով  $N$  ոժը ա կետի բացարձակ արագության  $V_s$  և օդագոտու շոշափութիւնը ուղղությամբ՝ կստանանք  $\bar{N} = \bar{N}_v + \bar{N}_T$ : Շոշափութիւնը՝  $N_T = N \operatorname{tg} \xi$  աշխատում է ուղղային մասնիկին տեղաշարժել օդագոտու մակերևույթի վրայով, նրան արգելակում է շփման ոժը  $F = N \operatorname{tg} \varphi$ :

Քանի դեռ  $\xi < \varphi$  մասնիկը չի սահում օդագոտու մակերևույթով և շարժվում է ա կետին կպած  $N_v$  ուժի ազդեցությամբ և  $V_s$  ուղղությամբ:  $\xi > \varphi$  պայմանի դեպքում  $N \operatorname{tg} \xi > N \operatorname{tg} \varphi$ ,  $N_T$  Բաղադրիչը հաղթալարում է շփման  $F$  ոժը և ուղղային մասնիկին սահեցնում օդագոտու վրայով՝  $N_T - F = N(\operatorname{tg} \xi - \operatorname{tg} \varphi)$  ոժով: Այս դեպքում մասնիկը սեղմվում է հողային գանգվածի մեջ՝  $N$  և  $N_T - F$  ոժերի ազդեցության տակ:

$\xi = \varphi$  կետում ունենք ուղղային մասնիկի անկայուն հավասարակշռության վիճակ, որից դեպքի օդագոտու վերին մասը  $aB$  մասնիկը սահում է դեպի ներք, առ գոտում մասնիկը չի սահում:



Նկ.5.4 Առանց սահքի և տեղապտույտի, բայց անվահետքի կազմավորումով անխվի սխեմա՝

ա - Հողի մասնիկի վրա ազդող ուժերի որոշման սխեմա,

բ - օդագոտու շոշափողի ուղղությամբ մասնիկի սահքի որոշման սխեմա

Մասնիկի սահքը օդագոտու վրայով հանգեցնում է հողի փոշացմանը և անխվից առաջ բնդիկի առաջացմանը, որը ցանկալի չէ, այդ պատճառով պետք է ձգտել, որ գլանվակի (անխվի) աշխատանքի ժամանակ անվահետքի խորությունը չգերազանցի  $h_{\phi} = r - r \cos 2\phi = 2r \sin^2 \phi$  մեծությանը:

**Գլորում սահքով:** Նման ռեժիմով գլորման դեպքում անխվի անցած ճանապարհը  $l_{ek}$  կավելին է, քան օդագոտու երկարությունը՝  $l_{ek} > 2\pi r$ : Անխվի սահքով գլորմանը ակադ. Վ.Պ. Գորյաչկինը առաջարկում է դիտարկել պայմանական՝ ավելի մեծ շառավղով, առանց սահքի գլորմով, որը մեկ պտույտի ժամանակ անցնում է այնքան ճանապարհ, որքան պայմանական անխվի երկարությունն է, այսինքն՝  $l_{ek} = 2\pi(r + \Delta r)$ : Այս դեպքում անխվի սահքի աստիճանը արտահայտվում է սահքի գլուծակում՝

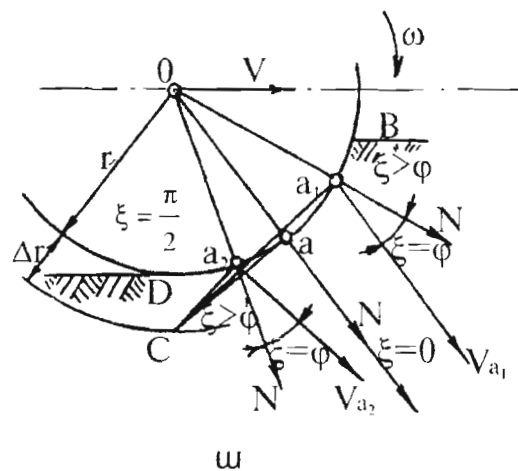
$$\varepsilon = \frac{2\pi(r + \Delta r) - 2\pi r}{2\pi(r + \Delta r)} = \frac{\Delta r}{r + \Delta r} = \frac{r_k - r}{r_k} \quad (5.3)$$

Որտեղ՝  $r_k = r + \Delta r$  անվանվում է անխվի պտտման կիմեմատիկական շառավիր: Դժվար չէ նկատել, որ անխվի պտտման ակնքարտային կենտրոնի գտնվում է տրուածիք առանցքի՝  $\hbar = \Delta r$  խորության վրա (և կետում): Դիտարկվող դեպքի համար անխվի սահքի գլուծակիցը փոփոխվում է  $0 \rightarrow 1$  սահմաններում, քանի որ  $\Delta r = 0 \rightarrow \infty$  (առանց սահքի և տեղապտույտի գլորման ռեժիմները): Այժմ դիտարկենք անխվի և հողային մասնիկների փոխազդեցորյան հարցերը: Անվահետքի հմեմության պայմաններում օդագոտին BD մասով հպված է Խորին, իսկ անխվն իր բացարձակ շարժումը կատարում է պտտման C ակնքարտային կենտրոնի նկատմամբ: Պտտման շառավիր վեկտորներից մեկը՝ օդագոտուն ա կետում շոշափող է (Ca) (նկ.5.5ա): Այս կետում բացարձակ արագությունը  $V_a$  և նորմալ ուժը  $N$  ունեն նույն ուղարկումը, կնշանակի  $\xi = (\hat{N}_1 V_a) = 0$ , որեմն հողի մասնիկը օդագոտու վրայով չի սահում  $\xi < \phi$ : Ակադ. Վ. Ա. Ժելիգովսկին այս կետը անվանել է «հիանալի»: Դժվար չէ նկատել, որ տրուածիք տրամագծի վելիքն և ներքեւի ծայրերում  $\xi = 90^\circ$ , նշանակում է օդագոտու վրա և կետից դեպի վեր և դեպի ներք է  $\xi = 0-90^\circ$  և երկու նոր կետերում՝  $a_1$  և  $a_2$ , ստանում է նաև  $\xi = \phi$  արժեք: Օդագոտու  $a_1 B$  և  $a_2 D$  ալեղների վրա  $\xi > \phi$ , որի հետևանքով հողի  $m$  մասնիկների կատարում են սահք:

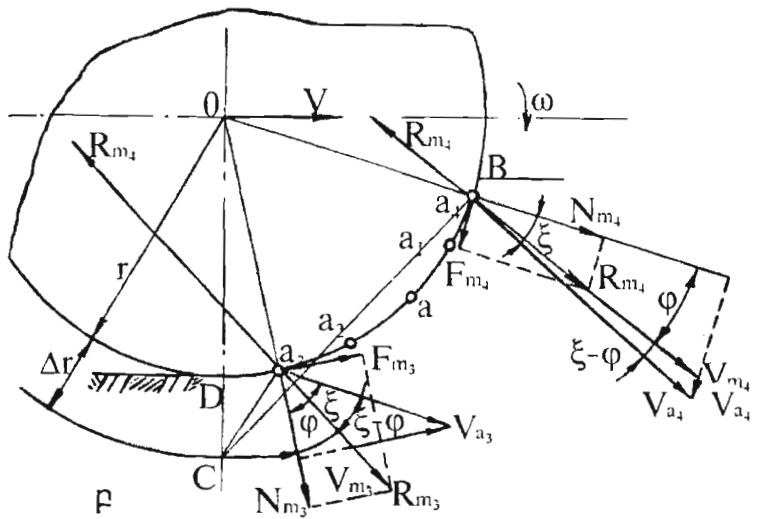
Հողի դեֆորմացիայի գլուծներացի ուսումնասիրության նպատակով վերցնենք երկու միջանկյալ կետեր  $a_3$  և  $a_4$ , որտեղ  $\xi > \phi$ . Իսկ  $F_{max} = Ntg \phi$ : Նշված կետերում  $F$  և  $N$  ուժերը գումարելով՝ ստանում ենք օդագոտու հակագուման համազոր ուժերը  $\bar{R}_{m3} = \bar{N}_{m3} + \bar{F}_{m3}$  և  $\bar{R}_{m4} = \bar{N}_{m4} + \bar{F}_{m4}$ :

Տարածության մեջ  $a_3$  կետը շարժվելով  $V_{a3}$  ուղարկյամբ՝ ազդում է մասնիկի վրա  $R_{m3}$  ուժով և տեղաշարժում  $R_{m3}$ -ի ուղարկյամբ: Այսպիսով,  $V_{a3}$  և  $V_{m3}$  արագությունները շենթած են իրարից  $\xi - \phi$ . անկյան շափով, որի հետևանքով  $a_3$  կետը սահում է  $m$ , կետի վրայով:

Այժմ սրացենք  $V_{a_1}$  և  $V_{m_1}$  բացարձակ և սակայի արագությունների մեծությունները:



$\omega$



Նկ. 5.5 Սահրով գլորվող անիվի սխեմա

Բացարձակ  $V_a$  արագության մեծության սրչման համար փորձնական ճանապարհով, համապատասխան չափումներից ( $I_{ek}$ ) որշում ենք  $\Delta t$ -ի մեծությունը, ապա շառավիլ վեկտորը ը և նրան ուղղահայաց՝ սրանելի

արագության ուղղությունը: Այնուհետև, սրաշելով գլանվակի համրնքաց  $V_n$  և շրջանագծային  $V_0 = \omega(r + \Delta t)$  արագությունները ( $\omega = 2\pi/T$ , որտեղ  $T$  - մեկ իրական պտույտի ժամանակն է) սրաշփում է  $\bar{V}_{a_1} = \bar{V}_n + \bar{V}_0$ : Ուստեղապահ Արագության մեծությունը, (նկ. 5.5ը) նրա վերջից յիշեցվում է ուղղահայաց  $N_{a_3}$  նորմալին: Այլ ուղղահայացը հատում է  $R_{m_3}$  տժից  $V_{m_3}$  մեծությունը, որը ու կետի բացարձակ արագությունն է:  $V_{a_3}, m_3$  վեկտորը օդագուտու ա, կետի սակրի գծային արագությունն է ու, կետի նկատմամբ:

Նման կարգի կառուցումը կատարվում է այն բանի հիմա վրա, որ  $V_{a_1}$  և  $V_{m_3}$  արագությունների պլայեկցիաները  $N_a$ , նորմալի վրա իրար հափառար են, հակառակ դեպքում ու, մասնիկը կամ պետք է հեռանար օդագոտոց, կամ մտներ նրա մեջ, որը հնարավոր չլ: Եսոյն կարգով կառուցելով  $a_4$  և  $m_4$  կետերի հետ կապված վեկտորները (նկ. 5.5ը) ստացվում է, որ  $a_4$  և  $a_3$  կետերի արագությունները ուղղված են իրար նկատմամբ և հակառակ ուղղահայաց սակրերի մեծությունները:

Այսպիսով սահրով գլորվող անիվի օդագուտու վրա ստացվում են 3 գոտիներ՝  $D_{a_2}$  սակրի,  $a_2 a_1$  կցման և  $a_1 B$  տեղապտույտի գոտի:

Վերլուծելով Խոյի հակագլման  $R_{m_1}$  և անիվի գլորման փոխազդեցությունը՝ դժվար չէ նկատել, որ «հիանալի» և կետից ներքեալ հակագլումը  $R_{a_1}$  օգնում է անիվի գլորմանը, իսկ վերև՝  $R_{m_3}$  դիմադրում գլորմանը: Բացի այլ տարրեր գոտիներում հակագլումների տարրեր ուղղությամբ ազդելով օդագուտու մի մասում Խոյը խոտանում է, մյուս մասում ճգվում-փխրեցվում, որի հետևանքով անվահետքում առաջանում են ճաքեր, որոնց չափերը կախված են անիվի տրամագծից, բնույթ, արագությունից և Խոյի ֆիզիկա-տեխնոլոգիական հատկանշներից:

#### Գլանվակի շարժման արագությունը

Հոյի գլանվակման տեխնոլոգիական գործընթացների որակի վրա զգալի ազդեցություն է գործում մերենայի շարժման արագությունը: Մերենայի շարժման  $V$  արագությունը պետք է ընտրվի այնպես, որ գլանվակը Խոյում է մեծությամբ խորանար ժամանակը՝ ինչի ավելի

մեծ, քանի մերենայի անցած ճանապարհի ժամանակը  $t_x$ :  $t_x=t_h$  պայմանից կարող ենք գրել՝

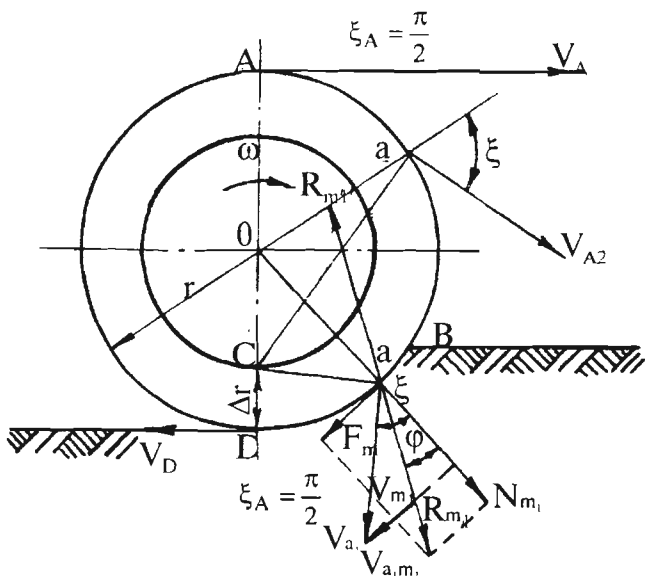
$$V \leq \frac{x}{t_h} = \frac{r \sin \beta}{t_h} = \frac{\sqrt{r^2 - (r-h)^2}}{t_h} = \frac{\sqrt{2rh - h^2}}{t_h} \quad (5.4)$$

Փորձնական հետազոտություններից պարզվել է, որ հողի վերին 4-8սմ շերտու խտացնելու համար անհրաժեշտ է, որ  $V \leq 1.5-2.0 \text{մ/վ}$ : Ժամանակի  $t_h$ -ի փոքրացման համար անհրաժեշտ է ավելացնել գլանվակի վրա ազդող բեռի մեծությունը  $G$ :

**Գլորում տեղապտույտով:** Տեղաշարժի առկայության դեպքում փոփոխվում է գլանվակի կինեմատիկական շառավիղը  $\Delta r$  մեծությամբ ( $r_k=r-\Delta r$ ) իսկ

$$\eta = \frac{2\pi r - 2\pi(r - \Delta r)}{2\pi(r - \Delta r)} = \frac{\Delta r}{r - \Delta r} \quad (5.5)$$

Որտեղ՝  $\eta$  փոփոխվում է  $0 \rightarrow \infty$  սահմաններում ( $\Delta r=0-r$ ):



Նկ.5.6 Տեղապտույտով գլորվող անիվի սխեմա

Համաձայն նկ.5.6 դժվարի չի նկատել, որ աղղաձիգ տրամագծի A և D կետերում  $\xi=90^\circ$ : Այդ կետերից ներս ընկած միջակայքում  $\xi<90^\circ$ , քայլ ոչ մի տեղի  $\xi \neq 0$ : Այս դեպքում BD աղղուի ամբողջ երկարությամբ և կետի արագույթունը մասնիկի նկատմամբ ուղղված է պտտման ուղղությամբ, իսկագույնը  $R_m$  անցնում է կետից աջ և արգելակում գրանցանք, այսինքն անվահետքը գործում է որպես արգելակային կոպանդ, իսկային մասնիկները խտանարկ սահում են պտտման ուղղությամբ:

### 5.3 Գլորման դիմադրությունը

Հողի խտացման գործնքացում գլանվակի վրա ազդում են ծանրության ուժը՝  $P$ , քարշի ուժը՝  $T$ : Նշված երկու ուժերից գումարվում է համագույք, որը անվահետքի աղղութ հատում է որևէ ա կետում: Այլ համագույքի ազդեցությունը առաջ է բերում հողի հակագուման ուժը՝  $R$ : Բարդացելով  $R$  ուժը  $R_a$  և  $R_b$  բաղադրիչների կազմենք գլանվակի շարժման հավասարությունը (նկ.5.7)

$$\left. \begin{aligned} T \pm m\ddot{x} - R_a &= 0 \\ P \pm m\ddot{y} - R_b &= 0 \\ (T \pm m\ddot{x})y_a \pm J\ddot{\beta} - R\rho_a &= 0 \end{aligned} \right\} \quad (5.6)$$

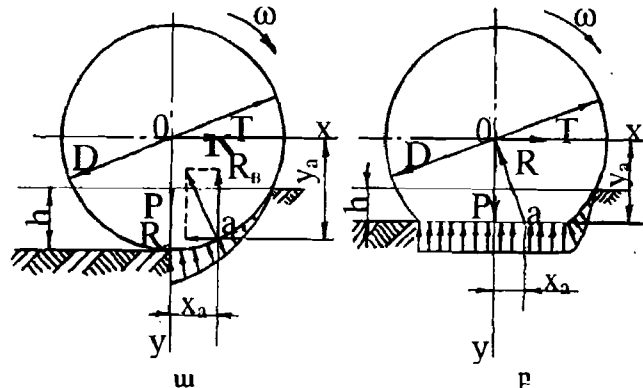
Որտեղ՝  $\rho_a$  - ն  $R$  հակագուման հեռավորությունն է պտտման ակնքարային կենտրոնից: Քանի որ գլանվակների աշխատանքի ժամանակ սահմանափակում ենք շարժման արագությունը  $V \leq 1.5 \text{ մ/վ}$ , որի դեպքում այս մեխանիկական համակարգը կարելի է լինունել կայունացված ( $m\ddot{x}=0$ ,  $m\ddot{y}=0$ ,  $J\ddot{\beta}=0$ ), ապա կարող ենք գրել, որ  $Ty_a = Px_a$  որտեղից՝

$$T = P \frac{x_a}{y_a} \quad (5.7)$$

Ստացված արտահայտության վելուծությունը ցոյց է տալիս, որ որքան փոքր է անվահետքի հ մեծությունը, այնքան փոքր է դիմադրության մոմենտը  $Px_a$  և քարշի ուժը  $T$ : Քաղի այդ, որքան մեծ է

գլանվակի տրամագիծը, այնքան փոքր է  $T$ -ն, քանի որ ավելի խնտենալիք է մեծանում  $y$ , քազուկը, քան  $x$ :

Վելլուծեղով օդալից անիվի (գլանվակի) գլուրման գործընթացը՝ հանգում ենք հետևյալ եզրակացությանը:



Նկ.5.7 Կոշտ օդագոտով (ա) և օդալից (բ) անիվների վրա ազդող ուժերը

Նոյն չափի տրամագծի  $D$  և բեռի  $P$  դեպքում օդալից անիվի գլուրման համար պահանջվում է ավելի փոքր քարշային ուժ՝  $T$ : Սա բացատրվում է նրանով, որ անվարտը դեֆորմացվում է ավելի մեծ չափով, որի հետևանքով մեծանում է հենման մակերեսը, հետևաբար փոքրանում է տեսակարար ճնշումը և անվահետքի հ խորությունը: Մյուս կողմից կոշտ օդագոտու դեպքում հողի էլեմենտար հակագրումները ազդում են միայն անիվի առջևից, իսկ օդալիցի դեպքում ուղղաձիգ առանցքից աջ և ձախ, որի հետևանքով հակագրման  $R$  համազորն ավելի մոտ է ուղղազիծ տրամագծի ներքնի ծայրին, հետևաբար ավելի փոքր է դիմադրության մոնենտի  $X$ , քազուկը և քարշի ուժի  $T$  մեծությունը: Գլանվակի հավասարաշափ շարժման ժամանակ  $T=R_r$ , ուստի նախապես որոշենք անվահետքի

$$\text{հակագրման } \text{մեծությունը} \cdot R = \frac{R_r}{\sin \beta} :$$

Հայլի տրորման էլեմենտար ուժը  $dR=q \cdot dS$ , որտեղ՝  $q$ - հողի տրորման տեսակարար դիմադրությունն է: Ունենք  $q=q_0 y$ , որտեղ՝  $q_0$ -

հողի ծավալային տրորման գործակիցն է,  $y$  - հողի գծային դեֆորմացիան,  $ds=b dx = b \frac{dx}{\cos \beta}$ , որեմն՝

$$R = \frac{q_0 b}{\cos \beta} \int_0^y y dx \quad (5.8)$$

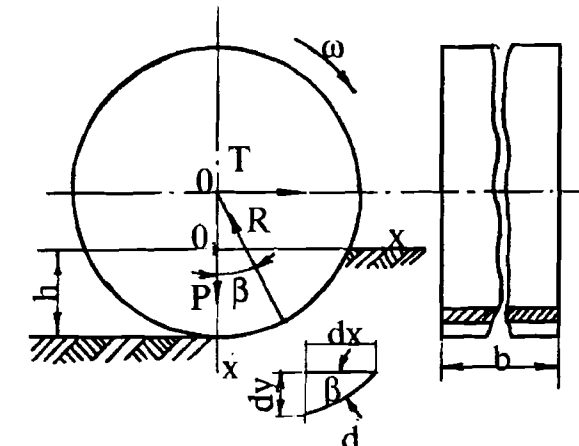
Համաձայն նկ.5.8 -ի, կայտող ենք գրել  $r^2=x^2+(r-h+y)^2$ , որտեղից՝  $x^2+(h-y)^2-D(h-y)=0$ , ընդունելով  $(h-y)^2=0$ , կստանանք  $y=h-x^2/D$ : Մյուս կողմից  $x$ -ի սահմանային արժեքը կլինի  $x = \sqrt{r^2 - (r-h)^2} \approx \sqrt{Dh}$ , ուստի՝

$$R = \frac{2}{3} \frac{b q_0 h}{\cos \beta} \sqrt{Dh} \quad (5.9)$$

Ազրեգատի կայուն աշխատանքի ժամանակ ծանրության  $P$  ուժը հավասարակշռվում է հակագրման  $R \cos \beta$  քաղաքությունը՝  $P=R \cos \beta$ ,

$$\text{ուստի } P = \frac{2}{3} b q_0 h \sqrt{Dh}, \text{ որտեղից՝}$$

$$h = 1.31 \sqrt{\frac{P^2}{b^2 q_0^2 D}} \quad (5.10)$$



Նկ. 5.8 Անիվի քարշային դիմադրության որոշման սխեմա

Մյուս կողմից  $T=R\sin\beta$ : Եռանկյունաչափական ֆունկցիան սովորաբար համար արտահայտենք  $R = \frac{q_0 b}{\sin \beta}$ ՝ ուժությունը  $T = R\sin\beta = q_0 b \sin^2 \beta$

$$q_0 b y dy = q_0 b y \frac{dy}{\sin \beta}, \quad R = \frac{q_0 b}{\sin \beta} \int_0^h y dy = \frac{q_0 b h^2}{2 \sin \beta}, \quad \text{որեմն } T = R \sin \beta = 0.5 q_0 b h^2$$

$q_0 b h^2$ : Հաշվի առնելով  $h$ -ի ալիքերը կստանանք

$$T = 0.86 \sqrt{\frac{P^4}{b q_0 D^2}} \quad (5.11)$$

Անիվի քարշի ուժի բանաձևը (5.11) փորձնական ճանապարհով առաջին անգամ ստացել է Գրանդվուանեն, իսկ հետագայում Վ.Պ. Գորյաչկինը ստացել է անալիտիկ եղանակով, այդ պատճառով այն կոչվում է Գրանդվուանե-Գորյաչկինի բանաձև:

Պրակտիկայում հաճախ օգտվում են քարշի ուժի պարզեցված

$$\text{բանաձևից } T = \mu P \text{ սրտեղ } \mu = \frac{T}{P} = 0.86 \sqrt{\frac{P}{q_0 b D^2}}$$

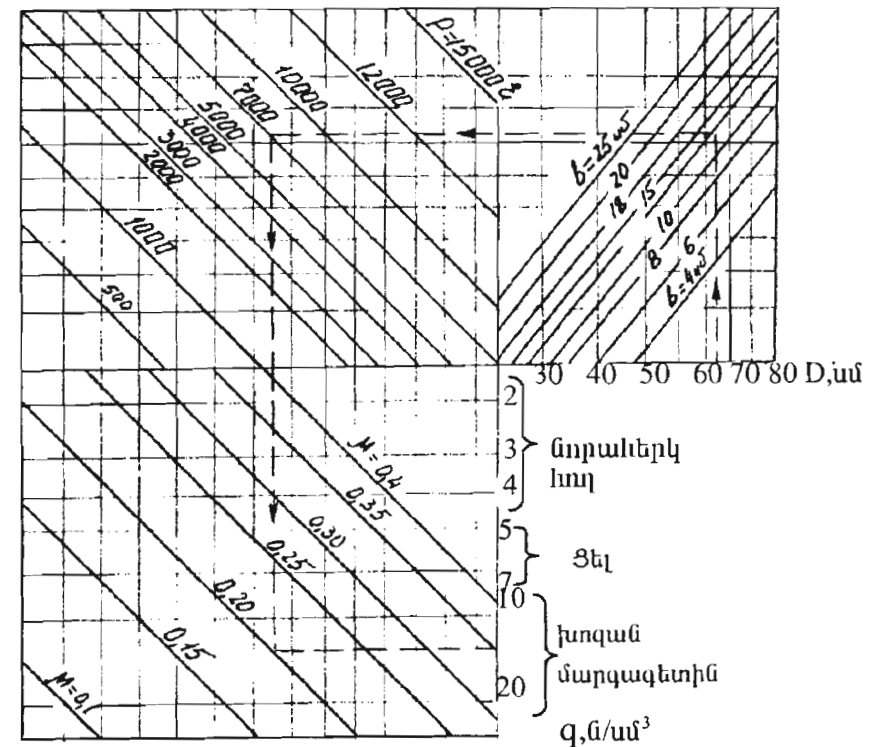
$$\text{Գլորման գործակցի հակադարձ մեծությունը } \frac{1}{\mu} = \frac{P}{T} \text{ Վ.Ա. Ժելի-}$$

գովսկին անվանում է անիվի փոխարժող ընդունակություն, որը ցույց է տալիս թե ինչ  $P$  քեռ կարող է տեղափոխել անիվի  $T$  քարշի ուժի մեջ միավոր քանակով:

Անիվի գլորման գործակցի հայտնար որոշման նպատակով Գ.Ն. Սինենկովը առաջարկում է  $\mu = f(P, q_0, b, D)$  ֆունկցիայի նոմոգրամը (նկ.5.9), որտեղ ցույց է տրված նաև դրանից օգտվելու կարգը: Ոչ հարք գլանվակների քարշային դիմադրությունը հարթից մեծ է մոտ 1.1-1.3 շափով ( $T_{bg} = \varepsilon T$ ), օդալիցինը փոքր է  $T_n = kT$  ( $k = 0.75-0.79$ ՝ վարած դաշտում, 0.65-0.68 խոզանի վրա, 0.58-0.62՝ մարգագետնում, 0.6-0.65 գրունտային ճանապարհի վրա, միջին հաշվով 30%-ով):

Վարած դաշտում անվահետքի խորությունը փոքրացնելու, հետևաբար նվազագույն քարշային ուժ ծախսելու համար անհրաժեշտ

է իջեցնել անիվի ճնշումը քայլատրելի սահմաններում, որանով իսկ մեծացնելով հենման մակերեսը:



Նկ.5.9 Գլորման կոշտ օղագոտով անիվի գլորման և գործակցի որոշման նոմոգրամ

#### 5.4 Հողի մակերեսային մշակության մեքենաների քարշային դիմադրությունը

Երեսվարիչների, ցաքանների և կուլտիվատորների աշխատանքի ժամանակ որոշակի չեն առի ընդլայնական հատվածքի չափերը, այդ պատճառով դրանց քարշային դիմադրությունը որոշվում է մոտավոր քանաձևով:

$$R_x = KB \quad (5.12)$$

որտեղ  $K$ -մեքենայի տեսակարար դիմադրությունն է, մ/մ,  $B$ - մեքենայի ընդգրկման լայնությունը, մ:

որտեղ Կ-մեքենայի տեսակարար դիմավորությունն է, Ա/մ, Բ- մեքենայի ընդգրկման լայնությունը, մ:

Մեքենայի տեսակաբար դիմադրությունն կախված է արտաքին շատ ազդակներից՝ ևսով ֆիզիկա- տեխնոլոգիական հատկանիշներից, մշակության խորությունից, շարժման արագությանից և այլն:

Ստորև բերվում են Խողի մակերեսային մշակության առավել տարածված մերձենաների տեսակարար դիմադրության Կ արժեքները

	չափման միավոր կն/մ
Ատամնավոր ցաքաններ (ծանր)	0.6 - 0.9
Ատամնավոր ցաքաններ (միջին)	0.4 - 0.7
Ցաքաններ ցանցավոր	0.4- 0.65
Ցաքաններ զսպանակավոր	1.5 - 4.0
Ցաքաններ մարգագետնային (դանակաձև ատամնելով )	1.5-2.3
Սկավառակավոր ցաքաններ	1.9-2.2
Սկավառակավոր ցաքաններ (ծանր)	4.0-8.0
Սկավառակավոր երեսվարիչներ	1.2-2.6
Խոփիավոր երեսվարիչներ	2.0-4.0
Կուլտիվատորներ՝ հարթահատ թաքիկներով	1.2-2.4
Կուլտիվատորներ՝ ծալավոր	1.6-2.6
Գլանվակներ՝ օլախանավոր	0.5-0.7
Գլանվակներ՝ հարթ ջրալեցուն	1.0-1.2

## 5.5 Հողամշակության գործընթացի ավտոմատ կառավարման համակարգեր

Ներկայումս հայամշակման գործընթացի ավտոմատ կառավարման համակարգերի ստեղծման և կատարելագործման աշխատանքները տարվում են երեք հիմնական ուղղություններով՝ ազրեգատների ավտոմատ դեկավարման, լաղի մշակության խորության հաստատուն մեծության պահպանման և միջայակային

մշակույթյան ժամանակ բուսապաշտպան գրասեռ առաջադիլված լինեցած ապահովման ուղղությամբ:

**Ավտոմատ դեկավարութ:** Հայամշակման ագրեգատների ավտոմատ դեկավարման համար առաջարկված ավտոմատ կալիգավիրման համակալիցերի վերաբերութ են հետևող համակարգերի խմբին: Առաջարկված համակարգերից են ոչ մեկը դեռևս արտադրական կիրառություն չի գտել: Ներկայումս տալիքով աշխատանքները նպաստավայրված են ազգեգատների դեկավարությունը կատարել ուղղութ, ճառագայլութ, լինդուկցիոն և ֆուտուլեկտրական ելանակներով:

**Մշակության խորության հաստատուն պահպանման խնդիրը** կարևոր նշանակություն ունի ազյուտեխնիկական պահպանչների բավարարման տեսակետից (Ակ.3.31) Այս խնդիրը լրջման նպատակով ստեղծված են դիլրային, բարձրույթային և ոժային եղանակներ՝ ու կամապատասխան սարքեր և դրանց կոնքինացված տարրերակներ:

**Դիրքային եղանակը** հիմնված է գորշանի շրջանակի (կախման մեխանիզմի) գլխարքը տրակտորի շրջանակի նկատմամբ հաստատուն պահելու սկզբունքի վրա: Տրակտորի կիպուրամակարգի անբավարար կլիպության հետևանքով յուղը մի ելեմենտից հատում է մյուսը և փոփոխում գորշանի դիմուքը տրակտորի նկատմամբ: Այլ տեղաշարժերը փոխանցվում են մղակին, որը բացում է յուղի մոտքի կամ ելքի անցքը և համապատասխանութեն իշեցնում կամ բարձրացնում է գորշանի: Գորշանի որոշակի դիրքային տեղաշարժից հետո կարգավորման լծակի միջոցով նկար բերվում է շեզոր դիմքի և նմուխատում յուղի հոսքը խռոչից խոռոչ: Դիրքային եղանակի դեպքում խորության տատանումները կախված են մեքենայի երկայնական բազայի, բայց գրեթե կախված լայնության և դաշտի անհարթոքյան մեծություններից:

**Քարծրությաին եղանակը** հիմնված է վարի խորարյան տատանումները հենարանային աճիվով սականափակելու սկզբունքի վրա: Այս եղանակի համակարգը բավականաշատ արձագանքում է խորի խորարյան (անվահետքի խորարյունը փոփոխվում է), դաշտի մակերևույթի անհարարարյան և ազրեգատի երկայնական տատանումների փոփոխությանը:

Ուժային եղանակը հիմնված է տրակտորի քարչային ուժի կայունացման սկզբունքի վրա։ Ուժային հաճակարգի գործության

սկզբունքը կայանում է նրանում, որ բեռնվածության փոփոխության դեպքում տվյալը մշակում է անհամապատասխանության ազդանշան (իդական և առաջադրված բեռնվածության տարրերությունը), որը ուժեղացնելով միջոցով փոխանցվում է կատարող մեխանիզմին: Կատարող մեխանիզմը, ներագղելով կարգավորության հաճախույթի վրա, վերացնում է բեռնվածության տարրերությունը: Քարշային դիմադրությունը բնորագրության մեջ նշումում տրակտորի կախույթի վերին և ներքին ծգածողերի ճիգերը:

Դիտարկենք արտադրության մեջ մասամբ օգտագործվող բեռնվածության ունիվերսալ կարգավորիչի (ΥΡՀ) գործողության սկզբունքը (Ակ. 5.10):

Արտաքին ազդակներից մեծանալով գութանի քարշային դիմադրությունը  $R_x$  լծակային համարգով, մեծանում է նաև կախույթի վերին ծգածողի զայանակի  $X$  դեֆորմացիան և  $F_{\text{ы}}$  ուժը:

Զայանակի դեֆորմացիան ծգածողերի և լծակների համակարգով փոխանցվում է բաշխված-կարգավորիչի (8) մուակին, որի բացում է մյույլը (7) եկող յուղի մուտքը դեպի իլյուոգլանի աջ խոռոչ (3) և բարձրացնում է գութանը (2). ոյքանով յուկ փոքրացնում վարի խորորդությունը հետևաբար՝ և քարշային  $R_x$  դիմադրությունը: Զայանակն այդ լմբացքում լինունելով առաջարկված դիմքը՝ մղակին վերադարձնում է ելքային դլպրի՝ չեզոք դրագյան: Վերին ծգածողի ճիգի փոքրացման դեպքում գութանը խորանում է իր զանգվածի ազդեցության տակ:

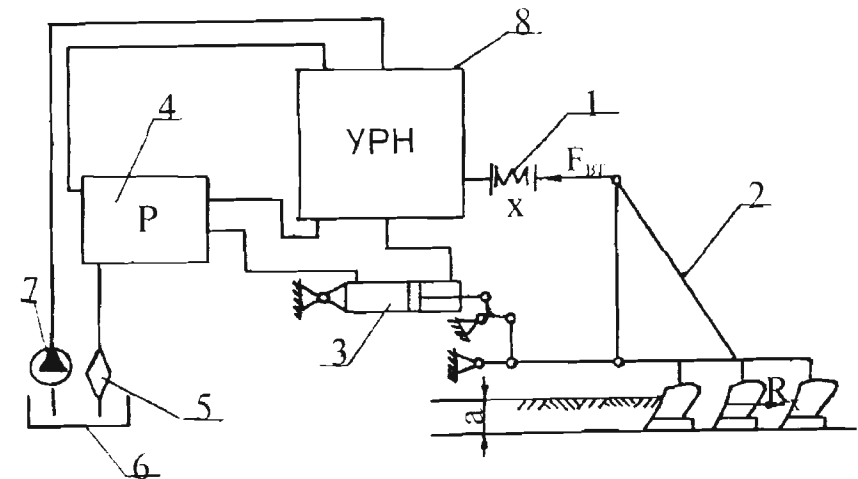
Կարգավորման ուժային եղանակը բարձրացրայինի համեմատությամբ վարդի ազեղքատի արտադրութականությունը մեծացնում է 9-15%, վառելիքի ծախսը իջեցնում 10-12%:

Հայրէ է նշել, որ ուժային կարգավորիչները նախատեսված են տրակտորի բեռնվածության կայունացման և տանող անխվների տեղապույտի փոքրացման համար, այլ պատճառով վարի խորորդությունը հաստատուն է մնում մյայն համասեռ կողերի մշակության ժամանակ:

Ներկայումս առավել կատարելագործված են կարգավորման կոմբինացված համակարգերը, որոնք ունեն երկու գուգահեռ աշխատող կոնտուրներ՝ ուժային և դիմքային: Այս դեպքում ուժային

կարգավորման համակարգը համարվում է կոչտ հակառակ կապով դիմքային կարգավորման կոնտուրով:

Գոյություն ունեն ուժա-հետևող կոմբինացված համակարգեր՝ վալի խորորդյան չափման պատճենություն և վերին ծգածողի ճիգի չափման զայանակով տվյալներով:



Ակ. 5.10 Բեռնվածության ունիվերսալ կարգավորիչի գործողության սկզբունքի սխեմա

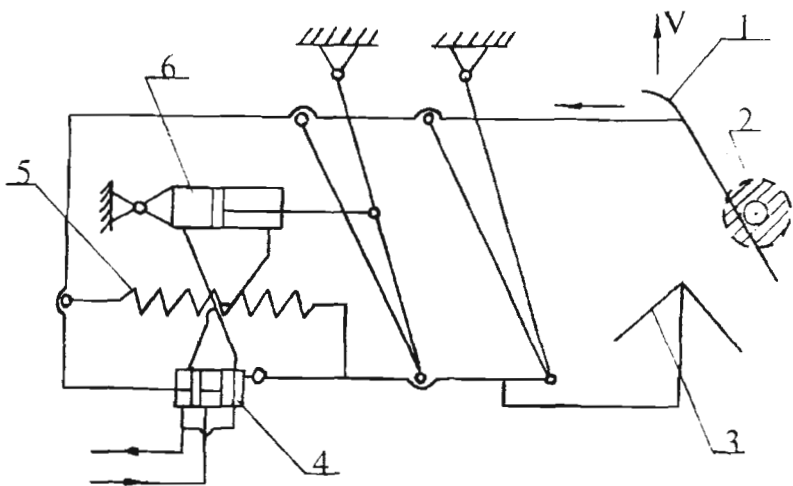
1 - զայանակ, 2 - գութան, 3 - իլյուոգլան, 4 - ձեռքով դեկավարման բաշխիչ, 5 - զտիչ, 6 - բաք, 7 - մղիք, 8 - բաշխված-կարգավորիչ

Այս դեպքում երկու կոնտուրներն աշխատում են համատեղ՝ կարգավորելով վարդի խորորդությունը և քարշային դիմադրության մեծությունը:

### Բուսապաշտպան գոտու կայունացման համակարգ (Ակ. 5.11)

Բուսապաշտպան գոտու կայունացման համակարգը տեղակայված է խաղողի միջվագային մշակության հարմարանքի վրա և աշխատում է հետևյալ սկզբունքով: Ազրեգատի շարժման ժամանակ հարմարանքի շոշափողը (1) հանդիպելով հենասյան կամ խալրոյի վագի բնին՝ շելվում է դեպի ծախս և ծգում զայանակը: Շոշափողը շարժումը միջանկայի ծգածողերի համակարգով փոխանցվում է մղակին (4), որը տեղաշարժվում է ծախս դիմք և բացում իլյուոգլանի (6)

աջ խոռոշին միացած յուղի ճանապարհիր: Հիբրոգլանի կորի շարժվելով ծախս տեղափոխում է նաև քանոյ օրգանին (3) և շրջանցում խոչընդությունը:



Նկ. 5.11 Խաղողի միջվագային մշակուրյան կոլտիվատորի բանող օրգանների կառավարման համակարգ

1-շոշափոց. 2-խաղողի վազ. 3-բանող օրգան. 4-մղակ, 5-գուգանակ, 6-հիդրոգլան

Խոչընդությունը շրջանցումից հետո զսպանակի տժով մղակը և քանոյ օրգանը վերադառնում են աջ, մինչև որ մղակը լնիր նիւթը չեգութ դիրք:

## 6. Հողի խոր փխրիչներ

Հողի խոր փխրեցումը նորագույն տեխնոլոգիա է երկրագործության մեջ. այն թևավոր գործաներով վարի համեմատությամբ փոքր աշխատանքային ծախտումներով ավելացնում է բերքատվությունը. հացահատիկային մշակաբույսերինը 10%-ով, շարահերկ մշակաբոյսերինը մինչև 34%:

Հողի խոր փխրեցումը հատկապես լայն կիրառություն է ստացել մելխորատիկ աշխատանքներում և այգեգործության մեջ: Հողի խոր փխրեցումը կատարվում է 16-ից մինչև 100սմ խորությամբ. հիմնականում 20-45սմ:

### 6.1. Փխրիչի կողային պրոֆիլի հիմնավորումը

Խորը փխրիչների կողային պրոֆիլը բազմազան է և լինում է ուղղ գծավորությունունից մինչև կորագիծ: Կախված կողային պրոֆիլից՝ փխրիչի քարշային դիմադրությունը խիստ փոփոխական է, և ցափոք, գլականության մեջ չկա գլակական հիմնավորում հողի դեփորմացիայի նվազագույն հներգետիկական ծախսերի տեսակետից:

Փխրիչի տեղակայմանանկյան և կանգնակի առջել դանակի սրման օպտիմալացման խնդիրները լուծված են նախորդ բաժնում: Այստեղ լուծվում է կանգնակի պրոֆիլի այն ձեր որոշելու խնդիրը, որը կապահովի նվազագույն քարշային դիմադրություն:

Ընտրնվում է, որ փխրիչի շարժման ընթացքում մշակուրյան ախտորոշությունը և շարժման  $V_0$  արագությունը մնում են հաստատուն:

Կազմենք փխրիչի և նորի փխագլեցության գոտում հողային մասնիկի դինամիկական հավասարակշուրջյան հավասարումը:

Համաձայն նկ. 6.1 կայտ ենք գրել

$$\left. \begin{aligned} dG + dJ \cos\alpha - dR \cos(\varphi' + \psi) - dP \cos(\alpha + \varphi) &= 0, \\ dJ \sin\alpha + dR \sin(\varphi' + \psi) - dP \sin(\alpha + \varphi) &= 0, \end{aligned} \right\} \quad (6.1)$$

որտեղ՝  $\alpha$  - փխրիչի շոշափողի դրագիկ անկյունն է,

$\varphi'$  և  $\varphi$  - հողի ներքին և արտաքին շիման անկյունները,

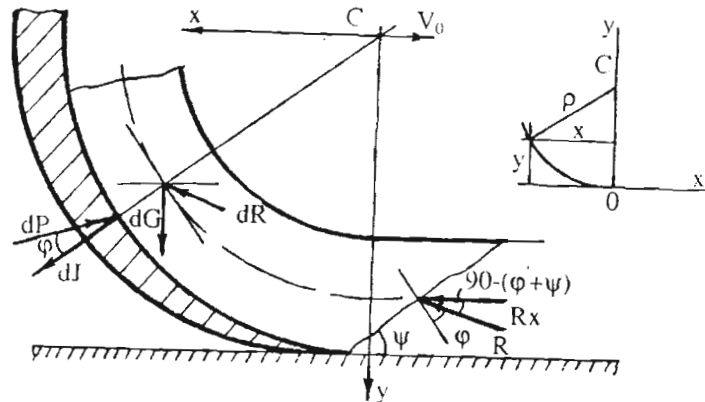
Ψ - ճարի կազմած անկյունը փիսրիչի շարժման  
ուղղության հետ,

G - հոլի գանգվածը,

J - առի իներցիայի ուժը,

R - ճարից հետո հոլի շարժման դիմայրությունը.

P - փիսրիչի քայլչի ուժը:



Նկ. 6.1 Փիսրիչի կողային պրոֆիլի հիմնավորման սխեմա

$$\text{Եմքար չէ նկատել, որ } dG = \gamma ab_{np} dS, \quad dJ = \frac{dG}{g} \frac{V_m^2}{\rho},$$

որտեղ՝  $\gamma$ - հոլի ծավալային կշիռն է,  $ab_{np}$  - առի ընդլայնման հատվածը,  $dS$ -հոլի մասնիկի հաստությունը և կորագիծ կողմինատը,  $\rho$ -փիսրիչի կորության շառավղը,  $V_m$ -հոլի մասնիկի շարժման հարաբերական արագությունը՝

$$V_m = \frac{dS}{dt} = \frac{dx}{dt} \sqrt{1+y'^2} = V_0 \sqrt{1+y'^2}, \quad y' = \frac{dy}{dx}$$

Համատեղ լուծերով (6.1) հավասարումները կստանանք

$$dR = \frac{dP \sin(\alpha + \varphi) - dJ \sin \alpha}{\sin(\varphi' + \psi)},$$

$$\frac{dP}{dS} = \frac{\gamma ab_{np} \left[ \sin(\varphi' + \psi) + \frac{V_0^2}{\rho g} (1 + y'^2) \sin(\alpha + \varphi' + \psi) \right]}{\sin(\alpha + \varphi + \varphi' + \psi)} \quad (6.2)$$

Ընդուներով առաջադրված պայմանը. ոյ փիսրիչի կորը պետք է լինի այնպիսին, որպեսզի աւահափվի նվազագույն քարշային դիմայրություն. (6.2) հավասարումից ստանում ենք  $\frac{dP}{dS} = 0$  կամ

$$\sin(\varphi' + \psi) + \frac{V_0^2}{\rho g} (1 + y'^2) \sin(\alpha + \varphi' + \psi) = 0$$

Օգտագործերով հետևյալ հոյտնի արտահայտությունները

$$\sin \alpha = \frac{y'}{\pm \sqrt{1+y'^2}}, \quad \cos \alpha = \frac{1}{\pm \sqrt{1+y'^2}}, \quad \rho = \frac{\pm \sqrt{1+y'^2}}{y''},$$

կստանանք

$$y'' = \pm \frac{g(1+y'^2)}{V_0^2 [y' \operatorname{ctg}(\varphi + \psi) + 1]} \quad (6.3)$$

Ստացված ոլոքենցյալ հավասարման լուծմանը կիրառական բնույթ տարու նվատակով լնիբունում ենք որոշ պայմաններ, որոնք եական աղղեցություն չեն թողնուի հաշվարկի արյունքների վրա:

Հաշվի առնելով նաև որոշ սկզբնական պայմաններ.

$$x = 0, \quad y(0) = 0 \quad \text{և} \quad x = 0, \quad y'(0) = -\operatorname{ctg} \alpha_0$$

ստանում ենք

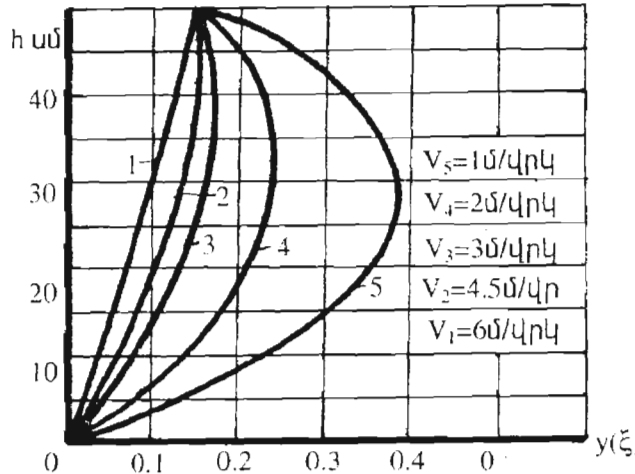
$$y(\xi) = A(\alpha_0) \frac{ga^2}{2V_0^2} (\xi^2 - \xi) + \operatorname{atg} \alpha_0 \cdot \xi \quad (6.4)$$

որտեղ՝

$$A(\alpha_0) = \frac{1}{1 + \operatorname{tg} \alpha_0 \operatorname{ctg}(\varphi' + \psi)}, \quad \xi = \frac{x}{a},$$

$\alpha_0$ - փիսրիչի տեղակայման սկզբնական անկյունն է:

Փիսրիչի կողային պրոֆիլի լավագույն ձևը, որն ապահովում է նվազագույն քայլային դիմայլության շարժման տարբեր արագությունների դեպքում, կորերի տեսքով տրված է նկ. 6.2-ում:



Նկ. 6.2 Փիսրիչի լավագույն կողային պրոֆիլների տարբեր արագությունների տակ աշխատելու համար:

Կառացված կորերի վերլուծությունը ցույց է տալիս, որ որքան մեծ է փիսրիչի շարժման արագությունը, այնքան պետք է մեծ վերցնել կողմության շառավիլը: Պրակտիկ կիրառության տեսակետից կարելի է 3-6մ/վ արագության համար փիսրիչի եզրագլիծ վերցնել տուլագիծ, իսկ 1-3մ/վ արագության համար՝ կորագլիծ, համաձայն նկ. 6.2 գրաֆիկի:

## 6.2. Հողի փիսրեցման հիմնադրույթները

Տեխնոլոգիական լիմասուով հողի փիսրեցումը հողային գանգվածից դեֆորմատորի ազդեցությամբ մասնիկների անշատումն է, որտեղ մեծության կարգավորումով հնարավոր է բարելավել հողի ֆիզիկական և տեխնոլոգիական հատկանիշները:

Հողի փիսրեցմանը նախորդում է նրա կտրումը, որը բնույթված է սեպի կամ սայրի նրա հետ փոխագլեցությամբ:

Սեպի աշխատանքի ժամանակ սրոշիչ ագրեցություն ունի նրա բանող նիստը: Սայրն այս դեպքում կատարում է օժանդակ դեր: Սեպի ագրեցությամբ հողային գանգվածը սկզբում ենթարկվում է տրյուման:

իսկ այնուհետև ճաքի կամ խնտենայիվ դեֆորմացիայի կախված հողի հատկանիշներից: Բանող օրգանի սայրը կատարում է միայն հողի կտրում առանց էական դեֆորմացիայի:

Բոլոր դեպքերում հողի և դեֆորմատորի փոխագլեցության խնդիրն ունի մի գլխավոր նպատակ, գտնել եղանակ, որոր կիսանգեցնի միջավայրի դեֆորմացիայի իրականացման համար պահանջվող էներգետիկ ծախսումների նվազեցմանը:

Առանձնապես հողի խոր փիսրեցման ժամանակ անկրաժեշտ է հայվի առնել ճաքերի հալբուրյունների երկու տորություններ՝ դեֆորմատորի շարժման տորությամբ  $\Psi_1$  և սորդակայած հալբուրյան մեջ  $\Psi_2$ :

Հողի և դեֆորմատորի տժային փոխագլեցության, միջավայրի քայլայտման և դրանց հետ կապված բանող օրգանի պարամետրերի օպտիմալացման նպատակով կարնորվում է հողի լարվածական դեֆորմացիոն վլուակի տեսական և գլուափորձնական բացահայտումը: Այդ խնդրի հետագուման ժամանակ պետք է տարբերել երկու դեպք: Խողային գանգվածը սահում է բանող մակերեսույթի վրայով և չի սահաւ: Նշանակած երկու դեպքերում էլ հողի քայլայումը իրմանական կախված է նորմալ և շոշափող լարվածների գուգակցումից կամ հողի լարվածա-դեֆորմացիոն վլուակից:

Այդ խնդրի լուծումը խողային միջավայրի համար շափական ծանրություն է, սակայն հաշվարկային մոդելի կազմման ժամանակ, լանդունելով որոշակի նախադրյալներ, որոնք էական ագրեցություն չեն կարող տեսնալ լուծման արդյունքների վրա, կարելի է այն գգալուրեն պարզեցնել: Դրանք են.

1. Հողի վրա այնպիսի ուժերի առկայություն, որոնց դեպքում տեղի ունի միջավայրի գծային դեֆորմացիա:

2. Հողի դեֆորմացիան կախված է հիմնականում դեֆորմացիայի մոդելից և մշակվող հողային առի երկրաշափական և առածգական պարամետրերից:

3. Հողի և դեֆորմատորի կոնտակտային պայմանները այնպիսին են, որտեղ դեպքուն կոնտակտային մակերեսույթը անցնելու ժամանակ, լարվածությունների դաշտը պահպանում է անընդիւատություն, իսկ տեղափոխությունը՝ ընդհատություն:

## 6.2.1. Հողի լարվածա-դեֆորմացիոն վիճակը առի (հողաշերտի) անջատման ժամանակ

Խնդրի մոդելավորումը կատարվում է հիմք ընդունելով նկ. 6.3 սխեման, որտեղ որպես որոշելի մեծություններ լինում կած են հողի և դեֆորմատորի հայտնաբար հարթության նորմալ և սահրի շարամները: Բնականաբար հաշվարկային սխեմայի նորմալ տժը  $N = \int \sigma(x)dx$ , սահրի տժը

$$T(x) = \int \tau(x)dx \quad (6.5)$$

Հաշվարկային սխեմայում կոնտակտային պայմանները նմանակվում են առաձգական-դյուրավիճակությանի կապելի օգնությամբ, նորմալ և սահրի ուղղություններով ափանումում են հողի և դեֆորմատորի իրական համատեղ աշխատանքը:

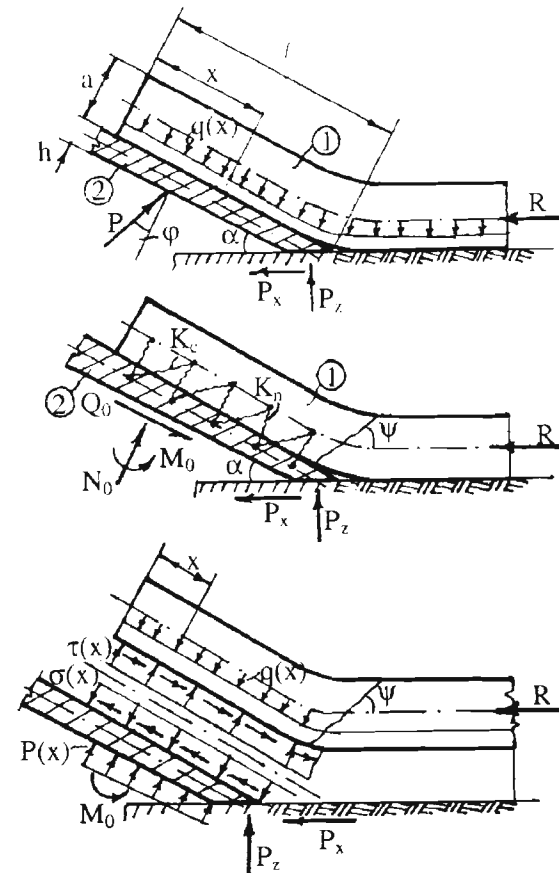
Ընդունված են. նորմալ կապերի կոշտության գործակիցը  $K_u$ , սահրի կապերի համար  $K_c$ :

Դեֆորմատոր-հողային տաշեղ կապերի նորմալ և սահրի շանհայտ մեծությունների որոշման համար կազմենք երկայնական դեֆորմացիաների ( $\delta_1, \delta_2$ ) և ճկվածքների ( $y_1, y_2$ ) (դեֆորմատորի և հողային կեղևի համար) անալիտիկ արտահայտությունները:

$$\left. \begin{aligned} \delta_1^1(x) &= -\frac{T(x)}{B_1} + m(x) \frac{V_1}{D_1} - M_q(x) \frac{V_1}{D_1} - T(x) \frac{V_1^2}{D_1}, \\ \delta_2^1(x) &= \frac{T(x)}{B_2} + m(x) \frac{V_2}{D_2} - M_p(x) \frac{V_2}{D_2} - T(x) \frac{V_2^2}{D_2}, \end{aligned} \right\} \quad (6.6)$$

Որտեղ՝  $\delta_1^1(x), \delta_2^1(x)$  - առաջին և երկրորդ էլեմենտների կոնտակտային հարթության մեջ երկայնական հարաբերական դեֆորմացիաներն են,  $m(x)$  - ծոռղ մոմենտները նորմալ կապերում,  $V_1, V_2$  - առաջին և երկրորդ էլեմենտների բարձրաւթյունների կեսերը,  $M_p$  - ծոռղ մոմենտները արտաքին ինտենսիվ բեռնվածությունից,  $P$ ,  $M_q$  - ծոռղ մոմենտները հողային առի սեփական քաշից,  $B_1$  և  $D_1$  - առաջին էլեմենտի (հողի) կոշտություններն են ձգման (սեղման) և ծոռման

ժամանակ.  $B_2$  և  $D_2$  - դեֆորմատորի կոշտությունը ձգման (սեղման) և ծոռման ժամանակ,



Նկ. 6.3 Հողի լարվածա-դեֆորմացիոն վիճակի հետազոտության սխեմա ( $\alpha < 90^\circ - \varphi$ )

$$B_1 = E_1 F_1, \quad B_2 = E_2 F_2, \quad D_1 = E_1 J_1 \text{ և } D_2 = E_2 J_2,$$

$E_1, E_2$  - դեֆորմատորի և հողի առաձգականության և դեֆորմացիայի նորմաներն են,  $F_1, F_2$  - համապատասխանողեն առաջին և երկրորդ էլեմենտների լուսականական հատվածների բերված մակերեսները,  $J_1, J_2$  - բերված իներցիայի մոմենտները:

Կոնտակտի մակերեսությի վրա սահրի բացարձակ դեֆորմացիան կլինի.

$$\Delta\delta(x) = \delta_2(x) - \delta_1(x) \quad (6.7)$$

ընդունելով  $\tau(x)$ -ի և  $\Delta\delta(x)$ -ի միջև գծային կապ՝ կարող ենք գրել

$$\tau(x) = K_c \Delta\delta(x) \quad (6.8)$$

Այսպիսով (6.8) հավասարությունը կստանանք

$$T''(x) - \alpha^2 T(x) = \gamma m(x) + \Delta_1(x) \quad (6.9)$$

որտեղ՝

$$\alpha^2 = K_c \left( \frac{1}{B_1} + \frac{1}{B_2} + \frac{V_1^2}{D_1} + \frac{V_2^2}{D_2} \right)$$

$$\gamma = K_c \left( \frac{V_2}{D_2} - \frac{V_1}{D_1} \right), \quad \Delta_1(x) = K_c \left[ M_q(x) \frac{V_1}{D_1} - M_p(x) \frac{V_2}{D_2} \right]$$

Ստացված հավասարման մեջ  $T(x)$  և  $m(x)$  մեծորյունները անհայտ են. նրանց արժեքները որոշելու համար կազմենք հետևյալ երկու կապերը՝ կորության և ծառայ մոմենտի միջև.

$$\left. \begin{aligned} \frac{1}{\rho_1} &= \frac{m(x)}{D_1} - T(x) \frac{V_1}{D_1} - \frac{M_q(x)}{D_1}, \\ \frac{1}{\rho_2} &= -\frac{m(x)}{D_2} - T(x) \frac{V_2}{D_2} + \frac{M_p(x)}{D_2} \end{aligned} \right\} \quad (6.10)$$

Հաշվի առնելով կորությունների  $\rho_1, \rho_2$  և ճկվածքների  $y_1, y_2$  տարբերությունների որոշման հայտնի արտահայտությունները կստանանք.

$$\left. \begin{aligned} \frac{1}{\rho_1} - \frac{1}{\rho_2} &= \Delta y(x), \\ \Delta y(x) &= y_1 - y_2 \end{aligned} \right\} \quad (6.11)$$

Օգտվենք նաև  $\sigma(x)$  և  $\Delta y(x)$ -ի գծային կապից.

$$\sigma(x) = K_n (y_2 - y_1) = K_n \Delta y(x) \quad (6.12)$$

Հյուկնակի ածանցելով վելիջին (6.12) արտահայտությունը և հաշվի առնելով (6.10, 6.11) և հայտնի  $m''(x) = -\sigma(x)$  արտահայտությունը՝ կստանանք.

$$m^{IV}(x) + 4v^4 m(x) = \beta T(x) + \Delta_2(x). \quad (6.13)$$

որություն՝

$$4v^4 = K_n \left( \frac{1}{D_1} + \frac{1}{D_2} \right), \quad \beta = K_n \left( \frac{V_1}{D_1} - \frac{V_2}{D_2} \right)$$

$$\Delta_2(x) = K_n \left[ M_q(x) \frac{1}{D_1} + M_p(x) \frac{1}{D_2} \right]$$

Այսպիսով խնդրի որվածքը հանգեցնում է լուծելու հետևյալ դիմերենցյալ հավասարմանների համակարգի:

$$T''(x) - \alpha^2 T(x) = \gamma m(x) + \Delta_1(x), \quad (6.14)$$

$$m^{IV}(x) + 4v^4 m(x) = \beta T(x) + \Delta_2(x); \quad (6.15)$$

Ստացված հավասարումների համատեղ լուծումը հանգեցնում է հետևյալին.

$$\begin{aligned} T^{VI}(x) - \alpha^2 T^{IV}(x) + 4v^4 T''(x) + (\beta^2 - \gamma\beta) T(x) &= \\ = \beta \Delta^2(x) + 4v^4 \Delta_1(x) + \Delta_1^{IV}(x), \end{aligned} \quad (6.16)$$

$$\begin{aligned} m^{VI}(x) - \alpha^2 m^{IV}(x) + 4v^4 m''(x) - (\gamma + 4v^4 \alpha^2) m(x) &= \\ = \alpha^2 \Delta_2(x) + \Delta_1(x) + \Delta_2''(x) \end{aligned} \quad (6.17)$$

Առաջին հավասարման (6.16) բնորդագրական հավասարությունը կլինի.

$$\lambda^6 + \alpha^2 \lambda^4 + 4v^4 \lambda^2 + (\beta^2 - \gamma\beta) = 0 \quad (6.18)$$

Այսպիսով, բնորդագրական հավասարությունն ունի 6 արմատներ, ոլուցից 2-ը իրական են, ընդ որում, մեկը դրական, մյուսը բացասական, և բացարձակ արժեքով հավասար առաջինին:

Մնացած արմատները կոմպլեքս են:

Հաշվի առնելով (6.15) հավասարման լուծման բարքությունը՝ առաջարկվում է նրանց (6.14) և (6.15) լուծման մոտավոր եղանակ: Նման կարգի խնդրման բարյությունների վերլուծությունը ցույց է տվել, որ  $T$  ուժի սահեցնությունը պայմանները աննշան են ազդյամ նորմալ

լարտմների բաշխման և նրանց մեծությունների վրա, այդ պատճառով (6.14) հավասարման մեջ այլ մեծությունները հաշվի չեն առնվազ։

Սինչև (6.15) դիֆերենցյալ հավասարման լուծումը որոշենք  $P$  և  $q$  ուժերից ծոռող մոմենտները։ Ընդունելով, որ բեռնվածությանները հողային տաշենլի ծանրությունից բաշխվում են հավասարաչափ։ Կստանանք։

$$M_q(x) = \frac{qx^2}{2}, \quad M_p(x) = \frac{Px^2}{2} - M_0 \quad (6.19)$$

Հաշվի առնելով  $M_q$  և  $M_p$  մոմենտների արժեքները (6.19) արտահայտությունից  $\Delta_1(x)$  և  $\Delta_2(x)$ -ի համար կարող ենք գրել.

$$\Delta_1(x) = K_c \left[ \frac{qx^2}{2} \cdot \frac{V_1}{D_1} - \left( \frac{Px^2}{2} - M_0 \right) \frac{V_2}{D_2} \right], \quad (6.20)$$

$$\Delta_2(x) = K_n \left[ \frac{qx^2}{2D_1} + \left( \frac{Px^2}{2} - M_0 \right) \frac{1}{D_2} \right]: \quad (6.21)$$

Այսպիսով, հաշվի առնելով  $\Delta_1(x)$  և  $\Delta_2(x)$ -ի արժեքները (6.15) դիֆերենցյալ հավասարման ընդհանուր լուծումը ներկայացնենք հետևյալ ձևով։

$$m(x) = e^{-vx} (C_1 \cos vx + C_2 \sin vx) + e^{vx} (C_3 \cos vx + C_4 \sin vx) + \\ + \frac{K_n}{4v^4} \left[ \left( \frac{q}{D_1} + \frac{P}{D_2} \right) \frac{x^2}{2} - \frac{M_0}{D_2} \right] \quad (6.22)$$

$$m'(x) = ve^{-vx} [(C_2 - C_1) \cos vx - (C_1 + C_2) \sin vx] + \\ + ve^{vx} [(C_3 + C_4) \cos vx + (C_3 + C_4) \sin vx] + \\ + \frac{K_n}{4v^4} \left[ \left( \frac{q}{D_1} + \frac{P}{D_2} \right) x \right] \quad (6.23)$$

Կամայական հաստատունների ( $C_1, C_2, C_3, C_4$ ) որոշման համար օգտվենք հետևյալ սկզբանական պայմաններից։

$$m(\mathbf{0}) = \mathbf{0}, \quad m'(0) = \mathbf{0}, \quad m'(\ell) = \mathbf{0}:$$

Ուստի (6.22) և (6.23) արտահայտություններից կստանանք.

$$C_1 + C_3 = -\frac{K_n}{4v^4} \cdot \frac{M_0}{D_2}, \quad C_2 - C_1 + C_3 + C_4 = \mathbf{0},$$

$$\left. \begin{aligned} & e^{-vx} (C_1 \cos vx + C_2 \sin vx) + e^{vx} (C_3 \cos vx + C_4 \sin vx) = \\ & = -\frac{K_n}{4v^4} \left[ \left( \frac{q}{D_1} + \frac{P}{D_2} \right) \frac{\ell^2}{2} - \frac{M_0}{D_2} \right], \\ & ve^{-vx} [(C_2 - C_1) \cos vx - (C_1 + C_2) \sin vx] + \\ & + ve^{vx} [(C_3 + C_4) \cos vx + (C_4 - C_3) \sin vx] + \\ & + \frac{K_n}{4v^4} \left[ \left( \frac{q}{D_1} + \frac{P}{D_2} \right) \ell \right] = 0 \end{aligned} \right\} \quad (6.24)$$

Վերջին հավասարումների լուծումից ստանում ենք  $C_1, C_2, C_3, C_4$  հաստատունների արժեքները և դրանք տեղադրելով (6.22) արտահայտության մեջ, գտնում ենք.

$$\begin{aligned} m(x) = & e^{-v(1+x)} \frac{1}{4v^4} \left\{ v\ell (C + D\ell^2) (\cos vx + \sin vx) - 2C \sin vx \right. \\ & \left. - [v\ell (C + D\ell^2) (\cos vx + 3 \sin vx) - 2C (\sin vx - \cos vx)] \sin vx \right\} + \\ & + e^{-v(1+x)} \frac{1}{4v^4} \left\{ 2C \sin vx - v\ell (C + D\ell^2) (\cos vx + \sin vx) \right\} \cos vx + \\ & + \left[ v\ell (C + D\ell^2) (\cos vx - \sin vx) - 2C \cos vx \right] \sin vx + \\ & + \frac{K_n}{4v^4} (C + Dx^2) \quad (6.25) \end{aligned}$$

Օգտվելով  $m''(x) = -\sigma(x)$  արտահայտությունից՝ որոշենք նաև նորմալ լարումների արժեքները.

$$\begin{aligned} \sigma(x) = & e^{-v(1+x)} \frac{1}{2v^3} \left\{ v\ell (C + D\ell^2) (\cos vx + \sin vx) - 2C \sin vx \right. \\ & \left. - [v\ell (C + D\ell^2) (\cos vx + 3 \sin vx) - 2C (2 \sin vx - \cos vx)] \cos vx \right\} + \end{aligned}$$

$$+ e^{-v(1-x)} \frac{1}{2v^3} \left\{ v\ell(C + D\ell^2)(\cos v\ell + \sin v\ell) - 2C \sin v\ell \right] \cos v\ell - \\ - [2C \sin v\ell - v\ell(C - D\ell^2)(\cos v\ell + \sin v\ell)] \sin vx \} \quad (6.26)$$

Վերջին հավասարումներում անտեսելով հաշվարկի արդյունքների վրա ամենան ազդեցություն բոլոր մեծությունները ստանում ենք.

$$m(x) = -\bar{q} \frac{1}{2v} e^{-v(1-x)} \frac{\sin vx}{\sin v\ell - \cos v\ell} + \bar{q} \frac{x^2}{2}, \quad (6.27)$$

$$Q(x) = -\bar{q} \frac{1}{2} e^{-v(1-x)} \frac{\sin vx + \cos vx}{\sin v\ell - \cos v\ell} + \bar{q}x^2, \quad (6.28)$$

$$\alpha(x) = -\bar{q}(v\ell) e^{-v(1-x)} \frac{\cos vx}{\sin v\ell - \cos v\ell} + \bar{q}, \quad (6.29)$$

$$\bar{q} = \frac{1}{2}(P + q)$$

Այժմ որոշենք սահրի ուժերի և լարումների մեծությունները (6.14) հավասարումից՝ օգտագործելով  $m(x)$ -ի ստացված արժեքը (6.27):

$$T''(x) - \alpha^2 T(x) = -\gamma \left[ \frac{\bar{q}\ell^2}{2} \left( \frac{e^{-v(1-x)}}{v\ell} \cdot \frac{\sin vx}{\sin v\ell - \cos v\ell} - \frac{x^2}{\ell^2} \right) \right] \quad (6.30)$$

Այս դիֆերենցիալ հավասարման ընդհանուր լուծումը ներկայացվում է հետևյալ տեսքով.

$$T(x) = C_1 \operatorname{sh} \alpha x + C_2 \operatorname{ch} \alpha x + \\ \frac{\bar{q}\ell^2}{2\alpha} \gamma \int_0^x \frac{1}{v\ell} e^{-v(1-\xi)} \cdot \frac{\sin v\xi}{\sin v\ell - \cos v\ell} - \frac{\xi^2}{\ell^2} \operatorname{sh} \alpha(x-\xi) d\xi, \quad (6.31)$$

$$T'(x) = \alpha C_1 \operatorname{ch} \alpha x + \alpha C_2 \operatorname{sh} \alpha x + \frac{\bar{q}\ell^2}{2} \gamma \int_0^x \frac{1}{v\ell} e^{-v(1-\xi)} \times \\ \times \frac{\cos v\xi + \sin v\xi}{\sin v\ell - \cos v\ell} - 2\xi \operatorname{ch} \alpha(x-\xi) d\xi \quad (6.32)$$

Հնտեղիւրով վերջին արտահայտությունները կստանանք

$$T(x) = C_1 \operatorname{sh} \alpha x + C_2 \operatorname{ch} \alpha x - \frac{\bar{q}\ell^2}{2} \gamma \left\{ \frac{e^{-v(1-x)}}{v\ell(\alpha^4 + 4v^4)} \times \right. \quad (6.33)$$

$$\left. \times \frac{\alpha^2 \operatorname{sh} vx + 2v^2 \cos vx}{\sin v\ell - \cos v\ell} - \frac{2 + \alpha^2 x^2}{\alpha^4 \ell^2} \right\}$$

$$\tau(x) = \alpha C_1 \operatorname{ch} \alpha x + \alpha C_2 \operatorname{sh} \alpha x - \frac{\bar{q}\ell}{2} \gamma \left\{ \frac{e^{-v(1-x)}}{\alpha^4 + 4v^4} \times \right. \quad (6.34)$$

$$\left. \times \frac{(\alpha^2 - 2v^2 \sin vx + (\alpha^2 + 2v^2)) \cos vx}{\sin v\ell - \cos v\ell} - \frac{x}{\alpha^2 \ell} \right\}$$

Սկզբնական պայմանների օգնությամբ  $T(\mathbf{0}) = \mathbf{0}$ ,  $T'(\ell) = \mathbf{0}$  (6.33, 6.34) ալտահայտություններից կստանանք՝

$$C_1 \operatorname{ch} \alpha \ell + C_2 \operatorname{sh} \alpha \ell = \frac{\bar{q}\ell}{2\alpha} \gamma \left\{ \frac{1}{\alpha^4 + 4v^4} \times \right. \right. \times \left[ \frac{(\alpha^2 - 2v^2) \sin v\ell + (\alpha^2 + 2v^2) \cos v\ell}{\sin v\ell - \cos v\ell} - \frac{1}{\alpha^2} \right],$$

$$C_2 = \frac{\bar{q}\ell^2}{2} \gamma \left[ e^{-v\ell} \cdot \frac{1}{v\ell(\alpha^4 + 4v^4)} \left( \frac{2v^2}{\sin v\ell - \cos v\ell} \right) - \frac{2}{\alpha^4 \ell^2} \right] \quad (6.35)$$

Այսպիսով կստանանք

$$T(x) = \frac{\bar{q}\ell^2}{2} \gamma \left[ \left[ \frac{2v^2 e^{-v\ell}}{v\ell(\alpha^4 + 4v^4)(\sin v\ell - \cos v\ell)} - \frac{2}{\alpha^4 \ell^2} \right] \frac{\operatorname{ch} \alpha(1-x)}{\operatorname{ch} \alpha \ell} + \right. \\ + \left[ \frac{(\alpha^2 - 2v^2) \sin v\ell + (\alpha^2 + 2v^2) \cos v\ell}{(\alpha^4 + 4v^4)(\sin v\ell - \cos v\ell)} - \frac{1}{\alpha^2} \right] \frac{\sin \alpha x}{\alpha \ell \operatorname{ch} \alpha \ell} \left. \right] - \\ - \frac{\bar{q}\ell^2}{2} \gamma \left[ \frac{e^{-v(1-x)}}{v\ell(\alpha^4 + 4v^4)} \left[ \frac{\alpha^2 \sin vx + 2v^2 \cos vx}{(\sin v\ell - \cos v\ell)} \right] - \frac{2 + \alpha^2 x^2}{\alpha^4 \ell^4} \right], \quad (6.36)$$

$$\begin{aligned} \tau(x) = & -\frac{q}{2} \gamma \left[ \left( \frac{2v^2 e^{-vx}}{v \ell (\alpha^4 + 4v^4)(\sin vx - \cos vx)} - \frac{2}{\alpha^4 \ell^4} \right) \times \right. \\ & \times \frac{\alpha \ell \sin \alpha(1-x)}{\cosh \alpha \ell} + \left. \left( \frac{e^{-vx(1-x)} [(\alpha^2 - 2v^2) \sin vx + (\alpha^2 + 2v^2) \cos vx]}{(\alpha^4 + 4v^4)(\sin vx - \cos vx)} \right) \right] - \\ & - \frac{q \ell^2}{2} \gamma \left[ \left( \frac{\alpha^2 - 2v^2 \sin vx + (\alpha^2 + 2v^2) \cos vx}{(\alpha^4 + 4v^4)(\sin vx - \cos vx)} - \frac{1}{\alpha^2} \right) \times \right. \\ & \times \left. \left( \frac{\cosh \alpha x}{\cosh \alpha \ell} - \frac{x}{\alpha^2 \ell} \right) \right] \end{aligned} \quad (6.37)$$

Պրակտիկ հաշվարկների ճպատակով բնդունելով 3-4% սխալ, կարող ենք գրել

$$T(x) = -\frac{q}{\alpha^2 V_1} \left[ \frac{\cosh \alpha(\ell - x) + \alpha \ell \sinh \alpha x}{\cosh \alpha \ell} - \left( 1 + \frac{\alpha^2 x^2}{2} \right) \right], \quad (6.38)$$

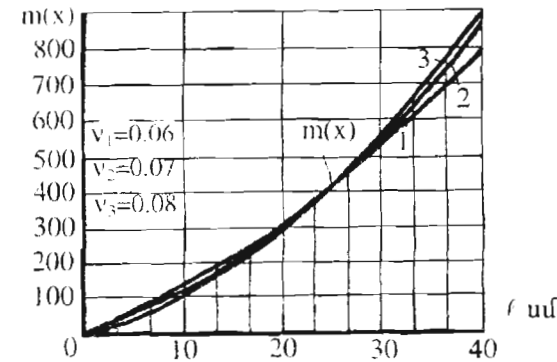
$$\tau(x) = -\frac{q}{\alpha V_1} \left[ \frac{\alpha \ell \cosh \alpha x - \sinh \alpha(\ell - x)}{\cosh \alpha \ell} - \alpha x \right] \quad (6.39)$$

Համապատասխան կարգով  $T(x)$  և  $\tau(x)$  առավելագույն ալիքները կլինեն.

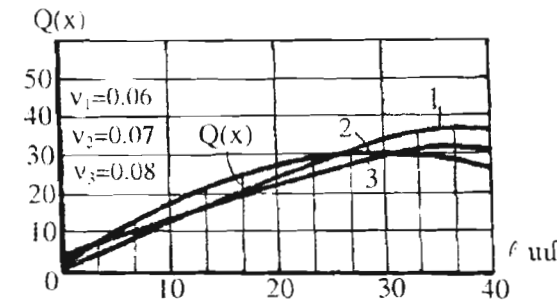
$$\max T(\ell) = -\frac{q}{\alpha^2 V} \left[ \frac{1 + \alpha \ell \sinh \alpha \ell}{\cosh \alpha \ell} - \left( 1 + \frac{\alpha^2 \ell^2}{2} \right) \right] \quad (6.40)$$

$$\max \tau(0) = -\frac{q}{\alpha V} \left( \frac{\alpha \ell - \sinh \alpha \ell}{\cosh \alpha \ell} \right) \quad (6.41)$$

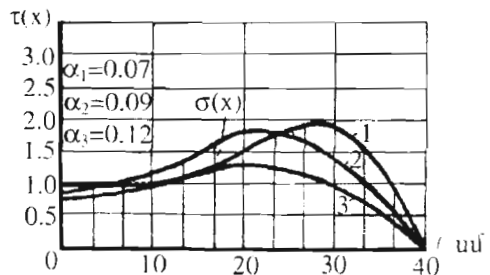
Դիտարկված դեպքերի համար ( $\alpha < 90^\circ$ ) տարբեր հոլառեսքերի համար կառուցենք  $m$ ,  $Q$ ,  $\sigma$ ,  $T$  և  $\tau$  մեծորյունների կախվածորյան զրաֆիկները դեֆորմատորի պարամետրերից. (նկ. 6.4-6.8):



Նկ.6.4 Դեֆորմատորի վրա ծռող մոմենտների  $m(x)$  կախվածորյունը բանող մակերևույթի երկարությունից  $l$  (1-թերի հող, 2-միջին ամրության և 3-պինդ հող):

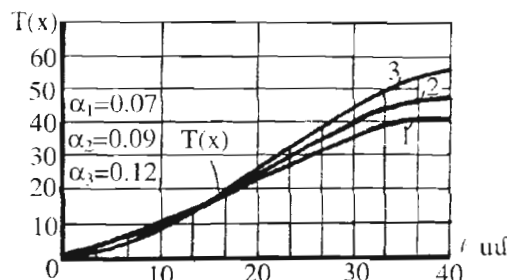


Նկ.6.5 Դեֆորմատորինը բանող մակերևույթի երկարությունից  $l$  (քերի, միջին ամրության և պինդ հողերում):



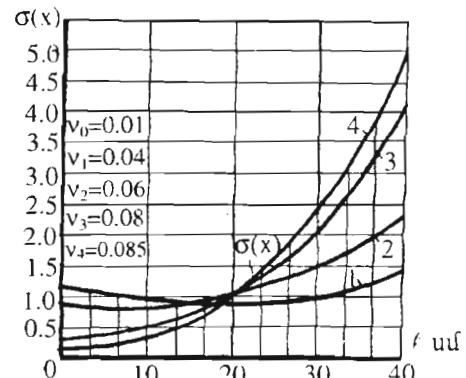
Նկ.6.6 Դեֆորմատորի մակերևույթի սահի լարումների  $T(x)$

Կախվածությունը բանող մակերևույթի երկարությունից ( $\ell$  (քերն, միջին և պինդ ամրության հողերում)):



Նկ.6.7 Դեֆորմատորի մակերևույթի սահի ուժերի  $T(x)$

Կախվածությունը բանող մակերևույթի երկարությունից ( $\ell$  (քերն, միջին և պինդ ամրության հողերում)):



Նկ.6.8 Նորմալ լարումների  $\sigma(x)$  կախվածությունը բանող մակերևույթի

երկարությունից ( $\ell$  (քերն, միջին և պինդ ամրության հողերում)):

Կառուցված զրաֆիկական կապերի վերլուծորյունը ցոյց է, տալիս հետևյալը:

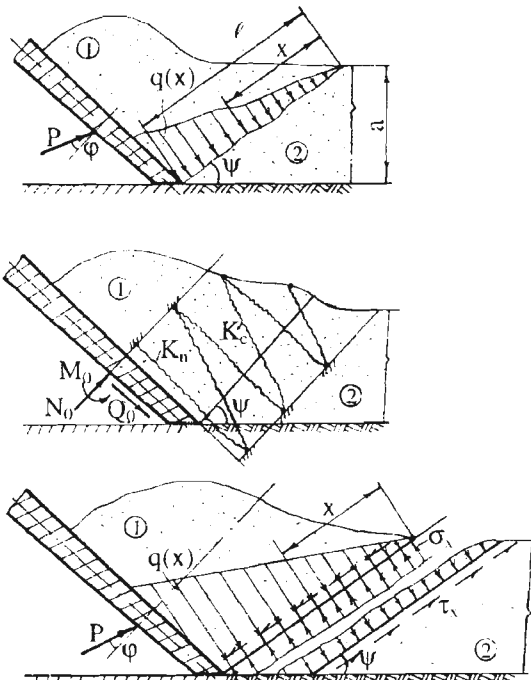
1. Հողի ֆիզիկուտեխնոլոգիական հատկությունները որոշակաբերեն ազդում են (ու. ջ. օ. շ. Տ) շրջամեռությի մեծարյունների վրա. սակայն ընթանուր օրինաչափությունները մնում են նման, բնոյ որում առավելագույն լարվածային վաւակ առաջանում է կտրող տայրի որդակայքում ( $\ell \rightarrow \max$ , նկ. 6.3.):

2. Ստացված հաշվարկելու հարաբերությունը  $\frac{\sigma}{\sigma}$  միջին հաշվով տավասար է  $0.58 \cdot 0.12 \cdot 0.46$ :

Պինդ հողերում էներգիան ծալսավում և կցման ուժերի, թերև հողերում շփման ուժերի հարթակաբան վրա:

## 6.2.2. Հողի լարվածադեֆորմացիոն վիճակը ճաքի հարթության վրա քարշագանգվածի առաջացման դեպքում

Դիտարկվող խնդրի երկրորդ դեպքի ( $\alpha > 90 - \varphi$ ) քննարկման համար օգտվենք նկ. 6.9 հաշվարկային սխեմայից:



Նկ. 6.9 Հողի լարվածադեֆորմացիոն վիճակի հետազոտության  
սխեման ( $\alpha > 90 - \varphi$ ):

Նորմայ և շաղկութայի լարումների որաշման համար օգտվենք արդեն ծագակած մեթոդից:

Հարաբերական դեֆորմացիաների մեծությունները ենթադրվող հավանական կոնտակտային մակերևույթի վրա կլինեն

$$\delta_1^1(x) = -\frac{T(x)}{B_1} - T(x) \frac{V_1^2}{D_1} + m(x) \frac{V_1}{D_1} - M_q(x) \frac{V_1}{D_1} \quad (6.42)$$

$$\delta_2^1(x) = -\frac{T(x)}{B_2} - T(x) \frac{V_2^2}{D_2} + m(x) \frac{V_2}{D_2} \quad (6.43)$$

Ճաքի մակերևույթի վրա հարաբերական սահման կլինի.

$$\Delta \delta_c^1(x) = \delta_2^1(x) - \delta_1^1(x) = m(x) \left( \frac{V_1}{D_1} - \frac{V_2}{D_2} \right) - T(x) \left( \frac{1}{B_1} + \frac{1}{B_2} + \frac{V_1^2}{D_1} + \frac{V_2^2}{D_2} \right) + M_q(x) \frac{V_1}{D_1} \quad (6.44)$$

Նախորդ պայմանին համանման կարող ենք գրել

$$\tau(x) = K_c \Delta \delta_c^1(x) \quad (6.45)$$

Հաշվի առնելով  $T'(x) = \tau(x)$ , կստանանք

$$T''(x) - \alpha^2 T(x) = \gamma m(x) + \Delta_1(x), \quad (6.46)$$

որտեղ՝

$$\alpha^2 = K_c \left( \frac{1}{B_1} + \frac{1}{B_2} + \frac{V_1^2}{D_1} + \frac{V_2^2}{D_2} \right), \quad \gamma = K_c \left( \frac{V_2}{D_2} - \frac{V_1}{D_1} \right)$$

$$\Delta_1(x) = K_c M_q(x) \frac{V_1}{D_1};$$

Ստացված հավասարման (6.46) հետ համակարգի կազմման համար օգտվենք կորուբյունների տարրելսություններից՝ հողի և դեֆորմատորի համար.

$$\frac{1}{\rho_1} = \frac{m(x)}{D_1} - T(x) \frac{V_1}{D_1} - M_q(x) \frac{1}{D_1}, \quad (6.46)$$

$$\frac{1}{\rho_2} = -\frac{m(x)}{D_2} - T(x) \frac{V_2}{D_2} \quad (6.47)$$

$$\frac{1}{\rho_1} - \frac{1}{\rho_2} = m(x) \left( \frac{1}{D_1} + \frac{1}{D_2} \right) - T(x) \left( \frac{V_1}{D_1} - \frac{V_2}{D_2} \right) - M_q(x) \frac{1}{D_1} \quad (6.48)$$

Ընդունենք ճկվածքների տարրելության և նորմալ լարսմաների միջև գծային կախվածություն.

$$K_n \Delta y(x) = K_n [y_1(x) - y_2(x)] = \sigma(x) \quad (6.49)$$

Քանի որ  $\Delta y''(x) = \frac{1}{\rho_1} - \frac{1}{\rho_2}$ , ուստի (6.48) հավասարումը կնշումի հետևյալ տեսքը.

$$\Delta y''(x) = m(x) \left( \frac{1}{D_1} + \frac{1}{D_2} \right) - T(x) \left( \frac{V_1}{D_1} - \frac{V_2}{D_2} \right) - M_q(x) \frac{1}{D_1} \quad (6.50)$$

Հայտնի է նաև՝

$$M_q(x) = \frac{qx^3}{3\ell} \text{ և } m''(x) = -\sigma(x), \text{ ուստի}$$

$$m^{IV}(x) + 4v^4 m(x) = \beta T(x) + \Delta_2(x), \quad (6.51)$$

$$\text{որտեղ } 4v^4 = K_n \left( \frac{1}{D_1} + \frac{1}{D_2} \right)$$

$$\beta = K_n \left( \frac{V_1}{D_1} - \frac{V_2}{D_2} \right)$$

$$\Delta_2(x) = K_n \frac{q}{D_1} \cdot \frac{x^3}{3\ell}.$$

Այսպիսով ստացանք հետևյալ երկու դիֆերենցիալ հավասարումներ՝

$$T''(x) - \alpha^2 T(x) = \gamma m(x) + \Delta_1(x). \quad (6.52)$$

$$m^{IV} + 4v^4 m(x) = \beta T(x) + \Delta_2(x). \quad (6.53)$$

Հնորումների որոշ բացումները (6.53) հավասարումը գրենք հետևյալ տեսքով՝

$$m^{IV}(x) - v^{-4} \sigma(x) = \Delta_2(x) \quad (6.54)$$

Կարելի է սննդում նաև որ եղիքսրդ էլեմենտի խոլորչունք  $h_2 = \infty$ , ուստի՝

$$B_2 = D_2 = \infty \text{ և } 4v^4 = \frac{K_n}{D_1}, \quad \beta = V_1 \frac{K_n}{D_1};$$

Ստացված (6.54) հավասարան բնդիանուր բաժումը ներկայացնենք հետևյալ տեսքով.

$$m(x) = e^{-vx} (C_1 \cos vx + C_2 \sin vx) + \\ + e^{vx} (C_3 \cos vx + C_4 \sin vx) + q \frac{x^3}{3\ell}, \quad (6.55)$$

$$m'(x) = v \left\{ e^{-vx} [(C_2 - C_1) \cos vx - (C_1 + C_2) \sin vx] + e^{vx} [(C_3 + C_4) \cos vx + (C_4 + C_3) \sin vx] \right\} + q \frac{x^2}{\ell}$$

Օգտվելով սկզբնական պայմաններից

$$m(0) = 0, \quad m'(0) = 0, \quad m(\ell) = 0, \quad \text{ստանում} \quad \text{ենք՝}$$

$$C_1 + C_3 = 0, \quad C_2 - C_1 + C_3 + C_4 = 0,$$

$$e^{vx} (C_3 \cos vx + C_4 \sin vx) + e^{-vx} (C_1 \cos vx + C_2 \sin vx) = -\frac{q\ell^2}{3},$$

$$e^{vx} [(C_3 + C_4) \cos vx + (C_4 - C_3) \sin vx] + \\ + e^{-vx} [(C_2 - C_1) \cos vx - (C_1 + C_2) \sin vx] = -\frac{q\ell^2}{v}; \quad (6.56)$$

Համատեղ բաժենով վերջին հավասարումները և բնդումները որոշ բացառումներ ստանում ենք.

$$C_1 = -C_3 = \frac{q\ell^2}{3} e^{-vx} \left[ \left( 1 - \frac{2}{v\ell} \right) \sin vx + \cos vx \right],$$

$$C_4 = \frac{q\ell^2}{3} e^{-vx} \left[ \left( 1 - \frac{2}{v\ell} \right) \cos vx - \sin vx \right],$$

$$C_2 = -C_1 + \frac{2q\ell^2}{3} e^{-vx} \left[ \left( 1 - \frac{1}{v\ell} \right) \sin vx + \left( 1 + \frac{1}{v\ell} \right) \cos vx \right]$$

Հաշվի առնելով նաև  $m''(x) = -\sigma(x)$ ,  $Q_x = m'(x)$  ստանում ենք

$$m(x) = \frac{q\ell^2}{3} \left\{ e^{-vx} (\ell - x) \left[ \left( \frac{2}{v\ell} - 1 \right) \sin vx - \cos vx \right] + \right. \\ \left. + \frac{x^3}{\ell^3} \right\}, \quad (6.57)$$

$$Q(x) = \frac{q\ell}{3} \left\{ 2e^{-v(\ell-x)} \cdot (v\ell) \left[ \left( \frac{1}{v\ell} - 1 \right) \sin v(\ell-x) - \left( \frac{1}{v\ell} \right) \cos v(\ell-x) \right] + \frac{3x^2}{\ell^2} \right\}, \quad (6.58)$$

$$\sigma(x) = -2q \times \\ \times \left\{ \frac{1}{3} e^{-v(\ell-x)} (v\ell)^2 \left[ \sin v(\ell-x) + \left( \frac{2}{v\ell} - 1 \right) \cos v(\ell-x) \right] - \frac{x}{\ell} \right\} \quad (6.59)$$

Ունենալով ծառը մոմենտի (6.57) մեծությունները և օգտվելով (6.59) հավասարությունում, որպէսն սահրի ոժերի  $T(x)$  մեծությունները,

$$T''(x) - \alpha^2 T(x) = \frac{q\ell^2}{3} \gamma \times \\ \times \left\{ e^{-v(\ell-x)} \cdot (v\ell) \left[ \left( \frac{2}{v\ell} - 1 \right) \sin v(\ell-x) - \cos v(\ell-x) \right] + \frac{x^3}{\ell^3} \right\} \quad (6.60)$$

Վերջի՞ց սափառաբան բնդիանոր լուծումը ներկայացնենք տեսևալ տեսքով:

$$T(x) = A \text{sh} \alpha x + B \text{ch} \alpha x + \frac{q\ell^2}{3\alpha} \int_0^{v(\ell-x)} \left\{ \left[ \left( \frac{2}{v\ell} - 1 \right) \sin v\ell - \cos v\ell \right] \times \right. \\ \times \cos v\xi + \left[ \left( 1 - \frac{2}{v\ell} \right) \cos v\ell - \sin v\ell \right] \sin v\xi \} \sin \alpha(x-\xi) d\xi. \quad (6.61)$$

$$\tau(x) = \alpha A \text{ch} \alpha x + \alpha B \text{sh} \alpha x + \frac{q\ell^2}{3} \int_0^{v(\ell-x)} \left\{ \left[ \left( \frac{2}{v\ell} - 1 \right) \sin v\ell - \cos v\ell \right] \times \right. \\ \times \cos v\xi + \left[ \left( 1 - \frac{2}{v\ell} \right) \cos v\ell - \sin v\ell \right] \sin v\xi \} \text{ch} \alpha(x-\xi) d\xi. \quad (6.62)$$

Անտեսելով փոքր մեծությունները և օգտվելով սկզբնական պայմաններից

$$T(\ell) = 0, \tau(0) = 0, \gamma = -K_c \frac{V_1}{D_1} = -1.33 \frac{\alpha^2}{V_1}, \text{կստանանք.}$$

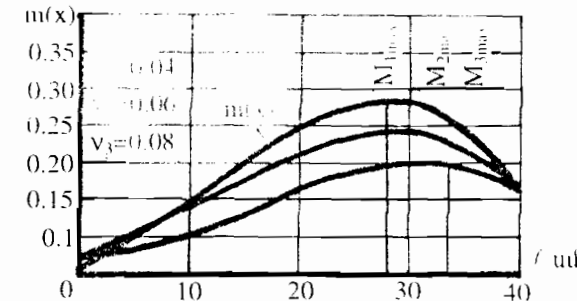
$$T(x) = -2.66 \frac{q}{\alpha^3 V_1 \ell} \times \\ \times \left[ \frac{\text{sh} \alpha(\ell-x)}{\text{ch} \alpha \ell} - \left( \alpha \ell + \frac{\alpha^3 \ell^3}{6} \right) \frac{\text{ch} \alpha x}{\text{ch} \alpha \ell} + \left( \alpha x + \frac{\alpha^3 x^3}{6} \right) \right] \quad (6.63)$$

$$\tau(x) = 1.33 \frac{q}{\alpha^2 V_1 \ell} \times \\ \times \left[ \frac{\text{ch} \alpha(\ell-x)}{\text{ch} \alpha \ell} \left( \alpha \ell + \frac{\alpha^3 \ell^3}{3} \right) \frac{\text{sh} \alpha x}{\text{ch} \alpha \ell} + \left( 1 + \frac{\alpha^2 x^2}{2} \right) \right] \quad (6.64)$$

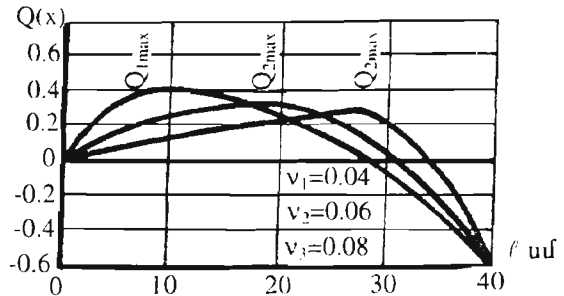
$$\max T(0) = -2.66 \frac{q}{\alpha^3 V_1 \ell} \left[ \text{th} \alpha \ell - \frac{1}{\text{ch} \alpha \ell} \left( \alpha \ell + \frac{\alpha^3 \ell^3}{3} \right) \right] \quad (6.65)$$

$$\max \tau(\ell) = 1.33 \frac{q}{\alpha^2 V_1 \ell} \times \\ \times \left[ \frac{1}{\text{ch} \alpha \ell} + \left( \alpha \ell + \frac{\alpha^3 \ell^3}{3} \right) \text{th} \alpha \ell + \left( 1 + \frac{\alpha^2 \ell^2}{2} \right) \right] \quad (6.66)$$

Տեսական արտահայտությունների գրաֆիկական տեսքերը տրված են նկ. 6.10-6.13:



Նկ.6.10 Ծարի մակերեսույրի վլու գրաֆիկը՝ շնորհանդեսելի  $m(x)$  կախածությունը բանող օպերատորի արդյունակությունից (քրի, միջին և ծանր խղճերում):



Նկ.6.11 ճարի հարթության վրա ազդող ուղղահայաց  $Q(x)$   
ուժերի կախվածությունը բանող մակերևույթի երկարությունից  
(թերև, միջին և ծանր հողերում):

Ստացված կախվածությունների վերլուծությունները բոյլ են տալիս ամերու հետևյալ հետևողությունները:

1. Ստացված գրաֆիկական տվյալները բոյլ են տալիս կատարելու դեֆորմատորի և խոյի փոխազեցության ցանկացած ուժային հաշվարկ:

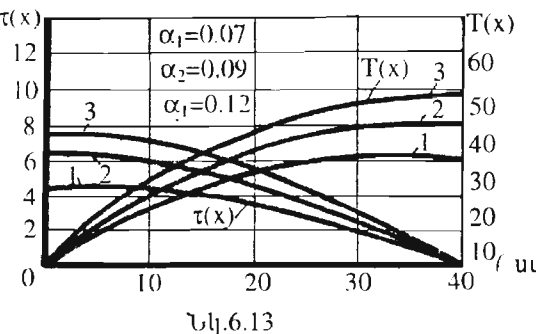
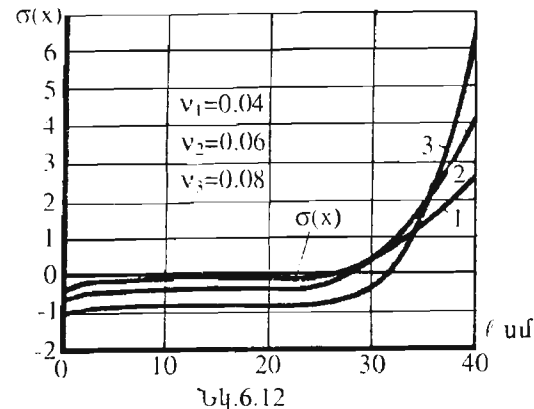
2.Հողի լարվածա-լեֆտրմացյուն վիճակի տառմասի սիրությունները՝  $\alpha > 90^\circ$ -ը լեպքի համար, բոյլ են տալիս որոշելու ճարերի տարածման հետագծերի ձևերը:

Այդ հետագծերն համնկնում են նորմալ և շոշովող լարումների գլխավոր հարթակների գծերի հետ.

$$\operatorname{tg}\Psi_0 =$$

$$= \frac{3 \left[ (ch\alpha\ell - ch\alpha x) + \alpha^2 \ell^2 \left( 1 - \frac{x^2}{\ell^2} \right) \right]}{\alpha^2 v_1 \ell \left\{ v\ell e^{-v(\ell-x)} \cdot [(v\ell) \sin v(\ell-x) + (2-v\ell) \cos v(\ell-x)] - 3 \frac{x}{\ell} \right\}},$$

$$\operatorname{tg}\Psi_1 = \frac{1}{\operatorname{tg}\Psi} :$$



Նկ.6.12 ճարի հարթության վրա նորմալ լարումների  $\sigma(x)$   
կախվածությունը բանող մակերևույթի երկարությունից  $\ell$  (թերև,  
միջին և ծանր հողերում):  
Նկ. 6.13 ճարի մակերևույթին ազդող սահքի  $T(x)$  և  
լարումների  $(\tau(x))$  կախվածությունը բանող մակերևույթի  
երկարությունից  $\ell$  (թերև, միջին և ծանր հողերում):

### 6.2.3. Լարումների բնույթը բանող մակերևույթի վրա ( $\alpha > 90^\circ - \varphi$ դեպքի համար)

Ես բաժինը նպատակադրված է օգտվելով մշակված մեթոդիկայից. բացահայտել բանող մակերևույթի վրա առաջացող ճիգերի բաղադրիչների բնույթը, որոնք իրենց հերթին հիմք են հասկանալու բերնվածությանների դեֆորմատորից հողին փոխանցելու բնույթը:

Հաշվարկային սխեման տրվում է նկ. 6.14 տեսքով. որտեղ գործընթացը նմանակվում է նորմալ և սահրի կապելով, համապատասխան կոշտության գործակիցներով  $K_n$ ,  $K_c$ :

Դեֆորմացիաների հիմնական հավասարումների ստացման նպատակով օգտվենք կորուրյան և ծովոյ մոմենտների կապից երկու էլեմենտների համար.

$$\left. \begin{aligned} \frac{1}{\rho_1} &= \frac{M(x)}{D_1} - T(x) \frac{V_1}{D_1} - \frac{M_q(x)}{D_1}, \\ \frac{1}{\rho_2} &= -\frac{M(x)}{D_2} + T(x) \frac{V_2}{D_2} + \frac{M_p(x) - M_0}{D_2}, \end{aligned} \right\} \quad (6.67)$$

Որտեղ՝  $M(x)$ -ը  $R(x)$  ուժից առաջացող ծովոյ մոմենտն է,  $M_p(x)$ .  $M_q(x)$ -ը  $P(x)$  և  $q(x)$  ինտենսիվ բեռներից առաջացող ծովոյ մոմենտները ( $P$  և  $q$  ուժերը առաջանում են քարշի ուժից և առի ծանրության ուժից),  $M_0$ -արտաքին  $P$  ուժի առավելագույն ազդեցուրյունից առաջացող ծովոյ մոմենտը:

Հայտնի է նաև

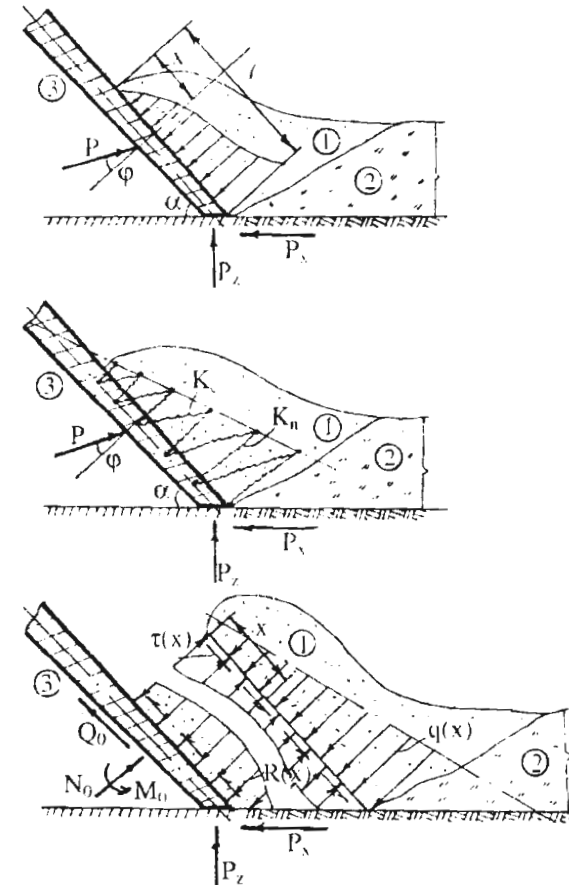
$$\Delta y''(x) = \left( \frac{1}{\rho_1} - \frac{1}{\rho_2} \right) \quad (6.68)$$

$\Delta y(x) = y_1 - y_2$  երկու էլեմենտների ճկվածքների տարբերությունը, մյուս կողմից.

$$K_n \Delta y(x) = R(x) = -M''(x). \quad (6.69)$$

$R(x)$  - նորմալ լարումն է նորմալ կապելում:

Հաշվի առնելով (6.67-6.69) հավասարումները՝ կստանանք



Նկ. 6.14 Բանող օրգանի լարման սպասածաղկություն վիճակի հետազոտության սխեմա ( $\alpha > 90^\circ - \varphi$ ):

$$\begin{aligned} M^{IV}(x) + 4v^4 M(x) &= K_n \left\{ \left[ \frac{M_q(x)}{D_1} + \frac{M_p(x) - M_0}{D_2} \right] - \right. \\ &\quad \left. - T(x) \left( \frac{V_1}{D_1} - \frac{V_2}{D_2} \right) \right\}, \end{aligned} \quad (6.70)$$

$$\begin{aligned} M_q(x) &= q \frac{x^3}{3\ell}, \quad M_p(x) = P \frac{x^3}{3\ell}, \text{ mutually} \\ M^{IV}(x) + 4v^4 M(x) &= \\ &= K_n \left( \frac{P}{D_2} + \frac{q}{D_1} \right) \frac{x^3}{3\ell} - K_n T(x) \left( \frac{V_1}{D_1} - \frac{V_2}{D_2} \right) \end{aligned} \quad (6.71)$$

Անտեսելով սակարի լարաւմների ագդեցությունը ծովու մոմենտների վրա, ստացված դիմերենցիալ հավասարման ընդհանուր լուծումը կլինի հետեւալ տեսքը.

$$M(x) = e^{-vx} (C_1 \cos vx + C_2 \sin vx) + e^{vx} (C_3 \cos vx + C_4 \sin vx) + \frac{K_n}{4v^4} \left( \frac{q}{D_1} + \frac{P}{D_2} \right) x^3 \quad (6.72)$$

$$M'(x) = v \{ e^{-vx} [(C_2 - C_1) \cos vx - (C_1 + C_2) \sin vx] + \\ + e^{vx} [(C_3 + C_4) \cos vx + (C_4 - C_3) \sin vx] \} + \\ + \frac{K_n}{4v^4} \left( \frac{q}{D_1} + \frac{P}{D_2} \right) \frac{x^2}{\ell} : \quad (6.73)$$

Ակզենական պայմաննելիք  $M(0) = 0$ ,  $M'(0) = 0$ ,

$$\left. \begin{aligned}
 M(\ell) = 0, \quad M'(\ell) = 0 \text{ ստանով ենք } C_1 + C_3 = 0, \quad C_2 - C_1 + C_3 + C_4 = 0 \quad \text{ուստի} \\
 e^{-\nu t} (C_1 \cos \nu t + C_2 \sin \nu t) + e^{\nu t} (C_3 \cos \nu t + C_4 \sin \nu t) + \\
 + \frac{K_n \ell^2}{12\nu^4} \left( \frac{q}{D_1} + \frac{P}{D_2} \right) = 0 \\
 e^{-\nu t} [(C_2 - C_1) \cos \nu t - (C_1 + C_2) \sin \nu t] + \\
 + e^{\nu t} [(C_3 + C_4) \cos \nu t + (C_4 + C_3) \sin \nu t] + \\
 + K_n \frac{\ell}{4\nu^5} \left( \frac{q}{D_1} + \frac{P}{D_2} \right) = 0
 \end{aligned} \right\} \quad (6.74)$$

Վերջին չորս արտահայտություններից ստանում ենք.

$$\left. \begin{aligned} C_1 &= -C_3 = -\frac{q/\ell^2}{3v/\ell} e^{-v\ell} [3 \sin v\ell - v\ell (\sin v\ell + \cos v\ell)], \\ C_2 &= C_4 = \frac{q/\ell^2}{3v/\ell} e^{-v\ell} [3(\cos v\ell - \sin v\ell) + 2v\ell \cos v\ell], \\ C_3 &= -\frac{q/\ell^2}{3v/\ell} e^{-v\ell} [3 \cos v\ell - v\ell (\sin v\ell - \cos v\ell)], \end{aligned} \right\} \quad (6.75)$$

$$M'(x) = Q(x), M''(x) = -R(x), \text{ ստանում ենք}$$

$$M(x) = \frac{q\ell^2}{3} \left\{ \frac{e^{-v(\ell-x)}}{\sqrt{\ell}} [((2-v\ell)\sin\sqrt{\ell}(x-\ell) - v\ell\cos\sqrt{\ell}(x-\ell)) + \frac{x}{\ell^{3/2}}] \right\}, \quad (6.76)$$

$$Q(x) = \frac{2q\ell}{3} \left\{ e^{-v(x-x_0)} [(1-v\ell) \sin v(1-x) - \cos v(1-x)] + \frac{3x^2}{2\ell^2} \right\} \quad (6.77)$$

$$R(x) = -\frac{2q}{3} \left\{ v^\ell e^{-v(t-x)} [v^\ell \sin v(t-x)] + (2-v^\ell) \cos v(t-x) + 3 \frac{x}{\ell} \right\} \quad (6.78)$$

Սահքի լարտմների և տժերի որոշման համար օգտվենք առաջին և երկրարդ էլեմենտների մակերևսային շերտերի երկանութան խստաբերական ոեֆտոմագիաների տարրերությունից.

$$\mathbf{E}_i(x) = \delta_i^l(x) = -\frac{T(x)}{B_i} - T(x) \frac{V_i^2}{D_i} + M(x) \frac{V_i}{D_i} - M_q(x) \frac{V_i}{D_i}$$

$$\mathbf{E}_2(x) = \delta_2^1(x) = \frac{T(x)}{B_2} + T(x) \frac{V_2^2}{D_2} + M(x) \frac{V_2}{D_2} - \frac{M_p(x) - M_e}{D_2} - V_2.$$

որտեղ իմկիկական և երկրաշափական սպառությունները հաջակած են մեջքական և համականական բարեկարգության համար:

Օգտագործելով նաև հայտնի սրբահանչութեան

$$K_c[\mathcal{E}_2(x) - \mathcal{E}_1(x)] = \tau'(x), \text{ կատանալ}$$

$$T''(x) - \alpha^2 T(x) = \beta M(x) + \Delta_2(x) \quad (6.80)$$

$$\alpha^2 = K_c \left( \frac{V_2^2}{D_2} + \frac{V_1^2}{D_1} \right), \quad \beta = K_c \left( \frac{V_2}{D_2} - \frac{V_1}{D_1} \right)$$

$$\Delta_2(x) = K_c \left\{ \left[ M_q(x) \frac{V_1}{D_1} - M_p(x) \frac{V_2}{D_2} \right] + \frac{M_0 V_2}{D_2} \right\}. \quad (6.81)$$

Ստացված արտահայտությունները կարելի է պարզեցնել, եթե  
լնդրութեանը հետևյալ պայմանները.

$$B_2 \gg B_1, D_2 \gg D_1, M_q(x) \frac{V_1}{D_1} = q \frac{x^3}{3\ell} \frac{V_1}{D_1},$$

$$\left[ M_p(x) - M_0 \right] \frac{V_2}{V_1} = P \frac{x^3}{3\ell} \cdot \frac{V_2}{D_2} \quad (6.82)$$

Ուստի կստանանք՝

$$\alpha^2 = K_c \left( \frac{1}{B_1} + \frac{V_1^2}{D_1} \right) \approx K_c \frac{V_1^2}{D_1} C, \quad \left( C = \frac{4}{3} \right), \quad \beta = K_c \frac{V_1}{D_1},$$

$$\Delta_2(x) = K_c \frac{q}{3\ell} \left( \frac{V_1}{D_1} \right) x^3 \approx \frac{qx^3}{3\ell} \beta = -C \frac{q}{3\ell V_1} \alpha^2 \quad (6.83)$$

Հաշվի առնելով ընդունված բացառումները՝ կստանանք

$$T''(x) - \alpha^2 T(x) = K_c q \left( \frac{V_1}{D_1} - \frac{V_2}{D_2} \right) \frac{x^3}{3\ell} \quad (6.84)$$

Կատարեալով վերջին հավասարման երկնակի դիֆերենցում՝  
կստանանք

$$T^{IV}(x) - \alpha^2 T''(x) = 2K_c q \left( \frac{V_1}{D_1} - \frac{V_2}{D_2} \right) \frac{x}{\ell} = \bar{q} \beta \frac{x}{\ell}, \quad (6.85)$$

$$\text{որտեղ՝ } \beta = 2K_c \left( \frac{V_1}{D_1} - \frac{V_2}{D_2} \right)$$

Ստացված դիֆերենցիալ հավասարման լնդիանուր լուծումը  
կլինի.

$$T(x) = C_1 \sinh \alpha x + C_2 \cosh \alpha x + C_3 x + C_4 + \\ + \frac{\beta}{\alpha^3} \int_0^x \bar{q} \left[ (x - \xi)^2 + \sinh \alpha (x - \xi) \right] d\xi \quad (6.86)$$

լնդտեգրելով այն՝ կստանանք՝

$$T(x) = C_1 \sinh \alpha x + C_2 \cosh \alpha x + C_3 x + C_4 + \\ + \bar{q} \frac{-\beta}{\alpha^4} \left( \frac{\alpha^3 x^3}{3\ell} + 1 - \cosh \alpha x \right) \quad (6.87)$$

Այստեղ մասնավոր լուծման կեսը կարելի է տանել լնդիանուր  
լուծման մեջ՝ փոփոխելով համապատասխան հաստատնները

$$T(x) = \bar{C}_1 \sinh \alpha x + \bar{C}_2 \cosh \alpha x + \bar{C}_3 x + \bar{C}_4 + \bar{q} \beta \frac{x^3}{3\alpha^3 \ell} \quad (6.88)$$

Փոփոխված  $\bar{C}_i$  հաստատումները կորոշենք՝ սկզբնական  
պայմաններից.

$$T(x)|_{x=0} = \mathbf{0}, \quad T'(x)|_{x=0} = \mathbf{0}, \quad T''(x)|_{x=0} = \mathbf{0}, \quad (6.89)$$

$$T''(x) - \alpha^3 T(x)|_{x=0} = \mathbf{0}$$

Այսպիսով կստանանք՝

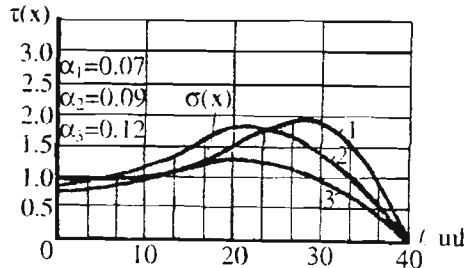
$$T(x) = \frac{3q}{2\alpha^3 \ell V_1} \left[ (2 + \alpha^2 \ell^2) \frac{\sinh \alpha x}{\cosh \alpha \ell} - \left( 2\alpha x + \frac{\alpha^3 x^3}{3} \right) \right], \quad (6.90)$$

$$\tau(x) = \frac{3q}{2\alpha^2 \ell V_1} \left[ (2 + \alpha^2 \ell^2) \frac{\cosh \alpha x}{\sinh \alpha \ell} - (2 + \alpha^2 x^2) \right], \quad (6.91)$$

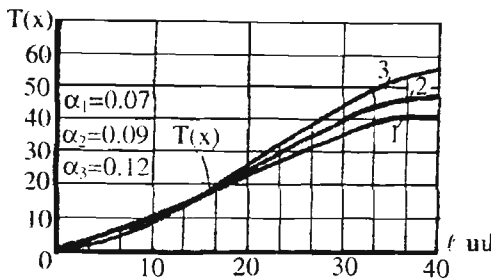
$$\max T(\ell) = \frac{3q}{2\alpha^3 \ell V_1} \left[ (2 + \alpha^2 \ell^2) \frac{\sinh \alpha \ell}{\cosh \alpha \ell} - \left( 2\alpha \ell + \frac{\alpha^3 \ell^3}{3} \right) \right], \quad (6.92)$$

$$\max \tau(0) = \frac{3q}{2\alpha^2 \ell V_1} \left[ (2 + \alpha^2 \ell^2) \frac{1}{\cosh \alpha \ell} - 2 \right]. \quad (6.93)$$

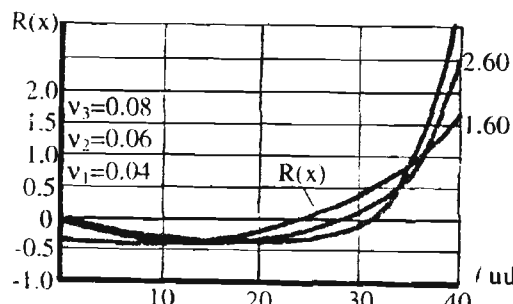
Ստացված արտահայտությունների փոփոխաբյան օլյմա-շափոթյունները զրաֆիկների տեսքով տրված են նկ.6.15-6.18:



Նկ.6.15 Դեֆորմատորի վրա սահքի  $\tau(x)$  լսրումների կախվածությունը բանող մակերեսովի և երկարությունից (թերև, միջին և ծանր հողերում):



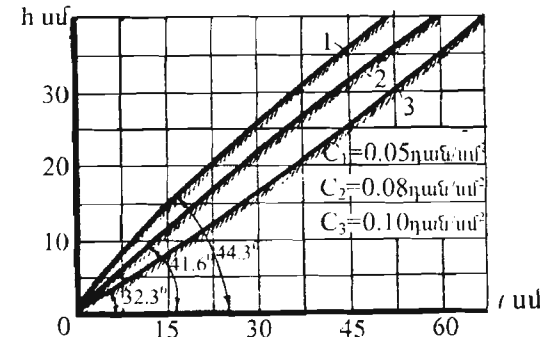
Նկ.6.16 Դեֆորմատորի վրա սահքի  $T(x)$  ուժերի կախվածությունը բանող մակերեսովի և երկարությունից (թերև, միջին և ծանր հողերում):



Նկ.6.17 Դեֆորմատորի վրա  $R(x)$  նորմալ լարումների կախ- վածությունը բանող մակերեսովի և երկարությունից (թերև, միջին և ծանր հողերում):

Այդ գրաֆիկների վերլուծությունը ցոյց է տալիս, որ բայոր դեպքերում նորմալ լարումները հողի կտրման ժամանակ գերազանցում են սահքի լարումներին:

Դաքերի տարածման հետազծերը ցոյց են տալիս, որ այն կարելի է ընդունել որպես ուղիղ գիծ (նկ. 6.18):



Նկ.6.18 Ծաքերի հարթությունների տարածման բնույթը հողի  $C$  տեսակարար դիմադրության տարբեր արժեքների դեպքում:

### 6.3. Դեֆորմատորի դիմադրության փոփոխության բնույթը

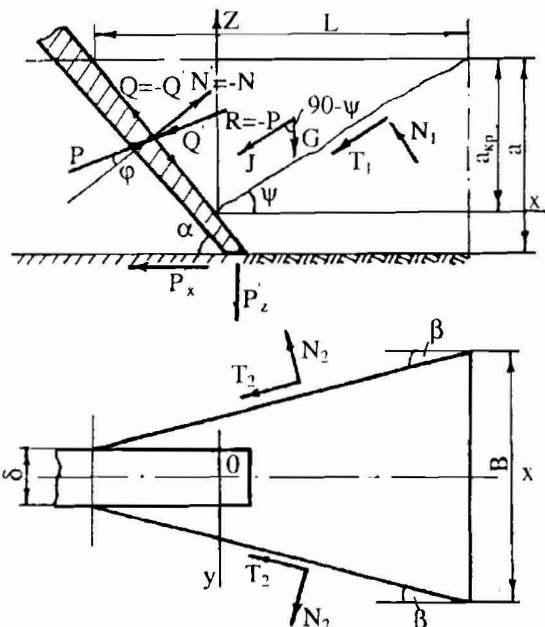
Դեֆորմատորի դիմադրության փոփոխության բնույթի հաստատումը կարևոր նշանակության ունի հողի մշակության վրա էներգետիկական ծախսումները նվազագույնի հասցնելու համար՝ ապահովելով տեխնոլոգիական գործիքաբացի առավելագույն սրակ:

Այս խնդրի ճշգրիտ լուծումն առավելապես կարևորվում է հողի խոր փխրեցման տեխնոլոգիայում:

Առաջադրված խնդրի ուսումնասիրման գործընթացը իրականացնելու համար հաշվարկային սիստեմ ներկայացնենք նկ. 6.19 տեսքով:

Համաձայն այլ սխեմայի համակարգի վրա ագրում եմ՝  $P$ - լարտարքին ագրում ուժերի համագորք,  $N'$ ,  $Q'$ ,  $P$  ուժի բաղադրիչները.

$\bar{R} = \bar{N} + \bar{Q}$  - բանող մակերեսութիւն վրա ագրուղ հակագործք իր բարտադրիչներով,  $N_{1,2}$  և  $Y_{1,2}$  - նորմալ և սահքի բարտադրիչներով



Նկ.6.19 Իռոլի և դեֆորմատորի փոխազդեցության հետազոտման էվինմա.

սահքի հարթությունների վրա,  $G$ - առլի գաճապահ,  $J$ - առլի լիներցիայի տուժը:

Համաձայն նկ.6.19 կարող ենք գրել

$$R = G \cos(\alpha + \varphi) + J \sin(\alpha + \varphi + \psi) + T_1 \sin(\alpha + \varphi + \psi) - N_1 \cos(\alpha + \varphi + \psi) + 2T_2 \cos \beta \sin(\alpha + \varphi) - 2N_2 \sin \beta \sin(\alpha + \beta), \quad (6.94)$$

$$N_1 = G \cos \psi - 2T_2 \cos \beta \sin \psi - 2N_2 \sin \beta \sin \psi + R \sin(\alpha + \varphi + \psi); \quad (6.95)$$

Սյուս կուլմից հայտնի է, որ  $T_1 = f N_1 + T_{cu}$ , որտեղ  $f'$ - իռոլի ներքին շփման գործակիցն է,  $T_{cu}$  - իռոլի կցման տժը, այդ  $T_{cu} = C b_{np} / \ell_{ek}$ ,  $C$  - իռոլի կցման գործակիցը,

$b_{np} / \ell_{ek}$  - պուկված հաղի ճաքի ուղղությամբ մակերեսը,  $\ell_{ek} = \frac{a}{\sin \psi}$ .

$$\text{ուստի } T_1 = f N_1 + \frac{C a b_{np}}{\sin \psi},$$

$$G = \gamma \frac{a^2}{2} b_{np} (\operatorname{ctg} \alpha + \operatorname{ctg} \psi) = G_0 (\operatorname{ctg} \alpha + \operatorname{ctg} \psi),$$

$$J = \frac{G V_a}{g t}, \quad V_a = V_0 \frac{\sin \alpha}{\sin(\alpha + \psi)}, \quad t = \frac{a}{\sin \psi V_a} = \frac{a}{V_0} (\operatorname{ctg} \alpha + \operatorname{ctg} \psi),$$

$$J = \frac{G_0 V_0^2 \sin \alpha}{a g \sin(\alpha + \psi)} = G_0 C_V, \quad C_V = \frac{V_0^2 \sin \alpha}{a g \sin(\alpha + \psi)};$$

Այս որոշենք ճաքի հարթություններում սահքի  $T_2$  ուժի մեծապելունքը:

Ճնշումը  $Z$  խորության վրա  $\sigma_z = \gamma_0 Z$ , ուստի կողային մակերեսույթի վրա ճնշումը կլինի  $\sigma_y = \xi \sigma_z = \gamma_0 Z \xi$ , որտեղ  $\xi$  - կողային ճնշման գործակիցն է,  $\xi = \frac{V_0}{1 - V_0}$ ,  $V_0$  - Պուասոնի գործակիցը

իռոլի համար:

$$\text{Կողային մորմալ ուժը էլեմենտար մակերեսի վրա կլինի } dN_2 = \frac{\sigma_y dF}{\cos \beta}, \text{ որտեղ } dF = b(Z) dZ, \quad b(Z) - \text{իռոլի}$$

$$\text{էլեմենտար մասնիկի լայնությունն է, } b(Z) = \frac{Z}{\cos \beta} \text{ ուստի.}$$

$$dN_2 = \sigma_y a \left( 1 - \frac{Z}{a} \right) \frac{dZ}{\cos \beta} = \gamma_0 Z a \left( 1 - \frac{Z}{a} \right) \frac{(\operatorname{ctg} \alpha + \operatorname{ctg} \psi)}{\cos \beta} dZ,$$

$$N_2 = \gamma_0 \frac{a^3 \xi (\operatorname{ctg} \alpha + \operatorname{ctg} \psi)}{6 \cos \beta};$$

Ճաքի հարթության վրա շփման տժը կլինի.

$$\bar{T} = f \mathbf{N}_2 = \gamma_0 \frac{a^3}{6} \xi (\operatorname{ctg}\alpha + \operatorname{ctg}\psi) \frac{\operatorname{tg}\varphi'}{\cos\beta};$$

Սակայն ամենի ճարպի հարաբերական վրա կլինի

$$T_2 = f \mathbf{N}_2 + T_{cu} =$$

$$= \gamma_0 \frac{a^3}{6} \xi (\operatorname{ctg}\alpha + \operatorname{ctg}\psi) \frac{\operatorname{tg}\varphi'}{\cos\beta} + \frac{Ca}{2} (\operatorname{ctg}\alpha + \operatorname{ctg}\psi) \frac{b_{np}}{\cos\beta};$$

Հայդը առնելով  $T$ ,  $G$ ,  $J$ ,  $T_2$  և  $N_2$  տեսքի մեծարյանները՝ կստանանք

$$R = G_0 \left\{ \frac{\sin(\varphi' + \psi)(\operatorname{ctg}\alpha + \operatorname{ctg}\psi) + C_v \cdot \sin(\alpha + \varphi' + \psi) + K_0 \cdot \frac{\cos\varphi}{\sin\psi} +}{\sin(\alpha + \varphi + \varphi' + \psi)} \right. \\ \left. + 2K_1 \sin(\alpha + \varphi + \psi)(\operatorname{ctg}\alpha + \operatorname{ctg}\psi)[\cos\varphi' + \operatorname{tg}\beta \sin(\alpha + \varphi + \varphi' + \psi)] \right\} \quad (6.96)$$

Ալլել:

$$K_1 = \frac{Ca^2}{2G_0} \left( 1 + \gamma_0 \frac{a}{3C} \xi \operatorname{tg}\varphi' \right), \quad K_0 = \frac{Cab_{np}}{G};$$

Ստացված (6.96) հավասարման վերլուծությունը ցույց է տալիս, որ իրոք իսկական դեֆորմացիայի դիմավորյանը կախված է առի և դեֆորմատորի պարամետրերից, ինչպես նաև իսկական և տեխնոլոգիական հատկանիշներից և արագությունից (քառակուսի աստիճանով):

Բնական է, որ ճարպի առաջանում է այնտեղ, որտեղ իսկի դիմավորյանը նվազագույնն է՝  $\frac{dR}{d\psi} \Big|_{\psi=\psi_0} = 0$ , ուստի

արտահայտության դիմերենցումից ստանում ենք

$$\operatorname{tg}\psi_0 = \frac{\sqrt{c^2 + b^2 - a^2} - c}{b - a}. \quad (6.97)$$

$$\text{Ալլել՝ } a = \sin(\alpha + \varphi) \operatorname{ctg}\alpha - \cos(\alpha + \varphi) + C_v \sin(\alpha + \varphi),$$

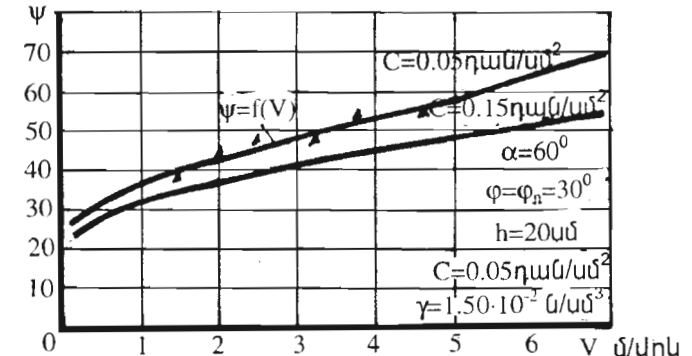
$$b = \sin(\alpha + \varphi) \operatorname{ctg}\alpha - \cos(\alpha + \varphi + 2\varphi') + 2K_0 \cos\varphi' \cdot \sin(\alpha + \varphi + \varphi'),$$

$$c = \sin(\alpha + \varphi) - \sin(\alpha + \varphi + 2\varphi') + 2K_0 \cos\varphi' \cdot \cos(\alpha + \varphi + \varphi');$$

Բնական է, որ հողային կոշտի առավելագույն երկարությունը ( $L_p$ ) կլինի (նկ.6.19)

$$L_p = a(\operatorname{ctg}\alpha + \operatorname{ctg}\psi); \quad (6.98)$$

Հայդը ճարպի անկյան կախվածությունը դեֆորմատորի արագությունից տարբեր տեսակարար դիմադրության  $C$  դեպքում տրված է նկ.6.20

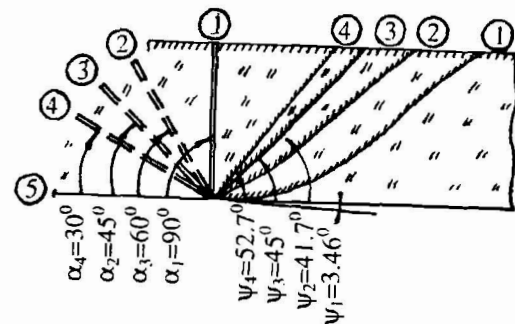
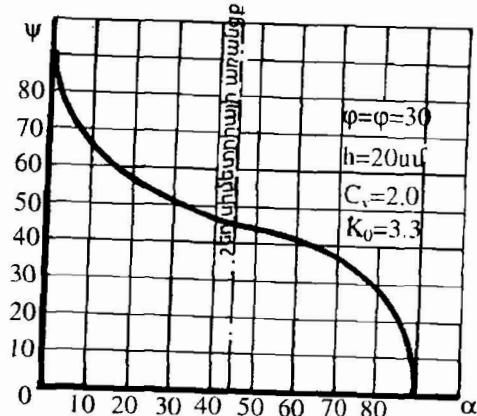


Նկ.6.20 Դեֆորմատորի և արագության ազդեցությունը ճարփ անկյան վրա. Խոդի տարբեր  $C$  դիմադրության դեպքում:

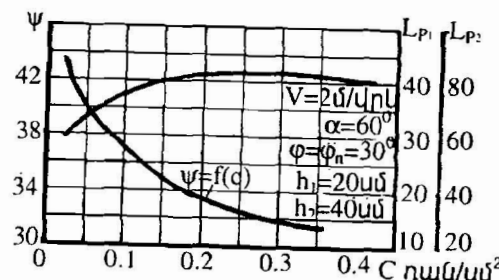
**Հոդի մշակության կրիտիկական խորությունը:** Բազմաթիվ հետազոտություններով հաստատված է, որ մշակության կրիտիկական խորությունը կախված է իսկական ֆիզիկո-տեխնոլոգիական հատկություններից, դեֆորմատորի պարամետրերից և աշխատանքի ոճքիմից: Սակայն որևէ մաքսատիկական արտահայտություն, որը լիարժեք արտահայտեր այդ գործնաբացի էությունը, մինչև այժմ չկա:

Ստացված (6.96) արտահայտությունը  $\frac{dR}{da} \Big|_{a=a_{kr}} = 0$  պայմանով

միանգամայն հնարավորական է տալիս լուծելու առաջադրված խնդիրը:



Նկ.6.21 Դեֆորմատորի տեղակայման  $\alpha$  անկյան ազդեցությունը ճարի  $\psi$  ուղղության վրա (- տեսական կորեր,  $\Delta$  - գիտափորձնական կետեր):



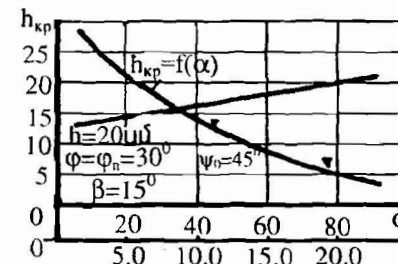
Նկ.6.22 Հողի  $C$  տեսակարար դիմադրության ազդեցությունը ճարի ψ ուղղության և հողային կոչտի  $\ell$  երկարության վրա (- տեսական կորեր,  $\Delta$ -փորձնական կետեր):

Օգտվելով վերջին պայմանից, բացառելով որոշ փոքր մեծությաններ և հաշվի առնելով  $T_2 \leq \sigma_{np} F_{n\delta} \operatorname{tg}\beta$  որտեղ՝  $\sigma_{np}$  - հողի սահմանային դիմադրությունն է,  $F_{n\delta}$ -հողային գանգվածի կողային մակերեսները, ստանում ենք

$$a_{kp} = \left[ \frac{\sigma_{np}}{K_c} a \cos\phi' \sin(\phi + \psi_0 + 2\phi') - 0.6\delta \right] \frac{1}{\cos\phi}, \quad (6.99)$$

որտեղ՝  $K_c$ -հողի տեսակարար դիմադրությունն է,  $\delta$  - դեֆորմատորի լայնությունը:

Հողի մշակության  $a_{kp}$  կրիտիկական խորության փոփոխությունը կախված դեֆորմատորի  $\delta$  լայնությունից և դեֆորմատորի տեղակայման անկյունից, տրված է նկ.6.23:



Նկ.6.23 Կրիտիկական խորության  $h_{kp}$  կախվածությունը դեֆորմատորի հաստատությունից ծ տեղակայման  $\alpha$  անկյունից:

### ճարերի անկյունը հողի մակերեսույթի վրա

Դաշտի մակերևույթի վրա ճարերի փոփածքի անկյան մեծության որոշումը կարևոր նշանակություն ունի բանող օլգանների տեղակայման համար: Այդ անկյունը որոշվում է.  $\left. \frac{dR}{d\beta} \right|_{\beta=\beta_0} = 0$

պայմանից, որի որոշ ձևափոխությունից և բացառումներից հետո ստանում ենք

$$\beta_0 = \arctg \left[ \frac{2 \operatorname{atg} \psi_0 - 0.6\delta}{2a(\operatorname{ctg} \alpha + \operatorname{ctg} \psi_0)} \right], \quad (6.100)$$

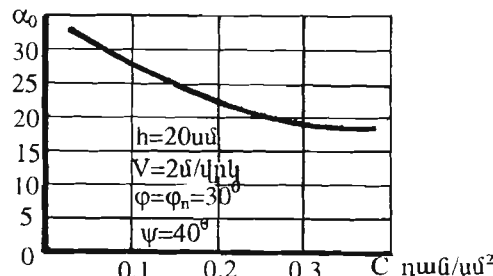
Դեֆորմատորի տեղակայման օպտիմալ անկյունը:

Դեֆորմատորի տեղակայման անկյան օպտիմալ մեծությունը որոշվում է հաշվարկային դիմադրության փոքրացման և օգտակար գործողության գործակցի առավելագույն մեծություն ապահովելու նպատակով: Խնդիրը լուծվում է լսորունելով  $\frac{dR}{d\alpha}|_{\alpha=\alpha_0} = 0$  պայմանը:

$$\text{Համաձայն լսորունված պայմանի } \operatorname{ctg}\alpha_0 = \frac{h}{V \sin \alpha_0}$$

Համաձայն լսորունված պայմանի  $\operatorname{ctg}\alpha_0 = \frac{h}{V \sin \alpha_0}$  նկատմամբ ստացվում է հետևյալ խորանարդ աստիճանի հավասարությունը.

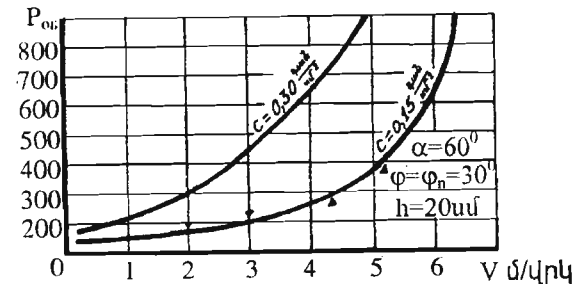
$$\operatorname{ctg}^3 \alpha + [\operatorname{ctg}(\phi + \phi' + \psi)] \operatorname{ctg}^2 \alpha + [(K_0 - 1) \operatorname{ctg}(\phi + \phi' + \psi)] \times \operatorname{ctg} \alpha + [0.5C_v \operatorname{ctg}(\phi + \psi_0) - (K_0 - 1)] = 0: \quad (6.101)$$



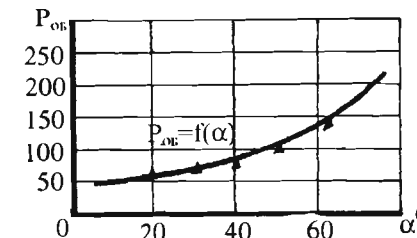
Նկ.6.24 Դեֆորմատորի տեղակայման օպտիմալ անկյան  $\alpha_0$  կախվածությունը հողի տեսակարար դիմադրությունից C:

Կատարված հաշվարկների արդյունքները գրաֆիկների ձևով տրված են նկ.6.24:

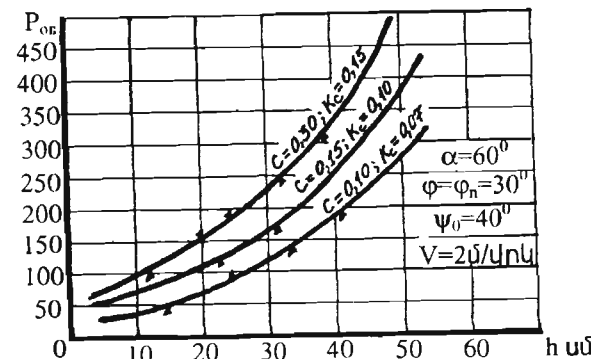
Դեֆորմատորի քարշային դիմադրության կախվածությունը արտաքիմ գործոններից գրաֆիկական տեսքով ներկայացվում է 6.25 - 6.27 նկարներում:



Նկ.6.25 Դեֆորմատորի արագության V ազդեցությունը քարշային դիմադրության P<sub>out</sub> վրա



Նկ.6.26 Դեֆորմատորի տեղակայման անկյան  $\alpha$  ազդեցությունը քարշային դիմադրության P<sub>out</sub> վրա



Նկ.6.27 Դեֆորմատորի ընթացքի խորության h ազդեցությունը քարշային դիմադրության P<sub>out</sub> վրա (- տեսական կորեր, Δ- գիտափորձնական կետեր):

## 7. Փիսրիչների աշխատանքը դիմադրող

### միջավայրում

#### 7.1 Փիսրիչի և քարի փոխազդեցության գործընթացը

Հայի փիսրեցման գործընթացն ուղեկցվում է դինամիկ ուժերի առաջացումով, որոնք լրենց բնույթով տատանողական են: Դինամիկ ուժերի տատանման ամպլիտուդան և հաճախականությունը կախված են հայի ֆիզիկական և տեխնոլոգիական հատկանիշներից, ինչպես նաև պատահաբար հանդիպող արգելքներից, որոնք լինում են քարերի, պինդ շերտերի և այլ տեսքով:

Մինչև վերջերս հողամշակման ագրեգատների դինամիկ աշխատանքների ուսումնասիրումը կատարվում էր միատարր հողերի համար, և հազվագյուտ աշխատանքներում է հաշվի առնվում արգելքի հետ բանող օրգանի պատահական հանդիպումը:

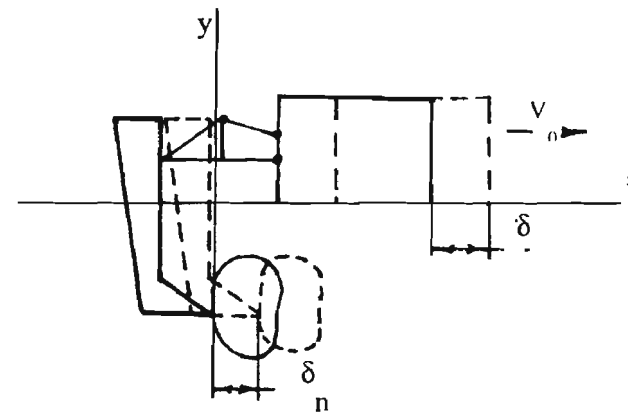
Շարադրված տեսանկյունից ճիշտ կլինի հողամշակման ագրեգատների դինամիկայի խնդիրը դիտել ընդհանուր դեպքի համար, եթե հողը հարուստ է արգելքներով:

Բնականաբար, հողում արգելքների առկայության դեպքում այլ կերպ պետք է դիտել բանող օրգանների ամրության հաշվարկների հարցերը:

Նկատնք, որ ամրության հաշվարկի ընդունված պայմանը՝ կրկնակի պաշարով  $k=2$  կամ որոշ առյուրներում  $k=2.5$ , գուրկ են հիմնավորումից: Ըստ Երևոյթին դա «կույր» էմպիրիկայի հաշվարկման մերողներին ենթարկվելու արդյունք է: Դինամիկական էկուրեալից համար պետք է կատարել հողամշակման մեքենայի արգելքի հետ բախման գործընթացի մանրամասն ուսումնասիրություն: Հողամշակման մեքենաների մասերում հարվածային բեռնվածությունների առաջացումը պարզելու նպատակով դիտարկենք ընդհանուր դեպք, եթե փիսրիչի ատամը բախվում է արգելքի հետ: Խնդրի դրվածքի ժամանակ ընդունվում են հետևյալ նախնական պայմանները. ագրեգատի արագությունը մինչև արգելքին հանդիպելը հաստատում է  $V_0=\text{const}$ , արգելքը բացարձակ պինդ է, չի դնֆորմացվում, դեֆորմացվում է միայն հողը, որն օժտված է առաձգական - պլաստիկ հատկությամբ, բանող օրգանի արգելքի հետ

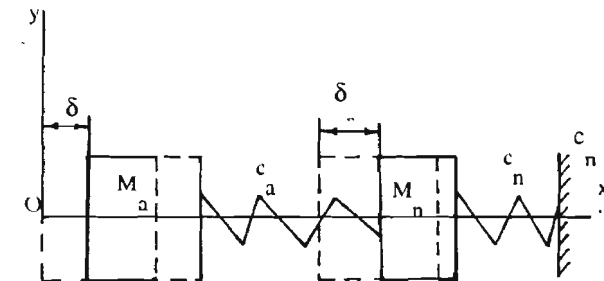
բախվելու ժամանակ միաժամանակ դեֆորմացվում են հողը և մեքենան:

Նկ. 7.1-ում տրվում է հողի և մեքենայի դեֆորմացյալի սխեման, մեքենայի արգելքին հանդիպելուց հետո:



Նկ. 7.1 Ագրեգատը քարին հանդիպելու գործընթացի սխեմա

Ագրեգատի համարժեք սխեման արգելքին հանդիպելուց հետո ներկայացվում է նկ. 7.2-ում:



Նկ. 7.2 Ագրեգատը քարին հանդիպելու համարժեք սխեմա

Նշանակենք.

$M_a$ - ազրեգատի բելված զանգվածը,

$M_b$ - արգելքի զանգվածը,

$\delta$ - ազրեգատի տեղաշարժը հարվածից հետո,

$\delta_a$ - քարի տեղաշարժը,

$C_a$ - ազրեգատի կոշտությունը,

$C_b$ - արգելքի կոշտությունը:

Բանող օրգանի արգելքի հետ հանդիպման գործընթացում խողաճակման մեքենայի դինամիկայի վերլուծության համար կազմենք նրա շարժման հավասարական կազմենք:

Մեխանիկական համակարգի շարժման հավասարումը կազմելու ժամանակ կարևոր է, քեզ որ տիպին է պատկանում համակարգը խորոնում, քեզ ոչ խորոնում:

Մեխանիկական համակարգի պատկանելությունը նշված տիպերից որևէ մեկին իր հերթին կախված է կապի տեսակից:

Սովորաբար կապերը լինում են երկեւ տեսակի, կապեր, որոնք որոշակի պայմաններ են դնում համակարգի կետերի դիրքին: Հավասարումները, որոնք արտահայտում են այդպիսի կապերը, իրենց մեջ պարունակում են ընդհանրացված կոորդինատներ, և կապեր, որոնք դնում են որոշակի պայմաններ համակարգի կետերի արագության վրա: Հավասարումները, որոնք արտահայտում են այդպիսի կապերը, պարունակում են ոչ միայն ընդհանրացված կոորդինատներ, այլև ընդհանրացված արագություններ:

Այժմ համակարգը ներկայացնենք  $K(q_1, q_2, \dots, q_{k-1}, q_k)$  ընդհանրացված կոորդինատներով և ու կապերով, որոնք համակարգի կետերի արգությունների վրա դնում են որոշակի սահմանափակումներ: Այդ կապերի հավասարումները սովորաբար արտահայտվում են հետևյալ տեսքով.

$$\sum_{j=1}^k A_{i,j} \dot{q}_j = g_i \quad (7.1)$$

որտեղ՝  $i(1,2,\dots,m)$  կապերի թիվն է,  $\dot{q}_j$  – ընդհանրացված արագությունը,  $g_i$  և  $A_{i,j}$  – ֆունկցիաներն են՝  $q_i$  և  $t$  ժամանակի ընդհանրացված կոորդինատներից կախված:

(7) հավասարման էկվիվալենտ ձևը կը նշունքունի այս տեսքը

$$\sum_{j=1}^k A_{i,j} dq_j = g_i dt \quad (7.2)$$

Վերջին հավասարումները կոչվում են Պֆաֆի հավասարումներ և կարող են լինել ինտեգրելի և ոչ ինտեգրելի: Ինտեգրելի կապերը կոչվում են հորնոնմ, իսկ ոչ ինտեգրելինում՝ նկատենք, որ Լագրանժի հանրաճանաչ շարժման հավասարումները հորնոնմ և ոչ հորնոնմ կապերի համար, տարբերվում են իրարից:

Ի տարբերություն Ժ, Լագրանժի, ֆրանսիացի մաթեմատիկոս և մեխանիկ Պ. Ապակելի կողմից առաջին անգամ ստացված մեխանիկական համակարգի շարժման հավասարումները իրավացի են ինչպես հորնոնմ, այնպես էլ ոչ հորնոնմ կապերի համար.

$$\frac{\partial S}{\partial \ddot{q}_v} = Q_v, (v = 1, 2, \dots, 3n - m) \quad (7.3)$$

որտեղ՝  $q_v$  – ընդհանրացված կոորդինատ է,

$v$ -ընդհանրացված կոորդինատների թիվը,

$3n-m$  - կապերի թիվը:

Համանման կինետիկ էներգիային  $S$  կոչվում է արագացման էներգիա:

$$S = \sum_{v=1}^n \frac{m_v}{2} (\ddot{x}_v^2 + \ddot{y}_v^2 + \ddot{z}_v^2)$$

$Q_v$ -ընդհանրացված ոժը հեշտ է որոշել հետևյալ արտահայտությամբ.

$$Q_v = \sum_{i=1}^n \left( X_i \frac{\partial \ddot{x}_i}{\partial \ddot{q}_v} + Y_i \frac{\partial \ddot{y}_i}{\partial \ddot{q}_v} + Z_i \frac{\partial \ddot{z}_i}{\partial \ddot{q}_v} \right) \quad (7.4)$$

սրտեղ՝  $X_i, Y_i, Z_i$ -մեխանիկական համակարգի վրա ագրայի ակտիվ ուժերի պրոյեկցիաներն են:

Այսպիսով, շարժման հավասարումը Ապակելի ձևով կը նշունքունի հետևյալ տեսքով:

$$\frac{\partial S}{\partial \ddot{q}_v} = \sum_{i=1}^n \left( X_i \frac{\partial \ddot{x}_i}{\partial \ddot{q}_v} + Y_i \frac{\partial \ddot{y}_i}{\partial \ddot{q}_v} + Z_i \frac{\partial \ddot{z}_i}{\partial \ddot{q}_v} \right) \quad (7.5)$$

Քննարկվող լինամիկ համակարգի դիրքը ոլոշվում է եթե լուսանրացված կոռորդինատներով.

$\delta_n$ -ի դիրքի գծային դեֆորմացիայի մեծությունով,

δ-արգելքին հանդիպելուց հետո տրակտորի տեղափոխականը

Մեքենայի գծային դեֆորմացիայի մեծությունը՝  $\delta_m$  լուսանրացված կոռորդինատ չի համարվում, քանի որ այն արտահայտվում է  $\delta_n$ -ով և  $\delta_m$ -ով.

$$\delta_m = \delta - \delta_n;$$

Այսպիսով, ունենք  $v=2$ ,  $q_1=\delta$ ,  $q_2=\delta_n$ :

Համակարգի արագացման էներգիան գոյանում է եթե լուսանրացված կոռորդինատում է:

$$S = \frac{M_a}{2} \ddot{\delta}^2 + \frac{M_n}{2} \ddot{\delta}_n^2 \quad (7.6)$$

Որտեղ՝  $M_a$  - հողամշակման ազրեգատի բերված զանգվածն է,  $M_a = M_{TP} + M_b + M_M$ ,

$M_{TP}$  - տրակտորի բերված զանգվածը,

$M_b$  - տրակտորի պտտող դետալների զանգվածը բերված տանող անիվների վրա,

$M_n$  - արգելքի զանգվածը,

$M_M$  - մեքենայի բերված կշիռը:

Քննարկվող համակարգի շարժումը հալք գոտքահեռ է և ունի միայն մեկ  $x$  կոորդինատ շարժման ուղղությամբ, միանշանակ  $\delta$  ։ իմ:

Համակարգում գործում են եթե ակտիվ ուժեր՝ հողի և մեքենայի դեֆորմացիաներից առաջացող դիմադրություններ՝  $c_i$ :

Մեքենայի  $\delta_m$  դեֆորմացիայից առաջացող լիմադրությունը կլինի

$$X_{\delta_M} = -C_M \delta_M = -C_M (\delta - \delta_n),$$

իսկ հողի դեֆորմացիայից առաջացող լիմադրությունը՝

$$X_{\delta_n} = -C_n \delta_n$$

Օգտվելով (7.5) շարժման հավասարման աջ մասից՝ կստանանք լուսանրացված ուժերի մեծությունները.

$$\left. \begin{aligned} Q_1 &= X_{\delta_M} \frac{\partial \ddot{\delta}_M}{\partial \ddot{\delta}} + X_{\delta_n} \frac{\partial \ddot{\delta}_n}{\partial \ddot{\delta}} \\ Q_2 &= X_{\delta_M} \frac{\partial \ddot{\delta}_M}{\partial \ddot{\delta}_n} + X_{\delta_n} \frac{\partial \ddot{\delta}_n}{\partial \ddot{\delta}_n} \end{aligned} \right\} \quad (7.7)$$

$$\text{Ունենք } \delta_M = \delta - \delta_n, \quad \ddot{\delta}_M = \ddot{\delta} - \ddot{\delta}_n, \quad \frac{\partial \ddot{\delta}_n}{\partial \ddot{\delta}} = 1, \quad \frac{\partial \ddot{\delta}_M}{\partial \ddot{\delta}_n} = -1, \quad \frac{\partial \ddot{\delta}_M}{\partial \ddot{\delta}} = 1$$

$$\frac{\partial \ddot{\delta}_n}{\partial \ddot{\delta}} = 0, \text{ այսպիսով } Q_1 = -C_M(\delta - \delta_n), \quad Q_2 = -C_M(\delta - \delta_n)(-1) - C_n \delta_n = -C_n \delta_n + C_M(\delta - \delta_n);$$

Արագացման էներգիայի մասնակի ածանցյալները լուսանրացված կոռորդինատներով կլինեն.

$$\frac{\partial S}{\partial \ddot{\delta}} = M_a \ddot{\delta}, \quad \frac{\partial S}{\partial \ddot{\delta}_n} = M_n \ddot{\delta}_n$$

Այսպիսով ազրեգատի շարժման հավասարումները կլինեն.

$$\left. \begin{aligned} M_a \ddot{\delta} &= -C_M (\delta - \delta_n) \\ M_n \ddot{\delta}_n &= -C_n \delta_n + C_M (\delta - \delta_n) \end{aligned} \right\} \quad (7.8)$$

Ազրեգատի բերված զանգվածի բարակորիչները ոլոշվում են հայտնի մեթոդով

$$M_{TP}g = G_{TP}, \quad M_b = J_1 \frac{i_T^2}{r^2} + J_2 \frac{1}{r^2}, \quad M_M = \frac{G_m}{g} + J_3 \frac{1}{r_M^2},$$

Որտեղ՝  $G_T$  - տրակտորի ծանրության ոժն է,

$J_1$ -տրակտորի շարժվածի պտտվող զանգվածների լուսացիայի մոմենտը,

$J_2$ -տրակտորի տրամասմիայի փոխանցման և լուսացրայի մասի պտտվող զանգվածների լուսացիայի մոմենտը, բերված տրակտորի տանող անկանությունը վրա.

ՀՅ-Ֆիզիկայի պտտվող մասերի իներցիայի մոմենտը, բերված բնագրային անիվների վրա,

$i_T$ -տրակտորի տրանսմիսիայի վոլտանցման թիվը.

$r$ -տրակտորի տանող անիվի շառավիղը

$r_m$ - մեքենայի բնագրային անիվի շառավիղը,

$G_m$ - մեքենայի ծանրության տժը:

Այսպիսով՝

$$M_a = \frac{G_T}{g} + J_1 \frac{i_{Tr}^2}{r^2} + J_2 \frac{1}{r^2} + \frac{G_M}{g} + J_3 \frac{1}{r_m^2} \quad (7.9)$$

Նկատենք, որ  $J_3 \frac{1}{r_m^2} \approx 0$ , այսինքն այն շատ փոքր մեծություն է

ագրեգատի զանգվածի համեմատությամբ:

Հոյի կոշտությունը՝  $C_n = q_0 F$ , որտեղ՝

$q_0$  - հոյի ծավալային տրորման գործակիցն է,

$F$ -արգելքի «միգելյան» հատությը՝ ագրեգատի շարժման ուղղահայաց հարթության մեջ:

(7.8) հավասարման մեջ  $C_m$ - մեքենայի բերված կոշտությունն է:

Ագրեգատի համեմատակի կանգ առնելու պահին արգելքի հանդիպելիս տրակտորի պտտվող զանգվածները, բերված տանող անիվների վրա, առաջացնում են լրացուցիչ շոշափող տժ, որի հետևանքով տրակտորի քարշի տժը ավելանում է, մինչև առավելագույն  $P_{k_{max}}$  արժեքը:

$$P_{k_{max}} = \mu G_c = P_k + g M_b \quad (7.10)$$

Որտեղ՝  $\mu$ - տրակտորի և հոյի կցման գործակիցն է,

$G_c$ - տրակտորի կցման կշխոր,

$P_k$ - տրակտորի քարշի շոշափող տժը. ( $P_k = P_{KP} + P_c$ ).

$P_{KP}$ - տրակտորի ճարմանյային քարշի տժը,

$P_c$ - տրակտորի տեղաշարժման ոլումայությունը:

(7.10) արտահայտությունից

$$M_b = \frac{1}{g} [\mu G_c - (P_{KP} + P_c)], \text{ այդ դեպքում (7.9) արտահայտությունը կրնկունի հետևյալ տեսքը՝}$$

$$M_a = \frac{1}{g} [G_T + G_M + \mu G_c - (P_{KP} + P_c)] \quad (7.11)$$

Դիֆերենցյալ հավասարումների (7.8) համակարգի լուծումը փնտրենք  $\delta = Ae^{rt}$  և  $\delta_n = Be^{rt}$  տեսքով. Տեղայիներով (7.8) հավասարման մեջ և ձևափոխելով՝ կստանանք համասեռ գծային հավասարումների համակարգ.

$$\left. \begin{aligned} A(r^2 M_a + C_M) - BC_M &= 0 \\ Ar^2 M_a + B(r^2 M_n + C_n) &= 0 \end{aligned} \right\} \quad (7.12)$$

Որպեսզի (7.12) համասեռ հավասարումների համակարգն ունենա ոչ տրիվիալ լուծում, անհրաժեշտ է, որ նրա դետերմինանութը հավասար լինի զրոյի:

$$\left| \begin{array}{cc} r^2 M_a + C_M & -C_M \\ r^2 M_a & r^2 M_n + C_n \end{array} \right| = 0$$

Որտեղից կստանանք (7.8) համակարգի բնորագրական հավասարումը.

$$M_a M_n r^4 + (M_a C_M + M_n C_M + M_n C_n) r^2 + C_M C_n = 0 \quad (7.13)$$

Ստացված երկրառակությունից երևում է, որ

$$r_{1,2} = - \left[ \frac{C_M + C_n}{2M_n} + \frac{C_M}{2M_a} \pm \sqrt{\left( \frac{C_M + C_n}{2M_n} + \frac{C_M}{2M_a} \right)^2 - \frac{C_M C_n}{M_a M_n}} \right] < 0$$

Հետևաբար (7.13) բնորագրական հավասարման ենթալրվող արմատները կերպ են՝  $r_{1,2} = \pm ik_{1,2}$ , որտեղ՝

$$K_{1,2} = \left[ \frac{C_M + C_n}{2M_n} + \frac{C_M}{2M_a} \pm \sqrt{\left( \frac{C_M + C_n}{2M_n} + \frac{C_M}{2M_a} \right)^2 - \frac{C_M C_n}{M_a M_n}} \right]^{1/2} \quad (7.14)$$

Ուստի դիֆերենցյալ հավասարումների (7.8) համակարգներուն լուծումը կրնկունի հետևյալ տեսքը.

$$\left. \begin{aligned} \delta &= A_1 \sin k_1 t + B_1 \cos k_1 t + A_2 \sin k_2 t + B_2 \cos k_2 t \\ \delta_n &= \left(1 - k_1^2 \frac{M_a}{C_M}\right) (A_1 \sin k_1 t + B_1 \cos k_1 t) + \\ &+ \left(1 - k_2^2 \frac{M_a}{C_m}\right) (A_2 \sin k_2 t + B_2 \cos k_2 t) \end{aligned} \right\} \quad (7.15)$$

որտեղ  $A_1, B_1, A_2, B_2$  -ինտեգրման հաստատուներն են որոնք պետք է որոշվեն սկզբնական պայմաններից:

Սկզբնական պայմանից  $t=0, \delta=0, \dot{\delta}_n=0$  կստանանք

$$\begin{aligned} B_1 + B_2 &= 0 \\ B_1 \left(1 - k_1^2 \frac{M_a}{C_M}\right) + B_2 \left(1 - k_2^2 \frac{M_a}{C_M}\right) &= 0, \end{aligned}$$

որտեղից հետևում է ,որ  $B_1=B_2=0$ , և քանի որ այդ համակարգի դետերմինանտը զրո չէ ուստի

$$\Delta = \frac{M_a}{C_M} (K_1^2 - K_2^2) \neq 0 \quad (7.16)$$

Մյուս սկզբնական պայմանից՝  $t=0, \dot{\delta}=V_0, \ddot{\delta}_n=0$

կստանանք գծային հավասարումների համակարգ

$$A_1 K_1 + A_2 K_2 = V_0,$$

$$A_1 K_1 \left(1 - K_1^2 \frac{M_a}{C_M}\right) + A_2 K_2 \left(1 - K_2^2 \frac{M_a}{C_M}\right) = 0,$$

որտեղից ստացվում են լինտեգրման հաստատունները.

$$\left. \begin{aligned} A_1 &= \frac{V_0}{K_1 \Delta} \left(1 - K_2^2 \frac{M_a}{C_M}\right) \\ A_2 &= -\frac{V_0}{K_1 \Delta} \left(1 - K_1^2 \frac{M_a}{C_M}\right) \end{aligned} \right\} \quad (7.17)$$

լեֆորմացիաների մեծությունների համար կստանանք

$$\left. \begin{aligned} \delta &= \frac{V_0}{k_1 \Delta} \left(1 - k_2^2 \frac{M_a}{C_M}\right) \sin k_1 t - \frac{V_0}{k_2 \Delta} \left(1 - k_1^2 \frac{M_a}{C_M}\right) \sin k_2 t \\ \delta_n &= \frac{V_0}{\Delta} \left(1 - k_1^2 \frac{M_a}{C_M}\right) \left(1 - k_2 \frac{M_a}{C_M}\right) \left( \frac{1}{k_1} \sin k_1 t - \frac{1}{k_2} \sin k_2 t \right) \end{aligned} \right\} \quad (7.18)$$

Փխրիչի լեֆորմացիայի համար կստանանք հետևյալ արտահայտությունը.

$$\begin{aligned} \delta_p &= \delta - \delta_n = \frac{k_1 V_0}{\Delta} \frac{M_a}{C_M} \left(1 - k_2^2 \frac{M_a}{C_M}\right) \sin k_1 t - \\ &- \frac{k_2 V_0}{\Delta} \frac{M_a}{C_M} \left(1 - k_1^2 \frac{M_a}{C_M}\right) \sin k_2 t \end{aligned} \quad (7.19)$$

Այժմ հաշվարկը կատարենք PH-40 փխրիչի համար, որի լեռպում  $V_0=3-5$ մ/ժ,  $M_{Tf}=7000$ կգ,  $M_a=620$ կգ,  $G_c=70000$ մ,  $\mu=0.6$ ,  $P_{kp}=30000$ մ:

Այսպիսով կստանանք՝  $M_a=10800$ կգ,  $\delta_p=8$ մ, պայմանով, որ  $C_M=1500$ կգու/սմ,  $C_n=1000$ կգու/սմ:

Եթե լենդոնենք, որ քարի զանգվածը հարվածից հետո մնում է անշարժ, կստանանք  $M_n=\infty$ ,  $K_1=\sqrt{\frac{C_m}{M_A}}$ ,  $K_2=0$ ,  $\Delta=1$  և

$$\delta_p^{\max} = V_0 \sqrt{\frac{M_a}{C_M}} \quad (7.20)$$

Ուստի հարվածի ուժը կլինի

$$R_{yd} = C_M \delta_p^{\max} = V_0 \sqrt{M_a C_M}$$

Կատարելով համապատասխան հաշվարկներ, կստանանք  $R_{yd}=160000$ մ:

Նման կարգի լուղերում աշխատելու համար անհրաժեշտ է ընդունել ազնեգատի արագությունը ոչ ավելի 2կմ/ժ մեծությունից, քանի որ վրայային ուժը կստացվի

$R_{ab} = R_{yd} + P_{kp} = 160000+30000=190000$ մ, որն ավելի մեծ է, քանի փխրիչի ամրության հնարավությունները:

## 7.2 Քարքարոտ հողերի փխրիչի ամրության հաշվարկի տեսությունը

Քարքարոտ հողերի իրացումը երկրսգործական մեխանիկայի նոր ուրբարչունել խնչպես աշխատանքների կատարման տեխնոլոգիայի, այնպես էլ հատուկ մեքենաների նախագծում տեսակետով:

Համաշխարհային մասշտաբով քարքարոտ հողերի լրացումն իրականացվում է մի կողմից նոր տարածքների շրջանառության մեջ լրանց ընդգրկման տեսանկյունից. մյուս կողմից քարքարոտ հողերը այնպիսի գոտիներում տարածված լինելով, որտեղ աճեցվող մշակաբայնի վերջնական արդյունքը զգալիորեն արժեքավոր է:

Հայաստանի Հանրապետությունը հարուստ է քարքարոտ հողերով և փաստորեն ԱՊՀ երկրների շարքում նման լողերի մշակորյան տեխնոլոգիայի և տեխնիկական միջոցների ստեղծման հիմնադիրն է:

Հայաստանի Հանրապետության Խոնդր համարված է իրացվող հողերի մեծ ծավալով, շնայած դեռևս զգալի տարածքներ մնում են անմշակ:

Քարքարոտ հողերի իրացման տեխնոլոգիայում հատուկ նշանակություն ունի հողերի փխրեցման գործընթացը: Հողում քարերի առկայությունը այլ գործընթացը դարձնում է լինամիկ և շատ քարտ: Դա բացատրվում է հանդիպող քարերի ծեխ քազմագանությամբ. դաշտում լրանց տարածման խորությամբ ու խտությամբ և այլ ցուցանիշներով:

Քարքարոտ հողերի իրացման և հետագա փխրեցման ընթացքում հիմնականում լուսար է կատարել քարերի հողից լուս հանումը, երև վերջիններս կոս խոշոր են կամ ժայռոտ: Այդ պատճառով առաջ է գալիս երկու հիմնական խնդիր. քարի լուս հանումը հողի մակերեսով հետագա հեռացման համար, և երկրորդ աշխատալ մեքենայի հուսավորյան. երկարակեցության և անվտանգության ապահովումը:

Ներկա աշխատանքը նվիրվում է փխրիչի և քարի փոխագլեցության բացահայտմանը, և հուսալի աշխատող, շկոտայությունը:

բանող օրգանի և կախոցի համակարգի նախագծման տվյալների ստացմանը:

Ընդհանուր դեպքում, եթե փխրիչը հանդիպում է քարին, հարվածային ուժը բաղադրյալների  $P_x$ ,  $P_y$ ,  $P_z$  (նկ.7.3): Այստեղ պարզ դեֆումացիաները միասին արտահայտում են փխրիչի քարի դիմադրության առավել լանդիանուր դեպքը:

Նկ.7.3-ում պատկերված է փխրիչի ընդհանուր ուժային սխեման, եթե նա հանդիպում է արգելքի: Նկատենք, որ  $x$  և  $y$  առանցքների նկատմամբ փխրիչը ենթարկվում է ծուման, իսկ  $z$  առանցքի նկատմամբ՝ ոլորման:

Ներկայացված հաշվարկային սխեմայի համաձայն կատարենք գործընթացի տեսական հետազոտություն:

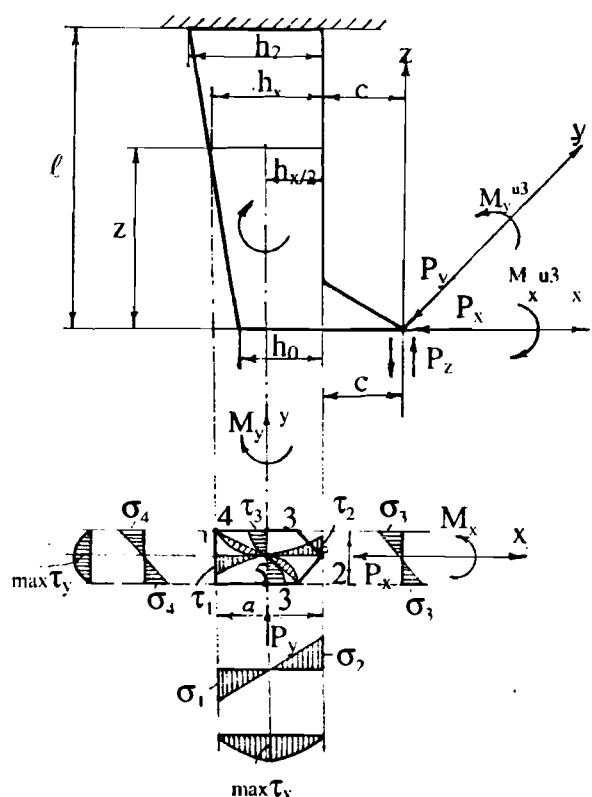
$$\left. \begin{aligned} M_x^{u^3} &= \pm Z P_y \\ M_y^{u^3} &= \pm P_x Z \pm P_z \left( \frac{h_x}{2} + C \right) \\ M_z^{K_P} &= P_y \left( \frac{h_x}{2} + C \right) \end{aligned} \right\} \quad (7.21)$$

Հաստատենք  $h_x$ -ի կախվածությունը  $Z$ -ից:

$$Համաձայն նկ.7.3-ի ունենք \frac{h_x - h_0}{h_x - h_0} = \frac{\ell}{z}, \text{որտեղից}$$

$$h_x = h_0 + \frac{z}{\ell} (h_x - h_0) \quad (7.22)$$

Ունենալով ազգու ուժերի և մոմենտների մեծությունները՝ կայելի է որոշել լայտոմները փխրիչի վտանգավոր հատվածներում:



Նկ.7.3 Դեֆորմատորի վրա ազդող ուժերի սխեմա:

$$\left. \begin{aligned} \max \sigma_{\Gamma\Lambda}^{(1)} &= \frac{\sigma_1}{2} + \frac{1}{2} \sqrt{\sigma_1^2 + 4\tau_1^2} \\ \max \sigma_{\Gamma\Lambda}^{(2)} &= \frac{\sigma_2}{2} + \frac{1}{2} \sqrt{\sigma_2^2 + 4\tau_2^2} \\ \max \sigma_{\Gamma\Lambda}^{(3)} &= \frac{\sigma_3}{2} + \frac{1}{2} \sqrt{\sigma_3^2 + 4\tau_3^2} \\ \max \sigma^{(4)} &= \sigma_1 + \sigma_4, \quad \max \tau^{(5)} = \sqrt{\max \tau_{x5}^2 + \max \tau_{y5}^2} \end{aligned} \right\} \quad (7.23)$$

$$\text{որտեղ } \sigma_1 = \frac{M_y}{W_{y1}}, \sigma_2 = \frac{M_y}{W_{y2}}, \sigma_3 = \frac{M_x}{W_{x3}}, \sigma_4 = \frac{M_x}{W_{x4}}, \tau_1 = \frac{M_{kp}}{W_{kp1}},$$

$$\tau_2 = \frac{M_{kp}}{W_{kp2}}, \tau_3 = \frac{M_{kp}}{W_{kp3}}, \max \tau_{x5} = \frac{P_x S_y}{J_y b}, \max \tau_{y5} = \frac{P_y S_x}{J_x a},$$

$$M_x = P_y l, \quad M_y = P_x l + P_z \left( \frac{h_2}{2} + C \right)$$

$$M_{kp} = P_y \left( \frac{h_2}{2} + C \right)$$

$S_y$ -ստատիկ մոմենտն է, յ առանցքի նկատմամբ , առանցքից վերև կամ մերքը լնկած մակերեսի համար,  $S_x$  -ստատիկ մոմենտը չ առանցքից ծախ կամ աջ լնկած մակերեսի համար,  $J_x, J_y$  -իմերցիայի մոմենտները  $x, y$  առանցքների նկատմամբ ամբողջ մակերեսի համար,  $W_1$  -համապատասխան առանցքի նկատմամբ տվյալ կետի համար դիմայլության մոմենտը:

Վրայային ուժը՝  $\bar{P}_{ab} = \bar{P}_x + \bar{P}_y + \bar{P}_z$  առաջանում է երկու մեծություններից՝ հարվածային բեռնվածությունից և ճարմանդային ուժից:

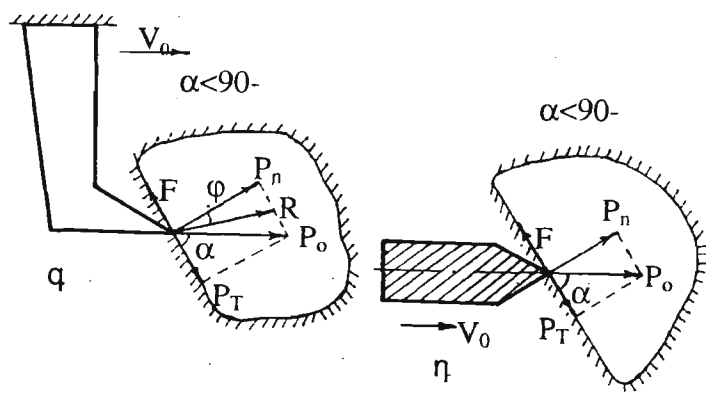
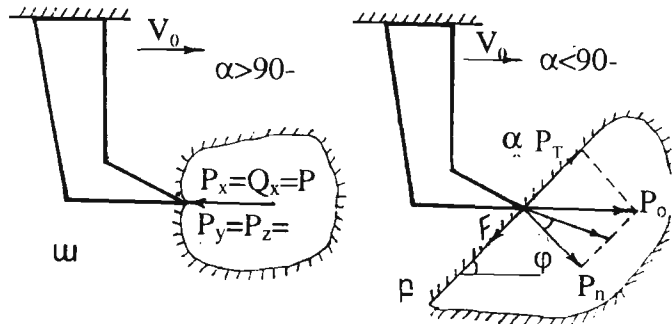
Լարման մեծությունների որոշման համար անհրաժեշտ է իմանալ փիսրիչի վլա հարվածային բեռնվածություն՝ առաջացնուող ուժերի համապատասխան մեծությունները:

Այդ ուժերի մեծությունները կախված են փիսրիչի և քարի հանդիպման պահից և ձևից (նկ.7.4):

**Դեպք առաջին փիսրիչի քրիկը արգելին հանդիպում է ուղղահայաց (նկ.7.4ա):** Այդ ժամանակ

$$P_y = P_z = 0, P_{ab} = P_x = Q_x :$$

**Դեպք երկրորդ քրիկը հանդիպում է քարին ռ անկյան տակ թեքված (նկ.7.4բ)** Այս դեպքում, կախված քարի թեքության անկյունից, փիսրիչը կարող է սահել կամ չսահել արգելի մակերեսութիւնից: Չսահելու դեպքը ցույց է տրված նկ.7.4ա-ում :



Նկ.7.4 Փխրիչի և բարի ուժային փոխազդեցության սխեմաներ

Ոլոշեմք  $P_x$  և  $P_z$  բաղադրիչները:

$$\left. \begin{aligned} P_x &= P_{ab} (\cos^2 \alpha - 0.5 \sin 2\alpha \cdot \operatorname{tg}\varphi) \\ P_z &= P_{ab} (0.5 \sin 2\alpha - \sin^2 \alpha \operatorname{tg}\varphi) \end{aligned} \right\} \quad (7.28)$$

Հաջորդ դեպքում (նկ. 7.4 q)

$$\left. \begin{aligned} P_x &= P_{ab} (\cos^2 \alpha - 0.5 \sin 2\alpha \cdot \operatorname{tg}\varphi) \\ P_z &= -P_{ab} (0.5 \sin 2\alpha - \sin^2 \alpha \operatorname{tg}\varphi) \end{aligned} \right\} \quad (7.29)$$

Բանող օրգանի համար ամենավատագույն դեպքը արգելի կողային ազդեցությունն է (նկ. 7.4η):

Այդ դեպքում  $P_x = 0$ ,

$$P_x = (P_T - F) \cos \alpha,$$

$$P_y = (P_T - F) \sin \alpha,$$

կամ վերջնականորեն

$$\left. \begin{aligned} P_x &= P_{ab} (\cos^2 \alpha - 0.5 \sin 2\alpha \operatorname{tg}\varphi) \\ P_y &= P_{ab} (0.5 \sin 2\alpha - \sin^2 \alpha \operatorname{tg}\varphi) \end{aligned} \right\} \quad (7.30)$$

Հողի մշակության մեքենաների կատարելագործման հիմնական ուղղությունները

Հողամշակման մեքենաների կատարելագործման հիմնական ուղղությունը պահանջվող էներգիայի տնտեսումն է ի հաշիվ հողի մշակության նոր տեխնոլոգիաների ստեղծման, մի քանի գործընթացների համատեղման և այլն:

Լայն աշխատանքներ են տարվում թևավոր գործաններով էներգատար վարլ սկավառակավոր ցաքաններով և չիզելերով մշակության փոխարինելու համար։ Թեավոր գործանների փոխարեն արդեն արտադրության մեջ լայն կիրառություն են գտնում չիզելային գործանները։

Հողամշակման մեքենաների կատարելագործման ուղղությունն է ընտրված նրանց կոմբինացումը և ունիվերսալացումը։ Անհաժեշտ աշխատանքներ են տարվում նաև էռոզիայի կանխման մեքենաների կատարելագործման ուղղությամբ։

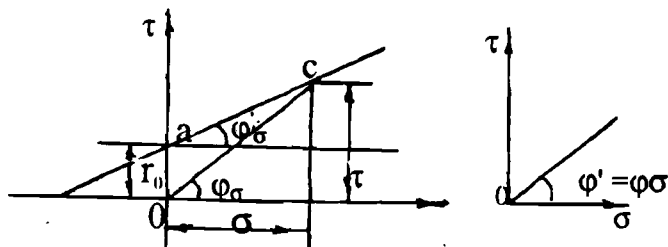
Լայն գլուխան-ստեղծագործական աշխատանքներ են տարվում տեխնոլոգիական գործընթացների որակի հսկման և պարամետրերի կարգավորման ավտոմատ կառավարման համակարգերի ստեղծման և կատարելագործման ուղղությամբ։

## 8.Սորուն նյութերի ֆիզիկա-տեխնոլոգիական հատկանիշները

Սորուն նյութերը դասվում են լցվող բեռների շարքյան և բնութագրվում լստ չափի մեծության բանակական բաշխվածությամբ: Հատիկաչափային կազմը որոշվում է սորուն զանգվածի մադեր եղանակով՝ օգտագործելով տարբեր չափի անցքերով մադեր:

Որպես ֆիզիկական հատկանիշ, նյութի սորունությունը բնութագրվում է զանգվածի շերտում սահմանային շոշափող լարումների և ճնշման կախվածությամբ:

Սահմանային շոշափող լարումների գրաֆիկը (նկ.8.1) կառուցվում է տրիբոմետրի վրա փորձարկման արդյունքներով:



Նկ.8.1 Սահմանային շոշափող լարումների գրաֆիկը

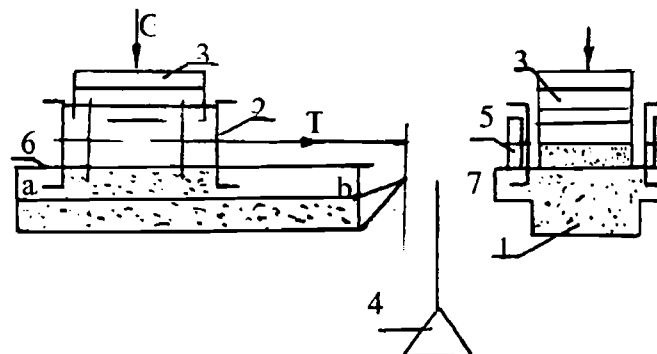
Տրիբոմետրի աշխատանքը հետևյալն է (նկ.8.2)

Նավանը (1) և շրջանակը (2) լցվում են սորուն նյութերով: Այս երկու զանգվածները իրար են սեղմում լրացուցիչ բեռով (3): Շրջանակը անվակներով (5) հենվում է ուղղորդների (6) վրա և կարող է շարժվել երկայնական ուղղությամբ:

Այն շարժվում է Տուժի ազդեցության տակ, որը ստեղծվում է՝ բասի (4) վրա աստիճանաբար բեռ ավելացնելով մինչև երկու զանգվածների խզումը:

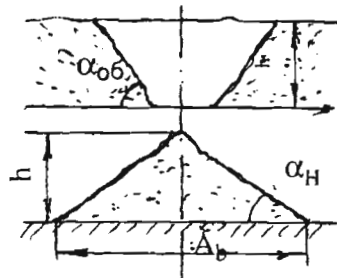
Նորմայ և շոշափող լարումները որոշվում են հայտնի արտահայտություններով  $\sigma = \frac{G}{S}$  և  $\tau = \frac{T - T_p}{S}$  և ստացված

արյունքներով կառուցվում սահմանային շոշափող լարումների գլուխիկը, (որտեղ  $G$ -շարժական շրջանակի մեջ նյութի և լրացուցիչ բեռի գումարային քաշն է,  $T_p$  շարժական շրջանակի քարշային դիմայլությունը,  $S$ -խզման մակերեսի մեծությունը,  $T$ -սահքի ուժը):



Նկ. 8.2 Տրիբոմետրի սխեման

Ըստ փորձնական տվյալների ( $\sigma, \tau$ ) կառուցվում են սահմանային շոշափող լարումների ուղղությունը ( $\alpha_c$ ): Ստացված Ծետից տարրում է գումարին շփում անկյան տակ, որ հատվածը՝  $\tau_0$ -սահքի սկզբնական դիմադրությունը, բնութագրում է նյութի կապակցվածությունը: Լավ սորուն (աշխատական) նյութերի մոտ՝  $\tau_0=0$ : Փու անկյունը կռչվում է ներքին սահքի անկյուն և որոշվում է հետևյալ բանաձևով՝  $\operatorname{tg}\phi_{\sigma} = \operatorname{tg}\phi' + \tau_0 / \sigma$ : Լավ սորուն նյութերի մոտ ( $\tau_0=0$ )  $\operatorname{tg}\phi_{\sigma} = \operatorname{tg}\phi'$ , ներքին շփման անկյունը հավասար է բնական թեքության անկյանը  $\phi = \alpha_0$ : Սորուն նյութերի բնական թեքության անկյունը լրացնում են գլանի մեջ լցնելով նյութը և աստիճանաբար այն բարձրացնելով: Կապակցված նյութերի բնական թեքության անկյունը մեծ է ներքին շփման անկյունից  $\alpha_0 > \phi'$  և կախված է թեքության կազմավորման եղանակից՝ վերնից լցման ժամանակ կազմավորվում է լցման անկյուն  $-\alpha_{\delta}$ , իսկ փլազման դեպքում՝ փլուզման անկյուն  $\alpha_{\delta}$  (նկ.8.3):



Նկ. 8.3 Լցման  $\alpha_H$  - փլուզման  $\alpha_{s\eta}$  անկյան որոշման սխեմա

$$\operatorname{tg} H = \operatorname{tg} \varphi' + \frac{\tau_0}{h \cdot \gamma} = \operatorname{tg} \varphi' / 2 + \sqrt{\operatorname{tg}^2 \varphi' / 4 + 2 \tau_0 / A_b \gamma}$$

$$\operatorname{tg} \alpha_{0\delta} = \frac{h \gamma \operatorname{tg} \varphi'}{h \gamma - 4.7 \tau_0 \sqrt{\operatorname{tg} \varphi'}},$$

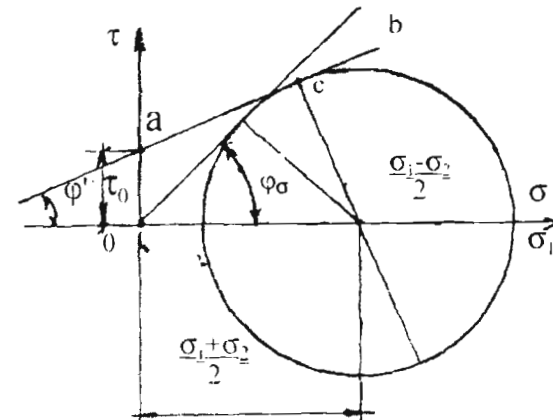
որտեղ՝  $h$ -շեպի բարձրությունն է,  $A_b$ -դարսակույտի եռանկյան հիմքը,  
γ-նյութի ծավալային գանգվածը:

Նյութի սորտությունը բնութագրվում է նաև շարժության գործակցով  $m'$ , որը հավասար է գլխավոր լարումների հարաբերությանը  $m' = \sigma_2 / \sigma_1$ , որնոց մեծությունները ստացվում են Մորի շրջանագծի կառուցումով (նկ.8.4):

Լավասորուն նյութերի շարժունակության գործակիցը  
 $m_i = \frac{1 - \sin \varphi'}{1 + \sin \varphi'}$ , թերև սորտուն նյութերի համար  $m_A = 0.18 / \operatorname{tg} \varphi'$ ,

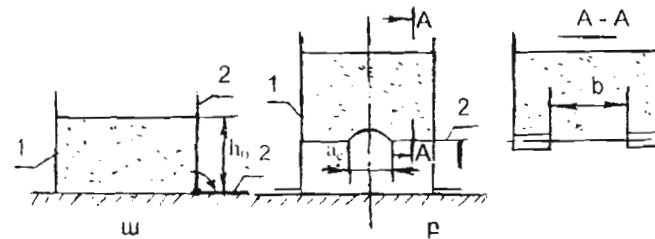
ինչտև կմպակցված նյութերի համար  $m' = m_i - \frac{\tau_0}{\operatorname{tg} \varphi' \sigma_1} (1 - m_i)$ ,

որտեղ  $\sigma_1$ -առավելագույն գլխավոր լարումն է դիտարկվող կետում:



Նկ.8.4 Մորի շրջանը

Սակայն սկզբնական դիմադրյան  $\tau_0$  պուշման փարձնական նշանակի եռորյունը ենթույալն է: Այդ եղանակները երկուսն են. եխմնված ազատ կանգնող ուղղաձիգ պատի առավելագույն բարձրության և կամարակազման անցքի առավելագույն արժեքների վրա (նկ.8.5ա,բ):



Նկ.8.5 Ազատ կանգնած պատի առավելագույն բարձրության որոշման սպասը (ա) և կամարա-կազմավորման ճեղքի լայնության որոշման սպասը (բ):

Ուղյաձիգ պատի առավելագույն բարձրության որոշման սպասքը բաղկացած է անորից (1), որի մի կողապատր (2) շրջող է: Փորձի սկզբում կողապատրի 2 ուղղաձիգ դյուքում անորի լցում է սորուն նյութով այնպես, որ անորի մակերեսը լինի հարթ: Դանուադ շրջերով կողապատր կատարվում է դյուտարկում: Եթե այդ պատրը չի փլուզվում, կողապատրը բերվում է սկզբնական դիրքի և ավելացվում նյութը, այնքան, որ կողապատրի հաջորդ շրջումից հետո որոշվի սորուն նյութի ուղղաձիգ պատի համարվելագույն բարձրությունը, որից հետո պատը սկսում է փլուզվել:

$$\text{Այս փորձով հաստատվում է, որ } \tau_0 = \frac{8h_0}{4.7\sqrt{\tan\phi}}: \quad \text{Մյուս}$$

սպասքը բաղկացած է ի յայնությամբ հատակի անցքով անողից (1): Անցքը նախապես փակվում է փականով (2): Անցքի փակ վլիճակում անորը լցում է նյութով, ապա աստիճանաբար տեղաշարժվում է փականը այնքան, որ որոշվի նյութի ազատ հոսքի համար անհրաժեշտ ճեղքի սահմանային  $a_c$  արժեքը: Այս դեպքում  $\tau_0 = \frac{ba_c\gamma}{3.2(b+a_c)}$

Պետք է իլշել, որ սորուն նյութի սակարագի սկզբնական դիմայլության  $\tau_0$  մեծությունը փոփոխական է՝ կախված խոնավությունից և խտացման աստիճանից:

Այսպես օրինակ, չոր պարտաճակարերի տեսլափոխման ժամանակ այն մեծանում է մինչև 3-4 անգամ, հատկապես, ելք տատանման արագացումները մոտ են կրիտիկականին:

Սորուն նյութերի խտացման բնութագրման համար օգտվում են խտացման գործակցից, որը որոշվում է հետևյալ բանաձևով  $k_y = \frac{\gamma_y}{\gamma_0}$ ,

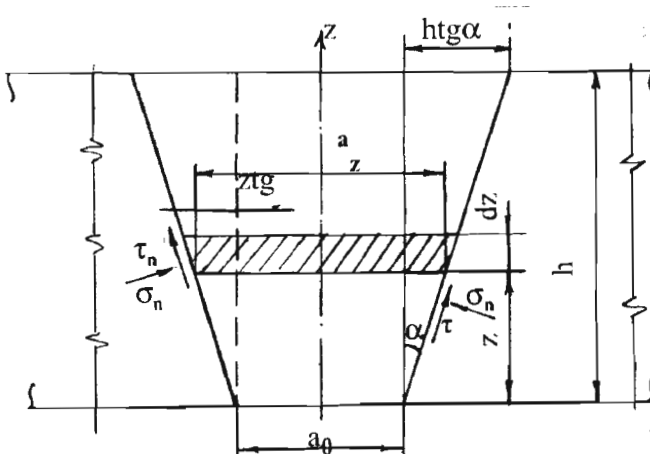
որտեղ  $\gamma_y$ - ազատ լցում նյութի ծավալային զանգվածն է,  $\gamma_0$ - խտացված նյութի ծավալային զանգվածը: Նյութի խտացման ժամանակ օգտվում են վիբրոսելլանից և պարբերաբար անողի պակասածը լցում այնքան, մինչև որ բռնությունը նյութի ծավալը այլևս չպակասի:

Սորուն նյութերի բնութագրման հարցում կարևոր նշանակություն ունի անցքից արտահոսելու հատկանիշը, առանց կամարակազմափորման:

Կամարակազմափորման բացառման համար, կախված ելքի անցքի ձևից, անհրաժեշտ է հաշվարկել անցքի օպտիմալ չափերը:

Տարբերում են սորուն նյութերի արտահոսման երեք եղանակ: Շուրջավագը, համատարած և կողապատրական :

Նորմալ արտահոսման ժամանակ շարժվում են նյութի այն մասնիկները, որոնք գտնվում են անմիջապես արտահոսման անցքի վրա: Ընդ որում անցքի մոտ անորի պատի թեքությունը կորիզունի հետ հավասար է  $45-55^\circ$ : Այս ամկյունը մեծացնելով մինչև  $70-80^\circ$ , տեղի է ունենում համատարած արտահոսում: Նկատենք, որ անցքի բացման սկզբում տեղի է տնենում նորմալ արտահոսում, որից հետո աստիճանաբար սկսվում է նյութի համատարած շարժում դեպի ելք անցքը:



Նկ.8.6 Արտահոսման անցքի չափերի հիմնավորման սխեմա

Հիմնավորման արտահոսքը կատարվում է նյութի խտացման վիճակում, ելք մոտենում է սասպենզիոն վիճակին, և ելք

նյութի տօժեղ քորուացվում է, այսնպես, որ խալստվում է կողային ճնշման հաստատունությունը:

Մյուրն նյութերի կամարակազման առաջին պայմանը անցքի պարագծով ագրու ուղղաձիգ շոշափող ուժերը անցքի վրա գտնվող նյութի շերտի ծանրության ուժից ավելի մեծ լինելն է : Ուստի կամարակազման խախտման առաջին պայմանով պետք անցքի շափերը լինեն այնքան, որ նյութի ծանրության ուժը ավելի մեծ լինի, քան ուղղաձիգ շոշափող ուժերը: Նշենք նաև, որ խնդիրի լուծման արդյունքները խստորեն կախված են անցքի ծեփությունը՝ դեպքերին համապատասխան (նկ.8.6) :

**Դեպք առաջին.** Ընթափոր անցք-  $a_0$  լայնությունը զգալիորեն փոքր է և երկարությունից և զանգվածի ուղղաձիգ ծանրությունը՝

$$dG(z) = a(z)b\gamma_z dz \quad (8.1)$$

Այս արտահայտության մեջ անհայտ մեծությունը նյութի ծավալային զանգվածն է, որի փոփոխվում է շերտի քարձությունից կախված:

Այս մեծության որոշման նպատակով կազմենք զանգվածների հավասարման արտահայտությունը՝ մինչև նյութի դեֆորմացիան և լեփորմացիայից հետո:

$$\begin{aligned} \gamma_0 dx dy dz &= \gamma_z (dx - \Delta dx)(dy - \Delta dy)(dz - \Delta dz) = \\ &= \gamma_z dx dy dz (1 - \varepsilon_x)(1 - \varepsilon_y)(1 - \varepsilon_z) \end{aligned} \quad \text{որտեղից}$$

$$\gamma_z = \frac{\gamma_0}{(1 - \varepsilon_x)(1 - \varepsilon_y)(1 - \varepsilon_z)} \quad (8.2)$$

$\varepsilon_x, \varepsilon_y, \varepsilon_z$  -նյութի հարաբերական դեֆորմացիաներն են  $x, y, z$  առանցքների ուղղությամբ :

Քանի որ  $\varepsilon_x \varepsilon_y = \varepsilon_y \varepsilon_z = \varepsilon_z \varepsilon_x = \varepsilon_x \varepsilon_y \varepsilon_z = 0$ , ուստի

$$\gamma_z = \frac{\gamma_0}{1 - \varepsilon_x - \varepsilon_y - \varepsilon_z} \quad (8.3)$$

$$\zeta_{այտնի} է, որ \varepsilon_x = \frac{\Delta dx}{dx}, \varepsilon_y = \frac{\Delta dy}{dy}, \varepsilon_z = \frac{\Delta dz}{dz}, սակայն$$

Հայելի օրենքի համաձայն ունենք նաև

$$\varepsilon_x = \frac{1}{E} [\sigma_x - \mu(\sigma_y + \sigma_z)]$$

$$\varepsilon_y = \frac{1}{E} [\sigma_y - \mu(\sigma_x + \sigma_z)]$$

$$\varepsilon_z = \frac{1}{E} [\sigma_z - \mu(\sigma_x + \sigma_y)]$$

որտեղ՝  $E$ -առաձգականության մուլտը է,  $\mu$  - Պուասոնի գործակիցը:

Հաշվի առնելով վերցին արտահայտությունների մեծությունները՝ կստանանք

$$\gamma_z = \frac{\gamma_0}{1 - \frac{1 - 2\mu}{E} (\sigma_x + \sigma_y + \sigma_z)} \quad (8.4)$$

Ընթափոր անցքի համար կարող ենք գրել.  $\sigma_z = n\sigma_z$ , որտեղ  $n$ - սրացակի գործակից է,  $\sigma_z = \gamma_z(h - z)$ , ուստի

$$\gamma_z^D = \frac{\gamma_0}{1 - \frac{1 - 2\mu}{E} (1 + n)\gamma_z(h - z)}, \text{ որտեղից}$$

$$\gamma_z^D = \frac{2\gamma_0}{1 - \sqrt{1 + \gamma_0 k_z(h - z)}} \quad (8.5)$$

որտեղ՝  $k_z = 2(1 + n) - \frac{1 - 2\mu}{E}$ ՝ առաձգականության ծավալային մոլորդն է:

Տեղադրելով  $\gamma_z^D$  արժեքը (8.1) հավասարման մեջ, կստանանք

$$G^D(z) = 2\gamma_0 h \int_0^h \frac{(a_0 + 2z \operatorname{tg} \alpha) dz}{1 - \sqrt{1 + 2\gamma_0 k_z(h - z)}} = \gamma_0 h b (a_0 + h \operatorname{tg} \alpha) \quad (8.6)$$

Քառակուսի անցքի համար կարող ենք գրել

$$dG^D(z) = \gamma_z^D [a(z)]^2 dz \quad (8.7)$$

Ստացված արտահայտության մեջ ընդունելով  $\sigma_x = \sigma_y$  և  
 $\sigma_x + \sigma_y + \sigma_z = 2\sigma_x + \sigma_z = 2n\sigma_z + \sigma_z = (l+2n)\sigma_z =$   
 $= \gamma_z(h-z)(l+2n)$ , կստանանք

$$\gamma_z^f = \frac{2\gamma_0}{1 - \sqrt{1 + 2\gamma_0 k_v(h-z)}}, \text{հետևաբար}$$

$$G^f(h) = \int_0^h (a_0 + 2ztg\alpha)^2 \frac{2\gamma_0 dz}{1 - \sqrt{1 + 2\gamma_0 k_v(h-z)}} \approx \\ \approx \gamma_0 h(a_0^2 + 2a_0 htg\alpha + 4/3h^2 \operatorname{tg}^2 \alpha) \quad (8.8)$$

Կլոր անցքի դեպքում կստանանք,  $\gamma_z^0 = \gamma_z^f$ ,

$$dG^0(z) = \frac{\pi}{4} [a(z)]^2 \gamma_z dz, \text{ուստի}$$

$$G^0(h) = \frac{\pi}{4} 2\gamma_0 \int_0^h \frac{(a_0 + 2ztg\alpha)^2 dz}{1 - \sqrt{1 + 2\gamma_0 k_v(h-z)}} = \\ = \frac{\pi}{2} \gamma_0 h(a_0^2 + 2a_0 htg\alpha + 4/3h^2 \operatorname{tg}^2 \alpha) \quad (8.9)$$

Այժմ որոշենք դիմադրող շոշափող ուժերի  $P(z)$  մեծությունները առանձին դեպքերի համար:

Շեղբավոր անցքերի համար  $\sigma_y = 0$  և  $b \frac{dz}{\cos\alpha}$  մակերեսի վրա ազդում է  $dP^D(z)$  ուժը:

$$dP^D(z) = 2b(\sigma_n \sin\alpha \frac{dz}{\cos\alpha} + \tau_n \cos\alpha \frac{dz}{\cos\alpha}) \text{ կամ}$$

$$dP^D(z) = 2b(\sigma_n \operatorname{tg}\alpha + \tau_n) dz, \text{որունք}$$

$$\sigma_n = \sigma_z \frac{\cos^2 \varphi'}{1 + \sin \varphi'}, \quad \tau_n = \frac{\sigma_z \sin \varphi' \cos \varphi'}{1 + \sin \varphi'}, \quad \sigma_z = \gamma_z(h-z):$$

Հաշվի առնելով վերը նշված մեծությունները կարող ենք գրել

$$P^D(h) = b\psi(\alpha) \int_0^h \frac{2\gamma_0(h-z)dz}{1 - \sqrt{1 + 2\gamma_0 k_v(h-z)}} = \gamma_0 h^2 b\psi(\alpha),$$

$$\text{որունք } \psi(\alpha) = \frac{\sin(\alpha + \varphi') \cos \varphi'}{(1 + \sin \varphi') \cos \alpha}.$$

Համանման կարգով քառակուսի անցքի համար կստանանք

$$dP^f(z) = 4a(z)(\sigma_n \operatorname{tg}\alpha + \tau_n) dz,$$

$$P^f(h) = 8\gamma_0 \psi(\alpha) \int_0^h \frac{(h-z)(a_0 + 2ztg\alpha) dz}{1 - \sqrt{1 + 2\gamma_0 k_v(h-z)}} = \\ = \frac{4}{3} \gamma_0 h^2 (3a_0 + 2htg\alpha) \psi(\alpha) \quad (8.10)$$

Կլոր անցքի համար կստանանք

$$dP^0(z) = \pi(a_0 + 2ztg\alpha)(\sigma_n \operatorname{tg}\alpha + \tau_n) dz$$

$$P^0(h) = 2\pi\gamma_0 \psi(\alpha) \int_0^h (a_0 + 2ztg\alpha) \frac{(h-z) dz}{1 - \sqrt{1 + 2\gamma_0 k_v(h-z)}} = \\ = \frac{\pi}{3} \gamma_0 h^2 (3a_0 + 2htg\alpha) \psi(\alpha) \quad (8.11)$$

Հաշվի առնելով առաջարկված պայմանը՝

$$G(z) \geq P(z), \text{ կստանանք}$$

ճեղքի համար՝

$$a_0^D \geq \frac{h}{\cos\alpha} \left| \frac{\sin \varphi' \cos(\alpha + \varphi')}{1 + \sin \varphi'} \right|_{\alpha + \varphi \neq \frac{\pi}{2}} \quad (8.12)$$

քառակուսի համար

$$a_0^f \geq h[\operatorname{tg}\alpha - 2\psi(\alpha)] \left( 1 \pm \sqrt{1 - \frac{4}{3} \frac{\operatorname{tg}\alpha}{\operatorname{tg}\alpha - 2\psi(\alpha)}} \right) \quad (8.13)$$

Կլոր անցքի համար

$$a_0^0 \geq h \left[ \operatorname{tg} \alpha - \psi(\alpha) \right] \left( 1 \pm \sqrt{1 - \frac{4}{3} \frac{\operatorname{tg} \alpha}{\operatorname{tg} \alpha - 2\psi(\alpha)}} \right) \quad (8.14)$$

Արտահոսման անցքի լայնության ստացված մեծությունները ( $a_0^+$ ) նվազագույն շափերն են:

## 9. Ցանքի մեքենաներ

Ցանքի մեքենաների կառուցվածքը մշակվում է համաձայն ազդատեխնիկական, տեխնոլոգիական և տեխնիկատնտեսական պահանջների: Այդ մեքենաները դասակարգվում են ըստ ցանքի եղանակի՝ մակերեսույթի ցերեկային պյուֆիլի (հարթ, թմբային, ակոսային և ցանք խոզանի վրա - կախված տվյալ գոտու հողակլիմայական պայմաններից և մշակվող կուտուրայի յուրահատկություններից) և ցանքի սխեմայի (շարային, խաչաձև, նեղ շար, լայնաշար, ժապավենային, կետագծային, բնային, քառակուսի-բնային, ոչ շարային և շաղացան):

Ցանքի տեխնոլոգիական գործընթացին ներկայացվում են երեք հիմնական պահանջներ. առաջարկված քանակի սերմերի ցանք՝ դաշտի միավոր նակերեսի վրա, սերմերի հավասարաշափ քաշխոմ դաշտի մակերեսին և սերմերի ցանք հավասար խորությամբ:

Ցանքի մեքենաների բանող օրգանների տեսությունը մշակվում է կախված հողային պայմաններից, ցանքի սխեմայից և սերմերի ֆիզիկա-տեխնոլոգիական հատկանիշներից:

### 9.1. Սերմերի տեխնոլոգիական հատկանիշները

Տեխնոլոգիական կոչվում են սերմերի այն հատկանիշները, որոնք ի հայտ են գալիս տեխնոլոգիական գործընթացի իրականացման ժամանակ և եապես ազբում են այդ գործընթացի ընթացքի օրինաչափության վրա, դրանք են - սերմերի ծել, գծային շափերը, մակերեսույթի բնույթը (շփման գործակիցները, սորտնությունը), առածգականությունը, ամրությունը, խտությունը, զանգվածը:

**Սերմերի ծելը** լինում են՝ էլիպսակերպ, գնդակերպ, բուրգակերպ, ոսպակերպ: **Գծային շափերը** բնութագրվում են՝ թերկայությամբ, ելայնությամբ և ա հաստությամբ: Հացահատիկային կուլտուրաների երկարությունը տատանվում է 4 (զարնան ցոլեն) մինչև 18.6մմ (վարսակ), լայնությունը 1.4-4մմ, հաստությունը՝ 1-4.5մմ, շարահերկ կուլտուրաների սերմերի երկարությունը՝ 1.8-13.5մմ. լայնությունը 1.5-11.5մմ և հաստությունը 1.5-8մմ-ի սահմաններում:

Սերմերի ծեր և գծային չափերն էապես ազդում են անցքից հոսերո գործընթացի վրա և կանխարոշում են ցանող ապարատի տեսակը և ճշգրիտ ցանքի ժամանակ ցանող սկավառակների քիչների պարամետրերը: Քանի որ սերմերի գծային չափերը տատանվում են չափազանց լայն սահմաններում ոտտի ցանող ապարատների աշխատանքի որակը լավացնելու համար հատկապես ճշգրիտ ցանքի ժամանակ, կատարվում է նախնական չափավորում՝ բաժանում լսու ֆրակցիաների:

**Սերմերի մակերևույթի բնույթը** ազդում է նրանց ներքին և արտաքին շփման գործակիցների վրա: Ըստ մակերևույթի բնույթի սերմերը լինում են հարթ և ոչ ողորկ: Ցանքի գործընթացի ուսումնայինության ժամանակ հաշվի են առնվում դինամիկ (շարժման) և ստատիկ (դարձարի) շփման գործակիցները: Ցորենի գարուեգիպտացորենի լինամիկ արտաքին շփման գործակիցները տարբեր նբութերի վրայով կազմում է 0.3-0.5 (առողպատի վրա 0.3): Դարձարի շփման  $f_{cm}$  գործակիցը կախված է լինամիկից

$f_s = (0.6-0.7) f_{cm}$ : Հացահատիկային կուլտուրաների ներքին շփման գործակիցը  $f' = 0.44 - 0.57$ : Սերմերի սորտնությունը (շփումը հատիկների շերտում) գնահատվում է բնական բերության անկյունով, որը տատանվում է  $25^{\circ}-40^{\circ}$  սահմաններում: Խոնավության մեծացման հետ մեծանում է և այդ անկյունը: Ցորենի խոնավությունը  $11-12\%-ից$  մեծացներով մինչև  $14-15\%$  կրիտիկական խոնավությունը՝ բնական բերության անկյունն աճում է  $34^{\circ}$ -ից մինչև  $37^{\circ}$ :

**Առաձգականությունը** բնութագրվում է հարվածի ժամանակ վերականգնման գործակցով  $K = \frac{V_2}{V_1}$ , որտեղ  $V_1$  և  $V_2$  սերմերի արագությունների նորմալ բարարդիշներն են՝ համապատասխանաբար մինչև մակերևույթին հարվածելը և հարվածից հետո: Սխենու համար  $K = 0.3-0.42$ , սերմերի հարվածը տեղի ունի ցանող ապարատների հրիշների, անդրադարձիչ թիթեղի, գետնի վրա և սերմատար խորովակների մեջ շարժվելիս:

**Ամրությունը** բնութագրվում է այն բևոնվածությամբ, որն առաջ է բերում սերմերի վնասվածքը և վերջին հաշվով ծլունակության ու բերքատվության իշեցում: Ցանող ապարատների բանող օրգանների

պարամետրերի և աշխատանքային ուժիմի ժամանակ անհրաժեշտ է իմանալ բեռնվածության այն սահմանային արժեքները, որոնք չեն իշեցնում սերմերի ծլունակությունը. բամբակի և տոյայի համար այն կազմում է 50ն, եզրակացնելի համար՝ 55ն:

**Խտությունը** որոշվում է սերմի զանգվածի և ծավալի հարաբեկությամբ: Վարսակի խտությունը  $\rho = 1.0 \text{տ}/\text{մ}^3$ -է, սխենում՝  $\rho = 1.4 \text{ т}/\text{м}^3$ : Որբան մեծ է սերմի խտությունը, այնքան բարձր է դաշտային ծլունակությունը:

**Բացարձակ զանգվածը** բնութագրվում է 1000 սերմի զանգվածով՝ արտահայտված գրամներով: Հացահատիկային կուլտուրաների համար բացարձակ զանգվածը կազմում է 20-42գ, եզրակացնելինը՝ 150-300գ, սխենում՝ 100-200գ, կուլտիկինը՝ 7-9գ, հնդկացորենինը՝ 15-25գ:

**Ծավալային զանգվածը** որոշվում է սերմերի բացարձակ զանգվածով և ծավալի լցման  $K_{pl}$  գործակցով (տեղափորման խտությունը):  $K_{pl} = G_f/G_m$ , որտեղ՝  $G_f$ -միավոր ծավալի փաստացի զանգվածն է,  $G_m$  - նոյն ծավալի տեսական զանգվածը: Ծավալային զանգվածը վարսակի համար կազմում է 400-565, ցորենինը՝ 750-880, եզրակացնելինը՝ 700-865գ/լ: Հյունական հասկային կուլտուրաների համար  $K_{pl} = 0.58-0.65$ :

## 9.2. Սերմարկոի պարամետրերի հիմնավորումը

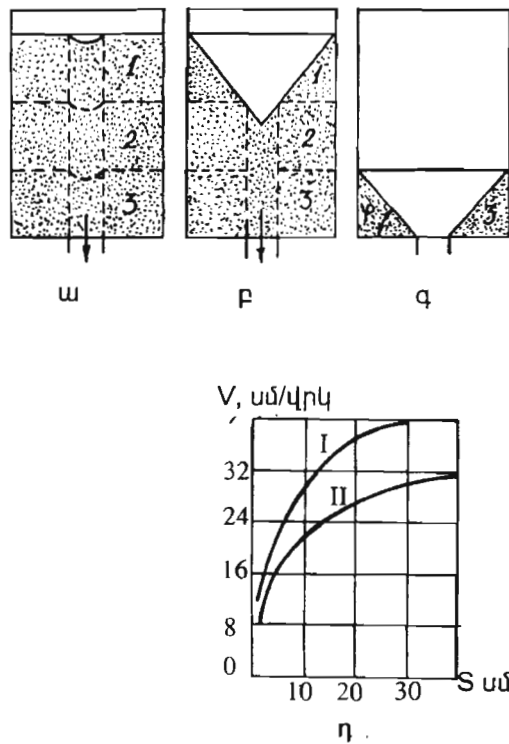
Սերմարկոի լիրենից ներկայացնում է սնող տարատարյունը, որը ապահովում է ցանքի ապարատների ամխափան աշխատանքը՝ սերմանյութի անընդիատ հոսքից դեպի չափավոր հարմարանքը:

Սերմերի, պալայների և հատիկավորված պարարտանյութերի խոսքը անցքից ենթարկվում է սորուն նյութերի շարժման օրինաչափություններին:

Անցքից սորուն նյութերի (սերմերի) հոսքի գործընթացը բաղկացած է մի քանի փուլերից (նկ.9.1):

Ներկայացված փուլերից յորպահանջուրի դեպքում փոփոխվում է սերմանյութի հոսքի արագությունը և ծախսը: Անցքի

բոլորնակությունը բոլոր փուլերամ պետք է ապահովի դրագատորի ամենամեծ արտադրսղոկանությունը: Ազատ հոսքի դեպքում սերմանյութի ծախսը կախված է եղի անցքի մակերեսից: Անցքի ծնը առանձնապես չի ազդում գործընթացի վրո, սակայն գերադասելի է կրոք անցքը՝ հատած կոնի ծնով, ինչը դեպքում է ներքեւ: Անցքի շափու էական ազդեցությունը է բոլորում հոսքի արագության և տեսակարար ծախսի վրա (նկ.9.1η):



Նկ. 9.1 Սերմի հոսքը կոր անցքից՝

ա-հոսքի սկիզբը (1 փուլ), բ-ձագարի կազմավորումը (2 փուլ), գ-հոսքի վերջը (1, 2 և 3-սերմի վերին, միջին և ներքելի շերտերը), դ-սերմի տեսակարար ծախսի (V արագության) կախումը մակերեսից (S) (I-ցորեն, II-բդ-գարի):

Անցքի կրիտիկական շափու դեպքում դադարաւմ է հոսքի գործընթացը: Անցքի կրիտիկական շառավիմը սուշվում է  $r_{kp} = 4\sqrt{ab}$  քանածնով:  $\sqrt{ab}$  մեծությունը ցույենի համար կազմում է 2.2, գարու համար 2.4, եգիպտացութենի՝ 3.2մմ սուժեմն անցքի շառավիմը պետք է լինի  $r > 4\sqrt{ab}$ : Հացահատվային կուտուրաների համար լնդունվում է  $r = 25$ մմ, որը համապատասխանում է կրոք անցքի 20սմ<sup>2</sup> մակերեսին:

Սերմարկովի ծափալը ոլոշվում է հետևյալ քանածնով

$$V = \frac{LBQ}{10^4 \gamma_e}, \quad (9.1)$$

որտեղ՝ L - գործի երկարությունն է լցավորումից մինչև հաջորդ լցավորումը, մ,

B - մերենայի լնդորի կման լայնությունը, մ,

Q - գանքի ամենամեծ նորման, կգ/հա,

$\gamma$  - սերմի խտությունը, կգ/մ<sup>3</sup>

դը- ծափալի օգտագործման գործակիցը, որն հավասար է 0.85-0.9:

Ցանքի մերենաների մեկ լցավորումը քափակա նացնում է մինչև 2 ժամ աշխատանքի:

Սերմարկովի հատակի լայնությունը ոլոշվում է հետևյալ քանածնով

$$b_{\partial H} = d_0 + 2b_1, \quad (9.2)$$

որտեղ՝  $d_0$ -եղի անցքի տրամագլուխն է,

$b_1$  - ոլոշակի քացակ անցքի երկու կողմերից ( $b_1=20-40$ մմ):

Սերմարկովի երկարությունը ոլոշվում է

$$\ell_e = b(Z+1) \text{ քանածնով} \quad (9.3)$$

որտեղ՝ b - միջշարային հեռավորությունն է,

Z - խոփիկների թիվը:

Հետին և առջևի պատերը հորիզոնի հետ կազմում են շվման անկյան կույնակի ալիքերի անկյուն:

Սերմարկովի ~ լնդայնական հատվածքի մակերեսը՝

$$S_e = \frac{V}{\ell_e} \quad (9.4)$$

### 9.3. Ակոսակոճային ապարատի տեսությունը

Ակոսակոճային պարամետրերը հիմնավորվում են ցանքի առաջարկած նորման ավալույթում տեսանկյունից: Ցանքի նորման կարգափոխում է կոճի բանող երկարության և պտտման հաճախականության փոփոխությունով, սակայն վնասվածքը փոքրացնելու տեսակետից գերալասելի է բանող երկարության մեծացումը:

Ցանքի նորման ակոսակոճակայի ապարատի աշխատանքի ժամանակ կախված է նաև սերմատոփի և կոճի լույսայնական հատվածքի չափերից (նկ. 9.2): Կոճի պտտման ժամանակ առաջանաւմ են սերմի շարժման երեք գոտիներ՝ 1) ազատ շարժման, 2) ստիպուղական շարժման և 3) շարժումը ակտիվ շերտում: 1-ին գոտում սերմերը շարժվում են ազատ, ծանրության ուժի ազդեցության տակ իջնելով ներքև, 2-րդ գոտում ակտուի մեջ ընկած սերմերը շարժվում են ստիպուղական կոճի առ պտտման արագությամբ, 3-րդ գոտում՝ ակտիվ շերտում, սերմերը շարժվում են ներքին շիման ուժերի ազդեցությամբ, որոնք առաջանաւմ են կոճի կողապատերի շարժումից և փոխանցվում մի շերտից մյուսը: Ակտիվ շերտից ներքև՝ "մեռյալ" գոտի է, ուստի ելքի անցքի առավել մեծացունը տեխնոլոգիական նշանակություն չունի և նույառակահարմար չէ: Ցորենի զանգվածում ակտիվ շերտը բաղկացած է չորս հատվածով, տարրեր սերմերի մոտ այդ շերտի մեծությունը տարբեր է:

Ա.Բ.Լույսելի հետագառություններից պարզել է, որ ակտիվ շերտում սերմի շարժման արագությունը փոփոխվում է հետևյալ օրինաչափությամբ՝

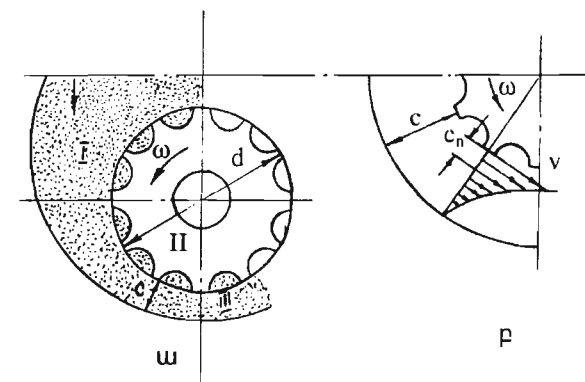
$$V_x = f(x) = V_k \left(1 - \frac{x}{C}\right)^{m_1}, \quad (9.5)$$

որտեղ՝  $V_k$  - կոճի շրջագծային արագությունն է,  $C$  - ակտիվ շերտի հաստությունը,  $m_1$ - փորձնական գործակից (ցորենի և զարու համար  $m_1=2.6$ , վարսակինը՝ 2.5, փոշինը՝ 1.7 և այլն):

Սերմի ելքի քանակը ակտիվ շերտում որոշելու համար լնդրունվում է, որ շարժման արագությունը բոլոր շերտերում հաստատում է  $V_x = V_k = \omega r$ , իսկ ակտիվ շերտերի փոխարեն օգտվում են ակտիվ շերտի բելութած  $C_n$  հաստությունից: Այլ դեպքում

$$C_n V_k = \int_0^C f(x) dx = V_k \int_0^C \left(1 - \frac{x}{C}\right)^{m_1} dx, \text{որտեղից} \\ C_n = \frac{C}{m_1 + 1} \quad (9.6)$$

Նշենք, որ շերտի հաստությունը կախված է կոճի  $\ell_p$  երկարությունից ( $\ell_p$  մեծացումից փոքրանում է  $C_n$ ) և փոփոխվում է եզրապետացորենի համար 10.3-5.3մմ, ցորենի համար 5-3.2մմ-ի սահմաններում:



Նկ. 9.2 Սերմի շարժումը ակոսակոճակոր ապարատում՝ ա-շարժման գոտիները, բ-արագության բաշխման բնույթը ակտիվ շերտում

Այսպիսով, ակտիվ շերտով հանված սերմերի ծավալը կլինի՝

$$V_a = V_k C_n \ell_p = \pi \left[ (r + C_n)^2 - r^2 \right] \ell_p = \ell_p \pi (2rC_n + C_n^2):$$

Մեկ ակտիվի լայնական հատվածը մակերեսը լնդրունելով  $S$ , ակտուների թիվը  $Z$ , ակտիվի չ լցման գործակիցը՝ 0.7-0.9, կարող ենք որոշել ակտսակոճի բանող ծավալը մեծությունը՝

$$V_0 = \ell_p (\xi ZS + \pi dC_n + \pi C_n^2) \quad (9.7)$$

Հարթացանի անիվի մեկ պտույտի ժամանակ մեկ ապարատով ցանված սերմի ծավալը ցանքի առաջադրված  $Q$  նորմայի դեպքում կլինի:

$$V_{OK} = \frac{\pi D_k a Q}{10^3 \gamma (1-\varepsilon)}, \quad (9.8)$$

որտեղ՝  $D_k$  - անիվի տրամագիծն է,  $a$ ,  $\gamma$  - միջշալային լայնությունը, սմ,  
 $\gamma$  - սերմի ծավալային զանգվածը,  $q/\text{սմ}^3$ ,

$\varepsilon$  - անիվի սահքի գործակիցը:

Անիվից կոճին շարժաբերման փոխանցման թիվը մշանակերով և ով, կստանանք՝

$$V_0 = \frac{V_{OK}}{i} \quad (9.9)$$

Հավասարեցնելով (9.7) և (9.9) հավասարումները՝ ոլոշենք կոճի քանոլ մասի երկարության մեծությունը, որը կապահովվի ցանքի առաջադրված նորման

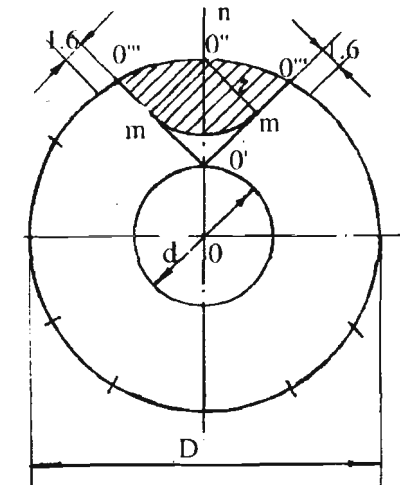
$$\ell_p = \frac{10^{-3} \pi D_k a Q}{i \gamma (1-\varepsilon) (\xi ZS + \pi dC_n + \pi C_n^2)} \quad (9.10)$$

Ստացված արտահայտությունն իր մեջ ընդգրկում է շարքացանի կոնստրուկտիվ և տեխնոլոգիական պարամետրերը և հնարավորությունն է տալիս որոշելու կոճի քանոլ երկարությունը:

Ստացված արտահայտության մեջ դեռ անորոշ է ակոսիկի ընդլայնական հատվածքի մակերեսը: Այդ մեծության որոշման համար կառուցենք ակոսակոճի լայնական հատվածքը (նկ. 9.3):

Այդ նպատակի համար կառուցվում են երկու շրջանագծեր՝  $D$ (արտաքին) և  $d$ (օժանդակ) տրամագծելով: Այնուհետև արտաքին շրջանագիծը քածանվում է  $2Z$  ( $Z$ -ակոսմերի թիվը) հավասար մասերի: Ստացված հատման կետերից մեկը նշենք արտաքին շրջանագծի վրա հատվում են 1.6նմ երկարությամբ միջմապատի հաստությունները և այդ հատվածները երկու կողմից միացվում օժանդակ շրջանագծի  $O_1$  կետին: Ստացված աղեղի  $O'$  միջնակետից տարվում են ուրիշահայց

ուղղվածները  $TO'$ , որոնք բնդումներով որպես շառավիղներ կառուցվում են ուղարկությունը:



Նկ. 9.3. Ակոսակոճի ակոսի ընդլայնական հատվածքի կառուցման սխեմա

Ստացված  $O''TO'$  մակերեսն իրենից ներկայացնում է ակոսի ընդլայնական հատվածքի մակերեսը: Ակոսի ընդիանուր  $S$  մակերեսը քաղկացած է երեք առանձին մակերեսներից՝  $S = S_1 + S_2 + S_3$ , որտեղ՝  $S_1$  - բ շառավիղը ուստի սեղմենտի մակերեսն է,  $S_2$  -  $mm'O''O'$  սելլանի մակերեսը և  $S-R$  շառավիղով  $O''O'$  սեղմենտի մակերեսը:

Ակոսակոճի աշխատանքի ժամանակ սերմերը լրաց են հանվում բաշխմներով, և եթե դրանց հետագա տեղափոխության ժամանակ մինչև խոփիկ չհարթվի այդ անհամաշափությունը, ապա սերմերի բաշխումը դաշտի մակերեսի վրա նույնականացնելու հարթվում է սերմատար խորովագում:

Ուսումնասիրենք այդ գործընթացը:

## 9.4. Սերմերի շարժումը սերմատար խողովակում

Խրականացվում է երկու դեպքում. եթե սերմատար խողովակը լոնչունում է ուղղաձիգ դիրք. կամ մյու փոքր թեք խորխունի նկատմամբ. և եթե սերմատար խողովակի թեքությունը զգալի է: Առաջին դեպքում սերմերը կատարում են ազատ անկում, իսկ երկրամբ դեպքում շարժման գործընթացը դիտվում է. որպես շարժում թեք հարթության վրայով, որի դեպքում շարժումը հնարավոր է, եթե  $\alpha \geq \varphi$ , կամ  $\frac{H}{x} = \frac{\alpha}{\varphi}$ . սրտեղ՝  $H$  - սերմի անկման բարձրությունն է,  $x$  -սերմի հետազօծի շեղումը ուղղաձգվում: Ընդհանրապես ընդունվում է  $\alpha = 75-80^\circ$ : Սերմատար խողովակի  $\alpha$  թեքության անկյան նման արժեքը միանգամայն բավարարում է. ցանող ապարատից սերմի թոփշքի հետազծիմ՝ սերմի հիմնական մասը կատարում է ազատ անկում: Թոփշքի վերջում սերմերը հարվածում են անլրադարձից թիթեղին, ցրվում և ցանքը դարձնում ետևածափ: Այսպիսով, ցանող ապարատից թոփշքի  $U = \omega r$  սկզբնական արագության առկայության պայմաններում պրակտիկապես ընդունվում է, որ սերմերը սերմնատար խողովակում կատարում են ազատ անկում, որը բավարարում է շարժման  $t\ddot{Z} = mg$  հավասարմանը: Ինտեգրելով այս հավասարությունը՝ կստանանք  $\dot{Z} = gt + C$ , եթե  $t = 0$ ,  $C = \dot{Z} = U_z$ , որտեղ՝  $U_z$  - սերմի թոփշքի առ սկզբնական արագության ուղղաձիգ բարձրությունը է:

Այսպիսով, կստանանք  $\dot{Z} = gt + U_z$ : Կատարելով ինտեգրում՝

Վերջնականապես կստանանք՝  $Z = \frac{gt^2}{2} + U_z t$ : Սերմատար խողովակի երկայնությունը լնդունելով  $Z = H_c$  և լուծելով վերջին արտահայտությունը՝ ժամանակի նկատմամբ՝ կստանաք՝

$$t = \frac{(-U_z + \sqrt{U_z^2 + 2H_c g})}{g} \quad (9.11)$$

Սերմի անկման տական ժամանակը լնդունվում է. հավասար մտ, որտեղ՝  $\mu$  - փորձնական գործակից է՝ շարային շարքացանների համար, որն հավասար է  $1.05-1.1$

## 9.5. Կետազգախն և բնացան շարքացանների տեսության էլեմենտները

### 9.5.1. ճշգրիտ ցանքի ընդհանուր բնութագիրը և բանող արագության ընտրությունը

Ճշգրիտ ցանքի էական կողմը նրանում է, որ յուրաքանչյուր բնում ցանքում է ազրտեխնիկական պահանջնելու առաջարկված ուղղաձգվության սերմեր: Ճշգրիտ ցանքի շարքացանների ապարատների կախվում են շրջանակից՝ մեկը մյուսից անկախ, որի հետևանքուր նրանցից յուրաքանչյուրն առանձին պատճենահանում է դաշտի մակերեսույթի և ապահովում ցանքի հաստատուն խորությունը: Այս ապարատները շարժումը ստանում են հենարանային-շարժաքեր անլիքներից՝ փոփոխելով և փոխանցման թիվը և հնարավոր է լաւում կարգավորելու սերմերի բանակը բնում, միաժամանակ բների հեռավորությունը մլմյանցից: Ճշգրիտ ցանքի ապարատները լինում են սկավառակածներ և իմինականում պտտման հորիզոնական և ուղղաձիգ առանցքներուն: Նրանց տեխնոլոգիական հաշվարկի ելակետային տվյալներն են՝ սերմերի (բների) բաշխման սխեման և մեկ հեկտարի վրա ցանքու սերմերի քանակը:

Սերմերի քանակը մեկ հեկտարի վրա որոշվում է հետևյալ պարզ բանաձևով՝

$$Q_c = \frac{10^4}{\ell_c a} \Pi_s \quad (9.12)$$

որտեղ՝  $\Pi_s$  - սերմերի քանակն է բնում,  $\ell_c$  - միջինային հեռավորությունը,  $a$  - միջշարային հեռավորությունը:

Բնական է՝ ոլքան մեծ է մեքենայի արագությունը, այնքան մեծ է միավոր ժամանակում մեկ ապարատով հանված սերմերի քանակը

$$q_c = 10^{-4} Q_c a V_M = \frac{V_M}{f_c} \Pi_n \quad \text{սերմ/վ} \quad (9.13)$$

Ունենալով  $q_c$ , որոշենք  $d_g$  տրամագծով.  $Z_g$  բջիջների թվով սկսվառակի պատճանը  $\Pi$  հաճախականությունը: Սկավառակի մեջ

$$\text{պտույտի } \sigma\text{ ժամանակը } T = \frac{\ell_s Z_g}{V_M} = \frac{2\pi}{\omega}, \quad \text{իսկ } \omega = \frac{\pi n}{30}, \quad \text{որեմն}$$

$n = \frac{60V_m}{\ell_s Z_w}$ , բնում մեկ սերմի դեպքում:

## Բնում Ա, սերմի դեպքում կլինի

$$n = \frac{60V_m}{\ell_s Z_e} \Pi_s \quad (9.14)$$

Հաշվի առնելով հեմարանային-շարժաբեր անլիվի սահըի և գործակիցը, կստանանք՝

$$n = \frac{60V_m}{Z_g \ell_c (1 - \varepsilon)} \Pi_s \quad (9.15)$$

Վերցին բանաձևից կարելի է ոլոշել մեքենայի շարժման ամենամեծ բույատրեխի արագությունը՝

$$V_M = \frac{n \ell_c (1 - \varepsilon) Z_g}{60 \Pi_a} \quad (9.16)$$

Սկավառակային ապարատի աշխատանքը կազմված է երեք փուլից՝ սերմի մուտքը բջիջ, ավելացնելու սերմերի հեռացում, սերմի հյուս ակոսի մեջ:

Անհայտ է, որ որքան մեծ են բջջի չափերը, այնքան հավանական է առանց բազրությունների ցանքը: Սակայն մեծ չափի բջիջը կարող է վերցնել մեկից ավելի սերմ. որի ցանկալի չէ: Այդ պատճառով բջջի գծային չափերի հաշվարկի ժամանակ պետք է իմք ընդունել, որ տեղափոխվի ամենամեծ սերմ, սակայն չտեղափոխվեն տվյալ ֆրակցիայի ամենափոքր երկու սերմեր:

Եվ այսպես. բջի (կլոր) և տրամագծի և սերմի ամենափոքր չափի միջև պետք է յինք հետևյալ կապը՝

$$2a_{\min} > L = b_{\max} + K_1 \quad (9.17)$$

որտեղ  $a_{\min}$  - սերմի ամենափոքրի հաստոքյունն է,  $b_{\max}$  - սերմի ամենամեծ լայնությունը,  $K_1$  - բջջի պատի և սերմի միջև բացակի:

Ըցչի և խորտակյունի պետք է լինի այնպիսին, որ երկու պարկած սերմեր չտեղափոխվեն բնում:

$$2a_{\min} > h = a_{\max} + K_2. \quad (9.18)$$

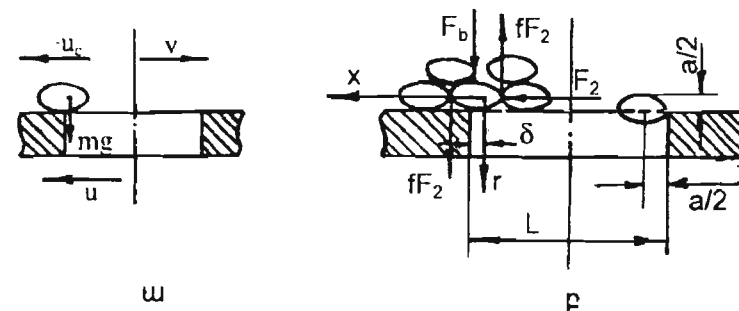
որտեղ՝  $K_2$ - սկավառակի վերին հարթության և սերմի միջև եղած քացակն է:

Ընդհանուր դեպքում, առանց սերմի դլյուքս հաշվի առնելու, ընդունվում է սերմերի  $V_c$  և բջջի  $V_s$  ծավալների չափերի  
 $2V_{C\min} > V_s > V_{C\max}$ . Կամ նյուանց միջին չափերի

$$2\sqrt[3]{\ell_{\min} b_{\min} a_{\min}} > \sqrt[3]{LAB} > \sqrt[3]{\ell_{\max} b_{\max} a_{\max}}, \quad (9.19)$$

Խարաբերությունը, որտեղ՝ L, A, B- քչի երկարությունը, լայնությունը և բարձրությունը՝  $\ell$ ,  $b$ ,  $a$ -սերմի երկարությունը, լայնությունը և հաստությունը:

Ծերպած արտահայտություններն առնելաժեշտ. սակայն դեռև բավարար պայման չեն: Սերմի բջիջ մտնելու կարևոր պայման է նաև նրա հայրաբերական շարժումը, առանց որի հնարավոր չէ, իրականացնել այդ գործընթացը: Մեկ շերտ սերմի շարժման ժամանակ սերմի մտնում է բջջի մեջ. ելիք սերմի ծանրության ուժը անցնում է բջջի եզրով (նկ.9.4):



Նկ. 9.4 սերմը քջի մեջ մտնելու սխեման՝ ա- սերմերի մեջ շերտի դեպքում, բ- բազմաշերտ սերմերի դեպքում.

Բազմաշերտ սերմի դեպքում որն առավել համապատասխանում է իրականությանը, առաջացած լրացուցիչ ճնշման և շփման ուժերի ազդեցության տակ հատիկը մտնում է բջիջ ոլուշակի ծ ճանապարհ անցնելուց հետո (ճակնդերի համար  $\delta = (0.35-0.45) \ell$ ) և լրիվ տեղափոխում է, եթե հաստության կեսը  $\frac{a}{2}$  սկավառակի մակերեսից իջնում է ներս և ելք սերմի ծանրության կենտրոնը հանդիպակաց պատից դեռևս հեռու  $\ell \cdot \frac{\ell}{2}$  չափով:

Սկավառակը պտտվելով  $U = \omega$  արագությամբ, այլ ազդակների հետ համատեղ սերմին հաղորդում է  $U_c$  հարաբերական արագություն, որի հետևանքով սերմը բջիջ է քոչում  $U - U_c = V$  սկզնական արագությամբ:

Այսպիսով սերմը կատարելով ազատ անկում՝  $V$  սկզբնական արագությամբ բջիջ մեջ տեղաշարժվում է  $x_c = L - \delta - \frac{\ell}{2} = V_m t$

ճանապարհ և իջնում  $Z_c = \frac{gt^2}{2}$  չափով: Պլացեսի իրականացման համար, ընդունելով  $Z_c = \frac{a}{2}$  պայմանը, երկրտի արտահայտությունից

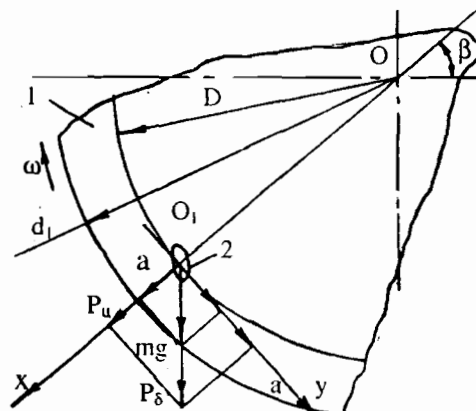
$$\text{կստանանք } t = \sqrt{\frac{a}{g}}, \text{ իսկ առաջինից } V = \left( L - \delta - \frac{\ell}{2} \right) \sqrt{\frac{g}{2}} \text{ կամ}$$

$$U \leq U_c + V = U_c + \left( L - \delta - \frac{\ell}{2} \right) \sqrt{\frac{g}{a}} \quad (9.20)$$

Այսինք, որքան մեծ է սերմի չափերը, այնքան փոքր պետք է վերցնել սկավառակի շլաքօճային արագություն: Ճակնդերի շարքացանի 9կմ/ժ արագությամբ շարժվելու դեպքում բջիջ կենտրոնի շարժման արագությունը  $U = 0.43$  մ/վ:

### 9.5.2. Պնևմոցանող ապարատների տեսությունը

Պնևմատիկ սկզբունքով աշխատող ապարատների գործույթյան հիմքում լինելու է սերմը օդային հոսանքով ծծման գործընթացը: Ապարատի աշխատանքի ժամանակ սերմի վրա ազդում են սերմի  $m g$  ծանրության ուժը, պտտումից առաջացած կենտրոնախույս տարրը, օդային հոսանքով սերմի ծծման  $P$  ուժը և անցքին կպած սերմի վրա զանգվածի ազդեցության  $P_0$  ուժերը (պտտման առանցքին գուգակնու ուղղությամբ), որտեղ լավացնում են ապարատի աշխատանքը.  $P_\delta$  - ուղղաձիգ ուղղությամբ սերմերի կողմից ազդում ուժը, որը վատացնում է ապարատի աշխատանքը:  $P_\delta$  և  $P_0$  ուժերի մեծությունները փոփոխական են և իրար ոչնչացնող,  $P_0$  ուժը ուղղված է հակառակ  $P_\delta$  ուժին, այդ պատճառով պրակտիկ հաշվարկների ժամանակ կարելի է որանք անտեսել: Այսպիսով սերմը մնում է ցանիչ ապարատի պատին կպած  $P_{tgf}$  շփման ուժի շնորհիվ, որին հակագրում են ուղղաձիգ ուղղություն (նկ. 9.5):



Նկ. 9.5. Սերմի ծծման և սկավառակով գանգվածից դուրս բերման պիտման. 1- սկավառակ, 2- հատիկ.

Ուրիշ ստատիկ խոփասարակրության պայմանը բարձրացնելի է և ավելացնելու համար

$P_{\text{քայլ}} > m\omega^2 r + mg$  կամ

$$P > \frac{m}{\tan \varphi} \sqrt{\omega^2 r^2 + g^2 + 2\omega^2 r g \sin \beta} \quad (9.21)$$

Ստացված արտահայտության վերլուծությունը ցույց է տալիս, որ սպարատի աշխատանքի ամենավտանգավոր վիճակը առաջանականություն է  $\beta = 90^\circ$ , որի դեպքում

$$P = \frac{m}{\tan \varphi} \sqrt{\omega^2 r (\omega^2 r + 2g) + g^2} \quad (9.22)$$

Այսինքն ամենա արտահայտելիվ անցքի  $S$  մակերեսի և նորագման  $\Delta P$  ստուգյանը կատանանք.

$$P = K \Delta PS. \quad (9.23)$$

որտեղ  $K$  - Վոլդնական գործակից է, և բնույթագրում է առայրելու գործոնների գոմարային ազդեցությունը,  $K = 1.5$  եղիտագորենի համար,  $K = 0.78$  չարարի ճակնդեղի սկզբների համար:

Անցքի  $d$  տրամագիծը բնույթում է կախված սերմի լայնությունից  $d = (0.6-0.7)b$ , որտեղ  $b$  - լայնություն է: Հաշվի առնելով  $S$ -ի և  $K$ -ի մեծությունները՝ կատանանք

$$\Delta P > \frac{m}{\tan \varphi K 0.3b^2} \sqrt{\omega^2 r (\omega^2 r + 2g) + g^2}: \quad (9.24)$$

Կոպուգումը բնարկում է փորձնական ճանապարհություն, գանգվածից սերմի լայնության պայմանից, այն հաշվով, որ  $\frac{P}{mg}$  եզրակացնենք համար լինի 32.2. ճակնդեղի սերմերի համար՝ 125:

Պննմապարատի աշխատանքի ուժիմաք և կառուցվածքային պարամետրերի բնույթում նա բար ցանփու սերմի գանգվածի և շափերի: Այսպես՝ անցքերի  $\ell_{\text{օր}}$  քայլը սկավառակի վրա լինություն է

$\ell_{\text{օր}} \geq 2\ell_{\text{max}}$ , քանի որ  $\ell_{\text{օր}} = d + \Delta\ell = 0.35b + \Delta\ell$ , որտեղ  $\Delta\ell$  անցքերի կոլապատերի հետափառությունն է, որտեղ  $\pi D \geq Z_{\text{օր}} 2\ell_{\text{max}}$ ,

$$D = \frac{2\ell_{\text{max}} Z_{\text{օր}}}{\pi}, \quad (9.25)$$

որտեղ  $Z_{\text{օր}}$  - անցքերի թիվն է սկավառակի վրա:

Սկավառակի պատման հաճախականությունը կլինի:

$$n = \frac{60V_m}{i\pi D} \quad (9.26)$$

Օյլի լինիանուր Q ծախսը քամիարից որոշվում է հետևյալ բանաձևով՝

$$Q = K_n V_{\text{ԲԱ}} S Z_{\text{օր}}^B Z_{\text{առ}}, \quad (9.27)$$

որտեղ՝  $K_n$  - ծծման գործակիցն է ( $0.55-0.72$  սերմով անցքից օյլի արագության հարաբերությունն է օյլի արագությանը առանց սերմի),  $V_{\text{ԲԱ}}$  - օյլի իուսանքի արագությունն է անցքում,  $Z_{\text{օր}}^B$  - վակուումի գուտում գտնվող անցքերի թիվը,  $Z_{\text{առ}}$  - ապարատների թիվը,

$$V_{\text{ԲԱ}} = \alpha \sqrt{2 \frac{\Delta P}{\rho}}, \quad (9.28)$$

որտեղ՝  $\alpha$  - անցքի դիմադրության աերովիճանիկական գործակիցն է, որը հավասար է  $0.7-0.72$ -ի անցքի  $0.8-3$  մմ տրամագծի դեպքում,  $\rho$  - օյլի խտությանը:

## 10. ՏԵԼԿՄԱՆ ՄԵՔԵՆԱՆԵՐ

### 10.1. Կարտոֆիլատների մեքենայի տեսության տարրերը

Կարտոֆիլատների բանալ գործնաբացը բաղկացած է իրար հաջողական երեք կույտերից. պալարների հավասարաշափ հոսքի ստեղծում և մատուցում խոփիկին, խոփիկով ակոսի բացում և պալարների դասավորում ակոսահատակին, պալարների ծածկում և նորով:

Կարտոֆիլատների տեխնոլոգիական հաշվարկի հիմք են մեկ հեկտարի վրա պալարների  $Q_c$  քանակը և տնկման սխեման (տնկման  $\ell_c$  քայլը և միջշարային ելայնությունը): Նշանակերպ մեկ ապարատի վրա տեղակայված գրալիկների թիվը  $Z_a$  փոխանցումների թիվը շարժաբերից մինչև տնկող ապարատ ի-ով դժվար չէ որոշել մեքենայի շարժման  $V_M$  արագությունը

$$\ell_c Z_a = V_M T = V_M \cdot \frac{2\pi}{\omega}, \quad V_M = \frac{\omega \ell_c Z_a}{2\pi}, \quad \omega = \frac{\pi n}{30} \quad (10.1)$$

$$V_M = \frac{\ell_c Z_a n}{60}$$

Որտեղ՝  $n$  - տնկող սկավառակի պտտման հաճախականությունն է: Փորձարկումներից պարզվել է, որ մեքենայի շաման արագությունը չի կարելի անընդհատ մեծացնել, քանի որ մեծանում է նաև քաց բարումներկ թիվը: Հաստատված է նաև, որ 3 % քացրարմների դեպքում պալարների մատուցման հաճախականությունը չպետք է մեծ լինի  $v_{max} = 7$  ատ/վ, որին մենական առաջարկ է հանդիսանալ:

$$V_{M_{max}} = \frac{v_{max} \ell_c}{m} \quad (10.2)$$

Որտեղ՝  $m$  - ցանքով պալարների քանակն է քննում:

#### ՏԵԼԿՈՂ ԱՊԱՐԱՏԻ ՀԱՇՎԱՐԿԸ:

Կարտոֆիլատների տեխնոլոգիական սխեման ներկայությամբ պարունակում է գրալիկա-փոխարկիչային և գրալիկա-սկավառակային: Առաջիններին սահմանափակ կիրառություն են գտել յարովիզացված կարտոֆիլի տնկման համար: Այսօր ԱՊՀ երկրներում լայն կիրառություն ունեն

գրալիկա-սկավառակային տնկող ապարատները: ՏԵԼԿՈՂ ապարատի տեխնոլոգիական գործընթացը բաղկացած է երեք փուլով. պալարի վերցնումը գրալիկով շերտում շամփերու լնթացրում, պալարի ֆիլտրումը մատուկ և տեղափոխումը խոփիկի բկանցը, պալարի բաց բոլորում: Կարտոֆիլի համաշափ տունկը կախված է նշված փուլերի տեխնոլոգիապես ճշշտ իրականացնումից:

**ՏԵԼԿՈՂ ԱՊԱՐԱՏԻ աշխատանքի առաջին փուլը** պալարի վերցնումը գրալիկով կախված է տնկանյութի շամփերու և ձևից, սկավառակի պտտման հաճախականությունից, սննան շերտի կուտապատճի և գրալիկի միջև բացակից, գրալիկի արտաքին եզրի և սննան շերեփի միջև բացակից, սննան շերեփում պալարների շերտի հաստությունից:

Պալարները գրալիկով խուսալի ֆիլտրում են (քացրարմները մինչև 3%), եթե դրանց զանգվածը չի տատանվում 40-100գ-ի սահմաններից դուրս: Առավել խուսալի բռնվում են փոքր պալարները, սակայն 40գ փոքրի դեպքում գրալիկը վերցնում է երկու պալար: Բացի այդ առաջ է գալիս սկավառակի ճմլման վտանգ, որը քացառվում է  $\alpha > 2\phi$  սկավառակի դեպքում, որտեղ՝  $\alpha$  - պատճի և գրալիկին պալարի հետ համանկետում տարված շոշափողի միջև կազմված անկյունն է,  $\phi$  - շփման անկյունը: Քանի որ  $\phi = 30^\circ - 35^\circ$ , ապա  $\alpha = 60^\circ - 70^\circ$ :

Սկավառակի պտտման հաճախականությունը որաշվում է կախված տնկման սխեմայից և մեքենայի արագությունից

$$T = \frac{2\pi}{\omega} = \frac{\ell_c Z_a}{V_M}, \quad \text{որտեղից}$$

$$n = \frac{60V_M m}{\ell_c Z_a}, \quad (10.3)$$

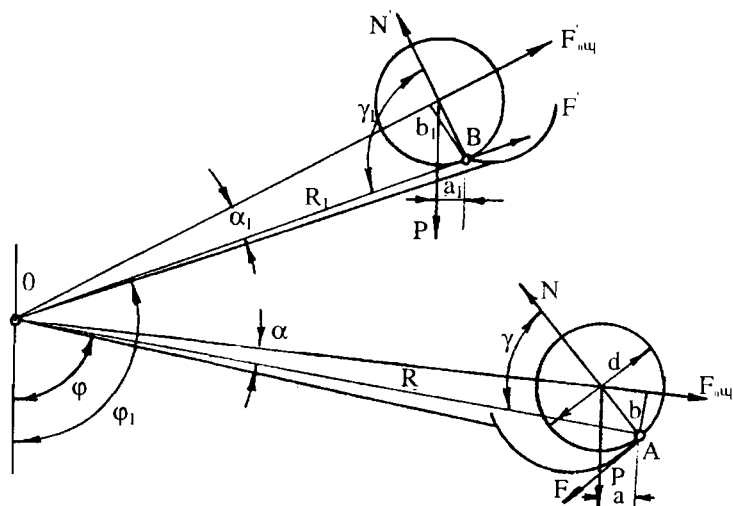
Որտեղ՝  $Z_a$  - գրալիկների թիվն է սկավառակների վրա: Սկավառակի պտտման հաճախականությունը, 7պալար/վ մատուցման դեպքում այն կազմում է 35 լուագ<sup>-1</sup>:

Սկավառակի պտտման հաճախականության հետագա աճը հանգեցնում է քացրարմների տոկոսի մեծացմանը: Նման երևոյթը

բացատրվում է նրանով, որ մեծանում է պալարի պտտման կենտրոնախույս տաք $R$  ուժը (նկ.10.1):

Հաշվի շառներով կողապատի և պալարի միջև հակագլման ուժը՝ վերջինիս վրա ազգութ են՝  $mg$  - ծանրության ուժը. տաք $R$  կենտրոնախույս ուժը, գրավիլի վրա ազդող  $N$  նորմալ և  $F$  չոշափող հակագլումները: Համաձայն նկ.10.1 պալարը գրավիլից շնկնելու պայմանը կարտահայտվի  $mg > \omega^2 R b$  պայմանով: Քանի որ պալարի գնդաձևության դեպքում կարելի է ընդունել տրամագլութը՝  $d = \text{const}$ , ուստի  $a = 0.5d\sin(\psi-\gamma)$  իսկ  $b = R\sin\alpha$ : Այսպիսով պալարը գրավիլիում հուսալի մնալու պայմանը կլինի՝

$$\sin(\psi - \gamma) \geq (2\omega^2 R^2 \sin\alpha) / gd \quad (10.4)$$



Նկ. 10.1 Պալարը գրավիլից ընկնելու պայմանի որոշման սխեմա

Ստացված արտահայտությունից երևում է, որ  $\psi$  անկյան փոքր արժեքների դեպքում  $\sin(\psi-\gamma) \rightarrow \min$ , ուստի պալարի անկման հավանակությունը աճում է, սակայն  $\psi \rightarrow \min$  պայմանի ժամանակ

գրավիլի դեռևս գտնվում է պալարագանգվածում, որի շնորհիվ անկումը բացառվում է:

Անհավասարության (10.4) խախտման դեպքում պալարն ընկնում է գրավիլից: Տնկող ապարատի հուսալի աշխատանքի վրա էական ազդեցություն ունի գրավիլի և սնուղ շերեփի կողապատի միջև բացակայությունը: Կախված պալարի մեծությունից՝ այդ բացակայ կարգավորվում է:

Պալարի 30-40q դեպքում բացակայ կազմում է 2-4մմ 60-70q դեպքում՝ 8-10մմ, 70-80 դեպքում 7-12մմ և 90-100q դեպքում 14-16մմ: Այդ բացակայ կտրգավորվում է կողապատը օվալածն անցքերի միջոցով տեղափոխումով:

Պալարի բացքությունները մեծանում են, եթե զանգվածաշերտը սնման շերեփում փոքր է, եթե այն առավել հաստ է, մեծանում է պալարի վնասման վտանգը: Պալարաշերտի նորմալ հաստությունը պետք է լինի 10-15մ:

Պալարի ֆիքսման փուլը լրականանում է, եթե վերջինս դուրս է գալիս պալարաշերտից, իսկ մատի պոչուկը իշնում է ուղղատուից: Երկրորդ փուլում պալարի անկումը գրավիլից տեղի է ունենում, եթե մատը ժամանակին չի իշնում պալարի վրա:

Համաձայն նկ.10.1 (B կետ) պալարը գրավիլից չի լնկնի եթե  $mg > \omega^2 R_1 b_1$  կամ

$$\sin(\psi_1 - \gamma_1) \leq (2\omega^2 R_1^2 \sin\alpha_1) / gd \quad (10.5)$$

Ստացված արտահայտության վերլուծությունը ցույց է տալիս, որ պալարը գրավիլում հուսալի պահելու համար մատը պետք է սեղմի  $\psi_1 = 90-115^\circ$  անկյան տակ: Պալարի բաց բաղնման փուլի ճշգրիտ լրականացումից է կախված շարքում բների հավասարակառության ապահովումը: Պալարի բաց բաղնումը գրավիլից սկսվում է, եթե մատի պոչուկը բարձրանում է ուղղատուի վրա:

Ուղղատուի վրա մատի բարձրացնան սկիզբը նոյնական կախված է պալարի շափերից: Այսպես, եթե գրավիլում գտնվում է փոքր շափի պալար, ապա մատը 2 ուղղատուի վրա է բարձրանում ավելի շատ (1 դյուք), քան խոշորի դեպքում (3-րդ դյուք): Շնորհներով, որ միջին շափի պալարը լնկնում է գրավիլի Ա դյուքում (նկ.10.2բ), վարդերը

կրնկնեն Բ դիրքում, մեծերը՝ С դիրքում: Այսպիսով, եթե միջին շափի պալարի անկումը համապատասխանում է սկավառակի պտտման  $\varphi_2$ , անկյանը, ապա փոքրի դեպքում՝  $\Delta\varphi'_2$  անկյունով փոքր. խոչընի դեպքում՝  $\Delta\varphi''_2$  անկյունով մեծ:

$$\text{Համաձայն նկ.10.2-ի } \Delta\varphi_2 \approx \frac{\Delta S}{r_1}, \text{ որտեղ՝ } \Delta S-\text{ը } \Delta\varphi'_2 \text{ անկյանը}$$

համապատասխանու աղեղն  $t$ ,  $r_1$  - ուղղատողի շառավիղը:  $\Delta S$  աղեղը փոխարիներով լարով (նկ.10.2) կստանանք  $\Delta S = c(\operatorname{tg}\beta_2 - \operatorname{tg}\beta_1)$ . ուստի՝

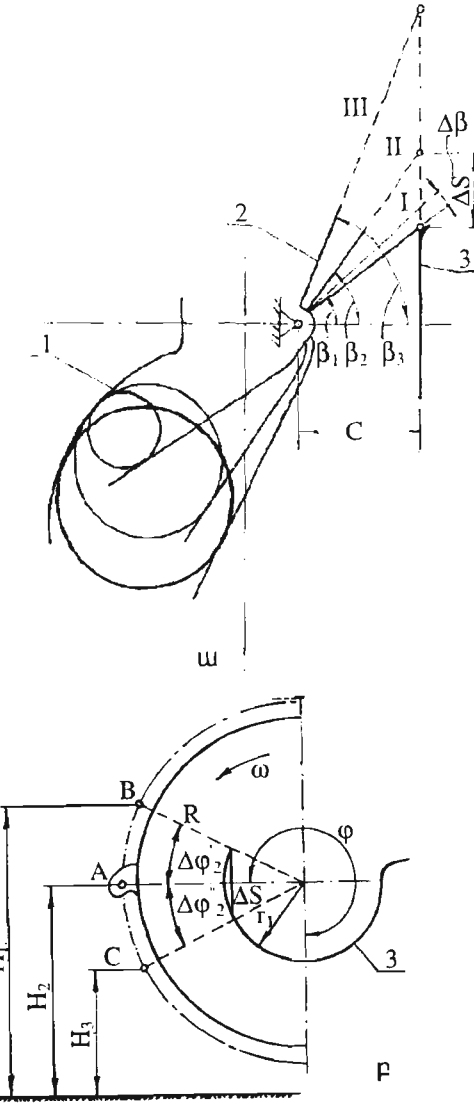
$$\left. \begin{aligned} \Delta\varphi'_2 &= c(\operatorname{tg}\beta_2 - \operatorname{tg}\beta_1) / r_1 \\ \Delta\varphi''_2 &= c(\operatorname{tg}\beta_3 - \operatorname{tg}\beta_2) / r_1 \end{aligned} \right\} \quad (10.6)$$

Վերջին բանաձևերի վերաբուժյունը ցոյց է տալիս, որ տարրեր շափի պալարները, գդալիկից կրնկնեն գետուն տարրեր բարձրություններից (նկ.10.2),

$$\left. \begin{aligned} H_1 &= H_2 + R \sin \Delta\varphi'_2 \\ H_3 &= H_2 - R \sin \Delta\varphi''_2 \end{aligned} \right\} \quad (10.7)$$

Այսպիսով, կախված պալարի շափից, փոփոխվում է գդալիկից անկման բարձրությունը, ինտևարար պալարի անկման ժամանակը, որոնց ընթացքում ազրեգատը կատարում է տարրեր շափի տեղափոխություն, հանգեցնում միջբնային տարածության փոփոխության: Այսպես 30-110q զանգվածի պալարների տունկի ժամանակ տնկման քայլը տատանվում է առաջադրվածից  $\pm(15-18)\%$  սահմաններում:

Տնկման քայլի տատանման փոքրացման նպատակով սելմացու կարտոֆիլը տեսակավորում են 30-50, 50-80 և 80-100q ֆրակցիաների: Տնկումը համարվում է նորմալ, եթե միջբնային հեռավորությունը՝  $L_c \leq M \pm 0.2M$ , որտեղ  $M$ -ը միջբնային հեռավորության առաջադրված շափն է:



Նկ.10.2 Պալսը գդալիկից ազատման սխեմա  
ա-սեղմիչի գործողությունը բ-գդալիկի դիրքերը  
1-գդալիկ 2-լծակ 3-վագրուղի

Կարտոֆիլի տնկման համաշափությունը գնահատվում է Կ գործակցով՝

$$K = \frac{100n}{N} \%, \quad \text{որտեղ } N\text{-պալարների } \text{ընդհանուր } \text{քանակն } \text{է}.$$

Հաշվառման երկարության վրա,  $n$ -նորմալ քայլով ( $\ell_c \leq M \pm 0.2M$ ) տնկված պալարների թիվը:

## 10.2. Սածիլատնկիշի տեսության էլեմենտները

Սածիլատնկիշներն լստ տնկող ապարատների լինում են՝ սածիլաբռնիչների պտտական շարժումով և տնկման գոտում սածիլաբռնիչների համընթաց շարժումով։ ԱՊՀ երկրներում լայն տարածում են գտել պտտական շարժումով ապարատները։ Տնկող ապարատների տեխնոլոգիական գործընթացը բաղկացած է երեք փուլով՝ սածիլի մատուցումը սածիլաբռնիշ, տեղափոխումը ակոս և տնկումը հողում։ Ժամանակակից սածիլաբռնիշները կիսավոտմատ են և սածիլի մատուցումը սածիլաբռնիշ կատարվում է ձեռքով՝ լավագույն դեպքում 35-40 սածիլ մեկ րոպեում։ Մեկ սածիլի մատուցման ժամանակը՝  $t_3 = \frac{\ell_c}{V_M}$  մի կողմից և մյուս կողմից  $t_3 = \frac{2\pi}{\omega Z_g}$ , ուստի

$$\frac{\ell_c}{V_M} = \frac{2\pi}{\omega Z_g}, \quad \text{որտեղ՝ } Z_g \text{- սածիլաբռնիշների քանակն } \text{է սկավառակի} \text{վրա։}$$

Նշանակենք տնկող ապարատի կինեմատիկական ցողիչը  $\lambda$  տառով, այդ դեպքում կստանանք  $\lambda = \frac{\omega r}{V_M}$  կամ

$$\lambda = \frac{2\pi r}{\ell_c Z_g} \quad (10.8)$$

Սածիլատնկիշի շարժման վերջին արագությունը ոլոցվում է մատուցման  $v_{med}$  հաճախականությունից կախված

$$V_M = v_{med} \frac{\ell_c}{60} \text{ մ/վ} \quad (10.9)$$

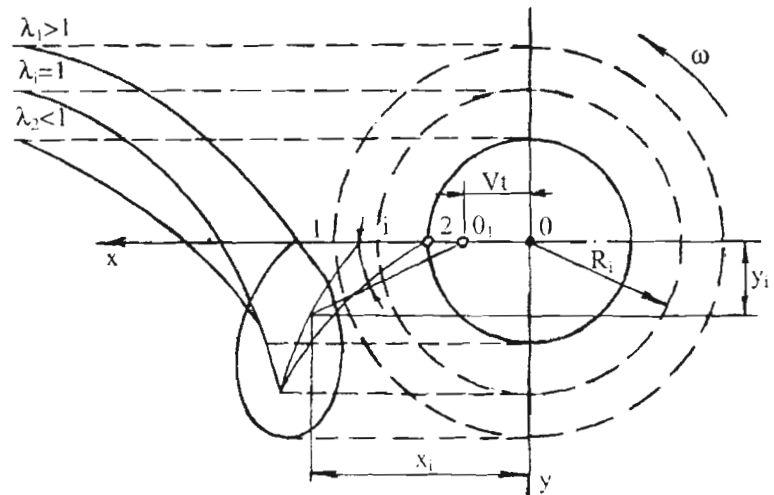
Սածիլի տնկման քայլը վախիսվում է 15-70սմ-ի սահմաններում, որը խրականացվում է սկավառակի վրա սածիլաբռնիշների քանակի փոփոխությունով  $Z_g = 14, 12, 10, 8, 7, 6, 5, 4, 3$ , համապատասխան տնկման քայլերի կինեմատիկական առանձնահատկություններում՝  $15, 18, 21, 25, 30, 35, 42, 60, 70$ սմ։

Այսպիսով  $V_{med}^{max} = 40$  սածիլի դեպքում մեքենայի շարժման արագությունը կախված 1. տնկման քայլից։ Կստացվ՝  $V_M = 40(0.15 - 0.7)/60 = 0.1-0.47$ մ/վ։

$V_M = 0.1-0.5$  մ/վ արագությամբ աշխատելու համար սածիլատնկիշի հետ ազրեցատավորվող տրակտորները անվայման պետք է համարվեն ընթացքի դանդաղացուցիչով։

Աշխատանքի երկրորդ փուլում սածիլը տեղափոխվում է դեպի ակոս՝ կատարելով բարդ շարժում՝ առ պտտական և  $V_M$  համընթաց արագություններով։ Համաձայն նկ.10.3 դժվար չէ կռահել, որ սածիլի յուրաքանչյուր կետի շարժում ունի ցիկլիոդայի տեսք, բնդ որտեղ հետագիծը արտահայտվում է հետևած հավասարությունով։

$$\left. \begin{aligned} x_i &= V_M t + R_i \cos \omega t \\ y_i &= R_i \sin \omega t \end{aligned} \right\} \quad (10.10)$$



Նկ.10.3 Սածիլի կինեմատիկայի հետազոտության սխեմա։

Սածիլի շարժման բացարձակ արագության բաղադրիչները համապատասխանութեն կլինի:

$$\left. \begin{aligned} \dot{x}_i &= V_M - \omega R_i \sin \omega t \\ \dot{y}_i &= \omega R_i \cos \omega t \end{aligned} \right\} \quad (10.11)$$

Իրականում Խորիզնական ուղղությամբ սածիլաքռնիչների անցած ճանապարհի  $x_i \neq V_M t + R_i \cos \omega t$ , այլ հենարանային շարժաբեր անիվների սակարագիր հետևանքով իրական ճանապարհը  $x_i^e > x_i$  : Համաձայն Վ.Պ.Գոյյաշկինի սակարագիրը

$$\varepsilon = \frac{2\pi R_i^e - 2\pi R_i}{2\pi R_i^e} = \frac{R_i^e - R_i}{R_i^e} = \frac{\Delta R}{R_i + \Delta R} : \quad R_i + \Delta R = R_K$$

կոչում է կլինեմատակական շառավիլ, որը ժամանակակից սածիլատնիչների համար հավասար է:

$$R_K = 1.2R_i :$$

Այսպիսով սակարագիր բացարձակ մեծությունը կլինի՝

$$\Delta x = \frac{2\pi R_K}{\lambda} - \frac{2\pi R_i}{\lambda} = \frac{2\pi(R_K - R_i)}{\lambda} = \frac{2\pi}{\lambda} \Delta R_i, \quad \text{մյուս կողմից}$$

$$\varepsilon = \frac{\Delta R_i}{R_i + \Delta R_i}. \quad \text{Կնշանակի } \Delta R_i = \frac{\varepsilon R_i}{1 - \varepsilon} \text{ և}$$

$$\Delta x = \frac{2\pi \varepsilon R_i}{\lambda (1 - \varepsilon)} \quad (10.12)$$

Երրորդ փուլում կատարվում է սածիլի տունկը հոլում, որին համապատասխանում է  $\omega = 90^\circ$  անկյուն՝ ներքեւ դիրքը: Տնկման ակնքարտում անհրաժեշտ է, որ սածիլի բացարձակ արագությունը հավասար լինի գրոյթ:

$$V_M = \dot{x} = V_M - \omega R_i = 0 \quad (10.13)$$

Եթե լնդրունենք, որ սածիլի որևէ 1 կետում  $\lambda = 1$ , ապա այդ կետը կգծի սովորական ցիկլոխայլն կոր:

Բնական է, որ 1 կետը ( $\lambda_i > 1$ ) կգծի երկարացված ցիկլոխա, իսկ 2 կետը ( $\lambda_i < 1$ ) կարճացված: Փոփոխելով 1 կետի դիրքը, այսինքն,

լնդրունելով 2 կետում  $\lambda = 1$  կստանանք լստ սածիլի երկարության շարժման արագության բաշխման տարրեր էպուրներ:

Հենարանային շարժաբեր անիվների սակարագիր հետևանքով պրակտիկութեն հնարագուր չէ ստեղծել  $\lambda = 1$  պայմանը: Սածիլի ուղղաձիգ տունկի համար ընտրվում է նրա արմատի բացարձակ արագության պայմանը՝  $\omega R_i > V_M$ , կամ  $\lambda > 1$ : Պրակտիկայում լնդրունվում է  $1.23 < \lambda < 1.68$  պայմանը, որը իրականացվում է սածիլատնիչի շրջանակի վրա լրված հատուկ գանձիչի միջոցով:

Սածիլի տնկման գործընթացը ավարտվում է արմատի շրջապատող խոյի խտացումով, որն իրականացվում է հատուկ գլանվակներով:

Սածիլի համարվում է նորմալ տնկած, եթե զարգացած տերևներ գգելով՝ տերևը պոկվում է, իսկ սածիլը լուրս չի գալիս խոյից: Այդ պայմաններին բավարարում է հետևյալ արտահայտությունը:

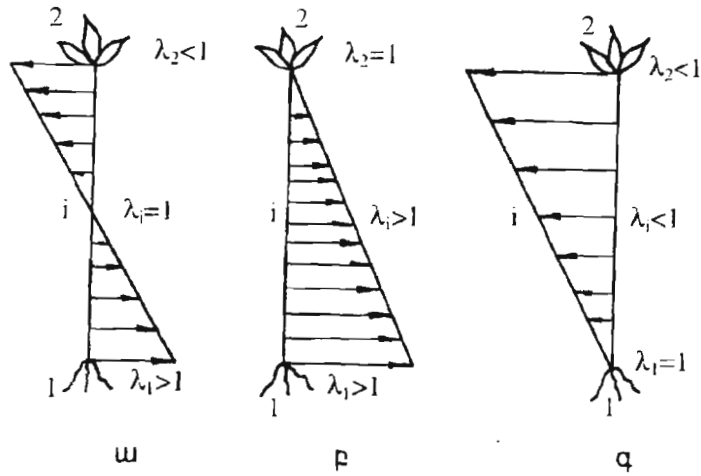
$$G = K b_0 \sqrt{d_0} \quad (10.14)$$

որտեղ՝  $G$  - գլանվակի վրա ազդող բեռն է,  $b_0$  - գլանվակի օղագոտու լայնությունը,  $d_0$  - գլանվակի տրամագիծը,  $K$  - իոդի խտացման խնտենսիվության գործակիցը ( $K = 2-3$ ):

**Տնկման քայլի վրա ազդող գործուները:** Սածիլի տնկման քայլի տատանումները կախված են շարժաբեր անիվների սակարագիր, ապարատի վրա սածիլաքռնիչների բանակից, ապարատի կառուցվածքային պարամետրերից և այլն: Շարժաբեր անիվի սակարագիրը դեպքում փոքրանում է սածիլաքռնիչի շրջագծային արագությունը, և մնանակ մեծանում է տնկման քայլը՝  $V_3 = V_M(1 - \varepsilon)$ ,  $\varepsilon = 1$  փոխանցման քվի դեպքում:  $V_3 = \omega R$  - սածիլաքռնիչի շրջագծային արագությունն է:

Տնկման քայլի մեծության աճը սակարագիր շնորհիվ կորուցվի (10.12) արտահայտությունից:

$$\Delta S = \frac{2\pi R_i}{\lambda Z_g} \frac{\varepsilon}{1 - \varepsilon} \quad (10.15)$$



Նկ.10.4. Սածիլի տարրեր կետերի տարագույքուների բաշխման էպյուրները տնկման տարրեր ռեժիմների դեպքում

Որպեսզի տնկման քայլի փոփոխությունը  $\Delta S = 0$ , անհրաժեշտ է փոփոխել փոխանցման թիվը  $i = 1$ -ից հասցնելով  $\omega_R = V_M$ . Այդ նպատակով արտահայտենք  $V_3$ , փոխանցման թվով  $V_3 = \frac{V_M}{i} = V_M(1-\varepsilon)$

$$i = \frac{1}{1-\varepsilon} \quad (10.16)$$

Այսպիսով, ընդհանուր փոխանցման թիվը շարժաբերից մինչև սկավառակ պետք է լինի փոփոխական՝  $\varepsilon$ -ից կախված, այսինքն սածիլատնկիչը պետք է տնենա զանձիչ:

## 11. Պարարտանյութացան մեքենաներ

### 11.1 Պարարտանյութերի տեխնոլոգիական հատկանիշները

Ըստ քիմիական կազմի բոլոր պարարտանյութերը բաժանվում են չորս խմբի՝ հանքային, օրգանական, օրգանա-հանքային և բակտերիական:

**11.1.1. Հանքային պարարտանյութերն ըստ նախատեսվածության լինում են. ուղղակի աղյեցության՝ անմիջականորեն բույսերի սնուցման համար և անուղղակի աղյեցության հաղի ֆլիզիկամեխանիկական հատկանիշները բարելավելու համար (կիր, գիպս): Կրապարարտացումը կատարվում է խոճակ հողերի բրվային ռեակցիայի չեղոքացման նպատակով, գիպսացումը՝ աղուտների հիմնային ռեակցիայի չեղոքացման:**

Հանքային պարարտանյութերը լինում են պարզ (որևէ մի էլեմենտից կազմված) և կոմբինացված (երկու և ավելի պարզ պարարտանյութերի մեխանիկական խարությունից կազմված):

Հանքային պարարտանյութերի տեխնոլոգիական հատկանիշներն են՝ խտությունը, հատիկի չափերը, սրբունությունը, մածուցիկությունը, ցրունակությունը, պարունակած նյութերի հիմքությունը:

**Հանքային պարարտանյութերի խտությունը տատանվում է չափազանց լայն սահմաններում - 0.8-1.7տ/մ³, սակայն նրանցից հիմնականներն ունեն 0.9-1.2տ/մ³:**

**Հատիկների չափերը տատանվում են 1-4մմ սալումաններում: Հատիկի չափը մեծացնելով՝ 4մմ-ից ավելի ընկնում է ամրացնելը մանրանում, փոշիանում և վատ է ցանկում:**

**Սորունությունը բնութագրվում է անցրով հոսելու ընթացակությամբ: Սորունությունը կախված է պարարտանյութի խոճակությունից և չափում է միավոր մակերեսի անցրով քափկող զանգվածով: Այն անուղղակիորեն կարելի է բնութագրել բնական թերության անկյունով: Փոշի պարարտանյութը անցրով հոսելու համար բնական թերության անկյունը չպետք է անցնի  $35^{\circ}$ -ից, հատիկավորվածինը՝  $40^{\circ}$ : Պարարտանյութի աղունությունը անմիջապես կապված է նրա կամարակապության հետ:**

**Յբողութակությունը** ապարատի ելքի ներ ճեղքով անցնելու բնդունակությունն է, այն գնահատվում է 10 բալային սանդղակով: Յբունակության հետ անմիջականորեն կապված է պարարտանյութի մածուցիկությունը: Մածուցիկությունը մեխանիկական ազդեցության տակ մասնատված պարարտանյութի խսորակերպ վիճակի անցնելու հատկությունն է, որի դեպքում ցւնող անցքերը փակվում են:

**Պառկապնդությունը** պահպանության ժամանակ պարարտանյութի բարանալու հատկությունն է: Օգտագործելուց առաջ այդ պարարտանյութերը ալացվում և մաղվում են 3-5մմ անցքի մաղելով:

**Հիգրոսկոպիկությունը** ողից խոնավություն կրանելու հատկությունն է, որը գնահարվում է 12 բալանոց սանդղակով: Որքան բարձր է բարը, այնքան պարարտանյութը հիգրոսկոպիկ է:

**11.1.2. Օրգանական պարարտանյութերը** հողոր հարստացնում են բույսերի սնուցման համար անհրաժեշտ երեք էլեմենտներով և լավացնում նրա ֆիզիկա-մեխանիկական հատկությունները: Օրգանական պարարտանյութերի հիմնական տեխնոլոգիական հատկանիշներն են՝ խտությունը, կաշունությունը, շփման գործակիցը և սահըլի ու կտրման դիմադրությունը:

**Խտությունը,** կախված դիմադրությունից, փոփոխվում է յայն սահմաններում՝ բարմ գոմալիքի խտությունը կազմում է 0.3-0.6տ/մ<sup>3</sup>, կիսահասուն գոմալիքի՝ 0.6-0.7, հասունինը՝ 0.7-0.8, հումուսինը՝ 0.8տ/մ<sup>3</sup>: Տարֆի խտությունը 40-80% խոնավության դեպքում տատանվում է 0.27-1.02տ/մ<sup>3</sup> սահմաններում:

**Կապչունությունը** կախված է խտությունից, խոնավությունից և հումուսային մասնիկների առկայությունից: Խտության և հումուսային մասնիկների ավելացումը մեծացնում է գոմալիքի կապչունությունը: Առավելագույն կապչունությունը պարարտանյութի 80-84% խոնավության դեպքում է լինում:

Շփման գործակիցը մեծանում է՝ կախված գոմալիքում ծրագրությունից, փոքրանում՝ կախված խոնավության և տեսակարար ճնշման ուժից: Գոմալիքի շփման գործակիցը մետաղական մակերևոյթի վրայով կազմում է 0.85-1.0:

Գոնարքի հաստնացմանը գուգընթաց բնական թերության ամելյունը փոքրանում է 50-38%-ով:

Սահըլի և կտրման դիմադրությունները որոշակալութեն կախված են ծրագրությունից և տեսակարար ճնշումից: Տեսակարար ճնշումը մեծացնելով 2-10կԴա-ով, սահըլի տեսակարար դիմադրությունը մեծանում է 4.5 մինչև 10 կԴա, իսկ ծրագրությունի մեծացնելով 10-50%, կտրման դիմադրությունը մեծանում է 7.3-10կԴա-ով:

## 11.2. Պարարտանյութացան ապարատների տեսությունը

Պարարտանյութացան ապարատները մերենաների դրագավորությունը հարմարանքներն են, որոնք բար կառուցվածքի լինում են՝ մեխանիկական, պնևմատիկ և հիգրավիլկական (պնևմո-հիգրավիլկական):

Մեխանիկական սկզբունքը պարարտանյութացան ապարատները նոյնպես բազմազան են, սակայն ներկայում յայն տարածում են սուսացել ատամնակոճավոր, ափսեածե, սկավառակային և փոխադրյային ապարատները: Ըստ նախատեսվածության պարարտանյութացան ապարատները լինում են սնուցման (դրագավորող) և համատարած գրման:

### 11.2.1. Դոգավորող ապարատներ

Վտամնակոճավոր ապարատները դրագավորությունը են, յայն կիրառություն են ստացել հացահատիկային շարքացանների վրա և նախատեսված են հատիկավորված պարարտանյութի ցանքի համար: Այս ապարատի աշխատանքի տեխնոլոգիական սկզբունքը նման է ակոսակակոճավորին՝ ցանքի նորման կարգավորվում է կոճի պտտման հաճախականության և սնման ճեղքի կարգավորումնի: Ապարատի տեխնոլոգիական գործիքացը ճիշտ կատարելու համար (որպեսզի պարարտանյութի հատիկները լրացն շրջեն ծագարիկի եզրից) անհրաժեշտ է հաշվարկել կոճի պտտման արագությունը (նկ.11.1):

Առաջադրված խնդիրի լուծման նպատակով կազմնենք թիակից (ատամից) անշատփող հատիկի շարժման հավասարումը ց0x առանցքների նկատմամբ՝

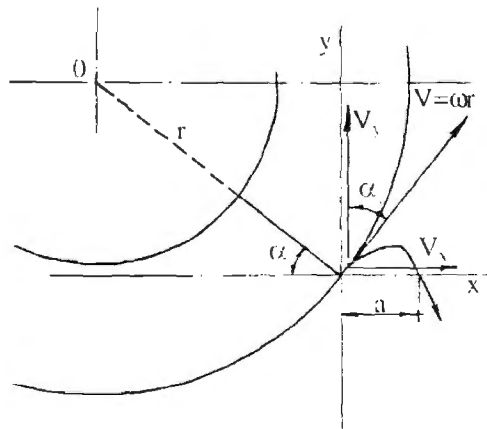
$$\left. \begin{array}{l} m\ddot{y} = -mg \\ m\ddot{x} = 0 \end{array} \right\} \quad (11.1)$$

Ինտեգրելով կստանանք  $\dot{x} = C_1$ ,  $\dot{y} = -gt + C_2$ . Եթե  $t = 0$ ,  $C_1 = \dot{x} = \omega r \sin \alpha$ ,  $C_2 = \dot{y} = \omega r \cos \alpha$  կամ

$$\left. \begin{array}{l} \dot{x} = \omega r \sin \alpha \\ \dot{y} = -gt + \omega r \cos \alpha \end{array} \right\} \quad (11.2)$$

Ինտեգրելով 11.2 հավասարումը կստանանք՝

$$\begin{aligned} x &= \omega rt \sin \alpha + C_3 \\ y &= -\frac{gt^2}{2} + \omega rt \cos \alpha + C_4 \end{aligned}$$



Նկ. 11.1. Առանձակություն ապարատի թմբուկի պտտման արագորյան որոշման սխեմա

Եթե  $t = 0$ ,  $C_3 = x = 0$ ,  $C_4 = y = 0$ , որևէն

$$\left. \begin{array}{l} x = \omega rt \sin \alpha \\ y = -\frac{gt^2}{2} + \omega rt \cos \alpha \end{array} \right\} \quad (11.3)$$

Զագարի երկու եզրերում սկզբում և վերջում,  $y = 0$ , ուստի (11.3) հավասարման երկուուր արտահայտությունից կստանանք՝

$$\left( \frac{gt}{2} - \omega r \cos \alpha \right) = 0, \text{ որտեղից՝}$$

$$t = \frac{2\omega r \cos \alpha}{g} \quad (11.4)$$

Խորիշի վերջում մասնիկը ծագարից դուրս չրնկներու պայմանը կլինի  $x = a$ , ուստի, օգտվերով (11.3, 11.4) հավասարութերից.

Կստանանք՝  $a = \frac{\omega^2 r^2}{g} \sin 2\alpha$ , որտեղից ատամնակուճի պտտման ամենամեծ արագորյանը կլինի

$$\omega_{\max} \leq \frac{1}{r} \sqrt{\frac{ag}{\sin 2\alpha}} \quad (11.5)$$

**Ափսեած ապարատների տեխնոլոգիական գործընթացը** բաղկացած է երկու հիմնական փուլերից՝ անցքից պարարտանյութի երբի կարգավորման և ափսեի վրայից նրա շպրումից:

Պարարտանյութի որոշակի շերտու դուրս հանումը երբի անցքից կատարվում է շփման տժերի շնորհիվ. ոլտնք լատ մեծության պետք է լինեն այնքան, որ ապահովեն նրանց պտտումը ափսեի հետ, առանց սահրի, այլապես պարարտանյութը չի մոռեցվի անցքին: Միաժամանակ հարկավոր է բավարարել ափսեի վրայից պարարտանյութի ինքնակամ շրավություն պայմանը՝

$$fmg \geq m\omega^2 r \text{ որտեղից՝}$$

$$\omega \leq \sqrt{\frac{fg}{r}} \quad (11.6)$$

որտեղ՝  $\omega$  - ափսեի պտտման անկյունայն արագորյան է,  $f$  - պարարտանյութի և ափսեի միջև շփման գործակիցը,  $r$  - ափսեի շառավիղը,  $g$  - ազատ անկման արագացումը: Ժամանակակից պարարտանյութացան ապարատներում  $fg \gg \omega^2 r$ , ուստի բացառում է նրա ինքնակամ բավություն ափսեի վրայից:

Ապարատը տեխնոլոգիական գործընթացի առաջին փուլի ժամանակ պետք է ապահովի անցքից առաջարկված քանակով պարարտանյութի վայրկյանային ելքը: Պարարտանյութի

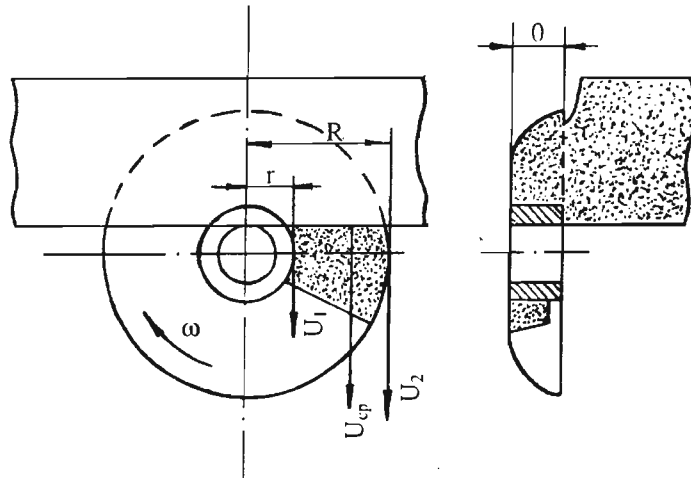
Վայրկյանային ելքը - զ տալությունից կախված է անցքի  $S$  մակերեսից, շարժման միջին արագությունից  $U_{cp}$  (նկ.11.2) և ծավալային զանգվածից  $\gamma$ , զ  $= \gamma S U_{cp}$ :

Համաձայն նկ.11.2-ի

$$S = h(R - r), \quad U_{cp} = \frac{U_2 + U_1}{2} = \frac{\omega}{2}(R + r), \quad \text{ուստի}$$

$$q = \frac{\gamma \omega h(R^2 - r^2)}{2}. \quad (11.7)$$

որտեղ  $h$  - անցքի բարձրությունն է:



Նկ.11.2. Պարարտանյութի դուրս հանումը ափսեով

Պարարտանյութի ծախսի ստացված քանակությունը պետք է բավարարի նաև ագրտեհսնիկական պահանջներով առաջարկված հեկտարային  $Q$ : Նշանակերով ապարատների քիվը  $K$ , մեքենայի լոնդրիկման լայնությունը  $B$ , շարժման արագությունը  $V$ , կստանամբ՝

$$q = \frac{BVQ}{K \cdot 10^4} \quad (11.8)$$

Հավասարեցնելով (11.7) և (11.8) հավասարումները և լուծերով հ նկատմամբ, կստանանք՝

$$h = \frac{2 \cdot 10^{-4} BVQ}{K \gamma \omega (R^2 - r^2)} \quad (11.9)$$

Տեխնոլոգիական գործընթացի երկրորդ փուլը՝ պարարտանյութի թափումը ափսեից, իրականացվում է պասխալ կամ ակտիվ շպրտիչներով: Քանի որ յուրաքանչյուր ապարատ պարարտանյութը մատուցում է երկու շարքերի, ուստի շպրտիչները պետք է տեղակայվեն այնպես, որ նրանցից յուրաքանչյուրի վերցրած բաժինը հավասար լինի մյուսին:

Դիտարկենք պասխալ շպրտիչի աշխատանքը: Պասխալ շպրտիչի նորմալ աշխատանքի համար անհրաժեշտ է, որ ափսեով տեղակայված պարարտանյութը անընդհատ շարժվի շպրտիչի երկայնքով դեպի ելքի անցքը:

Անանիկը, շարժվելով  $U = \omega R$  արագության ուղղությամբ, հանդիպում է պասխալ քերիչին, որի հետևանքով շփման  $F_1$  ուժը բաժանվում երկու բաղադրիչների, որոնցից մեկը՝  $F_1 \cos \alpha$ , ձգում է առաջ տանել մասնիկին, իսկ մյուս բաղադրիչը՝  $F_1 \sin \alpha = N$ , առաջացնում է նոր շփման ուժ քերիչի վրա, որն աշխատում է հետ պահել մասնիկին առաջ շարժվելուց:

Տեխնոլոգիական գործընթացի իրականացման համար անհրաժեշտ է, որ  $F_1 \cos \alpha > F_2$ : Ունենք  $F_1 = mg \tan \phi$ ,

$$F_2 = F_1 \sin \alpha \tan \phi = mg \sin \alpha \tan^2 \phi, \quad \text{այդ պատճառով կստանանք}$$

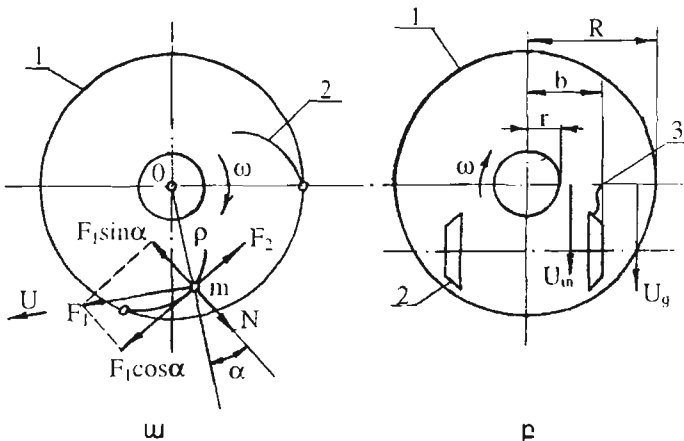
$$mg \cos \alpha \tan \phi > mg \sin \alpha \tan^2 \phi, \quad \text{կամ } \tan \alpha < \tan \phi \quad (\text{նկատմամբ, կստանանք})$$

$$\alpha \leq 90 - \phi \quad (11.10)$$

Տեխնոլոգիական գործընթացի անընդհատ իրականացման համար անհրաժեշտ է, որ  $\alpha < 90 - \phi$  պայմանը պահպանվի քերիչի ամրությամբ, այսինքն կենտրոնից հեռանալու հետ զուգահեռ  $\alpha$  անկյունը պետք է մնա հաստատուն կամ փոքրանա: Այդ պայմաններին բավարարում են լոգարիթմական սպիրալի ծև ունեցող կոր քերիչները:

Ակտիվ շպրտիչների մոտ բացառում է պարարտանյութի հավաքումը և խուցումը: Այստեղ պահանջվում է, որ նրանցից յուրաքանչյուրը շպրտի նոյն քանակի պարարտանյութ: Առաջարկված

պահանջներու բավարարերու համար ափսեի վրա առանցքից ենուավորության վրա տեղակայվում է հատուկ բաժանարար: Այս ծախս շպրտիչներին հավասար քանակի պարարտանյութ մատակարարերու համար անհրաժեշտ է, որ  $U_{\pi} \cdot h(b - r) = U_{\pi} \cdot h(R - r)$ , որտեղ՝  $U_{\pi}, U_{\pi}$  - ծախս և ազ շպրտիչներին մատուցվող պարարտանյութի միջին արագություններն են,  $h$  - պարարտանյութի շերտի բարձրությունը:



Նկ.11.3. Ափսեածն (ակավառակային) պարարտանյութացան  
ապարատի հաշվարկի սխեման  
ս - պասիվ շպրտիչ, բ - ակտիվ շպրտիչ (1-ափսե (ակավառակ),  
2-շպրտիչ, 3-բաժանարար)

$$\text{Համաձայն նկ.11.3 կարող ենք գրել՝ } U_{\pi} = \frac{\omega}{2}(b + r),$$

$U_{\pi} = \frac{\omega}{2}(R + b)$ , ուստի բաժանարարի հեռավորությունը սկավառակի կենտրոնից կլին:

$$b = \sqrt{\frac{R^2 + r^2}{2}} \quad (11.14)$$

**Փոխադրիչային ապարատները** կիրառվում են շարային (կարտոֆիլի տունկի ժամանակ) և համատարած պարարտացման նպաստակով: Օրգանական պարարտանյութի ցանքի նորման կարգավորվում է փոխադրիչի շարժման արագության, իսկ հանքայինը՝ փոխադրիչի արագության և դրուս բերվող պարարտանյութի շերտի բարձրության փոփոխությունով:

Սխալոր ժամանակում մատուցվող պարարտանյութի քանակությունը կախված է փոխադրիչի  $U_{\text{mp}}$  արագությունից, ելայնությունից, պարարտանյութի շերտի և հաստությունից և շխտությունից:

$$q = \gamma U_{\text{mp}} b H \quad (11.12)$$

Որպեսզի տվյալ պարամետրերով հանգած պարարտանյութի քանակությունը բավարարինեկտարային  $Q$  նորմային, անհրաժեշտ է, որ նույն գ ծախսը հավասար լինի՝

$$q = 10^{-4} BVQ \quad (11.13)$$

որտեղ՝  $B$ -մերենայի լնողուկման լայնությունն է,  $V$ -շարժման արագությունը:

Հավասարեցներով (11.12) . (11.13) բանաձեռքը և բաժերով փոխադրիչի  $U_{\text{mp}}$  արագության նկատմամբ՝ կստանաք

$$U_{\text{mp}} = \frac{10^{-4} BVQ}{\gamma b H} \quad (11.14)$$

**Պնևմատիկ պարարտանյութացան ապարատները** կիրառվում են փողի պարարտանյութերով դաշտի համատարած պարարտացման համար: Ցանքի նորման կարգավորվում է ելքի անցքի մակերեսի և մեքենայի շարժման արագության կարգավորությունով:

Հիմքավիճական և պնևմատիվլրափիլական հարմաքանբներով կատարվում է հերուկ պարարտանյութի ցրում: Ծախսի նորման կարգավորվում է ծայրապանակների փոփոխությունով և ճնշման մագիստրալու հեղուկի ճնշման կարգավորությունով:

## 11.2.2.Պարարտանյութացրիչ ապարատներ

Պարարտանյութացրիչները օգտագործվում են հանքային և օրգանական պարարտանյութերի մեջ քանակով հողի մակերեսին համատարած ցրման համար:

Չնայած ցրիչների բազմապիտքանը, դրանք տնեն մեկ ընդհանուր հատկանիշ՝ պարարտանյութի ցրում, որը հետագայում ծածկվում է հալամշակման մեքենաներով: Ցրիչների հիմնական բանող օրգանը պտտվող սկավառակն է (բմբուկ): հանքային պարարտանյութերի համար պտտման ուղղաձիգ առանցքով, օրգանականի համար հորիզոնական առանցքով:

Նշված ապարատների աշխատանքային ցիկլը բաղկացած է երկու փուլից՝ պտտվող օրգանի վրայով մասնիկի հարաբերական շարժումից և ազատ թռչքից՝ սկավառակից անշատվելուց հետո:

Հանքային պարարտանյութացրիչ ապարատները բաղկացած են պտտմանուղածից առանցքով մեկ կամ երկու հարթ սակավառակներից, որոնց մակերեսին շառավղի ուղղությամբ կամ ( $10\text{--}15^\circ$ ) շեղումով անբացված են հարթ թիակներ:

Տեխնոլոգիական գործընթացի առաջին փուլ՝ մասնիկի հարաբերական շարժումը սկսվում է մասնիկը սկավառակի վրա ընկնելուց և բաղկացած է երկու ենքափուլից՝ մասնիկի շարժումը մինչև թիակին հանդիպելը և թիակին հանդիպելու հետո: Փորձերով պարզվել է, որ մասնիկի շարժումը առաջին ենքափուլում կատարվում է լոգարիթմական սպիրալի կող հետագծով, երկրորդ ենքափուլում այն շարժումը է թիակի երկայնքով:

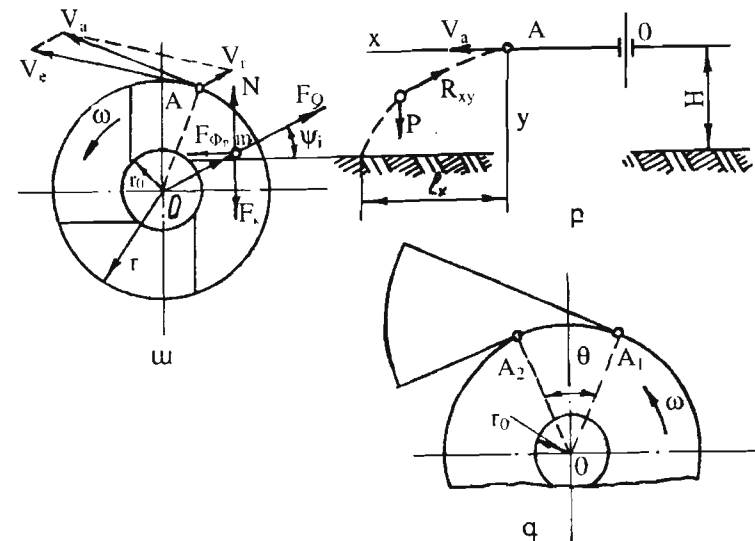
Երկարող ենքափուլում շարժվելիս մասնիկի վրա ազդում են հետևյալ ուժերը (նկ. 11.4) - պտտման կենտրոնախուս  $F_c = m\omega^2 r_i$  ուժը, Կորլույսի իներցիայի  $F_k = 2m\omega r_i$  ուժը,  $F_r = fmg$  շիման ուժը սկավառակի վրա,  $F_2 = f(2m\omega r_i - m\omega^2 r_i \sin \psi)$  շիման ուժը թիակի վրա, որտեղ՝  $r_i$  - մասնիկի հեռավորությունն է սկավառակի պտտման առանցքից,  $\omega$  - սկավառակի պտտման անկյունային արագությունը,  $\psi = V_r$  - թիակի երկայնքով մասնիկի սակրի հարաբերական արագությունը,  $f$  - շիման գործակիցը մասնիկի և թիակի (սկավառակի)

միջև. -  $\psi$ , թիակի և շառավղի միջև կազմած անկյունը ( $\psi = \text{const}$ , եթե թիակը 0 կետում տնի քենու և լոգարիթմական սպիրալի տեսք, և  $\psi \neq \text{const}$ , եթե թիակն ուղիղ է):

Առաջադրված խնդիրի վերջնական նպատակը մասնիկի թոհքի ուսումնականությունն է, որը կախված է  $r_i = r$  կետում մասնիկի բացալածակ արագությունից, որը հավասար է հարաբերական և տեղափոխական  $V_c = \omega$  արագությունների երկրաչափական գործարին

$$V_a = \sqrt{(V_c \pm V_r \sin \psi_k)^2 + (V_r \cos \psi_k)^2} \quad (11.15)$$

որտեղ՝  $\psi_k$  - ն  $\psi_i$ -ի շեղում ունեցած մեծությունն է:



Նկ. 11.4. Հանքային պարարտանյութ ցրման սկավառակային ապարատի աշխատանքային գործընթացի հաշվարկման սխեմաներ՝ ա-ուղղածիզ պտտման առանցքով սկավառակի թիակի երկայնքով շարժվող մասնիկի վրա ազդող ուժերի սխեմա, բ-մասնիկի թռչքի հեռավորության որոշման սխեմա, գ-պարարտանյութի ցրման գոտու որոշման սխեմա:

Համաձայն նկ.11.4-ի + նշանը համապատասխանում է թիակի դեպի առաջ թերփին, - նշանը՝ դեպի հետ:  $\Psi_k = \Psi_i = 0$  պայմանի դեպքում. եթե թիակն համընկնում է շառավիլն. կստանանք՝

$$V_a = \sqrt{V_c^2 + V_r^2} \quad (11.16)$$

Թուչքի պահին  $r_i = r$  և  $V_c = \omega r$ , այդ պատճառով որոշենք հարաբերական արգության  $\dot{r}_i$  մեծությունը, որի համար կազմենք մասնիկի շարժման հավասարությունը թիակին համընկնող առանցքի նկատմամբ՝

$m\ddot{r}_i = m\omega^2 r_i \cos \psi_i - fmg - fm(2\omega\dot{r}_i - \omega^2 r_i \sin \psi_i)$ , կրճատելով  
այն ուղղված կստանանք

$$\ddot{r}_i = \omega^2 r_i \cos \psi_i - fg - f(2\omega\dot{r}_i - \omega^2 r_i \sin \psi_i) \quad (11.17)$$

Ստացված դիֆերենցիալ հավասարման բաժնումից սլարդիմ է, որ տեղափոխական արագության  $\omega$  համեմատությամբ հարաբերական արագությունը զգալիորեն փոքր է:  $V_c >> V_r$ ,  $r_i = r$  կետում, այդ պատճառով ընդունվում է, որ  $V_a = V_c = \omega r$ :

**Մասնիկի շարժման երկրորդ փուլը** սկսում է:  $r_i = r$  կետից առ սկզբնական արագությամբ թռիչքից, որի համար շարժման հավասարությունները կիրար:

$$\begin{cases} m\ddot{x} = -K_n V^2 \cos \beta \\ m\ddot{y} = mg - K_n V^2 \sin \beta \end{cases} \quad (11.18)$$

Որտեղ՝  $mg$ -մսնիկի ծանրության ուժն է,  $K_n V^2$  - ոյլի դիմայլության ոժը,  
 $K_n$ - մասնիկի առագաստայնության գործակիցը  $V = \sqrt{\dot{x}^2 + \dot{y}^2}$ ,  $\beta$ - մասնիկի հետագծի շոշովովի կազմած անկյունը 0x առանցքի հետ: Նշենք, որ օյլի դիմայլությունը հաշվի առնելու դեպքում (11.18) հավասարման ինտեգրումը շափազանց բարդ է: և պրոսկտիկ հիմքերից գործիք, այդ պատճառով, բնումներով  $R_{xy} = 0$  և կատարելով այլ հավասարման կրկնակի ինտեգրում՝ կստանանք.

$$\left. \begin{aligned} x &= V_a t \\ y &= \frac{t^2}{2} \end{aligned} \right\} \quad (11.19)$$

$$\text{Երկրային արտահայտությունից որպես ժամանակը՝ } t = \sqrt{\frac{2y}{g}}$$

հաշվի առնելով  $y = H$  պայմանը՝ կստանանք մասնիկի հորիզոնական /Ax/ ուղղությամբ թռիչքի մեծությունը

$$x = \omega r \sqrt{\frac{2H}{g}} \quad (11.20)$$

Սկավառակի վրա պարարտանյութը հոծ զանգվածով բափելիս նրա առանձին մասնիկները ընկնում են պտտման առանցքից տարբեր է, հեռավորության վրա: Այդ և այլ պատճառների հետևանքով զանգվածը սկավառակից բափվում է  $A_1 A_2$  (նկ.11.4) աղեղի ընդուրկումով և դաշտի վրա բաշխվում որոշ փնչով: Հաստատված է, որ  $A_1 A_2$  աղեղի համապատասխան 0 անկյունը տատանվում է  $72-150^\circ$  սականաներում: Կենտրոնական 0 անկյան,  $r_0$ -ից կախված փոփոխական բնույթը հանգեցնում է մերենայի ընդուրկման լայնության վրա պարարտանյութի խտության համաշափության փոփոխությանը: Պարարտանյութը մատուցելով պտտման կենտրոնին մոտ ( $r_0 \rightarrow \infty$ )՝ զանգվածի խտությունը մեծանում է ցանված շերտի եզրերում, մեծացնելով  $r_0$  շառավիղը՝ խտությունը մեծանում է ցանված շերտի միջին մասում:

Հասկանալի է, որ սկավառակի պտտման կենտրոնի մոտ բափված որոշ մասնիկներ կրնկնեն մեռյալ գոտի և չեն տեղաշարժվու դեպի թիակ:  $r_0$  շառավիղի ամենափոքր արժեքը կորոշվի  $m r_0^{\min} \omega^2 > fmg$  արտահայտությունից, որտեղից կստանանք

$r_0^{\min} > \frac{fg}{\omega^2}$  անհրաժեշտ պայմանը: Մեռյալ գոտի շառաչանալու համար անհրաժեշտ է սկավառակի վրա պարարտանյութի բափման գոտին սկսել  $r_0^{\min}$  շառավիղի սահմանից դուրս:

Ելկուղավառակ ապարատի լմուգուման լայսությունի որոշվում է հետևյալ բանաձևով՝

$$B_p = 2\omega r \sqrt{\frac{2H}{g}} + A, \quad (11.21)$$

որտեղ՝  $A$ -երկու սկավառակների կենտրոնների հեռավորությունն է, իրարից  $A = (2.4-2.6)r$ :

Հաճախային պարարտանյութացրիչ ժամանակակից մեքենաների մոտ  $2r = 0.35-0.70m$ ,  $H = 0.45-0.65m$ , սկավառակի պտտման հաճախականությունը  $n_g = 400-600$ լրագ<sup>-1</sup>,  $\psi = 0 \pm 15^\circ$ :

Սկավառակի տրամագծի մեծացումով վատանում է պարարտանյութի բաշխման խտության համաշափությունը, պտտման հաճախականության մեծացմանը զուգընթաց լավանում է խտության համաշափությունը: Պարարտանյութի բաշխման խտության առավել համաշափությունը ապահովելու համար անհրաժեշտ է թիակների շառավիլի նկատմամբ պտտման ուղղությամբ թեքել  $10-12^\circ$ -ով:

Օրգանական պարարտանյութացրիչ ապարատների աշխատանքի տեխնոլոգիական գործընթացը նոյնպես բաղկացած է երկու փուլից՝ մասնիկի հարաբերական շարժումը թիակի երկայնքով զանգվածից լուրս գալու մոմենտից հաշված և մասնիկի թուլքը  $V_s = V_c = \omega$  սկզբնական արագությամբ: Մասնիկի վրա շարժման առաջին փուլում ագրում են  $P = mg - \delta a$  հաճախական ուժը,  $F_u = m\omega^2 r$ , պտտման կենտրոնախույս ուժը,  $F_k = 2m\omega$ , Կորիոլիսի իներցիայի ուժը,  $F_{mp} = f(mg \cos \omega t + 2m\omega r)$ - շփման ուժը թիակի վրա:

Մասնիկի հարաբերական տեղափոխությունը թիակի երկայնքով կարելի է ներկայացնել շարժման հետևյալ հավասարությունով (նկ. 11.5):

$$m\ddot{r}_i = m\omega^2 r_i - mg \sin \omega t - f(mg \cos \omega t + 2m\omega r_i), \text{կամ}$$

$$\ddot{r}_i = \omega^2 r_i - g \sin \omega t - f(g \cos \omega t + 2\omega r_i) \quad (11.22)$$

Ստացված հավասարման բաժնումը նույնպես կապված է թալդուրյունների հետ, իսկ ի արդյունքու չի կարող ներկայացնել բանական արժեք քանի որ  $\dot{r}_i \ll \omega r$ , այդ պատճառով ընդունում ենք, որ  $V_s = V_c = \omega r$ :

Ինչպես երևում է նկ. 11.5-ից մասնիկը օր սկզբնական արագությամբ թմբուկի թիակից պրկվելուց հետո ավելի հեռու ընկներու համար նրա թուլքը պետք է սկսվի առաջին քառորդում՝ առ.  $< 90^\circ$ : Դրա հետ մեկտեղ թուլքը կեռավորության վրա ազդում է նաև պարարտանյութի շերտի և հաստությունը, որքան մեծ է հ-ը, այնքան մեծ է առ. որի տակ մասնիկները անշատփում են թիակից: Կախված տարբեր ազդակներից ամենուց առաջ թիակի երկարությամբ պարարտանյութի բաշխման անկանությունը, մասնիկների անկան ընդգրկման Թ անկյունը համապատասխանում է որոշակի  $\Lambda, \Lambda_2$  աղեղի:

**Տեխնոլոգիական գործընթացի երկրորդ փուլն** իրենից ներկայացնում է հորիզոնի նկատմամբ  $\beta$  անկյան տակ, օր սկզբնական արագությամբ նետված մարմնի շարժում: Թիակի ծայրից  $\Lambda$ , կետից նետված մարմնի շարժման հավասարությունները կլինեն՝

$$\left. \begin{aligned} m\ddot{x} &= 0 \\ m\ddot{y} &= -mg \end{aligned} \right\} \quad (11.23)$$

Կատարելով (11.23) հավասարման ինտեգրալը՝ կստանանք  
 $\dot{x} = C_1$ ,  $\dot{y} = -gt + C_2$ , եթե  $t = 0$ .

$$C_1 = \dot{x} = \omega r \cos \beta, \quad C_2 = \dot{y} = \omega r \sin \beta \quad \text{որեմն}$$

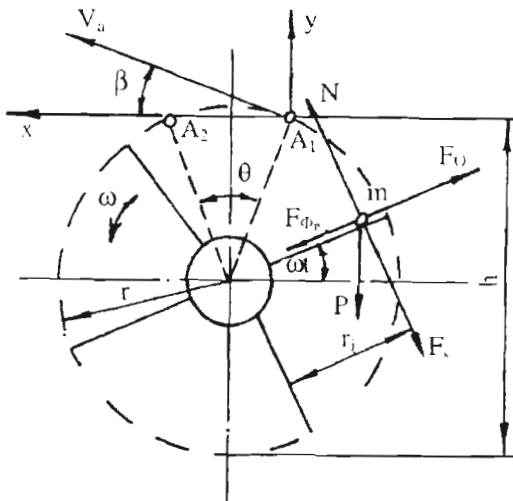
$$\left. \begin{aligned} \dot{x} &= \omega r \cos \beta \\ \dot{y} &= -gt + \omega r \sin \beta \end{aligned} \right\} \quad (11.24)$$

Կատարելով (11.24) հավասարման ինտեգրալը՝ կստանանք

$$\left. \begin{aligned} x &= \omega rt \cos \beta \\ y &= -\frac{gt^2}{2} + \omega rt \sin \beta \end{aligned} \right\} \quad (11.25)$$

Երկրորդ հավասարությունը թուլքը մամանակը  $y = -h$  պայմանից որոշելու դեպքում կստանանք հետևյալը.

$$t = \frac{(\omega r \sin \beta + \sqrt{\omega^2 r^2 \sin^2 \beta + 2gh})}{g} \quad (11.26)$$



Նկ. 11.5. Հորիզոնական պտտման առանցքով օրգանական պարատանյութացրիչ ապարատի բանող գործընթացի հաշվարկման սխեմա

Օրգանական պարատանյութացրիչների լինում են երկու տեսակ՝ շարժման ուղղությանը զուգահեռ և ուղղահայաց պտտման առանցքներով։ Առաջին դեպքում բանող օրգանն ունի կտրտված ժապավենով շնեկի տեսք՝ առանցքի վրա պտտական գծով տեղակայված թիակներով։

Խիսկեները առանցքի նկատմամբ տեղակայվում են  $45^{\circ}$  և  $135^{\circ}$  անկյան տակ։ Չորս շարժով, որի հետևանքով պարատանյութը ցրվում է աջ և ձախ։ Ապարատի թմբուկի տրամագիծը 300մմ է, երկարությունը՝  $L=1.6\text{-}1.8\text{մ}$ , լնդգրկման լայնությունը՝  $B=(2\text{-}3)L$ ։

Երկրորդ դեպքում բանող օրգանը լինում է երկու տարբեկակով՝ կույտից ցրելու դեպքում - ոտուրի, կղասայլի բափքից ցրելու համար - թմբուկ։ Որպես կանոն ոտուրն ունի չորս թիակ, 700-1200մմ տրամագծով, 320-500 րոպ<sup>-1</sup> պտտման հաճախականությամբ։ Խմբուկի պտտման հաճախականությունը 500 րոպ<sup>-1</sup>, պարատանյութի բոլիչի հեռավորությունը հասնում է մինչև 12մ։

Քերայիկով էլի այժեքը առաջին լավասարման մեջ՝ կստանանք հորիզոնական ուղղությամբ պարատանյութի բոլիչի մեծությունը։

$$x = \frac{\omega^2 r^2 \sin 2\beta}{2g} + \frac{\omega r \cos \beta \sqrt{\omega^2 r^2 \sin^2 \beta + 2gh}}{g} \quad (11.27)$$

## 12.Խոփիկներ

Խոփիկի աշխատանքի տեխնոլոգիական գործընթացի նպատակն է կազմառել ոլոշակի խոլությամբ ակոս, սերմերը պառկեցնել նրա հատակին և ծածկել հողով: Հատ գործողության սկզբունքի խոփիկները լինում են համբճաց և պտտական շարժման, խև ըստ տեխնոլոգիական սկզբունքի՝ ուղիղ, քառ և սուր անկյան:

Խոփիկի բանող գործընթացը նոյնական բաղադրամական է երեք փուլոց՝ ակոսի կազմավորում, սերմերի տեղաբաշխում ակոսում, սերմերի մասնակի կամ լրիվ ծածկում հողով:

**Ակոսի կազմավորում:** Ակոսի ձևն ու չափերը կախված են խոփիկի կազմող սեպի պարամետրերից՝ համբճաց շարժման դեպքում և սկավառակների փոխադարձ դիրքից՝ պտտական շարժման խոփիկների դեպքում:

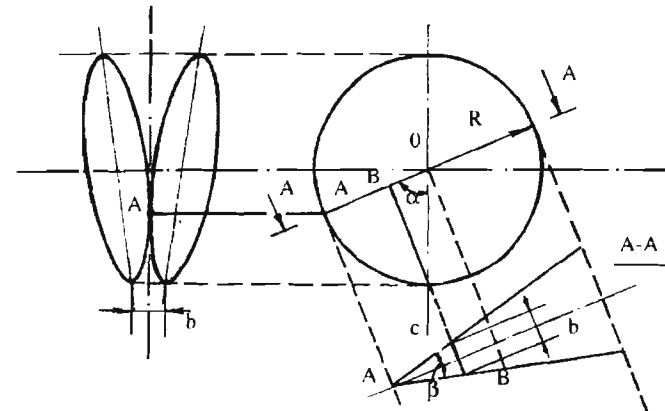
Սուր քրով խոփիկի աշխատանքի տեխնոլոգիական գործընթացը կատարվում է նորմալ, եթե լրվածքի անկյունը  $\alpha < 90 - \varphi$ , այսինքն հողի մասնիկները ազատ սահում են խոփիկի առջևի եզրավորությամբ: Բայց քրով խոփիկի նորմալ աշխատանքի համար անհրաժեշտ է  $\alpha < 90 + \varphi$  պայմանը, որպեսզի հողը կամ մոլախոտերի արմատները խոփի առջևի եզրով սահեն դեպի սեղման կետը ներքն և սեղման կետը մեջ:

Պտտական շարժման խոփիկի սկավառակի հարթությունները կատարում են թշիկների դեր, իսկ առջևի միացման գոտին փոխարինում է թաթիկին, այդ պատճառով ակոսի ձևն ու չափերը կախված են խնչական սկավառակների միջև կազմված անկյան մեծությունից, այնպես էլ առջևի մասում նրանց հայման կետի բարձրությունից:

Ենթադրենք, որ սկավառակների հպման  $A$  կետը գտնվում է որոշակի բարձրության վրա, որը որոշվում է շառավիղ  $R=OA$  թերության  $\alpha$  անկյունով: Սկավառակների փոփածքի անկյունը նշանակերպ  $\beta$ -ով՝ ոլոշենք ակոսի լայնությունը՝  $b=BC=2AB\sin\beta/2$ : Ունենք նաև (Ըկ.12.1)

$$\Delta B=OA-OB=R-R\cos\alpha=R(1-\cos\alpha), \text{ուստի}$$

$$b=2R(1-\cos\alpha)\sin\beta/2 \quad (12.1)$$



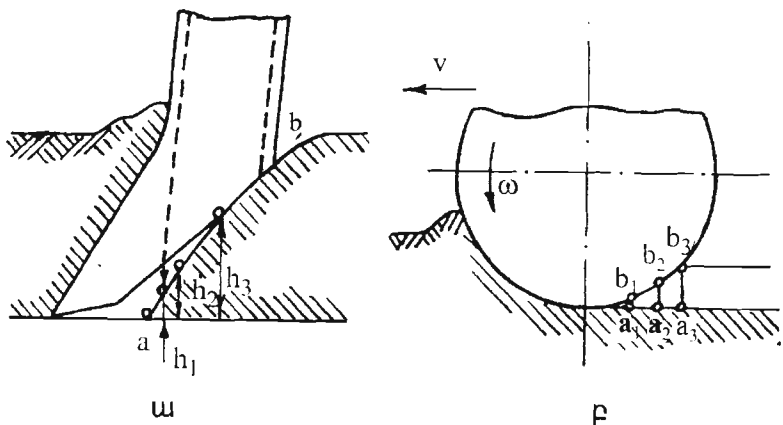
Ըկ.12.1 Սկավառակային խոփիկով բացված ակոսի լայնության որոշման սխեմա

Ակոսի լայնությունը որոշվում է սկավառակների հողի հետ հպման ներքեն կետերի հեռավորությամբ:

Ստուգված բանաձևի (12.1) վերլուծությունը ցույց է տալիս, որ  $\alpha$  և  $\beta$  անկյունների մեծացումից մեծանում է նաև ակոսի լայնությունը: Հաջահատիկային շարքացաների մոտ լնդրւնված  $\alpha=50^\circ$ ,  $\beta=10^\circ$  Մեծացնելով անկյան արժեքը՝  $\alpha>50^\circ$ ՝ ից սկավառակի ներքեն կետերը հեռանում են լրարից և նրանցից յուրաքանչյուրը բացում է առանձին ակոս: Այդ տարբերակը օգտագործվում է նեղաշար շարքացաների վրա ( $\alpha=100^\circ$ ,  $\beta=18^\circ$ ,  $2R=350\text{մմ}$ ,  $b=65\text{մմ}$ ):

**Երկրորդ փուլ:** սերմերի բաշխումը ակոսում բար խորության հետագոտությունը ցույց է տալիս, որ սերմերի ցանման խորությունը ոչ միշտ է համընկնում խոփիկի լնդրացքի խորության հետ: Նշված բացասական երևույթը տեսլի է ունենում լազ նախապատրաստված հողում: Սուրուն հողը շրջանցում է խոփիկի թշիկները, ներս է բարվում և կազմավորում թեր ան հարթություն (Ըկ.12.2), իսկ սերմերն ընկնում են այդ հարթության վրա և ծածկվում  $h_1, h_2, h_3$  և այն խորության վրա: Այդ երևույթից խուսափելու համար, խոփի ներքեն մասում դրվում է թեր

անդրադարձիչ թիթեղիկ՝ առածգական սերմերի համար: Սերմերը, հարվածերով թեր թիթեղիկին, ուղղվում են դեպի խոփիկի քրամասը՝ և կետր և ցանքում հաստատուն խորությամբ: Ծփման մեջ գործակից ունեցող սերմերի ցանքի դեպքում երկարացվում են խոփիկների քշիկները, որոնք որոշ ժամանակ պահում են հողային գանգվածը մինչև սերմը հասնի ակոսի հատակին:



Նկ.12.2 Հողի ներքափի գործընթացները և կոսակազմավորման ժամանակ:

ա- անկերային խոփիկ,  
բ- սկավառակային խոփիկ

**Սերմերի ծածկումը կախված խողի սորունության աստիճանից** կատարվում է մասնակի կամ լիմիֆ: Հաղթ, բափվելով խոփիկի կողապատերից, ընդունում է բնական թեքության անկյունը: Անհրաժեշտ է լրացնել խոփիկի այնպիսի կառուղվածք, որը հնարափորություն տա, որպեսզի առաջնա հերթին սերմի վրա բափվի խոնավ հողը (ներքին շերտերից), ապա շոր հողը: Ժամանակակից խոփիկները ստեղծված են այդ սկզբունքով՝ համընթաց շարժման խոփիկների կողապատերի ներքեւ մասը թեր է կտրված, իսկ սկավառակային խոփիկների մոտ (նկ.12.2) սկզբում բափվում է ա, ե, շերտի խոնավ հողը, ապա ա, ե, շերտի շոր հողը:

**Խոփիկների տեղակայումը շրջանակի վրա կատարվում է՝ հաշվի առնելով ցանքող կուտուրայի միջշարային լայնությունը և խոփիկի կառուցվածքային առանձնահատկությունները:** Խոփիկի աշխատանքի ժամանակ կորքերից և առջևից շարժման ուղղությամբ առաջանում են որոշակի շափերի հողային քմբիկները: Առաջացած հողային քմբիկների լայնությունը հնարափորություն չի տալիս խոփիկները տեղակայելու միջակային միջակային մեջքով՝ իրարից միջշարային հեռափորության շափուկ: Այդ պատճառով իմնականում նեղաշար ցանքի կուտուրաների շարժացանների վրա խոփիկները տեղակայվում են երկու շարքով:

Խոփիկների հեռափորությունը նույն շարքում պետք է լինի  $b > b_*$ , որտեղ  $b_*$ -քմբիկի լայնությունն է, հակառակ դեպքում հարևան խոփիկները կուվեն հողով և կղադարի տեխնոլոգիական գործընթացի նորմալ իրականացնենք:

Համաձայն փորձնական տվյալների նշված հեռափորությունը ողնուցած խոփիկների համար կազմում է  $b \geq 15\text{մ}$ , անկերայինը՝  $b \geq 20\text{մ}$ , երկսկավառակայինը՝  $b \geq 25\text{մ}$ :

Երկայնական ուղղությամբ խոփիկների հեռափորությունը ընդունվում է, երկսկավառակային խոփիկներինը՝  $22\text{մ}$ , նեղաշարը ցանքի սկավառակային խոփիկներինը՝  $47\text{մ}$ , ողնուցայինը՝  $35\text{մ}$ :

## 12.1 Խոփիկների հավասարակշռությունը

Ցանքի համաշափության վրա՝ ըստ խորության ագրում է ոչ միայն հողի բափվելը խոփիկի մեջ, այլև նրա հավասարակշռությունը: Խոփիկի ամբողջ իրանը (1) կոչտ միացված է երասանակին (8), որն ազատ պտտվում է հորիզոնական առանցքի (0) շորջը, ուստի խոփիկներասանակ համակարգն ունի ազատության մեկ աստիճան, որի փոփոխումով պայմանավորված է նրա հավասարակշռությունը: Խոփիկի աշխատանքի հավասարակշռությունը կախված է նրա վրա ազդող արտաքին ուժերից, հողի ֆիզիկական տեխնոլոգիական հատկանիշներից, դաշտի մակերևույթից և նրանց փոփոխական բնույթից: Խոփիկ-երասանակ համակարգի վրա ագրում են՝ խոփիկ-

Երասանակի ծանրության հուժը, երասանակի վրա ազդող զափանակի (2) ճնշման  $G_1$  ուժը, իսկի հակագիման  $R$  համագործ, քարշի բարժը:

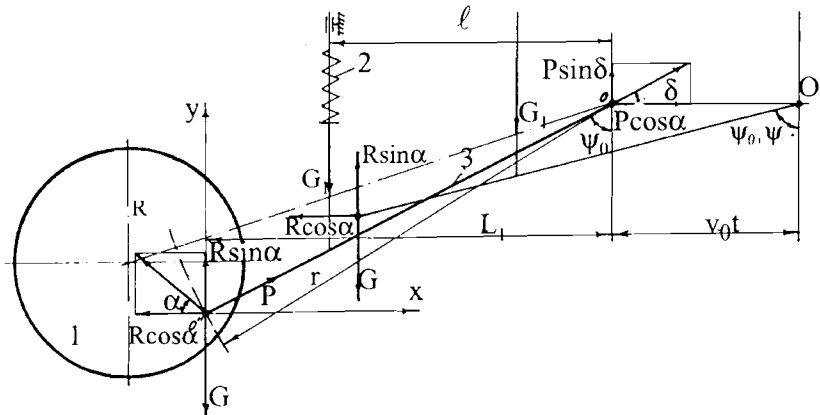
Նշված ուժերից միայն  $R$  մուժն է և նրանից կախված բարժը, որ աշխատանքի լնրացրում փոփոխվում են զգալի չափով,  $G$  և  $G_1$  ուժերի փոփոխությունը աննշան է:

Հակագիման ուժի ( $R$ ) փոփոխության պատճառով փոփոխվում է ցանքի խորությունը և խախտվում է ամբողջ համակարգի հավասարակշռությունը ուղղաձիգ (ինչպես նաև Խորիզոնական) հարթության մեջ: Դիտարկվող համակարգի շարժման հավասարումների կազմման համար լնտրում ենք կոորդինատների անշարժ  $XOY$  առանցքները: Հակագիման ուժի  $R$  փոփոխության հետևանքով շարքացանը  $V_0$  ճանապարհ անցնելուց հետո, ենթադրենք փոփոխվել է ցանքի խորությունը: Որոշենք ծանրության կենտրոնի  $0^\circ$  կոորդինատները մերենայի տեղաշարժից հետո: Համաձայն նկ. 12.3 կարող ենք գրել՝

$$\left. \begin{aligned} x &= v_0 t - r \sin(\psi_0 + \psi) + r \sin \psi_0 \\ y &= r \cos \psi_0 - r \cos(\psi_0 + \psi) \end{aligned} \right\} \quad (12.2)$$

Այս համակարգի ծանրության կենտրոնի շարժման արագության պրոյեկցիաները կլինեն

$$\left. \begin{aligned} \dot{x} &= v_0 - r \dot{\psi} \cos(\psi_0 + \psi) \\ \dot{y} &= r \dot{\psi} \sin(\psi_0 + \psi) \end{aligned} \right\} \quad (12.3)$$



Նկ. 12.3 Խոփիկների կայունության ուսումնասիրման սխեմա

Օգտվելով Լազրանժի երկրարդ կարգի հավասարումներից կազմնենք խոփիկային խմբի շարժման հավասարումները՝ Psi լնրացրացված կոորդինատի դեպքում

$$\frac{d}{dt} \left( \frac{\partial T}{\partial \dot{\psi}} \right) - \frac{\partial T}{\partial \psi} = Q_\psi \quad (12.4)$$

որտեղ՝  $T$ - համակարգի կինետիկ էներգիան է,  $Q_\psi$ - լնրացրացված ուժը: Համակարգի կինետիկ էներգիան կլինի

$$T = \frac{1}{2} m(\dot{x}^2 + \dot{y}^2) + \frac{1}{2} J_0 \dot{\psi}^2, \quad \text{որտեղ } m - \text{համակարգի զանգվածն},$$

$J_0$ - խոփիկային խմբի իներցիայի մոմենտը ծանրության կենտրոնով անցնող առանցքի նկատմամբ: Այսպիսով կստանանք՝

$$T = \frac{1}{2} mv_0^2 + r^2 \dot{\psi}^2 \frac{m}{2} - mv_0 r \dot{\psi} \cos(\psi_0 + \psi) + \frac{1}{2} J_0 \dot{\psi}^2, \quad \text{ուստի}$$

$$\frac{\partial T}{\partial \dot{\psi}} = mr^2 \dot{\psi} - mv_0 r \cos(\psi_0 + \psi) + J_0 \dot{\psi}$$

$$\frac{\partial T}{\partial \psi} = mv_0 r \dot{\psi} \sin(\psi_0 + \psi)$$

$$\frac{d}{dt} \left( \frac{\partial T}{\partial \dot{\psi}} \right) = mr^2 \ddot{\psi} + mv_0 r \dot{\psi} \sin(\psi_0 + \psi) + J_0 \ddot{\psi}$$

Այսպիսով, ուսումնասիրվող համակարգի շարժման հավասարումը կլինի.

$$J_n \ddot{\psi} = Q_\psi \quad (12.5)$$

որտեղ՝  $J_n = J_0 + mr^2$  - իներցիայի բերված մոմենտն է:

Ընդհանրացված ուժի  $Q_\psi$  որոշման համար օգտվենք խոփիկի վրա ազդող ուժերի հնարավոր աշխատանքի հավասարումից՝  $M_R \delta \psi = Q_\psi \delta \psi$ , ուստի  $M_R = Q_\psi$ , որտեղ՝  $M_R$  – խոփիկի վրա ազդող ուժերի մոմենտն է կցման  $O$  կետի նկատմամբ:

Օգտվելով նկ. 12.3-ից կարող ենք գրել

$$M_R = R \cos \alpha \cos(\psi_0 + \psi) + R \sin \alpha \sin(\psi_0 + \psi) - \\ - G r \sin(\psi_0 + \psi) - G_1 \ell$$

Կատարելով որոշ մաքենատակական փոփոխումներ կստանանք՝

$$M_R = a_1 \cos \psi - a_2 \sin \psi - a_3 = Q_\psi$$

որտեղ՝

$$a_1 = r [R \cos(\alpha - \psi_0) - G \sin \psi_0], \quad a_2 = r [R \sin(\psi_0 - \alpha) + G \cos \psi_0],$$

$$a_3 = G_1 \ell$$

Այսպիսով, խոփիկային համակարգի շարժման հավասարումը կլինի

$$J_n \ddot{\psi} = a_1 \cos \psi - a_2 \sin \psi - a_3 \quad (12.6)$$

Վերջին հավասարման ինտեգրման համար օգտվենք հայտնի

$$\text{մերողներից՝ նշանակենք } \dot{\psi} = \frac{d\psi}{dt} = Z, \text{ ուստի } \ddot{\psi} = \frac{dZ}{dt} = \frac{dZ}{d\psi} = Z \frac{dZ}{d\psi},$$

իսկ հավասարումը (12.6) կգրվի

$$Z dZ = \frac{1}{J_n} (a_1 \cos \psi - a_2 \sin \psi - a_3) d\psi, \quad \text{ինտեգրելով կստանանք՝}$$

$$\frac{1}{2} Z^2 = \frac{1}{J_n} (a_1 \sin \psi + a_2 \cos \psi - a_3 \psi + C_1), \quad \text{որտեղ } C_1 \text{-ը ինտեգրման}$$

հաստատունն է, որը որոշվում է սկզբնական պայմաններից՝  $t = 0, \psi = 0, \dot{\psi} = 0, C_1 = -a_2$

Այսպիսով, շարժման հավասարումը կստանա հետևյալ տեսքը.

$$Z^2 = (\dot{\psi})^2 = \frac{2}{J_n} (a_1 \sin \psi + a_2 \cos \psi - a_3 \psi - a_2) \quad (12.7)$$

Քանի որ  $\psi < 15^\circ$  ուստի կարող ենք ընդունել

$$\sin \psi = \psi, \cos \psi \approx 1 - \frac{\psi^2}{2} \quad \text{կամ } \dot{\psi} = \sqrt{\frac{a_3}{J_n}} \sqrt{2 \frac{a_1 - a_3}{a_2} \psi - \psi^2}, \quad \text{եթե } \psi$$

$= 15^\circ$  կամ  $\psi = 0.3$  ռադ, որեմն  $\psi^2 = 0.09$  կարաղ ենք ընդունել  $\psi^2 \rightarrow 0$

$$\text{կամ } \dot{\psi} = \sqrt{2 \frac{a_1 - a_3}{J_n}} \cdot \sqrt{\psi}, \quad \text{ձևափոխելով կստանանք}$$

$$t = \sqrt{\frac{J_n}{2(a_1 - a_3)}} \int \frac{1}{\sqrt{\psi}} d\psi = 2 \sqrt{\frac{J_n}{2(a_1 - a_3)}} \cdot \psi, \quad \text{ուստի}$$

$$\psi = \frac{a_1 - a_3}{2J_n} \cdot t^2, \quad \text{տեղադրելով } a_1 \text{ և } a_3 \text{ արժեքները վերջնականապես}$$

կստանանք

$$\psi = \frac{r [R \cos(\alpha - \psi_0) - G \sin \psi_0] - G_1 \ell}{2(J_n + mr^2)} \cdot t^2 \quad (12.8)$$

Ստացված արտահայտության վերլուծությունը ցույց է տալիս, որ որքան մեծ են զապանակի սեղման տժը և համակարգի ծանրության ուժը, այնքան փոքր է ցանքի խորության ψ տատանումները։ Մյուս կողմից, որքան մեծ են երասանակի ր երկարությունը և բերված իներցիայի  $J_n$  մոմենտը, այնքան կայուն է ցանքի խորությունը։

Խոփիկի տատանումները նվազագույնի հասցնելու լավագույն պայմանը  $\psi = 0$  արժեքն է կամ

$$r [R \cos(\alpha - \psi_0) - G \sin \psi_0] - G_1 \ell = 0$$

Այս բանաձևը ինարավորություն է տալիս պյակսիկորեն նվազագույնի հասցնել խոփիկների խորության տատանումները։ Փոփոխելով ծանրության  $G$  ուժը կամ երասանակի երկարությունը, մասնավորապես հետևյալ պայմանով՝

$$r = \frac{G_1 \ell}{R \cos(\alpha - \psi_0) - G \sin \psi_0} \quad (12.9)$$

Արտաքին ազդակների, հատկապես,  $R$  հակագրման հետևանքով անընդիատ խախտվում է համակարգի հավասարակշռությունը, որը և հանգեցնում է 0 կետի նկատմամբ խոփիկի պտտման տատանմանը՝ կայունության վատացմանը և սերմի բաղման խորության փոփոխմանը։ Համակարգի տատանումները շարունակվում են այնքան ժամանակ, մինչև առաջանում է լրացուցիչ հակագրում և փակում ուժային բազմանկյունին։

Ընդհանուր առմամբ խոփիկի ընթացքի խորությունը պյակսիկորեն կարգավորվում է ուղղածից բերի  $(G+G_1)$ - բանող օրգանի լրվածքի ահելան և քարշի ուժի ուղղության փոփոխմամբ։

Առավել մեծ կլիրառություն են ստացել խորության կարգավորման առաջին երկու եղանակները:

### 13. Քարշային դիմադրությունը

Յանքի և տնկման մեքենաների քարշային դիմադրությունը կախված է հողի ֆիզիկա-տեխնոլոգիական հատկանիշներից, խոփիկների բնրացքի խորությունից և մեքենայի լնդգրկման լայնությունից: Քանի որ տվյալ կուլտուրայի ցանքի ժամանակ խորսրությունը պրակտիկորեն մնում է անփոփոխ, ընդունվում է քարշային դիմադրության և լնդգրկման լայնության ուղիղ գծային կապ:

$$R_x = KB \quad (13.1)$$

որտեղ՝  $K$  - մեքենայի տեսակարար դիմադրությունն է, մ/մ, որը կախված է խոփիկների, անիվների դիմադրություններից և այլն,  $B$  - մեքենայի լնդգրկման լայնությունն է, մ:

Ստորև բերվում են ժամանակակից ցանքի և տնկման մեքենաների տեսակարար դիմադրության մոտավոր արժեքները մինչև 11կմ/ժ քանող արագության դեպքում.

	K, կմ/ժ
Հացահատիկային կցովի շարքացան	1.0-1.5
Հացահատիկային կախովի շարքացան	0.95-1.4
Բանջարանոցային կախովի շարքացան	0.5-0.8
Շակնենդի կախովի շարքացան	0.8-1.2
Եզրիստացորենի կախովի շարքացան	1.1-1.4
Պարարտանյութացրիչ շարքացան	0.35-0.7
Կախովի կարտոֆիլատներից	3.0-3.5
Արագության մեծացումը 11կմ/ժ-ից մեծացնում է նաև քարշային դիմադրությունը, ընդ որում առավել ինտենսիվ կախովի շարքացանների մոտ: Այդ հաճամանքը բացատրվում է շարժմանն ուղղահայաց ուղղությամբ շարքացանի տատանումների աճով:	

Որոշ ցանքի և տնկման մեքենաներ իրենց քանող օրգանների շարժահարուրթումը ստանում են հզրության աճատման լիսեղից: Նման դեպքում խորհսուրդ է տրվում դիմադրության հաշվարկվ կատարել ըստ հզրության՝

$$N_M = R_x V + N_{BOM} \quad (13.2)$$

որտեղ՝  $R_x$  - մեքենայի քարշային դիմադրությունն է,  $V$  - մեքենայի շարժման արագությունը,  $N_{BOM}$  - բանող օրգանների շարժահաղորդման համար անհրաժեշտ հզույթյունը:

Պարարտանյութացրիչների մոտ  $N_{BOM}$  զգալի մեծություն է կազմում, իսկ տեսակարար հզույթյունը, կախված պարարտանյութի ֆիզիկա-տեխնոլոգիական հատկանիշներից, տառանվամ է

$$q = \frac{N_{BOM}}{B} = 3.1-7.1 \text{ կվտ/մ:}$$

#### 14.Գործընթացների ավտոմատացումը

Տեխնիկական միջոցների արտադրողականության և բանող գործընթացների որակի բարձրացման ուղղությամբ հսկայական աշխատանքներ են տարրել և տարրում են, սակայն այդ գործում առավել արագ և զգալի հաջողությունների հասնելու համար այսուհետու անհրաժեշտ է լրջորեն զրադարձների ավտոմատ կառավարման և հսկման աշխատանքներով:

Ցանքի, տնկման և պայմանագրացման մեքենաների գործընթացների ավտոմատացման աշխատանքների մեջ մոտ և արտասահմանում տարրում են երեք հիմնական ուղղություններով՝ ազթեզատների ավտոմատ դեկավարման, տեխնոլոգիական գործընթացների ավտոմատ հսկման և ազյանշանման և տեխնոլոգիական գործընթացների ավտոմատ կառավարման ուղղություններով:

Ազրեգատների ավտոմատ վարման համակարգերի աշխատանքի սկզբունքը հիմնված է շարժման առաջադրված հետագիծ ընդունվում է հետքանիշների թողած ակոսներով: Պատճենությունը շարժվելով այդ ակոսներով ազրեզատի շեղման ժամանակ ազյանշանում է հիդրո-տեղացույցի մուտքին, որը հիդրոգլանի միջոցով ներագրում է դեկավարման ծգածողին և շտկում ազրեգատի աշխատանքը: Անհրաժեշտ է նշել, որ ավտոմատ դեկավարման այս համակարգի աշխատանքի տեխնոլոգիական հոսանքությունը չափազանց ցածր է, յուրաքանչյուր լնիքացրից հետո ազրեզատի շեղման մեծությունները գումարվում են և ի վերջո տալիս գործընթացի անբավարար սրակ: Այդ սպատճառով նկարագրված ավտոմատ համակարգերը ստացել են սահմանափակ կյալառություն: Ներկայումս լայն աշխատանքներ են տարրում էլեկտրական, օպտիկական, ռադիոացիոն և այլ սկզբունքի տվյալների օգտագործման ուղղությամբ:

**Տեխնոլոգիական գործընթացների ավտոմատ հսկումը և ազյանշանումը**

Դեռևս մինչև օրս գյուղատնտեսական մեքենաների ազրեզատների մեծ մասը չեն համալրվում գործընթացների ավտոմատ կառավարման և հսկման սարքերով: Այդ պարտականությունները

կատարում է տրակտորիստը՝ տրակտորը վարելով հետքանիշի հետքով միաժամանակ հետևելով ճան մեքենայի աշխատանքին:

Ազրեգատների բանող արագությունների մեծացման հետևանքով տրակտորիստը ֆլովկապես չի հասցնում վարել տրակտորը և միաժամանակ իսկել մեքենայի աշխատանքը: Այդ պատճառով ներկայում կարևոր պահանջ է դարձել տեխնոլոգիական գործընթացների ավտոմատ հսկման նոր սալիքերի ստեղծման, գոյություն ունեցողների կատարելագործման և արտադրության մեջ լրանց ներդրման հարցերը: Անհրաժեշտ է, որ տրակտորիստը առանց ուշադրությունը շեղելու ավտոմատ կարգով հաղորդում ստանա բանող գործընթացի մասին՝ ձայնային կամ բաւարար ազդանշանի տեսքով: Ընդունակ է ծախսվում տրակտորիստի կողմից ազրեգատում առաջացած անսարքությունների հայտնաբերման և վերացման աշխատանքների վրա, եթեում է հետևյալ օրինակից (նկ.14.1):

Եթեու նոյնատիպ ազրեգատներ 1- առանց ավտոմատ սալիքի II- հսկման ավտոմատ համակարգով համալրված, աշխատանքի ընթացքում ստանալով որպէս անսարքություն, կորցնում են աշխատաժամանակը:

I ազրեգատի մոտ  $\Delta t = \Delta t_1 + \Delta t_2 + \Delta t_3 + \Delta t_4$ ,

II ազրեգատի մոտ  $\Delta t' = \Delta t_1' + \Delta t_2' + \Delta t_3' + \Delta t_4'$ .

որտեղ  $\Delta t_1 = t_1 - t_0$  և  $\Delta t_1' = t_1' - t_0'$  անսարքության երևան գալու տևողությունն է՝ առաջանալուց  $t_0$  մինչև տրակտորիստի կողմից լնկալելը  $t_1$  և  $t_1'$  I և II ազրեգատների մոտ,  $\Delta t_2 = t_2 - t_1$  և  $\Delta t_2' = t_2' - t_1'$  - տրակտորիստի ոեակցիայի և ազրեգատի արգելակման տևողությունը,  $\Delta t_3 = t_3 - t_2$  և  $\Delta t_3' = t_3' - t_2'$  անսարքության պատճառի հայտնաբերման տևողությունը,  $\Delta t_4 = t_4 - t_3$  և  $\Delta t_4' = t_4' - t_3'$  անսարքության վերացման և ազրեգատի աշխատանքի վերսկսման տևողությունը:

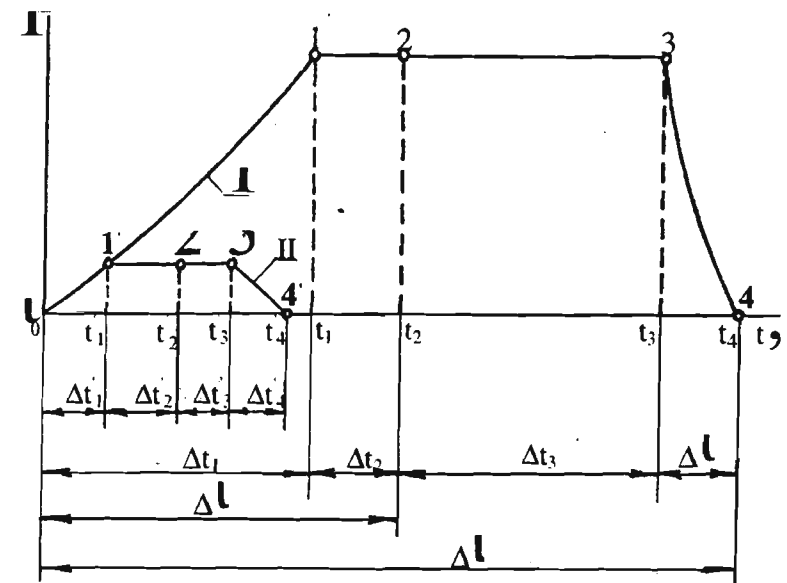
$t_0, t_1, t_2, t_3, t_4$  - համապատասխանողեն՝ անսարքության ի հայտ գալու, տրակտորիստի կողմից այդ փաստի հաստատման, ազրեգատի կանգի, տեղի և պատճառի բացահայտման, ազրեգատի շարժման վերսկսման ժամանակները:

Եթեու նոյնատիպ ազրեգատներ I - առանց ավտոմատ սալիքի, II-հսկման ավտոմատ համակարգով համալրված, աշխատանքի

լնրացքում ստանալով որպէս անսարքություն, կորցնում են աշխատաժամանակ՝

I ազրեգատի մոտ  $\Delta t = \Delta t_1 + \Delta t_2 + \Delta t_3 + \Delta t_4$ ,

II ազրեգատի մոտ  $\Delta t' = \Delta t_1' + \Delta t_2' + \Delta t_3' + \Delta t_4'$ ,



Նկ.14.1 Ցանքի գործընթացի անսարքության գրաֆիկ՝

I-սովորական ազրեգատի վրա, II-հսկման ավտոմատ համակարգերով

հսմալրված ազրեգատի վրա: Կողողինատային առանցքների վրա

H- անսարքությունն է, t- ժամանակը

որտեղ  $\Delta t = t_1 - t_0$  և  $\Delta t' = t_1' - t_0'$  անսարքության երևան գալու տևողությունն է՝ առաջանալուց  $t_0$  մինչև տրակտորիստի կողմից լնկալելը  $t_1$  և  $t_1'$  I և II ազրեգատների մոտ,  $\Delta t_2 = t_2 - t_1$  և  $\Delta t_2' = t_2' - t_1'$  - տրակտորիստի ոեակցիայի և ազրեգատի արգելակման տևողությունը,  $\Delta t_3 = t_3 - t_2$  և  $\Delta t_3' = t_3' - t_2'$ - անսարքության պատճառի հայտնաբերման տևողությունը,  $\Delta t_4 = t_4 - t_3$  և  $\Delta t_4' = t_4' - t_3'$ - անսարքության վերացման և ազրեգատի աշխատանքի վերսկսման տևողությունը:

Բերված գրաֆիկի տվյալների համեմատական վերլուծությունը ցույց է տալիս, որ սովորական ազդեգատի աշխատանքի անսարքության պատճառների հայտնաբերման և վերացման վրա ծախսված պարապ ժամանակը զգալի մեծ է հսկման ավտոմատ համակարգով համարված ազդեգատի համեմատությամբ: Այսպես, անսարքության առաջնարկությունը մինչև տրակտորիստի կողմից այն լնկալելու տևողությունը ավտոմատ համակարգի դեպքում զգալիորեն փոքր է, քան տեսահաղորդման ժամանակ՝  $\Delta t_1' \ll \Delta t_1$ ,  $\Delta t_1'$ -ը ծախսվում է համակարգի ազդանշանման վրա:

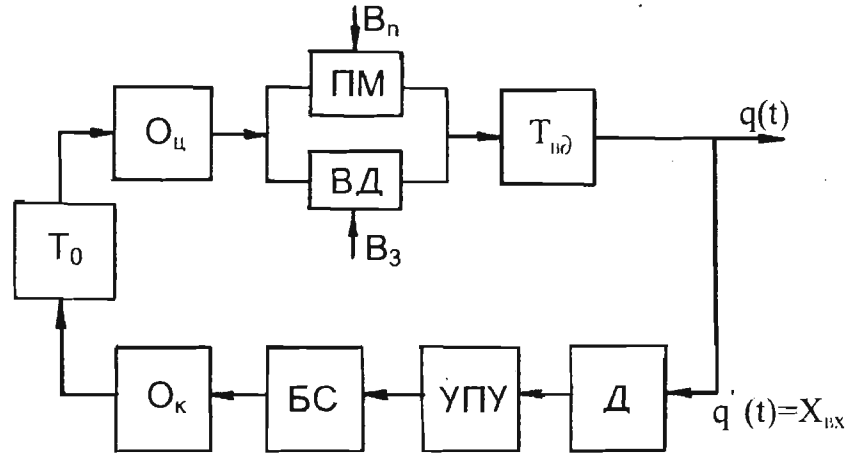
Տրակտորիստի ռեակցիայի և ազդեգատի արգելակման, ինչպես նաև անսարքության վերացման և տրակտորի լնրացքի մեջ գցերու տևողությունները երկու դեպքում ել հավասար են՝  $\Delta t_2 = \Delta t_2'$  և  $\Delta t_4 = \Delta t_4'$ : Ավտոմատ հսկման համակարգի առկայության դեպքում միանգամից ազդանշանվում է անսարք հանգույցը, այդ պատճառով էլ  $\Delta t_3' < \Delta t_3$ ,

Փորձերով ապացուցված է, որ ավտոմատ համակարգի դեպքում ազդեգատի անսարք շարժման տևողությունը կազմում է  $\Delta t_1' + \Delta t_2' = 1.7\text{-}2.3$  վ, որի լնրացքում  $7.2$  կմ/ժ արագությամբ աշխատելիս շամփան շարքի երկարությունը հավասար է  $3.4\text{-}4.6$  մետր, իսկ տեսահակման դեպքում՝  $150\text{-}200$  մետր: Այսպիսով, տեխնորգիական անսարքությամբ ազդերատի աշխատանքի ժամանակի կրճատումը հանգեցնում է ցանքի որակի և բերքատվության բարձրացմանը, իսկ պարապ ժամանակի կրճատումը՝ ազդեգատի արտադրողականության մեծացմանը:

Տեխնորգիական գործնթացի հսկման ավտոմատ համակարգի յուրաքանչյուր էլեմենտի ֆունկցիայի և նրանց փոխազդեցության ուսումնասիրության նպատակով դիտարկենք շարքացանի նշված սարքավորման ստրուկտորային-ֆունկցիոնալ սխեման (նկ. 14.2):

Որպես ելքային պարամետր ընտրում ենք սերմերի հոսքի գործնթացը  $q(t)$ : Ավտոմատ հսկման այդ փակ համակարգում անընդհատ հսկվում է ելքային պարամետրը:

Որպես ելքային պարամետր ընտրում ենք սերմերի հոսքի գործնթացը  $q(t) = x_{bx}$ , որը մտնում է տվյալի  $D$  մուտքը և նրա մեջ գրգռում ազդանշան:



Նկ. 14.2. Տրակտորիստ-օպերատորով ցանքի ազդերագատի տեխնոլոգիական գործնթացի ավտոմատ հսկման ստրուկտորային (ֆունկցիոնալ) սխեման:

Այդ ազդանշանը տրվում է ուժեղացույշափոխակերպի սարքի (уոյ) մուտք, որտեղ փոխակերպվում և ուժեղացվում է այնքան, որ բնդունվի ազդանշանի բլոկի (BC) կողմից: Սերմի հոսքի գործնթացը խախտման դեպքում ազդանշանային բլոկը արձակում է լուսային կամ ծայնային ազդանշան: Որպես բնդունվի է ( $O_k$ ) օպերատորի կողմից, որից հետո անմիջական որոշում է բնդունվում և հարուրվում տրակտորին ( $T_k$ ), որը կանգնում է: Ուսուհետև ( $O_u$ ) օպերատորը (տրակտորիստ) կամ բանվորը ներազնում է հսկման օբյեկտի՝ (PM) շարքացանի կամ ցանու (BA) պարապատի վրա և վերացնում տեխնորգիական անսարքությունը (շարքացանի անսարքությունը  $B_n$  շարժաքերի շղթայի կտյունը, շարժաքերի մնխանիգմի կամ ցանու ապարատի լիսեակի կոտրում և այլն) խոփիկի. սելմատար խոլովակի կամ ցանու ապարատի լցում  $B_3$ ): Անսարքության վերացումից հետո տրակ-

տորիստ-օպերատորը, ներազդելով ՏԵԾ տրակտորի վրա, վերսկառում է ցանքի գործընթացը:

Ներկայում արտադրության մեջ որոշակի կիրառություն են գտել D տվյալի, ҮՊՍ տժեղացուցիչ - փոխակերպիչի, ԵԾ ազդանշանման բլոկի տարրեր կառուցվածքներ: Ըստ D և ҮՊՍ -ի տեսակների հսկման համակարգերը լինում են՝ էլեկտրամեխանիկական, էլեկտրական (էլեկտրոնային), ֆուտուրեկտրական, պյեզոէլեկտրական, ձայնային և այլն:

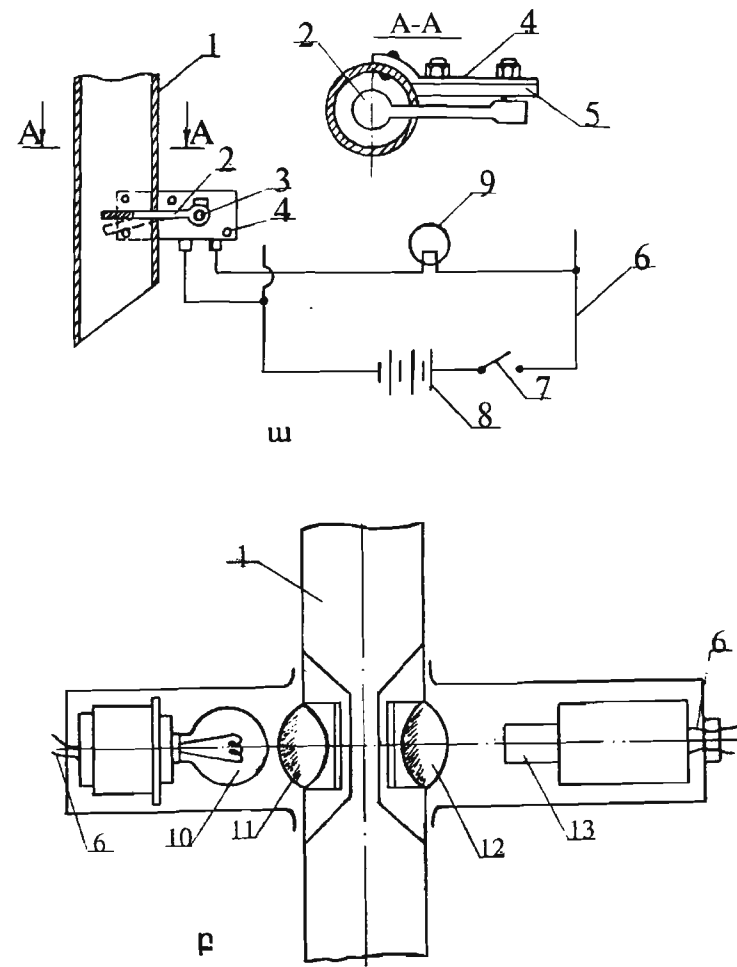
Լայն կիրառություն են գտել էլեկտրամեխանիկական և ֆուտուրեկտրական համակարգեր: Էլեկտրամեխանիկական տվյալները կիրառություն են գտնում հայրենական արտադրության շարքացանների և կարտոֆիլատնկիշների ավտոմատ հսկման համակարգերում: Կարտոֆիլատնկիշներում (СКС) հսկվում է տնկող ապարատի աշխատանքը՝ դատարկ գլամիկի դեպքում սեղմիչ մատի պոշուկը միացնում է տվյալի կոնտակտները և տրակտորիստի խցիկում ազդանշանային լամպը: Տվյալը բարկացած է երկու թիթելյա անշատված կոնտակտներից, այն տեղակայված է ուղղատուի հետին ծայրին:

С3-3.6 շարքացանի վրա հսկվում է ցանող ապարատների լիսեռների պոտումը և խոփիկների խորացումը հորում: Ազդանշանային կապ կա նաև սպասարկության վերաբերյալ անուղղակի ազդանշան շարքացանի աշխատանքի մասին: Ծիշտ հաղորդում շկա սերմի հոսքի անընդհատության մասին՝ կախված ցանող ապարատի լցման, զանգվածի կամարապատման, խոփիկների և սերմատար խորովակների լցման և այլնի մասին:

Շարքացանի աշխատանքի մասին ուղղակի տեղեկություն ստանալու նպատակով խորհուրդ է տրվում տվյալները տեղակայել յուրաքանչյուր խոփիկում կամ սերմատար խորովակում՝ որքան հնարավոր է հայլ մակերեսին մոտ: Այդ կարգի հսկման տվյալները լինում են կոնտակտային (էլեկտրամեխանիկական) և անկոնտակտ (ֆուտուրեկտրական) տեսակի (նկ. 14.3):

Էլեկտրամեխանիկական տվյալի (նկ. 14.3) հիմնական աշխատիչ օրգանները սանու (3) վրա ծխմիածն անրացված շոշափուցն է (2), որը

առջևի գլանիկածն մասով սերմատար խորովակի (խոփիկի) (1) ճեղքից մտնում է ներս:



Նկ.14.3 Կոնտակտային -ա և անկոնտակտ-ը տվյալների սխեմաները՝ 1-խոփիկ (սերմատար խորովակ), 2- լծակ (շոշափող), 3- սանու, 4- մոնտաժային բիթեղ, 5- միկրոռանցատիչ, 6- հաղորդալար, 7- անշատիչ, 8- կուտակիչ, 9- ազդանշանային լամպ, 10-լույսի աղբյուր (լամպ), 11- ոսպնյակ, 12- լուսապտիչ, 13- լուսընդունիչ:

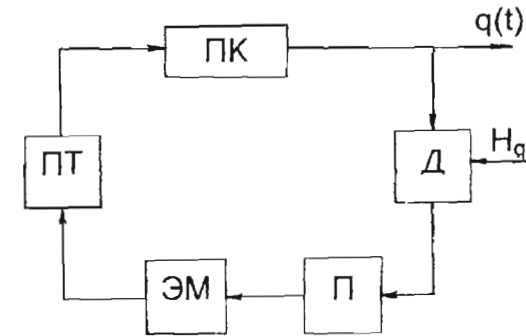
Շոշափոցը հետին մասով լծակային համակարգով ապրում է միկրոանջատիչի (5) կոնտակտներից մեկի վրա, որն իր հերթին ապրանչանային լամպի (9) հետ հաջորդաբար միացված է էլեկտրական շլաքին: Աշխատանքի լճացքում սերմատար խողովակով (1) թափուղ սերմերը պարբերաբար հարվածերով տվյալի շոշափոցին (2), պտտեցնում են նրան և անջատում միկրոանջատիչի կոնտակտները՝ առաջ բերելով էլեկտրալամպի թարթում: Ցանքի գործընթացի լճացքատման դեպքում կոնտակտները միանում են և էլեկտրալամպը լուսավորում է առանց թարթելու:

Հոսուիլեկտրական տվյալում (նկ.14.3) լուսային աղբյուրը է շլկացման լամպը (10): Լույսը, ընկներով ոսպնյակի (11) վրա, ճառագայթների ծեափորում է հարթ ուրութանակյան տևաքով և ուղարկում լուսազտիչին (13): Որպես լուսալնորմիչ կարող են ծառայել ֆուտուրիմայլությունը, ֆուտուրիմենտը և այլն: Ֆուտուրիմայլությունը եզրացափերով փոփք է, գերզգայուն և աշխատում է առանց լամպային սխեմայի, այլ պատճառով լայն կիրառություն է ստացել արտադրությունում:

Սելմատար խողովակից (խոփիկից) թափվելով՝ սերմերը պարբերաբար փակում են լույսի ճառագայթի ճանապարհը և փոքրացնում լուսալնորմիչի լուսափուլածությունը՝ փոփխում նրա լիմայլությունը: Ստացված ազդանշանը ուժեղացվում է ուժեղացնությունով և մտնում ագրանշանային բուկ, որտեղ ի հայտ է գալիս հսկիչ լամպերի թարթում: Անկոնտակտ տվյալները լայն կիրառություն են ստացել պնևմատիկ շարքացանների վրա:

**Նեխոնոգիական գործներացի ավտոմատ կառավարման համակարգ է՝ տեղակայված կարտոֆիլատմկվիչի վրա (նկ. 14.4):**

Յարտվյացված կարտոֆիկի մեքենայացված տունկի լճացքում անկրամեջտ է հետևել որպեսզի ծիլերը շվճասվեն: Ծիլերի վնասման աստիճանը զգայիտըն կախված է սննման շերեփում գտնվող պալարների շերտի հաստությունից: Մեծի դեպքում վնասվում են ծիլերը, փոքրի դեպքում՝ մնանում է բացքալումների թիվը: Սննման շերեփում պալարաշերտի հաստատուն մեծությունը պահպանվում է ավտոմատ կարգով:



Նկ.14.4 Կարտոֆիլատմկվիչի տեխնոլոգիական գործներացի ավտոմատ կառավարման ստրոկուլարային (քունկիոնալ) սխեման

Դիտարկվող համակարգում (նկ. 14.4) կարգավորությունը պարագաները և պալարների գանգվածը  $q(t)$  սննման ПК շերեփում: Զանգվածի մեծությունը շափում է Ը տվյալու ուժը կարգավորված է պարագաների որոշակի  $H_q$  բարձրացնելու համար: Կախված գանգվածի մեծությունից Պ անջատիչը միացնում կամ անջատում է սնող ՊՏ փախայրիչի էլեկտրամագնիսական ԷՄ ագույցը և համապատասխանություն մատուցում կամ լայտայնեցնում պալարի մատուցումը լիւսի սնող շերեփ:

## 15. Ցանիչ մեթեմաների աշխատանքի որակի գնահատականը

Շարքացաների, կարտոֆիլատնկիշների, սածիլատնկիշների և պարարտանյութացան մեթեմաների աշխատանքի որակը հիմնականում բնութագրվում է ցանող ապարատների աշխատանքով: Ցանող ապարատների տեխնոլոգիական գործընթացի որակը բնութագրվում է հետևյալ մեծություններով՝ սերմերի (պարարտանյութի հատիկների) կոտյուն, լնդիկանուր ցանքի անկայունություն, առանձին ապարատների ցանքի անհամաշփորչություն, շարքում սերմերի բաշխման համաշխատություն: Ազյուտենիկական պահանջների համաձայն սերմերի կոտյունը չպետք է անցնի 1%-ից, ցանքի նորման չպետք է տատանվի առաջարկվածի  $\pm 3\%$  սերմերի համար և  $\pm 10\%$  պարարտանյութի համար: Առանձին ապարատների միջև ցանքի անհամաշփորչունը չպետք է անցնի  $\pm 3\%$  հացահատիկային կոլտուրաների համար,  $\pm 4\%$  հատիկարներնենային և  $\pm 8\%$  խոտասերմերի համար, իսկ յուրաքանչյուր ապարատի համար  $\pm 2\%-ից$ :

Կարտոֆիլատնկիշների մոտ տնկող ապարատները չպետք է վնասն յարովիգացված սերմի ծիլերի  $\pm 8\%$ , բացրալումները չպետք է գերազանցեն  $\pm 3\%$  բնում երկու պալարի տունկը չպետք է անցնի 3%:

Ակալեմիկոս Վ. Պ. Գորյաշկինը առաջարկել է ցանող ապարատների աշխատանքի որակը գնահատել ամենափոքր քառակուսիների մեթոդով (այն կիրառվում է մինչև օրս): Ընդ որում

$$\text{միջին քառակուսային շերտամը՝ } \sigma = \pm \sqrt{\frac{\sum_{i=1}^n (x_i - \bar{x})^2}{n-1}}, \text{ որտեղ՝ } x_i -$$

սերմի ցանքի  $i$ -ից արժեքն է,  $\bar{x}$  - մեկ ապարատով ցանքի միջին քառական արժեքը,  $n$  - չափումների թիվը (ապարատների թիվը):

Փորձի բացարձակ միջին քառակուսային սխալը՝  $m = \pm \frac{\sigma}{\sqrt{n}}$ :

$$\text{Հարաբերական միջին քառակուսային սխալը՝ } P = \pm \frac{100m}{\bar{x}} \%$$

Փորձերի կատարման ճշտությունը համարվում է բավարար, եթե  $P \leq 5\%$ : Որոնելի մեծության իրական արժեքը՝  $x_g = \bar{x} \pm \sigma$ : Մակերեսույթի վրա սերմի բաշխման համաշխատությունը ուսումնասիրելիս՝ անպայման անհրաժեշտ է տալ նաև շարքի նկատմամբ լնդլայնական ցրվածությունը (նկ. 15.1ա,բ):

Իրականում ցանքը որքան էլ ուղղագիծ վնի բները շարքի առանցքից ցրված են լինում, այդ պատճառով էլ խորլուրով է տրվում իմանալ շարքային ցանքի հետևյալ պարամետրերը՝  $\bar{a} = \sum_{i=1}^n \frac{a_i}{n}$ , որտեղ՝  $a$ -շարքի քայլն է,  $c$ -շարքի լայնությունը,  $b$ -միջջարային լայնությունը,  $t$ - բուսապաշտպան գոտու լայնությունը (նկ. 15.1ա):

Մեծ քփով չափումների դեպքում շարքի քայլի և քվական արժեքները ենթարկվում են նորմալ բաշխման օրենքին (Գառուի կորը նկ. 15.1), որտեղ հարիզունական առանցքի վրա դրվում են քայլի՝ աշփման արյունքները, ուղղածիզի վրա՝ նրանց կրկնման  $P$  հաճախականությունը:

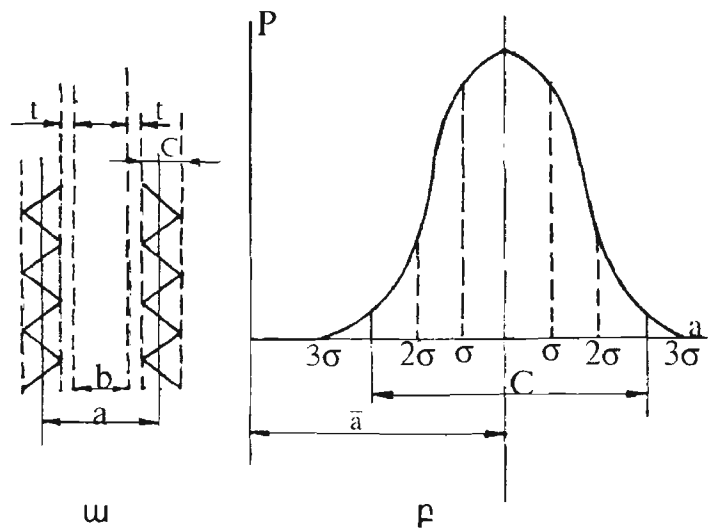
Ընդ որում սերմի ցրման գոտու  $C$  լայնությունը փոփոխվում է  $-3\%-ից$  մինչև  $+3\%$ ,  $C = 6\sigma$ ,

$$\sigma = \pm \sqrt{\frac{\sum_{i=1}^n (a_i - \bar{a})^2}{n-1}} \quad (15.1)$$

Ծարքի քայլի պահպանման ճշտությունը ոլոշվում է  $m = \frac{\sigma}{\sqrt{n}}$  քանածնով, այդ դեպքում քայլի իրական արժեքը  $a_g = \bar{a} \pm m$ :

Միջջարային լայնությունը  $b = \bar{a} - 6\sigma - 2t$ : Այս արտահայտության վերլուծությունը ցույց է տալիս, որ շարահերկ կալտուրաների

ցանքի ժամանակ պետք է ծգտել  $\sigma \rightarrow \pi$ ։ Խոկ հացահատիկային կուլտուրաների դեպքում՝  $\sigma \rightarrow$  ուղղայմանը, այն հաշվով, որ միջարային մշակույթան գույնը մեծ լինի, երկարությունը սերմերի բաշխածությունը համաշափ լինի։



Նկ.15.1 Սերմերի շարային ցանքի որակի գնահատման սխեմա.

ա- սերմերի շարքում տեղաբաշխման սխեմա, բ- սերմերի բաշխման բնույթը

Ճշգրիտ ցանքի որակի գնահատման կարևոր ցուցանիշ է շարքում սերմերի բաշխման համաշափությունը։ Այդ դեպքում շափում է սերմերի  $x$ , հեռափությունը միմյանցից և որոշում համաշափության ցուցանիշը՝ վարիացիայի գործակիցը՝  $V = \frac{100\sigma}{\bar{x}}$ ։

Վարիացիայի գործակիցը, համաձայն ազգատեխնիկական պահանջման, շաքարի ճակնդեղի ցանքի ժամանակ պետք է լինի  $V \leq 35\%$ , կարտոֆիլի տնկման դեպքում պալարների բաշխումը շարքում՝  $V \leq 60-70\%$ ։

## Ընդհանրացված գնահատական

Գյուղատնտեսական կուլտուրաների մշակույթան դաշտային և փակ գյունտում կատարվող աշխատանքների որակի վերջնական գնահատականը տրվում է ըստ բերքատվության։ Այդ նպատակով առաջարկված OCT-70.5.1-74 ստանդարտով նախատեսվում է ցանքի որակի ընդհանրացված գնահատական լրաց ցանքած կուլտուրայի բերքատվության։ Որակի նման կրիտերիան առանձնապես ծերնտու է համեմատական գնահատման ժամանակ, եթե անկրածեցտ է բացահայտել առանձին մեքենաների, ինչպես նաև ամբողջ համալիրի համեմատական արդյունավետությունը այս կամ այն կուլտուրայի մշակույթան ժամանակ։ Առանձին մեքենաներ, ինչպես նաև մեքենաների առանձին համալիրներ բոյսերի գարզացման տարբեր պայմաններ են ստեղծում, այդ պատճառով հոյի մշակույթան ցանքի կամ խնամքի աշխատանքների որակի նասին դատելիս օգտվում են ստեղծված պայմանների նկատմամար բոյսերի արձագանքից։ Այսոց օգտագործեալ որպես յուրահատուկ լինվիկատորներ։

Հյունվերով կենսաբանության որաշ լրացը ընթացների վրա՝ բերքատվության նախմացությունը բոյսերի գարզացման վաղ լնթացաշրջանում հնարակոր է դարնում լնթիանուր գնահատականը տալ մինչև բերքահավաքը։

Հետազոտությունները ցույց են տվել, որ այն բոյսերը, որոնք առավել ինտենսիվ են աճում և առաջին օնտոգենների յուվենիլյային էտապում, տայիս են ավելի բարձր բերք, այդ պատճառով որպես բերքատվության կրիտերիա կարելի է բնդրուել աճի արագացման մաքսիմում արժեքների տարբերությունը գարզացման առաջին էտապի վերջում։

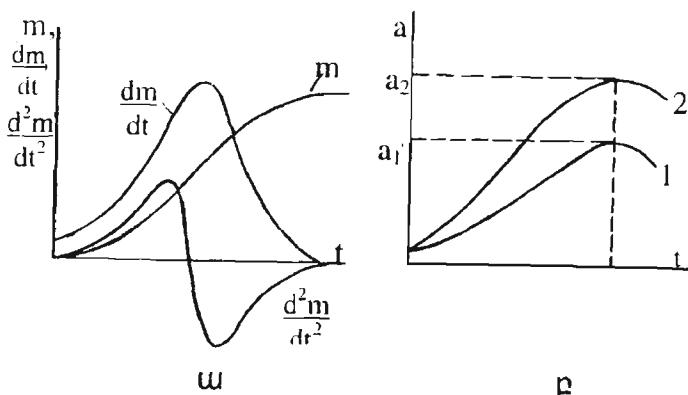
Նման գնահատականը ենում է ակավեմիկոս Վ.Դ. Գորյաչկինի կուլմից առաջինանգամ ստացված բոյսերի գարզացման լնդիանուր սինեմայից։ Այդ սինեմայի կառուցունքը սկսվում է բոյսի կենսաբանական զանգվածի (ծավալ, երկարություն) վովովիտրյան (ժամանակից կախված) ինտեգրալ կորից  $m=f(t)$  (նկ. 15.2)։

Այդ կորը կառուցվում է անմիջական շափումների տվյալների հիման վրա, որից գրաֆիկական դիմերենցման եղանակով կառուցվում

$$\text{են նաև արագության } \frac{dm}{dt} = F(t), \quad \text{ապա՝ արագացման}$$

$$\frac{d^2m}{dt^2} = \varphi(t) \text{ գրաֆիկները:}$$

Որպես բերքատվության կրիտերիուա կարելի է վերցնել աճի արագացման կողենի մաքսիմում արժեքների տարրերությունը  $a_2$ - աւ կամ նրանց հարաբերությունը (նկ.15.2): Ընդունելով  $a_1 < a_2$  ը որպես ստոգիչ տարրերակ, խոր աշխարհի կամ հողի մշակության եղանակի դեպքում աճի արագացման մաքսիմում, կարող ենք որոշել վեգետատիվ աճի ինտենսիվության գործակիցը՝  $k_{int} = a_2/a_1$ :



Նկ.15.2 Ցանքի որոշի ընդհանրացված գնահատման սխեմա. առույների զարգացման ընդհանուր օրինաչափությունները. բ- բերքատվության կրիտերիուա:

Օգտագործելով այդ գործակիցը՝ տրվում է բույսերի զարգացման ընդհանուր գնահատականը:

## 16.Ցանիչ մեքենաների կատարելագործման հիմնական ուղղությունները

Գյուղատնտեսական արտադրության մեջ էներգախնայող, լինտեննիվ, և արցոնաբերական տեխնոլոգիաների ներդրմանը զարգահեռ նախատեսվում է ցանքի և տնկճան մեքենաների կառուցվածքի կատարելագործման աշխատանքները տանել ցանող (տնկոյ) ապարատների, խոփիկային և ծածկող հանգույցները արմատափես վերափոխերու ուղղությամբ: Նախատեսվում է բանող արագությունները բարձրացնել մինչև 15կմ/ժ, բնդգրկման լայնությունը մեծացնել մինչև 18մ: Առանձնակի ուշադրություն է լարձակում առանձին մեքենաների հանգույցների տնկիփիկացման խնդիրների վրա: Այս առումով պետք է վերանայվեն նաև կոմքլինացված մեքենաների վերակառուցման հարցերը:

Առանձնահատուկ ուժադրության է արժանացել ցանքի նոր տեխնոլոգիաների (ջրալուծ բաղանքամ ծեցրած սելմերի և այլն) մեքենայացման միջոցների ստեղծման առաջարկանքները:

Նախատեսվում է մոտակա ժամանակաշրջանում արտադրության մեջ ներդնել ցանքի գրիդրնբացի հսկման ավտոմատ համակարգեր: Ընդ որում այդ համակարգերը պետք է համալրված լինեն հիշողության և աշխատանքի օպտիմալ ռեժիմի կարգավորման ավտոմատացված սարքերով:

Լայն աշխատանքներ են տարգում ժամանակակից կոմպովիս նյութերի և բանող օրգանների հիմրավելի-դիստանցիոն կառավարման ներդրման ուղղությամբ:

Հետաքրքրական աշխատանքներ են տարվում պարարտանյութացան մեքենաների արտադրողականության բարձրացման ուղղությամբ: Նախատեսվում է բնդգրկման լայնության մեծացմանը զուգընթաց օրգանական պարարտանյութացան մեքենաների բեռնատարությունը ավելացնել մինչև 24տ՝ զգալիորեն լիցեցնելով ճնշումը հողի վրա:

Հանքային պարարտանյութացան մեքենաների վրա պետք է լայնորեն կիրառվի պարարտացման պահանջման սկզբաններ, մեծացվի նաև նրանց բեռնատարությունը: Պարարտանյութացան մեքենա-

Անրի Վրա լայնորեն կկիրառվեն հիմքութառավարման սկզբունքը և հիմունիարդակները:

Հեղուկ համայիլք պարարտանյութացան մեքենաների գզայի մասը կլինի ինքնազմաց և առավել քեռնատար՝ մինչև 24մ<sup>3</sup>:

## 17. Բույսերի քիմիական պաշտպանության մեքենաները

Գյուղատնտեսական արտադրության գլխատեխնիկական առաջնաբանը կարևոր տեղ է տրվում քիմիացմանը, որը ընդգրկում է նաև բույսերի հիվանդաբանությունների և գնասատուների դեմ պայքարը:

Կիրառելով բույսերի պաշտպանության քիմիական միջոցները՝ անհրաժեշտ է լուրջ ուշադրություն դարձնել նաև շրջակա միջավայրի վրա նրանց բոլոր հակալարձ էֆեկտի՝ բնության ալտուտման հարցերի վրա: Այլ է պատճառը, որ ներկայումս բույսերի պաշտպանության քիմիական եղանակից բացի լայն կիրառություն են ստացել նաև կենսաբանական (պարագիտների, գլխատիչների, միկրոօրգանիզմների), ագրոտեխնիկական (հողի մշակության, ցանքի, կայուն սորտերի), մեխանիկական (ջրափոսերի, կաշուն նյութերի), կենսաֆիզիկական (ուլտրաձայնի, բարձր հոսմախականության հոսանքի, ռայլուակտիվ պրեպարատների, ռայլուալիքների, խոնիքացնող ճառուգայրման և այլն) պայքարի եղանակները:

Նշված նյանակների մեջ քիմիական պայքարը դեռևս մնաւմ է բույսերի պաշտպանության հիմնական և միակ հոսակի միջոցը:

Բույսերի պաշտպանության բոլոր բունաքիմիկատները կոչվում են պեստիցիդներ (լատիններեն՝ pestis-վարակ, caedere-սպասել) այսինքն՝ վարակասպանիչ: Սոլախոտերի ոչնչացման պրեպարատները կոչվում են հերբիցիդներ (herba-խոտ), բույսերի հիվանդությունների դեմ պայքարի բույները՝ ֆունգիցիդներ (fungus-սունկ). բակտերային հիվանդությունների դեմ պայքարի բույները՝ բակտերիցիդներ, գնասատուների դեմ պայքարի պրեպարատները՝ ինսեկտիցիդներ (insecta-միջատ): Ինենց հատկություններով նման են հերբիցիդներին՝ ալիսորիցիդները – ծառերի ոչնչացնող, լիսիկանտներ բույսերը չորացնող, դեֆոլիանտներ-ծերացնող և տերեստրավի: Բացի պեստիցիդներից կան նաև միջատների վախեցնող (ռեպելլենտներ) և

գրավող (ատտրակտանտներ) բունաքիմիկատներ:

Հիվանդաբան կամ վնասատուի գարգացման տեղից և բայսի վիճակից ու գարգացման փուլից կախված՝ օգտագործվում են քիմիական պայքարի հետևյալ մերագների՝ սրսկում. փոշոտում. մշակություն աերոգրով, ֆումիգացիա. ախտահանում, քեմոթերապիա (բույսերի ներքին քիմիական թերապիա). բունափոր հրապուրակների ցլում:

### 17.1 Թունաքիմիկատի կաթիլի (մասնիկի) չափի ազդեցությունը մշակությանարդյունավետության վրա

Աշխատանքի ոեժիմից կախված՝ սրսկիները հեղուկը մանրացնում են 20-300միկրոն տրամագծի կաթիլների: Փողիները ցոյց են տալիս, որ միևնույն պրեպարատի տարբեր չափի կաթիլներն ունեն թունաքության տարբեր աստիճան: Խոշը կաթիլները սահում են մշակվող օբյեկտի վրայով, այրում են բույսերը և վնասատուների համար քիչ են բունափոր: Փոքր կաթիլները հակառակը, լավ են կպչում մշակվող օբյեկտին, բույսերը չեն այրվում, ծախսը ավելի քիչ է, ավելի հավասարաշափ է ծածկում օբյեկտը և առավել կայուն են անձրևի նկատմամբ:

Եթեուկի մանրացման աստիճանի վրա ազդում են համակարգի բանող ճնշումը, բույնի տեխնոլոգիական հատկանիշները ծայրականակների կառուցվածքային առանձնահատկությունները պրեպարատի տելափոխության եղանակը (ազատ կամ մրրվածային հոսանքով): Փոշի թունաքիմիկատի տեղափոխության եղանակը մինչև մշակվող օբյեկտ կարևոր ազդեցություն տնի սրսկման որակի վրա, առանձնապես բարձր որակ է ապահովում թունաքիմիկատի օկի հոսանքով տեղափոխման եղանակը:

Թունաքիմիկատի ծախսից կախված՝ սրսկուները դասակարգվում են հետևյալ եղանակների՝ սովորական (բույլ խիտ բանող հեղուկ, 500-2000լ/հա ծախսով), փոքրածավալ (խիտ բանող հեղուկ, 15-500լ/հա ծախսով, փոշիացման բարելավագած որակով) և ոլտրափութրածավալ (բարձր խտության թունաքիմիկատ, ծախսը 0.5-15լ/հա փոշացման բարձր աստիճանով):

Սովորական սրսկման ժամանակ կաթիլի մեծությունը գերազանցում է 250 միկրոնից, փոքրածավալի դեպքում տատանվում է 250-100 միկրոնիսահմաններում և ուղարափոքրածավալի դեպքում 100-25 միկրոն:

Աէրոգոլի մշուշի կաթիլի տրամագիծը տատանվում է 25-100 միկրոն (ցածր դիսպերսության), 5-25 միկրոն (միջին դիսպերսության) և 0.5-5միկրոն (բարձր դիսպերսության - խիտ մառախուղ) սահմաններում: Որքան փոքր է կաթիլի տրամագիծը, այնքան մեծ է մշակության տեխնիկական էֆեկտը:

**Սրսկման որակը գնահատվում է հետևյալ երեք կրիտերիաներով՝**

1. Կաթիլի միջին տրամագիծ  $d_{cp} = \frac{2}{3} d_{ca}$ , որտեղ  $d_{ca}$  կաթիլի հետքի տրամագիծն է :

2. Մշակված մակերևույթի կաթիլներով ծածկման աստիճանը  $k\%$ , որոշվում է հետևյալ արակայտությամբ՝

$$k = \frac{100\pi}{4S} \sum d_i^2 n_i \quad (17.1)$$

որտեղ  $d_i$ - ի-րդ չափի կաթիլների հետքի տրամագիծն է,  $n_i$ - նույն տրամագծի կաթիլների քանակը,  $S$ - հետազոտվող մակերեսի մեծությունը: Բավարար որակի սրսկման ժամանակ տերևի արտաքին մասի ծածկման աստիճանը  $k \geq 80\%$ , ներսի մասինը՝  $k \geq 60\%$ :

3. Կաթիլների ալյումանավետ ազդեցության գործակիցը  $k_s$  որոշվում է հետևյալ հարաբերությամբ՝

$$K_s = \frac{S_{\Theta\Phi}}{S_{C\Lambda}} = \frac{(d_{C\Lambda} + 2r)}{d_{C\Lambda}^2}, \quad (17.2)$$

որտեղ  $S_{ca}$  - կաթիլի հետքի մակերեսն է,  $S_{\Theta\Phi}$  - կաթիլի ալյումանավետ ազդեցության մակերեսը,  $r$ - արյունավետ ազդեցության գոտու լայնությունը ( $r = 100-200$ միկրոն):

Մշակված մակերևույթը կաթիլով արյունավետ ծածկման աստիճանը հավասար է

$$k_{\Theta\Phi} = k_s k \quad (17.3)$$

այսինքն՝ որքան փոքր է կաթիլի չափը, այնքան մեծ է արյունավետ ազդեցության գործակիցը:

Փոշի քունաքլմիկատով փոշոտման որակը բնութագրվում է փոշոտվածության աստիճանով՝ տերևի 1մմ<sup>2</sup> մակերեսին լնկած փոշու հատիկների քանակով:

Քույսի փոշոտվածության և աստիճանը կախված է Խոսքի գործի անկյան  $\alpha$  մեծությունից՝  $k = k_1(1+k_2 \sin \alpha)$ , որտեղ  $k_1$  - տերևի հակառակ երեսից փոշոտման աստիճանն է,  $k_2$ - առանց չափողականության գործակից՝ կախված օրում քույսի խտությունից:

## 17.2 Բաքերի և խառնիչների պարամետրերը

Սրսկիչների բաքերն ունեն գլանի ձև՝ էլլիպսի կամ շլանի հիմքերով: Ներկայումս սրսկման փոքրածավալ և ուլտրափուրածավալ եղանակների կիրառության հետ աշխատում են բաքերի ծավալը մեծացնել այնքան, որ այն քավականացնի լրիվ կամ կես հելթափոխի աշխատանքին: Նշանակերուվ սրսկիչի բանող արագությունը  $V$ -ով, լնդրկման լայնությունը  $B$ -ով, հերթափոխի մաքսը աշխատանքային ժամանակը  $T$ -ով, քունաքիմիկատի հեկտարային ծախսը  $Q$ -ով, որոշենք բաքի  $V_d$  ծավալը հետևյալ բանաձևով՝

$$V_d = 10^{-4} TBVQ \quad (17.4)$$

Բաքի կառուցվածքը լնդրեներով շրջանային հիմքով գլան՝ կալու ենք զրել  $V_d = \frac{\pi}{4} d^2 l = 10^{-4} TBVQ$ , որտեղից բաքի երկարությունը  $l$  լնդրեներով որոշակի չափի, կարող ենք որոշել տրամագծի  $d$  մեծությունը՝

$$d = 2 \cdot 10^{-2} \sqrt{\frac{BVQT}{\pi l}} \quad (17.5)$$

Խառնիչները նախատեսվում են բանող հեղուկի խտությունը բաքում հաստատուն պահենու համար և լստ գործալության սկզբունքի լինում են մեխանիկական, պնևմատիկական և հիդրավիկական: Մեխանիկական խառնիչը տեղակայվում է այնպես, որ թիակի և բաքի

հատակի միջև բացակը լինի 10-15մմ, իսկապես կական խառնվոր տեղակայվում է բարի հատակից 25-50մմ բարձրության վրա:

Բանով հեղուկի բավարար խառնում կատարվում է իսկապես իսկական խառնիչի ծայրապահակից հեղուկի ելքի արագության 2.5մ/վ դեպքում: Ընդ որում այդ արագության պայմաններում էժեկցիայի գործակիցը (ներծծվող հեղուկի գանգվածի հարաբերությունը բանող հեղուկի զանգվածին) պետք է լինի  $k_{\text{v}} \geq 9$ : Բանով հեղուկի խառնման լինտենպիվարյունը գնահատվում է շրջապատույտի  $k_{\text{v}}$  գործակցով:

$$k_{\text{v}} = \frac{Q_{\text{m}}}{V_{\delta}} \quad (17.6)$$

որտեղ  $Q_{\text{m}}$ -խառնիչի արտադրողականությունն է,  $\text{մ}^3/\text{վ}$ ,  $V_{\delta}$  -բարի ծավալը,  $\text{մ}^3$ :

Հյուրափոխ խառնիչի արտադրողականությունը հաշվարկվում է հետևյալ բանաձևով:

$$Q_{\text{r}} = 10^{-3} \frac{\pi}{4} d_{\text{c}}^2 V_{\delta} \rho \quad (17.7)$$

որտեղ՝  $d_{\text{c}}$  - ծայրապահակի անգրի տրամագլուխն է,

$V_{\delta} \geq 2.5 \text{մ}^3$  հեղուկի ելքի արագությունը,  $\rho$ -հեղուկի խտությունը  $\text{կգ}/\text{մ}^3$ :

Բանող ճնշման  $P$  հայտնի մեծության դեպքում ( $P \approx 2 \text{մ}^3/\text{վ}$ ) ինդրուսանիչի ելքի արագությունը կարենի որոշել հետևյալ բանաձևով:

$$V_{\delta} = \sqrt{\frac{2gP}{1 + K_{\text{c}}}} \quad (17.8)$$

որտեղ՝  $K_{\text{c}}$  - ծայրապահանսկի տեղական դիմակարգության գործակիցն է, որը կախված է ճնշումից, տրամագիծ և անցրի մշակության որակից: Արագության  $V_{\delta}$  լինումը համար կարենի է օգտվել նաև մի այլ հայտնի բանաձևից:

$$V_{\delta} = \sqrt{2\rho\Delta P} \quad (17.9)$$

որտեղ՝  $\Delta P$  - խառնիչի մտնող և լուրս եկող ճնշումների տարբերությունն է,  $\text{Պա}$ ,  $\epsilon$  - արագության  $V_{\delta}$  վրա հյուրափոխական դիմակարգության և արագության բաշխման անհամաշափության ազլման գործակիցը ( $\epsilon \approx 0.97$ ): Ստացված արտահայտությունները (17.6-17.9) միասին

վերցրած հնարավորություն են տալիս որոշելու մեջ անհրաժեշտ պարամետրի մեծությունը, օրինակ  $d_{\text{c}}$ :

Փոշոտիչների բարերի  $V_{\text{on}}$  ծավալը լինություն է այն հաշվով, որ բավականացնելու գործի  $L=3-6 \text{կմ}$  երկարությանը՝

$$V_{\text{on}} = \frac{LBQ}{10^4 \rho \eta_e} \quad (17.10)$$

որտեղ՝  $B$ - փոշոտիչի ընդգրկման լայնությունն է,  $Q$ - քույնի 1 հեկտարի հաշվով ծախսը  $\text{կգ}/\text{հա}$ ,  $\rho$ - քույնի խտությունը –  $\text{կգ}/\text{մ}^3$ ,  $\eta_e$  - բարի լցման գործակիցը: Փոշոտիչների խառնիչները իրենցից ներկայացնում են թիակներով լիսեա, որոնք ծառայում են կամարի քանդման համար:

### 17.3 Մղիչների և սնուցիչների պարամետրերը

Սրսկիչների մղիչները հիմնականում միոցային (պլունժերային) տիպի են՝ բաղկացած երեք մխոցներից:

Դաշտային կուլտուրաների սրսկման համար պահանջվում է 0.2-1.0 ՄՊա ճնշում, այգիների համար՝ 2-2.5 ՄՊԱ:

Մղիչի ծավալային մատուցումը ( $\text{լմ}^3/\text{րոպ}$ ) որոշվում է հետևյալ բանաձևով՝

$$q_{\text{H}} = \frac{\pi}{4} d_{\text{c}}^2 S_x n_x Z \epsilon \quad (17.11)$$

որտեղ՝  $d$ - մխոցի տրամագլուխն է,  $\text{մմ}$ ,  $S_x$ - մխոցի լմբացքը,  $\text{մմ}$ ,  $n_x$ - մխոցի կրկնակի ընթացքների թիվը  $\text{րոպ}^{-1}$ ,  $Z$ - գլանների թիվը,  $\epsilon$ - մխոցի գլանների ծավալային լցման գործակիցը 0.85-0.9:

Մղիչների աշխատանքը գնահատվում է բարախման գործակցով.

$$k_{\text{a}} = \frac{q_{\text{max}} - q_{\text{min}}}{q_{\text{max}}} \quad (17.12)$$

Եռամխոց մղիչների  $k_{\text{a}} = 0.1$ , որը շահագանց փոքր է և այդ պատճառով չի ազտագործվում բարախման վերացման օդային բասակ:

Միոցային մղիչի հզորությունը որոշվում է հետևյալ բանաձևով՝

$$N = \frac{Pq_H}{6 \cdot 10^7 \eta} \quad (17.13)$$

որտեղ՝  $P$  -համակարգի ճնշումն է,  $\eta_1$ ,  $\eta_2$  - օգտակար գործողության գործակիցը՝  $\eta_1=\eta_2, \eta_1=0.6-0.75$ ,  $\eta_1$  - հիդրավլիկական Օ.Գ.Գ. ( $0.7-0.98$ ),  $\eta_2$  - Ծավալային Օ.Գ.Գ., որը հաշվի է առնում հեղուկի կորուստները ( $0.85-0.95$ ),  $\eta_3$  - շփումը հաշվի առնուլ մեխանիկական Օ.Գ.Գ. ( $0.85-0.95$ ),

Փոշոտիչների հիմնական բանող օրգանը սննդիչն է, որի լինում է շնեկային և պնեմատիկական: Շնեկային սննդիչի արագայրողականությունը հաշվարկվում է ըստ ակադ. Վ.Պ. Գորյաչկինի բանաձեռ:

$$q_u = \frac{\pi}{4} d^2 \frac{\eta_H S n}{60} \quad (17.14)$$

#### 17.4 Փոշիացնող ծայրապանակների պարամետրերը

Սրսկիշների փոշիացնող ծայրապանակները լինում են կենտրոնախույս, շիթային (դեֆեկտորային, ճեղքավոր), պնեմատիկական և պտտվող, որոնք ծառայում են բանող հեղուկի մասն կարիքների վերածելու և այն մշակվող օբյեկտին (բույսին) հասցնելու համար:

Սրսկիշի ծայրապանակի կարգավորումը կատարվում է այն հաշվով, որ ապահովվի բանաճիմիկատի առաջարրված հեկտարային  $Q$  ծախսը տվյալ Նարագության և լնդգրկման  $B$  լայնության արժեքների դեպքում:

$$q = QBV/600Z \quad (17.15)$$

որտեղ՝  $Z$ - ծայրապանակների բանակն է սրսկիշի վրա: Մյուս կորումը բանող հեղուկի ծախսը մեկ ծայրապանակից կարելի է որոշել. եթե հայտնի է ծայրապանակի ելքի տանքը և մուտքային ճնշումը 11. մ

$$q = 0.06\mu \frac{\pi d^2}{4} \sqrt{2gH} \quad (17.16)$$

որտեղ՝  $\mu$  -ծախսի գործակիցն է ( $\mu=0.41$  միջնածովով կենտրոնախույս

ծայրապանակների համար և  $\mu=0.27$  կենտրոնախույս տանգենցիալ ծայրապանակների համար),  $g$  -ազատ անկման արագացումը, 0.06 և 600 շափուղականության գործակիցներ:

Հավասարեցնելով (17.15 և 17.16) հավասարակշռ միմյանց՝ կարող ենք որոշել ելքի և տրամագիծը և լնտրել համապատասխան ծայրապանակ, իսկ եթե ունենք որոշակի ծայրապանակ, կորոշվի նաև դրանց քանակը սրսկիշի վրա, որը կապահովի առաջարրված հեկտարային ծախսը տվյալ ոեժիմի և լնդգրկման լայնության համար:

Թունաքարիմիկատի ծախսը  $q_u$  փոշոտիչի ծայրապանակով հաշվարկվում է համաձայն փոշի քունաքարիմիկատի առաջարրված հեկտարային  $Q$  ծախսի, կգ/հա, փոշու ալիքի լնդգրկման  $B$  լայնության, մ, և մեքենայի շարժման  $V$  արագության, կմ/ժամ

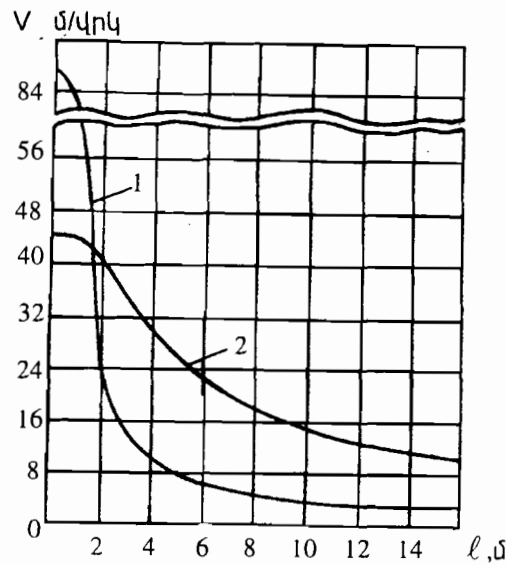
$$Q_u = 600VBQ \quad (17.17)$$

#### 17.5. Քամիարների բնութագիրը և շիթի կառուցվածքը

Քամիարների նշանակությունը բույսերի քիմիական պաշտպանության մեքենաների բանող գործընթացի մեջ հսկայական է: Քամիարները հեղուկ կամ փոշի քունաքարիմիկատները մասնատում են մանրագույն մասնիկներին և տեղափոխում մինչև մշակվող օրյեկտ: Հեղուկի մանրացման համար քամիարը պետք է ելքի մոտ ապահովի օրի շարժման բարձր արագություն, իսկ տեղափոխման համար քամիարը պետք է ունենա մեծ արտադրականություն և հեռահարություն: Սրսկիշներում և փոշոտիշներում օգտագործվում են կենտրոնախույս և առանցքային քամիարներ:

Քամիարների բնութագրերի համեմատական վերլուծությունը ցույց է տալիս, որ կենցրոնախույս քամիարը հեղուկը լավ մանրացնում է, սակայն վատ փոխադրում նույնիսկ փոքր տարածության վրա, առանցքայինը, հակառակը, վատ մանրացնում է, լավ փոխադրում:

Քանի որ սրսկիշներում հեղուկի մանրացումը կատարում են նաև ծայրապանակները, ուստի քամիարի դերը տեխնոլոգիական գործընթացում մնում է միայն կարիքների տեղափոխությունը: Այդ է պատճառը, որ սրսկիշների մեծ մասի վրա օգտագործվում են առանցքային քամիարներ (նկ. 17.1):



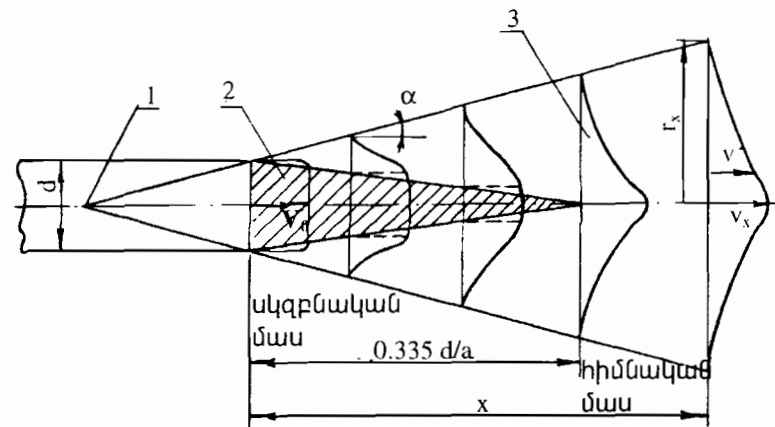
Նկ.17.1 Օդային հոսքի արագության փոփոխության բնույթը կախված մինչև ելքի անցքն ունեցած հեռավորությունից.

1-կենտրոնախույս քամիար  $6000\text{m}^3/\text{s}$  արտադրողականության դեպքում,  
2-առանցքային քամիար,  $33000\text{m}^3/\text{s}$  արտադրողականության դեպքում:

Փորրածավալ սրսկիչների վրա օգտագործվում են կենտրոնախույս քամիարներ, որոնք ավելի լավ են մանրացնում քանող հեղուկը:

Օդային հոսանքը դրվագ գալրվ ծայրափողակից ընդարձակվում է ելքի անցքից ունեցած հեռացվությանը համեմատական և մեծանում է նրա զանգվածը, քանի որ շարժման ընթացքում ընդգրկվում է շրջապատի օդը: Ծայրափողակից հեռանալով, ընկնում է օդային հոսանքի արագությունը:

Օդային հոսանքում հաճիքս են գալիս երկու տեղամասեր՝ սկզբնական և հիմնական (նկ.17.2):



Նկ.17.2 Օդի ազատ հոսքի սխեման

1-հոսքի բնեո, 2-հոսքի միջուկ, 3-անցումային հատվածը,  $d$ -ծայրափողակի ելքի անցքի տրամագիծը,  $V_0$  -հոսքի ելքի սկզբնական արագությունը,  $V_x$  -հոսքի արագությունը ծայրափողակից  $x$  հեռավորության վրա,  $\alpha$  - հոսքի ընդարձակման կողային անկյունը,  $r_x$  - հոսքի ընդարձակման հատվածքի շառավիղը հեռավորության վրա,  $a$ -հոսքի մրրկայնության գործակիցը:

Սկզբնական տեղամասում՝ կորիզի գոտում, հոսքի արագությունը մնում է հաստատուն, իմինական տեղամասում արագությունն ընկնում է: Արագությունը փոքրանում է նաև հոսքի առանցքից դեպի սահմանային շերտերը:

Ելքի անցքից  $x$  հեռավորության վրա օդային հոսքի առանցքային արագությունը որոշվում է հետևյալ քանածնում՝

$$V_x = 0.48V_0 / \left( \frac{ax}{d} + 0.145 \right) \quad (17.18)$$

որտեղ՝ հոսքի մրրկայնության գործակիցը  $a = 0.07-0.14$ :

Քամիարի արտադրողականությունը  $Q = SV_{cp}$ , որտեղ՝  $S$  – ծայրափողակի ելքի մակերեսն է,  $V_{cp}$  - ելքի մոտ հոսքի մլույն արագությունը  $V_{cp} = KV_0$ ,  $K$  -գործակից է որը նեղացող ծայրափողակի համար հավասար է 1, կոր անցքերի համար 0.875, դիֆուզորների համար 0.75:

Ծառերի սաղարթը որոշակի դժվարություններ է ստեղծում փոխհացած քունաքիմիկատը ներս մտցնելու համար, արագությունը ինտենսիվ ընկնում է (մինչև 6մ/վ): Փորձերով հաստատված է, որ օդի հոսքի 5-6մ/վ արագության դեպքում տերևները պտտվում են կորունի շորջը, լինվ շեղվում և գրավում կայուն դիրք, իսկ 35մ/վ արագությունից քարձր հոսք արդեն վճառում է տերևներին:

Ընդունված է խիտ սաղարթով բարձր ծառերի սրսկման համար մուտքի արագությունը վերցնել ոչ պակաս 20մ/վ, և ոչ ավելի 35մ/վ, նույն սաղարթի դեպքում՝ 10-20մ/վ, խաղողի վազերի համար՝ 8-15մ/վ: Ունենալով սաղարթի մուտքի մոտ օդի հոսքի  $V_x$  ալիագությունը, ոյաշվում է  $V_0$  արագության մեծությունը (17.8) քանածեց:  $x$  հեռավորությունը ոլոչվում է հետևյալ բանաձևով՝

$$x = \sqrt{H^2 + \frac{B^2}{4}} \quad (17.19)$$

որտեղ՝  $H$ - ծառի բարձրությունն է, իսկ  $B$  - միջջարային լայնությունը:

$$V_0 = V_x \left( a \frac{\sqrt{H^2 + \frac{B^2}{4}}}{d} + 0.145 \right) / 0.48 \quad (17.20)$$

Կենտրոնախույս քամիարները ապիտվում են օդի հոսքի 4-15 հազար  $\text{m}^3/\text{s}$  ծախս, առանցքային՝ 18-160 հազար  $\text{m}^3/\text{s}$ : Այդ պատճառով առանցքային քամիարները քույլ են տալիս ազրեգատի արագությունը զգալիորեն բարձրացնել կենտրոնախույսի (4-5կմ/ $\text{s}$ ) համեմատությամբ:

## 17.6 Ավտոմատացման հարցերը

Քույսերի քիմիական պաշտպանության մեքենաների գործնքացների կարգավորման, կառավարման և ավտոմատ հսկման խնդիրները պայմանավորված են երկու հիմնական պահանջներով. տեխնոլոգիական գործնքացների ինտենսիվացման (աշխատանքի արտադրության բարձրացման) և շրջակա միջավայրի քիմիական նյութերով աղտոտվելուց պաշտպանելու հետ:

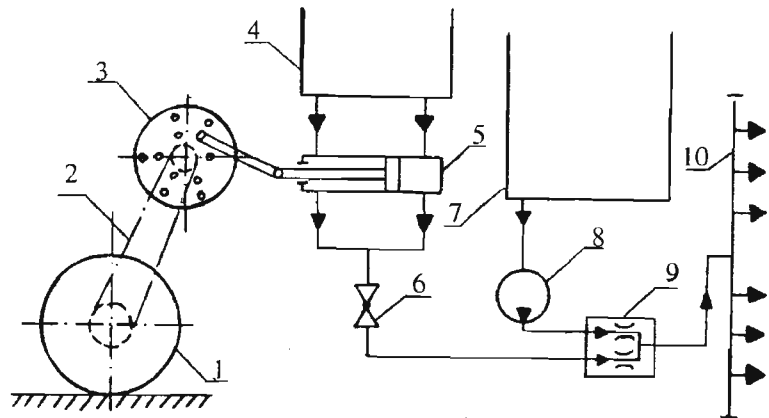
Տեխնոլոգիական գործընթացի կառավարման ավտոմատացումը նպատակադրում է առավել համաշափ դարձնել քանող հեղուկի կարգների բաշխումը քույսերի տերևների վրա՝ մեքենայի ընդգրկման լայնության և շարժման ուղղությամբ:

Մեքենայի ընդգրկման լայնությամբ քունաքիմիկատի բաշխման համաշափությունը կախված է ինչպես ծայրապանակների, այնպես էլ քույսերի միջև եղած հեռավորությունից: Թունաքիմիկատի բաշխման գործնքացի և համաշափության վրա որոշակի ազդեցություն ունեն նաև լայնական ուղղությամբ քանող ծովի տատանումները. աշխատանքի ընթացքում այդ ծովը պետք է լինի գուգահե կորիզոնական հարթությանը, իսկ ծայրապանակները՝ հավասարական գետնից: Նշված պայմանների լիականացման նպատակով արդեն ստեղծված են մեխանիկական, հիդրավլիկական և էլեկտրամեխանիկական կայունացնող սարքեր: Նման կարգի մեքենաներում քանող ծովը մեքենայի շրջանակին է միացված ծխնիներով՝ օգտագործելով ամրության տորուներ և ճոճանակային կամ գուգահեռագծային մեխանիզմներ:

Մեքենաների շարժման ուղղությամբ քունաքիմիկատի բաշխման համաշափությունը կախված է մի շարք ազդակներից հատկապես շարժման արագությունից: Թունաքիմիկատի բաշխման համաշափության վրա այդ կարգի ազդակի ազդեցության քացառման նպատակով արտասահմանյան մի շարք երկրներում սրակչները համարում են շարժման արագությունից կախված քունաքիմիկատի ծախսի կարգավորման հիմքավիճական, էլեկտրական և այլ համակարգի ավտոմատ դրամականացներով:

Հետաքրքրական է ֆրանսիական «Եվրարդ» ֆիրմայի կողմից առաջարկվող դրամական սարքը, որի աշխատանքը հիմնված է դաշտի միավոր մակերեսի վրա քունաքիմիկատի խտությունը հաստատուն պահելու սկզբունքի վրա: Նշված սարքավորման մեջ անփոփոխ է մնում քանող հեղուկի ծախսը (նկ. 17.3):

Այս համակարգի հիմնական հանգույցներն են՝ շարժաբեր սկավառակը, (3), խտացված քունաքիմիկատի բաքը (4), միտոցային մոլուց դրամական գործողության և փոքր արտադրողականության 5), ջրի բաքը (7), բարձր արտադրողականության մոխը (8) և խառնիչը (9):



Նկ.17.3 Սրսկիչի շարժման արագությունից կախված քունաքիմիկատի մատուցման ավտոմատ կարգավորման սկզբունքը՝ սխեմա.

1- ընթացքի շարժաբեր անիվ, 2-փոխանցման մեխանիզմ, 3- սկավառակ, 4- քունաքիմիկատի բար, 5- մղիչ դոպատոր, 6-ծորակ, 7-ջրի բար, 8- մղիչ, 9- խառնիչ, 10- ծայրապահակների բանող ձոռ:

Մոլիչը (8) աշխատում է անփոփոխ ռեժիմով և նախատեսված է ջուրը խառնիչ (9) ուղարկելու համար: Փոքր արտադրողականության մղիչը (5) նախատեսված է խիտ քունաքիմիկատը խառնիչ ուղարկելու համար: Այդ մղիչի (5) արտադրողականությունը կախված է մեքենայի շարժման արագությունից՝ շարժումը ստանում է մեքենայի անլիվից (1): Խիտ քույնի մատուցման չափը կարգավորվում է մղիչի (5) ընթացքի կարգավորումով: Այդ նպատակի համար մղիչի շարժաքալ միացվում է շարժաբեր սկավառակի համապատասխան անցքին՝ փոփոխելով «շուտութվիկի» չափը: Չուրը և քույնը, միանալով խառնիչում (9), դուրս են գալիս ծայրապահակներից (10):

Մեքենայի անսարքության ավտոմատ հսկման և ազդանշանման համակարգերը կիրառվում են հայրենական արտադրության ոլորշ մեքենաների վրա: Այսպես օրինակ, հողային ֆումիգատորի աշխատանքի հսկման ազդանշանման սարքը ունի երկրագուկ լծակի ծեռ, որի բազուկներից մեկի վրա դրված է դոզավորված քունաքիմիկատի ընդունման քառակարգ սարք, մյուսի վրա՝ հակակշխությունը: Եթե որևէ պատճառով դադարում է քունաքիմիկատի մատուցման հոսքը, ապա հակակշխությունը չեղում է երկրագուկ լծակը և միացնում էլեկտրական

շղթայի կոնտակտների, որի հետևանքով լուսավորվում է տրակտորի խցիկի ազդանշանային լամպը:

### 17.7 Հիվանդությունների, վնասատուների և մոլախոտերի դեմ պայքարի մեքենաների կատարելագործման հեռանկարները

Պայքարի մեքենաների կատարելագործումը և նորերի ստեղծաման աշխատանքները տարվում են շրջապատի համար պակաս քունաքուր պրեպարատների և պայքարի նոր մեքողների ստեղծման և կատարելագործման հետ մեջտեղ: Հատուկ ուշադրություն է դարձվում պայքարի ինտեգրալ եղանակի մշակության վրա, որը նախատեսում է ազդուտեխնիկական, կենսաբանական, քիմիական և այլ մերուների օպտիմալ համակցում և համալիր պայքար՝ տվյալ գուտու և տվյալ կուլտուրայի հիվանդությունների, վնասատուների դեմ և մոլախոտերի ոչնչացում: Գնալով լայն արտադրական կիրառություն են ստանում սկավառակային ծայրապահակներով փոքրածավալ և ուլտրա - փոքրածավալ սրակումները, որոնք հնալավորություն են տալիս ստանալու 30-200միլրոն տրամագծի կարիքներ:

Նախատեսվում է բանող հեղուկի ծախսի հետագա փոքրացում (35-40լ/հա)՝ ի հաշիվ հակագուրշիչ նյութերի օգտագործման: Լուրջ աշխատանքներ են տարվում կառավարման, կարգավորման և որակի հսկման առավել կատարելագործված ավտոմատ համակարգերի ստեղծման ուղղությամբ:

Հատուկ ուշադրություն է դարձվում գյուղատնտեսական ավելացիայի վրա: M-15 ռեակտիվ ինքնարխուր կատարում է բույսերի սրակում և փոշուտում խոշոր, միջին, մանրակարի, փոքրածավալ և ուլտրափոքրածավալ եղանակներում:

Լուրջ աշխատանքներ են տարվում նաև լանջերի բույսերի մշակության, հողի ֆումիգացիայի մեքենայացման հարցերի վրա՝ օգտագործելով հեղուկի պնևմատիկական փոշիացման և փոշիացված հեղուկի հոսքերի էլեկտրիզացման հարմարանքներ: Ուշադրության կենտրոնում է մեքենամասերի պատրաստման համար նոր նյութերի

## Բովանդակություն

Ներածություն . . . . .	3
1. Հողը որպես մշակության օբյեկտ . . . . .	6
1.1 Հողի քննության հատկանիշները . . . . .	6
1.2 Հողի կոչությունը քննության շափանիշների փոփոխությունը ժամանակի ընթացքում . . . . .	9
1.3 Հողի ամրության որոշումը . . . . .	9
1.4 Հողի տեխնոլոգիական հատկանիշները . . . . .	13
2. Հողի մեխանիկական մշակության տեխնոլոգիական հիմունքները . . . . .	22
2.1 Սեպը որպես հողամշակման գործիքների հիմք և նրա փոխազդեցությունը հողի հետ . . . . .	22
2.2 Հարք սեպի մակերեսույթի վերափոխումը կորագիծ . . . . .	38
3. Խոփ-թևային իրաններ . . . . .	41
3.1 Իրանի խոփ-թև մակերեսույթի կառուցման ընդհանուր սկզբունքները . . . . .	41
3.2 Վարի տեխնոլոգիական գործընթացի տեսական հիմունքները . . . . .	49
3.3 Խոփ-թև մակերեսույթի կառուցման տեսական հիմունքները	54
3.4 Գուրանի իրանի բանող մակերեսույթի նախագծումը . . . . .	57
3.5 Իրանի վրա ազդող ուժերը և որանց հավասարակշռության պայմանները . . . . .	69
3.6 Գուրանի քարշային դիմադրությունը . . . . .	76
3.7 Գուրանների հավասարակշռության պայմանները . . . . .	80
3.8 Գուրանի վարի խորության կարգավորման մեխանիզմի գրաֆո-անալիտիկ հաշվարկը . . . . .	91
3.9 Գուրանի բանող օրգանների և անիվների տեղակայումը շրջանակի վրա . . . . .	94
3.10 Իրանի աշխատանքի որակը . . . . .	97
4. Հողի մակերեսային մշակության մեքենաները . . . . .	103

4.1	Հողի դեֆորմացիայի գոտին և քարլիկների տեղակայումը շրջանակների վրա. . . . .	103
4.2	Սայրով կտրման գործընթացի տեխնոլոգիական հիմնները. . . . .	105
4.3	Կուլտիվատորային քարլիկների պարամետրերի հիմնավորումը. . . . .	113
4.4	Սկավառակային բանվորական օրգանները. . . . .	118
4.5	Ակտիվ գործառության պյտտվող բանող օրգաններ. . . . .	124
4.6	Ատամնափուլ ցաքաններ. . . . .	128
4.7	Հողի մակերեսային մշակության բանող օրգանների ուժային բնութագիրը. . . . .	131
4.8	Հողի մակերեսային մշակության բանող օրգանների աշխատանքի ռեժիմը և որակը. . . . .	137
5.	Անիվներ և գլանվակներ. . . . .	140
5.1	Հիմնական պարամետրերի որոշումը. . . . .	141
5.2	Գլորման ռեժիմներ. . . . .	143
5.3	Գլորման դիմադրությունը. . . . .	151
5.4	Հողի մակերեսային մշակության մեքենաների քարշային դիմադրությունը. . . . .	155
5.5	Հողամշակության գործընթացի ավտոմատ կառավարման համակարգեր. . . . .	156
6.	Հողի խոր փիրիչներ. . . . .	161
6.1	Փիրիչի կողային պյուֆիլի հիմնավորումը. . . . .	161
6.2	Հողի փիրեցման հիմնադրույթները. . . . .	164
6.2.1	Հողի լարվածա-դեֆորմացիոն վիճակը առի (հողաշերտի) առաջացման ժամանակ. . . . .	166
6.2.2	Հողի լարվածա-դեֆորմացիոն վիճակը ճարի հարթության վրա քարշազանգվածի առաջացման ժամանակ. . . . .	178
6.2.3	Լարումների բնույթը բանող մակերևույթի վրա ( $\alpha > 90^\circ$ -ի դեպքի համար) . . . . .	186
6.3	Դեֆորմատորի դիմադրության փոփոխության բնույթը. . . . .	193

7.	Փիրիչների աշխատանքը դիմադրող միջավայրում. . . . .	202
7.1	Փիրիչի և քարի փոխազդեցության գործընթացը. . . . .	202
7.2	Քարքարոտ հողերի փիրտության ամրության հաշվարկի տեսությունը. . . . .	212
8.	Սորուն նյութերի ֆիզիկա-տեխնոլոգիական հատկանիշները. . . . .	218
9.	Ցանքի մեքենաներ. . . . .	229
9.1	Սերմերի տեխնոլոգիական հատկանիշները. . . . .	229
9.2	Սերմարկղի պարամետրերի հիմնավորումը. . . . .	231
9.3	Ակոսակոճային ապարատի տեսությունը. . . . .	234
9.4	Սերմերի շարժումը սերմատար խողովակում . . . . .	238
9.5	Կետագծային և բնացան շարքացանների տեսության էլեմենտները. . . . .	239
9.5.1	Ծագրիտ ցանքի ընդհանուր բնութագիրը և բանող արագության ընտրությունը. . . . .	239
9.5.2	Պնևմոցանող ապարատների տեսությունը. . . . .	243
10.	Տնկման մեքենաներ. . . . .	246
10.1	Կարտոֆիլատնկի մեքենայի տեսության տարրերը. . . . .	246
10.2	Սածիլատնկիչի տեսության էլեմենտները. . . . .	252
11.	Պարարտանյութացման մեքենաներ. . . . .	257
11.1	Պարարտանյութերի տեխնոլոգիական հատկանիշները. . . . .	257
11.2	Պրարտանյութացման ապարատների տեսությունը. . . . .	259
11.2.1	Դոզավորող ապարատներ. . . . .	259
11.2.2	Պարարտանյութացրիչ ապարատներ. . . . .	266
12.	Խոփիկներ. . . . .	274
12.1	Խոփիկների հավասարակշռությունը. . . . .	277
13.	Քարշային դիմադրությունը. . . . .	283
14.	Գործընթացների ավտոմատացումը. . . . .	285
15.	Ցանիչ մեքենաների աշխատանքի որակի գնահատականը. . . . .	294

16.	Յանիշ մեքենաների կատարելագործման հիմնական ուղղությունները . . . . .	299
17.	Բույսերի քիմիական պաշտպանության մեքենաները . . . . .	300
17.1	Թունաքիմիկատի կարիլի (մասնիկի) չափի ազդեցությունը մշակության արվածնավետության վրա. . . . .	301
17.2	Քարերի և խառնիչների պարամետրերը . . . . .	303
17.3	Մղիչների և սննդիչների պարամետրերը . . . . .	305
17.4	Փոշիցնող ծայրապանակների պարամետրերը . . . . .	306
17.5	Ջամիարների բնութագիրը և շիրի կառուցվածքը . . . . .	307
17.6	Ավտոմատացման հարցերը . . . . .	310
17.7	Հիվանդությունների, վճասառուների և մոլախոտերի դեմ պայքարի մեքենաների կատարելագործման հեռանկար- ները . . . . .	313

## Գրականություն

- Բօսոյ Ե.С. և դր. Տեория, конструкция и расчет сельскохозяйственных машин. М., 1978.
- Бузенков Г.М., Мас А. Машины для посева сельскохозяйственных культур. М., 1976.
- Василенко П.М., Бабий П.Т. Культиваторы. Киев, 1961.
- Гельфенбейн С.П., Неволько Н.М. Автоматизация контроля процесса работы посевых машин. М., 1975.
- Горячкин В.П. Собрание сочинений в трех томах. М. Колос, 1967.
- Желиговский В.А. Элементы теории почвообрабатывающих машин и механической технологии сельскохозяйственных материалов. Тбилиси. 1960.
- Кленин Н.И., Сакун В.А. Сельскохозяйственные и мелиоративные машины. М., 1980.
- Летошнев М.Н. Сельскохозяйственные машины. М., 1971.
- Листопад Г.Е. и др. Сельскохозяйственные и мелиоративные машины. М., 1976.
- Синеоков Г.Н., Панов И.М. Теория и расчет почвообрабатывающих машин. М., 1977.
- Справочник конструктора сельскохозяйственных машин. т. 1.2, 1967.

Ծավարշ Մացակի Գրիգորյան  
Արմեն Ցոլակի Խաչատրյան  
Ռազմիկ Սարգսի Մինասյան

## ԵՐԿՐԱԳՈՐԾՎԱԿԱՆ ՄԵԽԱՆԻԿԱ

I մաս

Ուսումնական ձեռնարկ տեխնիկական բուհերի համար

Հրատ. Խմբագիր՝ Ռ. Ա. Դարբինյան  
Տեխ. խմբագիր՝ Գ. Գ. Մուրադյան

Ստորագրված է տպագրության 20. 04. 98թ. թղթի շափար  
60x90 1/16 տպագ. մամ. 20.0 երատ. մամ 16,5: Թղթի տեսակը օֆսեթ  
№1: Շարվածքը համակրգչային, տպագրման եղանակը փոքր օֆսեթ:  
Պատվեր 66: Տպաքանակը 1000: Գինը պայմանագրային: